

# **Trabalho de Graduação**

## **Projeto e desenvolvimento de interface por comando de voz para cadeira de rodas motorizada**

Por,  
**Alexandre Aragão Souza Coelho**

Brasília, Novembro de 2021



**Engenharia  
Mecatrônica**  
Universidade de Brasília

UNIVERSIDADE DE BRASÍLIA  
Faculdade de Tecnologia  
Curso de Graduação em Engenharia de Controle e Automação

## Trabalho De Graduação

# **Projeto e Desenvolvimento de Interface por Comando de Voz para Cadeira de Rodas Motorizada**

Por

**Alexandre Aragão Souza Coelho**

Relatório submetido como requisito parcial para obtenção  
do grau de Engenheiro de Controle e Automação.

### **Banca Examinadora**

Walter de Britto Vidal Filho, UnB/ MEC (Orientador) \_\_\_\_\_  
Carlos Humberto Llanos Quintero, UnB/ MEC \_\_\_\_\_  
Jones Yudi Mori Alves da Silva, UnB/ MEC \_\_\_\_\_

Brasília, Novembro de 2021

## **Ficha Catalográfica**

Alexandre Aragão Souza Coelho

Projeto e Desenvolvimento de Interface por Comando de Voz para Cadeira de Rodas Motorizada,

[Distrito Federal] 2021.

xi,68p., 297 mm (FT/UnB, Engenheiro, Controle e Automação, 2021). Trabalho de Graduação - Universidade de Brasília. Faculdade de Tecnologia.

1.Cadeira de Rodas

2.Automação

3.Comando de voz

4.Celular

I. Mecatrônica/FT/UnB

## **Referência Bibliográfica**

Coelho, A. A. S., (2021). Projeto e Desenvolvimento de Interface por Comando de Voz para Cadeira de Rodas Motorizada. Trabalho de Graduação em Engenharia de Controle e Automação, Publicação FT.TG-nº 07/2021, Faculdade de Tecnologia, Universidade de Brasília, Brasília, DF, 80p.

## **Cessão de Direitos**

AUTOR: Alexandre Aragão Souza Coelho

Projeto e Desenvolvimento de Interface por Comando de Voz para Cadeira de Rodas Motorizada: Desenvolvimento e implementação de um sistema comandado por voz para controle de uma cadeira de rodas motorizada.

GRAU: Engenheiro

ANO: 2021

É concedida à Universidade de Brasília permissão para reproduzir cópias deste Trabalho de Graduação e para emprestar ou vender tais cópias somente para propósitos acadêmicos e científicos. O autor reserva outros direitos de publicação e nenhuma parte desse Trabalho de Graduação pode ser reproduzida sem autorização por escrito do autor.

---

Alexandre Aragão Souza Coelho

SHIN 5 Conjunto 3 Casa 18 – Lago Norte

71505-730 – Brasília DF - Brasil

## Resumo

Neste trabalho foi feito o projeto, a implementação e a validação de uma interface por comando de voz utilizando um dispositivo celular para uma cadeira de rodas motorizada. Para a validação do funcionamento da interface, uma vez que não esteve disponível uma cadeira de rodas motorizada, foi feito um robô móvel com sistema de controle de posição em malha fechada e sistema de detecção de objetos próximos. Para o auxílio do projeto e teste dos controladores foi feito um código de MatLab que gera um programa para um Arduino, no qual os sistemas de detecção, acionamento e controle foram implementados. Todos esses objetivos foram alcançados. Foi observada um alta latência e acurácia inconsistente, cuja maior parte vinha do reconhecimento de voz. O design da interface apresentou um fácil uso mas difícil aprendizado.

Palavras-Chave: 1.Cadeira de Rodas, 2.Automação, 3.Comando de voz, 4.Celular.

## **Abstract**

This paper did develop, implement and validate a voice command interface for a motorized wheelchair. In order to verify the interface's functionality, since a motorized wheelchair was not available, a mobile robot with an obstacle detection system and a closed-loop control system for movement was also implemented and tested. A Matlab program was also implemented to assist in the development and programming efforts of an Arduino board in which the detection and control systems are built upon. Those goals were met. A high latency and inconsistent accuracy was observed, mostly from the voice recognition function. The designed interface was reported easy to use and difficult to learn.

Keywords: 1.Wheelchair, 2.Automation, 3.Voice Commands, 4.Cellphone.

# Sumário

<b>1</b>	<b>Introdução</b>	<b>1</b>
1.1	Contextualização . . . . .	1
1.2	Motivação . . . . .	2
1.3	Objetivos . . . . .	3
1.4	Metodologia . . . . .	3
1.4.1	Busca Por Estudos Similares . . . . .	3
1.4.2	Planejamento do Projeto . . . . .	3
<b>2</b>	<b>Revisão Bibliográfica</b>	<b>5</b>
2.1	Cadeira de Rodas . . . . .	5
2.2	Interfaces com o Usuário . . . . .	9
2.3	Reconhecimento de voz . . . . .	14
2.4	Celular e Smartphone . . . . .	16
2.5	Comunicação sem fio . . . . .	17
2.6	Sensores de proximidade . . . . .	18
2.7	Controle . . . . .	18
2.8	Comunicação celular-acionamento . . . . .	22
2.9	Acionamento . . . . .	23
2.10	Medição de carga da bateria . . . . .	24
<b>3</b>	<b>Desenvolvimento</b>	<b>26</b>
3.1	Montagem do robô . . . . .	26
3.1.1	Lista de Materiais . . . . .	26
3.1.2	Montagem . . . . .	27
3.1.3	Outros problemas da montagem . . . . .	31
3.2	Geração do programa do Arduino . . . . .	31

3.3	Implementação dos Encoders . . . . .	33
3.4	A interface de comando . . . . .	34
3.5	Identificação . . . . .	37
3.5.1	Obtenção de Dados . . . . .	37
3.5.2	Estimando as Funções de Transferência . . . . .	37
3.5.3	Comparação das Estimativas com os Dados . . . . .	38
3.6	Projeto dos Controladores . . . . .	40
3.7	Testes de Movimento . . . . .	44
3.7.1	Testes do controle em campo . . . . .	50
3.8	Testes do comando de voz . . . . .	51
3.8.1	Medição do Atraso . . . . .	51
3.8.2	Teste do microfone . . . . .	53
3.8.3	Taxa de falso-positivos . . . . .	54
3.8.4	Taxa de falso-negativos . . . . .	55
3.8.5	Taxa de falha geral . . . . .	56
3.8.6	Custo de falha . . . . .	57
3.9	Detecção de Obstáculos . . . . .	58
3.9.1	Implementação . . . . .	58
3.9.2	Testes da Detecção . . . . .	59
<b>4</b>	<b>Resultados do sistema completo</b>	<b>60</b>
<b>5</b>	<b>Conclusões</b>	<b>62</b>

## Lista de Figuras

1	Similaridades entre a cadeira e o modelo utilizado, imagem da cadeira disponível em [1] . . . . .	2
2	Diagrama da metodologia do projeto . . . . .	4
3	Cadeira de rodas da Smart [2] . . . . .	5
4	Cadeira de rodas elétrica da Smart [3] . . . . .	6
5	Interface por sopro e sucção desenvolvida por [4] . . . . .	6
6	Parte de um teclado (Fonte: Autor) . . . . .	9
7	Exemplo de interface touchscreen (Fonte: Autor) . . . . .	10
8	Um Joystick (Foto por: Autor) . . . . .	10
9	Exemplo de interface por comando de voz (Fonte: Autor) . . . . .	11
10	Outro exemplo de interface por touchscreen . . . . .	12
11	Interface por comando de voz de [5] . . . . .	14
12	Interface por comando de voz de [6] . . . . .	14
13	Proposta do trabalho de 2016[7] . . . . .	16
14	Representação em diagrama de blocos de uma realimentação . . . . .	19
15	Exemplo de Resposta ao degrau de um sistema qualquer . . . . .	20
16	Especificações de Resposta ao degrau de um sistema qualquer . . . . .	20
17	Exemplo de um controlador com resposta DeadBeat . . . . .	22
18	Exemplo de curva de descarga para uma bateria de 3.2V, disponível em [8] . . . . .	25
19	Kits da Estrutura do robô, imagem e kits da Huinfinito[9] . . . . .	27
20	Montagem geral vista de cima . . . . .	27
21	Primeiro andar do robô montado (Foto de: Autor) . . . . .	28
22	Segundo andar do robô montado (Foto de: Autor) . . . . .	28
23	Imagem da roda livre (Foto de: Autor) . . . . .	29
24	Imagem dos conectores Wago utilizados (Foto de: Autor) . . . . .	29

25	Fixação dos sensores no robô montado (Foto de: Autor) . . . . .	30
26	Sensor Dianteiro (Foto de: Autor) . . . . .	30
27	Sensor Traseiro (Foto de: Autor) . . . . .	30
28	Encoder improvisado . . . . .	30
29	Exemplo dos arquivos do Arduino . . . . .	33
30	Tela inicial do aplicativo . . . . .	34
31	Diagrama da Navegação . . . . .	36
32	Diagrama da operação por voz . . . . .	36
33	Diagrama da operação manual . . . . .	37
34	Identificação do sistema . . . . .	39
35	Identificação com filtro de média móvel de razão 0.75 . . . . .	40
36	Sistema de teste no Simulink . . . . .	40
37	Bloco para simular as atrito e zona morta . . . . .	41
38	Comparador da tradução . . . . .	41
39	Simulação do DeadBeat Tipo 1 . . . . .	45
40	Teste Suspenso do DeadBeat Tipo 1 . . . . .	45
41	Simulação do DeadBeat Tipo 1 . . . . .	46
42	Teste Suspenso do DeadBeat Tipo 1 . . . . .	47
43	Simulação do DeadBeat Amortecido Tipo 1 . . . . .	48
44	Teste Suspenso do DeadBeat Amortecido Tipo 1 . . . . .	48
45	Simulação do Proporcional . . . . .	49
46	Teste Suspenso do Proporcional . . . . .	50
47	Fita de referência para o teste de movimento (Frente: Autor) . . . . .	50
48	Processo de medição de atraso . . . . .	52
49	Medição do Atraso Com Internet . . . . .	52
50	Medição do Atraso Internet . . . . .	53
51	Celular e Microfone Utilizados . . . . .	54

52	Teste do Microfone . . . . .	54
53	Taxa de falso-positivos . . . . .	55
54	Teste Sem Internet . . . . .	56
55	Teste de Uso . . . . .	57
56	Local de testes do sistema completo . . . . .	60
57	Segunda Interface no modo 'Dorme' . . . . .	69
58	Segunda Interface no modo 'Dorme' . . . . .	70
59	Simulação do PI sem cancelamentos . . . . .	72
60	Simulação do PI com cancelamentos . . . . .	73
61	Teste Suspenso do PI com cancelamentos . . . . .	73
62	Simulação do DeadBeat Tipo 2 . . . . .	74
63	Teste Suspenso do DeadBeat Tipo 2 . . . . .	75
64	Simulação do DeadBeat Amortecido Tipo 2 . . . . .	76
65	Teste Suspenso do DeadBeat Amortecido Tipo 2 . . . . .	76
66	Simulação do Atraso . . . . .	77
67	Teste Suspenso do Atraso . . . . .	78
68	Simulação do Avanço . . . . .	79
69	Teste Suspenso do Avanço . . . . .	79
70	Realização da Simulação dos controladores no Simulink . . . . .	80

## Lista de Tabelas

1	Tabela de comparação de interfaces com usuário, parte de outra tabela feita em [1] . . . . .	7
2	Testes de [10] com um motor de 12 volts . . . . .	8
3	Testes de [10] com um motor de 24 volts . . . . .	8
4	Parâmetros de análise para interfaces com usuário conforme [11] . . . . .	13
5	Telas de escolha e de modos de uso . . . . .	35
6	Legenda das figuras das seções 3.4, 3.5 e 3.6 . . . . .	38
7	Legenda dos controladores na seção 3.6 . . . . .	41
8	Legenda das Abreviações da tabela 9 . . . . .	42
9	Tempos de assentamento e sobrepasso percentual observados no sinal de controle da simulação com estimador de não-linearidades . . . . .	43
10	Deslocamento lateral durante a movimentação retilínea (metros em relação à fita)	50
11	Tabela dos comandos válidos . . . . .	51
12	Indicação dos falso-positivos testados . . . . .	55
13	Tempo gasto em uma volta . . . . .	60
14	Parâmetros de [11] preenchidos de acordo com os resultados . . . . .	61
15	Funções de transferência estimadas . . . . .	71
16	Tabela de navegação dos códigos . . . . .	83

## Lista de Siglas

IBGE	Instituto Brasileiro de Geografia e Estatística
Unb	Universidade de Brasília
IFBA	Instituto Federal da Bahia
UTFPR	Universidade Tecnológica Federal do Paraná
IDE	Ambiente de Desenvolvimento Integrado
IFES	Instituto Federal de Educação, Ciência e Tecnologia do Espírito Santo
UEL	Universidade Estadual de Londrina
UFSA	Universidade Federal de Santa Catarina
MIT	Massachusetts Institute of Technology
GIF	Formato de Intercâmbio Gráfico
iOS	Sistema Operacional do Iphone
RFID	Identificação por Radiofrequência
VANT	Veículo Aéreo Não-Tripulado
PCB	Placa de Circuito Impresso

## Lista de Símbolos

v/V	(Volts)Diferença de Potencial Elétrico
A	(Amperes)Densidade de movimentação de cargas elétricas
Ah	(Ampere-hora)Carga Elétrica

# 1 Introdução

## 1.1 Contextualização

No Brasil, cerca de 1.3% da população apresentou em 2013 alguma deficiência física permanente [12] e em 2010, pouco mais de 4,4 milhões de brasileiros relatam grandes dificuldades em realizar atividades motoras [13]. Isso indica que há um espaço para soluções que auxiliem na mobilidade individual com pouca ou nenhuma necessidade de interação física.

Estima-se que 93% dos domicílios apresentem um telefone celular e 78% das pessoas acima de 10 anos de idade possuem o dispositivo para uso pessoal [14] e com o avanço da tecnologia em dispositivos móveis, estes são capazes de realizar uma gama de tarefas, podendo realizar a aquisição dos comandos e processamento de dados do usuário sem a necessidade de um hardware dedicado a isso.

Avanços na tecnologia de microcontroladores, como o Arduino e Raspberry Pi, permitem uma integração acessível entre um dispositivo de comando e atuadores/sensores necessários para realizar uma dada tarefa, abrindo a porta para soluções em automação de diversas atividades.

Em virtude das necessidades desses brasileiros, surge a procura por interfaces mais acessíveis para facilitar o comando dos que necessitem de uma cadeira de rodas motorizada. Já foram feitos estudos anteriores de adaptação de uma cadeira e esta foi objeto de outros 3 trabalhos na Unb, como desenvolvimento de uma interface por sopro e sucção [4], projeto do sistema de acionamento e sensoramento [15] e de um sistema semi-autônomo com encoders e sensores de proximidade para controle de movimento [1].

Essa cadeira se encontra no laboratório do Grupo de Automação e Controle (GRACO) e possui um sistema de acionamento, medição de deslocamento e sensores para detecção de objetos mas não se encontra funcional.

Devido ao regime remoto de atividade na Universidade, não foi possível utilizar uma cadeira de rodas para validação do software, sendo assim, foi montado um robô móvel para emular o comportamento do sistema pronto na cadeira e assim poder estimar o desempenho da interface por comando de voz. A figura 1 apresenta a modelagem da cadeira e do robô que será utilizado para emulá-la.

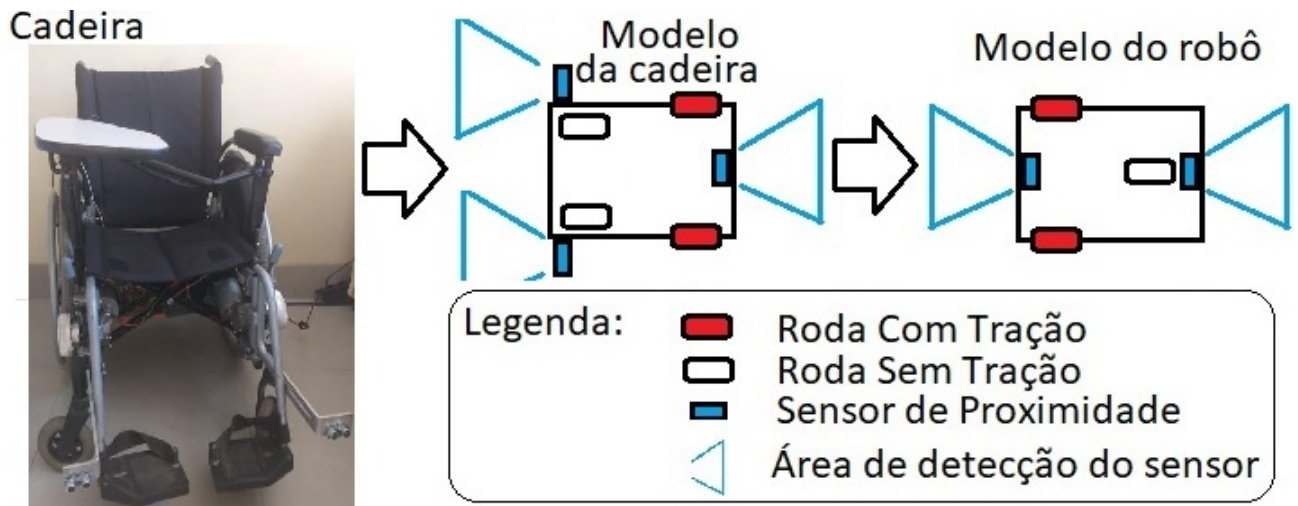


Figura 1: Similaridades entre a cadeira e o modelo utilizado, imagem da cadeira disponível em [1]

O robô montado apresenta 2 rodas tracionadas de forma independente, com um encoder para cada, de forma que o trabalho necessite o mínimo possível de adaptações no software para ser utilizado na cadeira. A relação entre a movimentação de cada roda e a do sistema como um todo entre os 2 modelos são análogas. O par de sensores dianteiros realiza a mesma função do sensor dianteiro do robô. O sensor traseiro em ambas as soluções é análogo.

Com exceção de valores numéricos, os sistemas de medição de deslocamento por encoders e os sistemas de acionamento por PWM são análogos.

## 1.2 Motivação

A fim de reduzir as dificuldades de locomoção de pessoas com deficiências físicas de uma forma cômoda ao usuário, deseja-se o mínimo de interações físicas e equipamentos especializados. Também é interessante que o usuário já esteja familiarizado com o equipamento e com a forma de interação.

Visto que o telefone celular pode ser utilizado para substituir o equipamento necessário para aquisição e processamento de dados, resta comparar esta solução com outras já realizadas. Caso ela seja melhor, ou no mínimo equivalente, em termos de desempenho e custo, o projeto será considerado um sucesso.

### **1.3 Objetivos**

- Desenvolver e implementar uma interface por comando de voz para uma cadeira de rodas motorizada para que usuários com movimentação reduzida ou nula possam utilizá-la. A interface deve responder a 7 comandos, dos quais 5 são direcionais e 2 são para especificação do contexto de operação.
- Projetar e implementar um modelo físico para emular a cadeira de rodas para a verificação do software desenvolvido
- Implementar e validar um sistema de controle em malha fechada para garantir o mesmo deslocamento nas rodas, com isso obter um movimento retilíneo sem a necessidade de correções frequentes do usuário
- Realizar e testar um sistema de detecção de objetos próximos para evitar acidentes

### **1.4 Metodologia**

#### **1.4.1 Busca Por Estudos Similares**

Foi feita uma busca por trabalhos anteriores nas áreas de controle, motores, baterias, programação em celulares, comunicação com dispositivos embarcados e cadeiras de rodas no banco de dados da Universidade da Brasília. Em seguida, buscas no Google Acadêmico nas áreas de programação em celulares e comunicação com dispositivos embarcados.

#### **1.4.2 Planejamento do Projeto**

O projeto é dividido em várias etapas:

1. Implementação da Interface com Usuário
2. Construção do Robô
3. Cálculo das Equações de Controle
4. Comunicação Interface-Robô
5. Implementação do controle no robô
6. Uso da interface para o Comandar o robô com sistema de controle

As etapas foram realizadas na ordem descrita na figura 2, onde em um mesmo nível foram feitas em paralelo, enquanto etapas em níveis distintos aguardaram as precedentes (com setas). A etapa de construção incluiu testes de verificação e funcionalidades auxiliares, como a detecção de obstáculos.

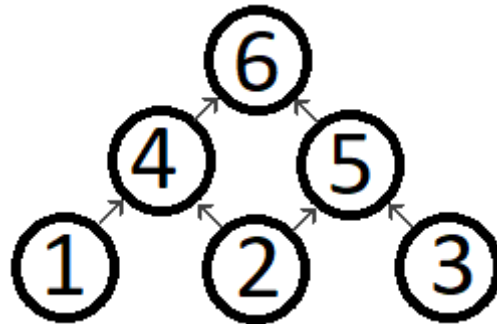


Figura 2: Diagrama da metodologia do projeto

## 2 Revisão Bibliográfica

Neste capítulo foi feita a pesquisa por trabalhos anteriores de temas que possam auxiliar no acionamento de motores em uma cadeira a partir de comandos de voz.

### 2.1 Cadeira de Rodas

Uma cadeira de rodas é, por regra geral, uma cadeira com 4 rodas, 2 grandes nas laterais e 2 menores na dianteira (figura 3). Elas costumam contar com aros nas rodas maiores para que o usuário a movimente e hastes no encosto para ser empurrada ou puxada por outras pessoas. Ela exige um elevado esforço físico e cuidado para subir ou descer rampas e terrenos irregulares.



Figura 3: Cadeira de rodas da Smart [2]

Uma outra iteração é a cadeira de rodas elétrica (figura 4), que utiliza um motor elétrico para gerar a força que move a cadeira, o que reduz drasticamente o esforço necessário do usuário porém o limita em termos de controle, visto que agora ele deve enviar comandos a uma interface em vez de diretamente movimentar a cadeira, além da necessidade de uma fonte de energia para o funcionamento do motor.



Figura 4: Cadeira de rodas elétrica da Smart [3]

Como dito anteriormente, a cadeira a ser utilizada também já foi objeto de outros 3 trabalhos de conclusão de curso (TCC) e seria adaptada com uma nova interface.

O primeiro dos 3 trabalhos que utilizaram a cadeira foi Pinto em 2016 [4], que fez uma interface por sopro e sucção e outra por joystick de queixo. O trabalho também mede a velocidade máxima do sistema presente na cadeira sem carga, de 1,56 m/s, e a velocidade média nessas mesmas condições, próxima de 0,6 m/s.

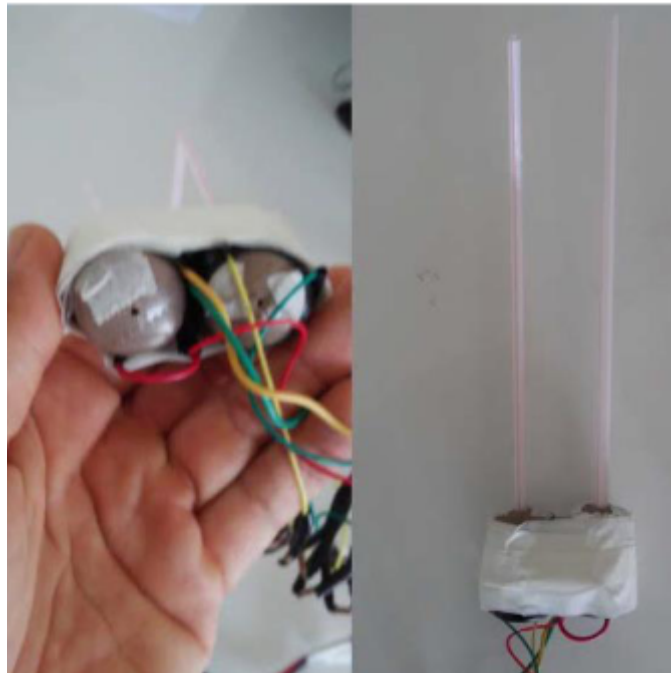


Figura 5: Interface por sopro e sucção desenvolvida por [4]

A primeira (figura 5) mede um diferencial de pressão em cada um dos 2 tubos, girando a cadeira quando um tubo é acionado e acelerando-a quando o outro é acionado. Como o nome sugere, a diferença de pressão medida pela interface deve ser causada por uma ação do usuário de empurrar ou puxar o ar do tubo.

O trabalho também descreve que o acionamento é proporcional à pressão medida, o que permite ao cadeirante controlar a velocidade em que o sistema executa os comandos. Uma desvantagem dessa solução é que sob condições normais, apenas um dos tubos pode ser acessado por vez.

O segundo dos trabalhos é de Ivo ,2017, [15] que desenvolveu o sensoriamento, o controle e o acionamento para a motorização de uma cadeira de rodas acionada por joystick. Nele está descrito o projeto, implementação e testes dos circuitos feitos.

O terceiro e mais recente dos trabalhos é de Oliveira ,2019, [1] que buscou desenvolver uma interface para portadores de tetraplegia e um sistema de navegação semi-automático. Nele, o autor apresenta uma comparação de várias interfaces com o usuário e será mostrada a tabela 1, uma versão reduzida do que foi apresentado.

Tabela 1: Tabela de comparação de interfaces com usuário, parte de outra tabela feita em [1]

Critério	Joysticks	Sopro e Sucção	Acelerômetro de cabeça	Encosto de cabeça	Movimento dos Olhos	Comando de Voz
Manobrabilidade	Alta	Média	Alta	Alta	Baixa	Baixa
Custo	Baixo	Baixo	Alto	Médio	Alto	Médio/Alto

Outros trabalhos já fizeram sistemas em áreas similares, como o visto no IFBA, 2016, [10] que motorizou uma em 2016, focando no projeto e construção do sistema de atuação. Eles descrevem com detalhe todo o processo de dimensionamento, construção e instalação se todo o sistema de acionamento, de motores até correias.

Além do processo de instalação e dimensionamento, o trabalho de 2016 [10] também levantou dados experimentais sobre a relação entre velocidade e peso levado pela cadeira motorizada utilizando 2 motores e 3 pisos diferentes. Uma síntese dos dados está apresentado nas tabelas 2 e 3 que serviram de referência para a escolha dos motores. De acordo com a norma ABNT NBR 9050, seção 4.2.2 [16], o peso máximo esperado de uma cadeira de rodas sem carga é de 60Kg, que deve se somado à carga para melhor representar a relação adequada de peso e torque.

Tabela 2: Testes de [10] com um motor de 12 volts

Piso	Carga (Kg)	Velocidade (Km/h)
Concreto Laminado	0	2,39
Concreto Laminado	45	2,10
Concreto Laminado	60	2,08
Concreto Laminado	75	0
Porcelanato	0	2,26
Porcelanato	45	1,96
Porcelanato	60	1,81
Porcelanato	75	0
PARALELEPÍPEDO	0	2,10
PARALELEPÍPEDO	45	1,02
PARALELEPÍPEDO	60	0

Tabela 3: Testes de [10] com um motor de 24 volts

Piso	Carga (Kg)	Velocidade (Km/h)
Concreto Laminado	0	2,36
Concreto Laminado	45	2,17
Concreto Laminado	60	2,02
Concreto Laminado	75	1,94
Porcelanato	0	2,18
Porcelanato	45	2,07
Porcelanato	60	1,99
Porcelanato	75	1,90
PARALELEPÍPEDO	0	2,09
PARALELEPÍPEDO	45	1,98
PARALELEPÍPEDO	60	1,85
PARALELEPÍPEDO	75	1,73

Visto que os melhores resultados foram obtidos pelos motores com maior torque, para a montagem do robô que irá representar a cadeira, foram utilizados os motores de maior torque disponíveis para tensões de 6v. Para alimentação destes, foram utilizadas baterias recarregáveis de 9v pois elas, em comparação com 4 pilhas de 6v, ocupam menos espaço e são mais leves. Para garantir um fornecimento adequado de corrente, foram utilizadas 3 em paralelo.

## 2.2 Interfaces com o Usuário

Todo sistema semi-autônomo com uma função recebe de uma pessoa um determinado comando. O trabalho da interface é fornecer à pessoa uma forma de enviar esse comando. Algumas das interfaces mais simples, como teclados, esperam que o usuário pressione um botão, e outras, como joysticks, utilizam a inclinação de uma haste.

Sobre o assunto, foram observadas apenas interfaces físicas, com as quais o usuário interage sem intermédio de um aparelho específico, como utilizar um mouse para clicar em ícones em uma tela, mas touchscreens por exemplo ainda são válidas. Os exemplos também não foram restritos a implementações conectadas a sistemas semi-autônomos.

A fim de comparar as diversas interfaces, foi feita uma análise qualitativa de 3 características: a facilidade de uso, que representa o quão fácil é utilizar devidamente a interface após o aprendizado, a intuitividade, que descreve o quão fácil é aprender a utilizar a interface e o desempenho, que leva em consideração desde o tempo de resposta como a taxa de falha típica da mesma.

Um teclado (figura 6), similar a um controle remoto, apresenta uma grande quantidade de botões, sendo pouco intuitivo mas de uso bastante simples. Por não necessitar de quase nenhum processamento para interpretação de comandos, esse tipo de interface costuma responder sem atraso perceptível e, se em boas condições, taxa de falha desprezível.



Figura 6: Parte de um teclado (Fonte: Autor)

Com os Smartphones, surgiu a tecnologia TouchScreen, que envia um comando ao aparelho dependendo de onde a tela do mesmo for tocada pelo usuário. Uma solução simples, intuitiva e eficaz para situações com pouca necessidade de comandos distintos. Atividades como digitar um texto ou interferências como o usuário usar luvas afetam drasticamente seu desempenho. Um exemplo pode ser visto na figura 7.

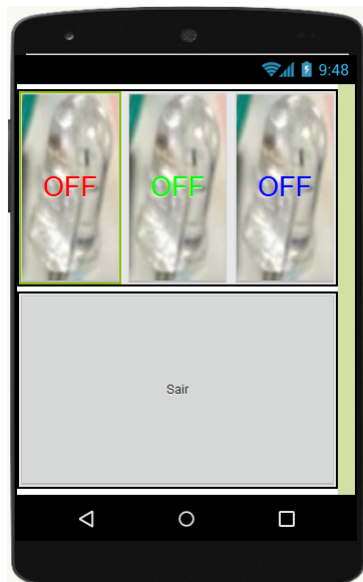


Figura 7: Exemplo de interface touchscreen (Fonte: Autor)

Outra possível interface é o joystick (figura 8). Ele consiste de uma haste que rotaciona em torno de um ponto enquanto envia 2 sinais analógicos proporcionais à rotação e um terceiro, caso seja pressionado. Isso permite a ele também ser simples, intuitivo e eficaz mas extremamente limitado no número de comandos distintos que podem ser entregues a cada instante.

Para estender a lista de ações basta programar um ou mais dos canais de dados para mudança de contexto, o que reduz levemente a simplicidade e intuitividade para cada mudança de contexto presente mas isso não é relevante para a comparação sendo feita.

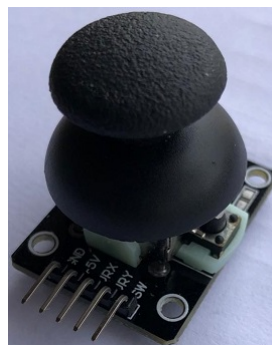


Figura 8: Um Joystick (Foto por: Autor)

É interessante também observar as interfaces que envolvem o processamento de áudio, como reconhecimento de voz [6], processamento de imagens, como rastreamento de olhos [17], rastreamento da cabeça [18] ou reconhecimento de movimentos em geral, dependendo da implementação, podem ser fáceis de utilizar e de aprender, mas costumam ser mais lentos, apresentar uma taxa considerável de falhas e de forma similar ao joystick, são limitados no número de funções

distintas que podem exercer. Além disso, elas exigem uma ação mais longa do usuário, o que reduz ainda mais a sua velocidade de operação.

Um exemplo de interface que utiliza comando de voz está representado na figura 9. Ela apresenta os possíveis comandos na tela e, com uma mudança de cores, indica ao usuário qual comando está sendo executado.

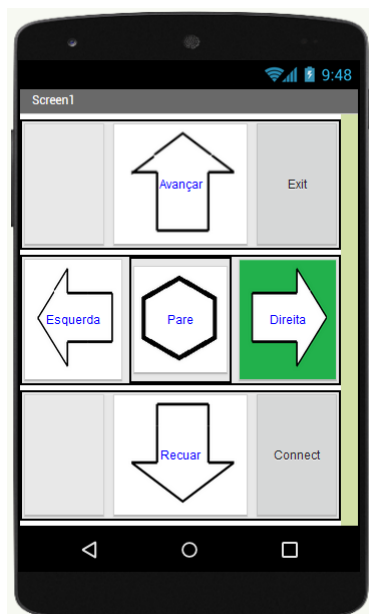


Figura 9: Exemplo de interface por comando de voz (Fonte: Autor)

O objetivo principal de uma interface é ser capaz de operar o sistema a ele acoplado, mesmo que isso custe uma ou mais de suas características desejáveis. A interface de um piloto com um avião por exemplo, é virtualmente impossível de se simplificar, pois ele deve ser capaz de receber uma enorme quantidade de comandos distintos e pode não ser capaz de guiar o avião ao ser reduzida.

Também é importante pontuar que as características observadas variam com a implementação de uma determinada interface, dessa forma, 2 implementações diferentes com o mesmo meio de interação podem ser distintas uma da outra. Comparando os exemplos das figuras 7 e 10, a segunda é mais intuitiva mesmo que ambas usem o mesmo meio físico.

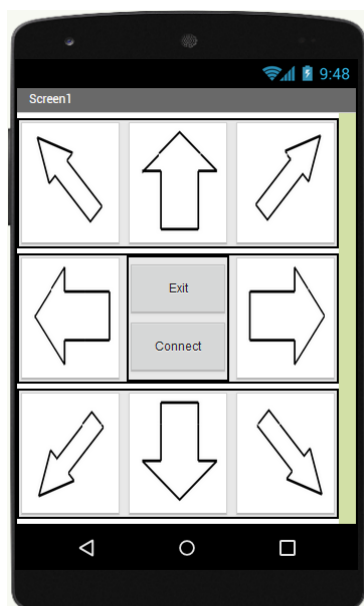


Figura 10: Outro exemplo de interface por touchscreen

Outra consideração a ser feita é sobre as limitações impostas pelo contexto na qual a solução é aplicada, seja devido ao usuário, aplicação ou mesmo o ambiente. Interfaces que envolvem processamento de imagem não operam bem diante de variações de luminosidade e/ou ambientes movimentados, interfaces por reconhecimento de voz não operam corretamente mediante ruído e interfaces que exigem movimento não são adequadas para usuários com perdas motoras.

Quanto ao design da interface, o trabalho [19] descreve um tamanho mínimo para o tamanho da fonte e dos botões para uma implementação em um celular, além de práticas a serem adotadas, como posicionar comandos próximos às variáveis afetadas por eles.

Também há diretrizes quanto ao processo de desenvolvimento em si. O trabalho [20] diz que o design deve ser feito junto de outras pessoas, se possível futuros usuários, da interface sendo feita, sendo revisada conforme comentários e críticas, um processo de contínuas melhoras e iterações.

Deseja-se permitir ao usuário enviar o máximo de comandos possível, o que traz a necessidade de informá-lo sobre a execução dos mesmos e, portanto, eleva a quantidade mínima de informação necessária para operação. Em outras palavras, reduz a intuitividade para obter um ganho de funcionalidade e/ou simplicidade.

Por outro lado, um usuário sempre irá preferir o que consegue entender, podendo escolher uma interface mais intuitiva mesmo que inferior em outras qualidades. Há ainda o problema do usuário, onde um design específico pode ser muito complexo para um e muito simples para

outro. Um exemplo disso é visto em jogos, na qual a mesma interface é simples para um usuário que esteja acostumado com videogames e incompreensível para outros públicos.

Sendo assim, é importante determinar a área de conhecimento esperado do público-alvo da interface. Esses conceitos sempre terão um grau de subjetividade, mas há formas quantificar o desempenho de um design específico. O livro [11] descreve formas de avaliá-lo em 5 pontos, apresentados na tabela 4.

Tabela 4: Parâmetros de análise para interfaces com usuário conforme [11]

Eficácia	Descreve se a interface executou a tarefa corretamente ou não
Eficiência	Número de ações e/ou tempo necessário para concluir uma atividade
Satisfação	Medida numérica de satisfação
Facilidade de aprender	Número de erros observados e/ou tempo extra gasto por um novo usuário para determinada tarefa
Tolerância a erro	Acurácia do resultado em comparação com tempo gasto em falhas

Onde a eficiência é análoga à simplicidade e facilidade de aprender é análoga à intuitividade. A interface desenvolvida neste trabalho utiliza 7 comandos:

- Avançar/Recuar para movimentações retilíneas para frente e para trás, respectivamente.
- Esquerda/Direita para as respectivas rotações
- Pare para interromper quaisquer movimentações
- Dorme para indicar ao sistema de reconhecimento que ele deve ignorar todos os comandos exceto 'Aurora'
- Aurora para indicar ao sistema de reconhecimento que ele deve voltar ao modo de operação normal

A escolha dos comandos foi feita com o intuito de tornar o reconhecimento mais simples, com palavras únicas foneticamente distintas entre si em vez de frases. Os 5 comandos principais de movimento são o necessário para manter uma experiência agradável ao usuário que ainda o permita se mover em quaisquer direção. Os 2 comandos auxiliares permitem que o usuário dialogue sem ter de desligar o sistema.

Os botões são grandes para facilitar os toques e a navegação, e no caso da tela de operação do reconhecimento de voz, informa o último comando recebido. Como pontos negativos, ela não informa os possíveis comandos em sua tela.

Exemplos de interface por comando de voz desenvolvidas para cadeiras de rodas são apresentados nas figuras 11 e 12.



Figura 11: Interface por comando de voz de [5]

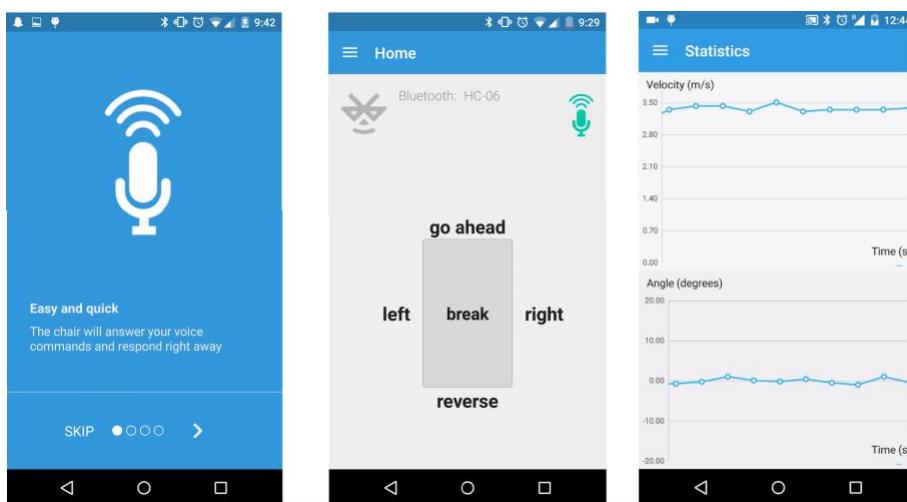


Figura 12: Interface por comando de voz de [6]

## 2.3 Reconhecimento de voz

O reconhecimento de voz se refere à capacidade de um dispositivo de identificar as palavras em uma fala. Ele exige um hardware capaz de captar sons e um software capaz de filtrar e comparar grandes quantidades de dados em um intervalo moderado de tempo, sendo pouco recomendado em aplicações sensíveis ao tempo.

A tecnologia permite que o usuário se comunique com o dispositivo como se estivesse conversando, uma forma intuitiva, cômoda e transparente. Porém, ela costuma apresentar uma taxa de falha, atraso e vulnerabilidade a ruídos bem maior que outras interfaces, além de exigir um hardware específico e relativamente potente.

Uma das fontes de falhas decorre das várias diferentes formas de pronunciar palavras, mesmo em um idioma fixo, seja por causa de um sotaque ou devido até mesmo divergências de qual seria a pronúncia correta de uma palavra (como a pronúncia correta[21] de GIF[22]).

Uma das formas de amenizar este problema é tentar identificar o contexto das possíveis palavras sendo ditas e escolher a mais provável, o que exige um esforço bem maior de programação e leva mais tempo durante a execução, outra é utilizar de um software que se adapta aos padrões de fala do usuário, o que além do esforço a mais do programador, exige um tempo e só funciona para aquele mesmo usuário. Outra vem da obtenção do áudio da fala, que necessita de um pré-processamento antes de ser comparado a um banco de dados e levantados os graus de proximidade com o devido comando. O trabalho em [23] utilizou a transformada rápida de fourier para obter uma análise espectral do sinal de voz a fim de compará-lo. A técnica também permite remover parte do ruído de um determinado sinal para conseguir uma maior acurácia em ambientes barulhentos.

Foi feita uma busca por outros trabalhos que utilizaram alguma forma de reconhecimento de voz. Dentre os resultados encontrados estão Alvez e Goulart, 2014 [24], que fez 2 aplicativos no Android Studio para celular que operava por reconhecimento de voz, uma calculadora e um aplicativo que executa funções de outros aplicativos. Este ainda menciona que o reconhecimento no Android é feito online mas pode ser feito offline com acurácia reduzida.

Um outro trabalho foi Azevedo,Denadai,Lima, 2016 [5] apresentado no Congresso Brasileiro de Automática que fez uma interface por comandos de voz para uma cadeira do rodas motorizada.

Esse segundo trabalho utilizou a plataforma appinventor para realização e levantou diversos dados sobre o desempenho, incluindo a taxa de acerto e medição de atraso da implementação do reconhecimento de voz. O trabalho também mediu o desempenho do processamento no Arduino e na comunicação bluetooth.

## 2.4 Celular e Smartphone

Os celulares foram originalmente inventados como telefones portáteis para permitir que 2 pessoas em locais diferentes conversem, evoluindo ao longo de 25 anos para dispositivos capazes de realizar uma enorme gama de funções [25]. De câmera a roteador, os celulares da atualidade são pouco utilizados para a comunicação por voz, sendo mais próximos de um computador portátil do que um telefone.

Os Smartphones, que são celulares com várias funções, são também programáveis, podendo receber programas chamados aplicativos. Similar a computadores eles também têm um sistema operacional, sendo os 2 sistemas mais comuns da atualidade os sistemas Android e o iOS.

O sistema operacional Android possui IDEs livres, permitindo que o usuário faça os seus próprios aplicativos sem a necessidade de validá-lo, desde que tenha as ferramentas e o conhecimento em programação.

Na busca por trabalhos que desenvolveram programas para celulares, foi encontrado este trabalho de 2017 também publicado na Unb [26], continuação de um trabalho do ano anterior [7] que buscou implementar um veículo aéreo não-tripulado ou VANT controlado por um aplicativo de celular. Com uma proposta inicial de utilizar o acelerômetro interno do aparelho como forma de receber comandos do usuário, enviando-o a um por bluetooth a um Arduino, este enviaria o comando ao VANT por radiofrequência. O processo está resumido na figura 13.

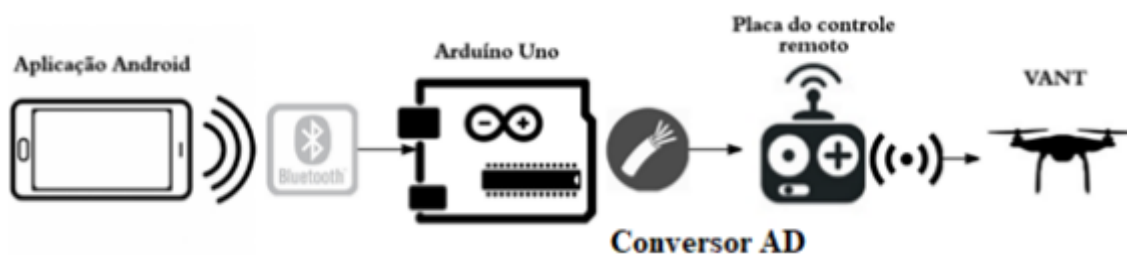


Figura 13: Proposta do trabalho de 2016[7]

Similar ao TCC de 2014 mencionado na seção anterior [24], os trabalhos do VANT utilizaram o Android Studio para programar diretamente no telefone.

A programação pode ser feita de diversas maneiras, como ReactNative, Expo, Android Studio ou pelo Appinventor. A mais simples de se programar e que será utilizada é o Appinventor [27]. Nele, a programação é feita por meio de blocos prontos para a maioria das atividades, da captação da fala até o envio dos comandos via bluetooth. A realização do programa bem como

algumas de suas funções são processadas de forma remota, o que caracteriza uma computação em nuvem.

Dessa forma, é possível desenvolver todo o programa do celular rapidamente e sem dominar as linguagens de programação normalmente necessárias para realização do aplicativo. Essa solução não é viável para aplicações de baixo nível, como processamento de imagem, mas é excelente para aplicações que utilizem sensores e/ou atuadores já existentes no aparelho. Além disso, em funções mais complexas de análise de dados o programa irá apresentar resultados similares independente do hardware do aparelho, visto que o processamento é feito em um servidor da Google caso haja disponibilidade de internet. Por outro lado, isso adiciona um atraso ao processamento que pode ser relevante em aplicações sensíveis ao tempo. É dito em [28] que a implementação utiliza aprendizado de máquina para realizar suas traduções.

Embora a função seja configurável, conforme descrito em [28], o uso do appinventor permite dois modos de uso, um que exige toque e preenche a tela do celular para apresentar resultados e outro que não exige toque mas não indica claramente nem o resultado nem quando está ativo. Devido ao requisito de toque, a primeira configuração foi descartada.

Visto que os aparelhos Android costumam vir com comunicação bluetooth integrada e trabalhos anteriores (como [7], [5] e [24]) mostraram que essa solução é viável para enviar comandos vindos de um celular portanto foi o caminho adotado para este projeto.

## 2.5 Comunicação sem fio

A comunicação sem fio se dá pelo envio de dados de um dispositivo para outro sem o uso de um cabo físico. Existem centenas de tecnologias, como RFID[29], Wi-fi[30] e Bluetooth[31] e protocolos para gerir essa comunicação.[32]

Cada tecnologia tem uma área em que é melhor aproveitada:

- RFID: Poucos dados a Curtas distâncias (ex: inventário)
- Bluetooth: Muitos dados a Curtas distâncias (ex: monitoramento local)
- Wifi: Muitos dados a Longas distâncias (ex: videoconferência)

Além da distância e quantidade de informações, cada tecnologia apresenta um tempo necessário para transmissão diferente, onde as que enviam menos dados (RFID) e/ou têm menos enlaces envolvidos na comunicação (Bluetooth) tendem a responder muito mais rápido.

## 2.6 Sensores de proximidade

Há uma gama de sensores que podem ser utilizados para detectar proximidade de outros objetos sem o toque, como o capacitivo [33], o indutivo [34], o óptico [35] e o ultrassom [36]. Sensores capacitivos e ópticos necessitam de um anteparo e só detectam objetos entre o sensor e o anteparo, sensores indutivos só detectam objetos metálicos e o ultrassom tem uma velocidade de operação limitada.

Como neste trabalho deve-se detectar quaisquer objetos sem o uso de nenhum anteparo, apenas o ultrassom foi abordado em maiores detalhes. Ele envia ondas sonoras de alta frequência e aguarda o retorno dessa onda, e sabendo que a velocidade de propagação do som no ar é aproximadamente constante, o sensor utiliza o tempo entre o envio e o retorno para calcular a distância a um objeto.

O limite de velocidade de operação vêm do fato de que o dispositivo não diferencia uma onda atual de outra anterior, sendo assim ele deve aguardar um limite máximo de tempo para a primeira onda retornar, caso contrário irá registrar objetos mais próximos do que o esperado.

O sensor também não pode enviar e ouvir a onda ao mesmo tempo, logo, caso uma onda retorne no momento em que ele envia a próxima onda ela não será detectada. Caso o objeto esteja dentro de um alcance mínimo (zona morta) a onda retornará antes de que o dispositivo esteja pronto para registrá-la e portanto também não será detectado.

O documento [37] indica que os valores máximo e mínimo de alcance são, respectivamente, 2cm e 4m, mas esses valores não foram os observados na implementação, que estavam mais próximos de 5cm a 1m.

Mais um fator limitante é que o sensor não ser capaz de distinguir tipos diferentes de objetos, sendo assim, se for obstruído, tanto por sujeira ou acidentalmente pelo usuário, o funcionamento dele será prejudicado.

## 2.7 Controle

### Estabilidade

O conceito de estabilidade BIBO (Bounded Input Bounded Output) define que um sistema é dito estável se para uma entrada de amplitude limitada a saída também apresenta amplitude limitada. Neste conceito, pode-se determinar a estabilidade de um determinado sistema observando apenas sua função de transferência [38], não sendo necessário verificá-lo para várias entradas

limitadas distintas.

### Controle em malha fechada

Controlar uma grandeza física é ditar seu comportamento ao longo do tempo, normalmente seguindo a um sinal chamado de referência. Isso pode ser feito de 2 formas distintas: malha aberta, na qual a grandeza não é observada, e malha fechada na qual ela é (exemplo na figura 14). A segunda é mais robusta, mantendo um comportamento adequado diante de variações no sistema para a qual foi projetado, independente de tais variações serem temporárias ou permanentes, mesmo que exija um ou mais sensores extras.

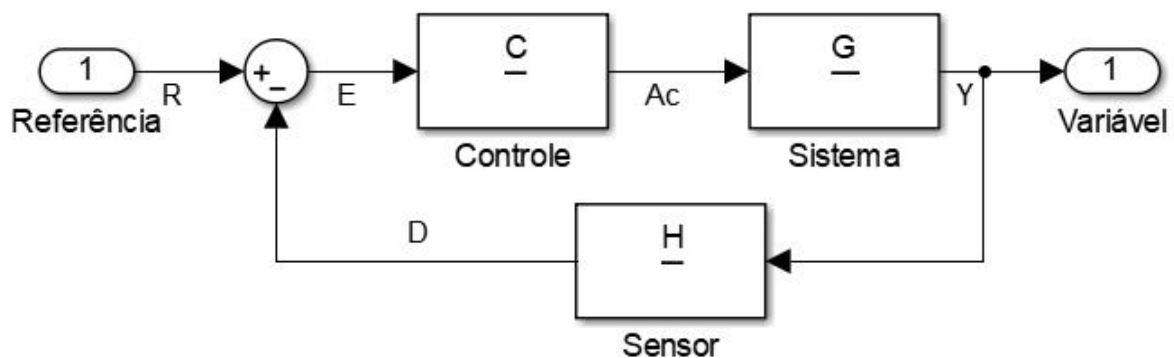


Figura 14: Representação em diagrama de blocos de uma realimentação

Existem diversas abordagens para o projeto de um sistema de controle, cada uma com suas vantagens e desvantagens.

### Regime permanente e regime transitório

Na análise de um sistema, distingue-se também a resposta transitória, que seria um comportamento temporário diante de variações da referência no domínio da frequência, e um regime permanente (ilustrado na figura 15), que seria o comportamento depois de um dado tempo sem que haja variações no sinal alvo. Utiliza-se a variação no domínio da frequência já que senóides apresentam variações no domínio do tempo mas não na frequência.

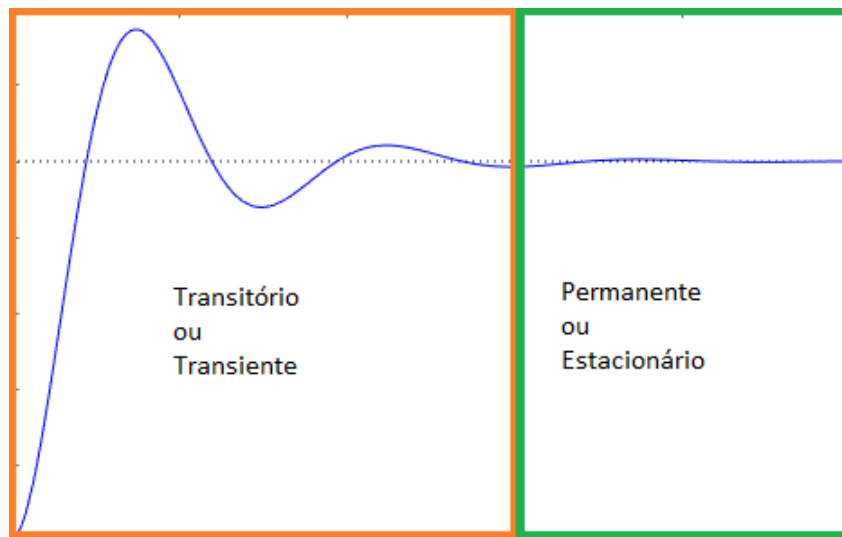


Figura 15: Exemplo de Resposta ao degrau de um sistema qualquer

### Especificações de projeto

Para avaliar o desempenho de um sistema de controle em malha fechada, define-se um conjunto de parâmetros. A maioria delas utiliza um degrau de referência para medição e a aproximação se segunda ordem sem zeros para projeto.

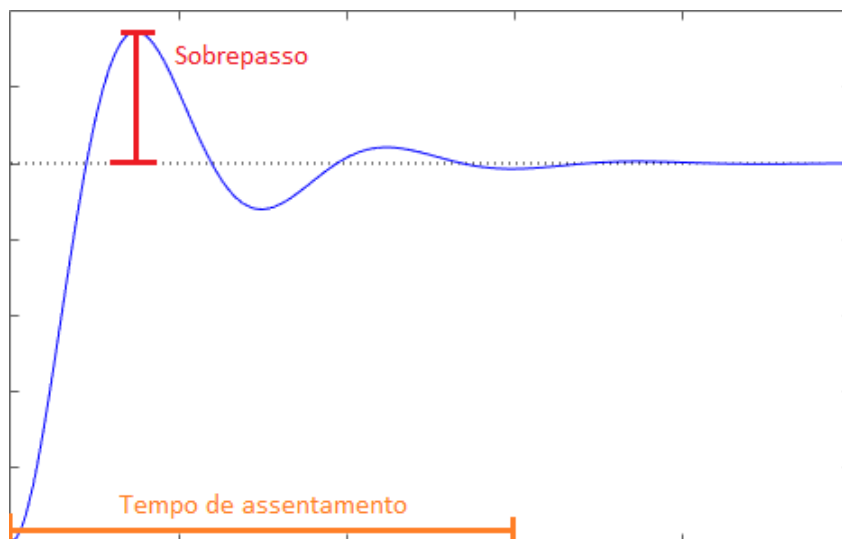


Figura 16: Especificações de Resposta ao degrau de um sistema qualquer

- Sobrepasso percentual

O quanto a variável controlada ultrapassa o seu valor final em porcentagem deste mesmo valor, conforme a figura 16.

- Tempo de Assentamento

Tempo necessário para a variável controlada atingir uma dada porcentagem de seu valor final (exemplo na figura 16), mesmo que apresente um erro em relação ao desejado.

- Erro em regime permanente

Valor percentual de erro entre o sinal alvo e o sinal controlado após atingir o regime permanente. Como este depende da entrada, este valor acompanha o tipo do sistema, descrito a seguir. Para estimá-lo, o sistema não pode ser instável e será utilizado o teorema do valor final.

- Tipo de um sistema

Valor que indica qual o grau de entrada que pode ser acompanhada sem erro em regime permanente, onde um sistema de tipo  $n$  acompanha um sinal de referência com grau  $n-1$  no tempo, supondo  $H = 1$ . Cada integrador no sistema ou em série com ele aumenta seu tipo em 1.

### **Abordagens Paramétricas de Projeto**

São técnicas que necessitam dos parâmetros do sistema a ser controlado, exigindo uma etapa de identificação e modelagem antes de serem realizadas.

- Proporcional

Controle que multiplica o erro entre a referência e a variável controlada por um dado valor e aplica isso ao sistema. Não modifica o tipo do sistema nem adiciona pólos/zeros.

- Avanço de fase

Controle que insere um pólo e um zero no sistema, com o zero à direita do pólo. Utilizado para modificar o regime transitório em malha fechada. Não modifica o tipo do sistema.

- Atraso de fase

Insere um pólo e um zero no sistema mas com o pólo à direita do zero. Utilizado para reduzir o erro em regime permanente sem modificar muito o transitório. Não modifica o tipo do sistema.

- Notch ou Avanço-Atraso

Combina os 2 métodos anteriores a fim de melhorar tanto o regime transitório quanto o permanente. No total, adiciona 2 pólos e 2 zeros, onde o projeto do avanço é feito antes e os pólos/zeros de um não devem ficar muito próximos do outro.

- Proporcional-Integral

Inserir um integrador e um zero. Usado para zerar o erro em regime permanente.

- Proporcional-Integral-Derivativo

Inserir um integrador e dois zeros. Usado para zerar o erro em regime permanente e fornecer avanços de fase maiores. Implementado como uma combinação de Proporcional-Integral seguido de um Avanço, pois não é realizável em sua forma ideal.

### Controlador de resposta Deadbeat

Um controlador com projeto simples (figura 17) mas com desempenho vulnerável a saturação e variações da função de transferência. Feito sob medida para um determinado desempenho e sistema, ele difere dos anteriores por ser realizável apenas no domínio discreto. O projeto consiste de cancelar a função de transferência do sistema, ele se torna complexo apenas quando há pólos ou zeros instáveis ou desejados no sistema sendo controlado. Caso contrário, o denominador só deve apresentar os integradores necessários para acompanhar a referência esperada.

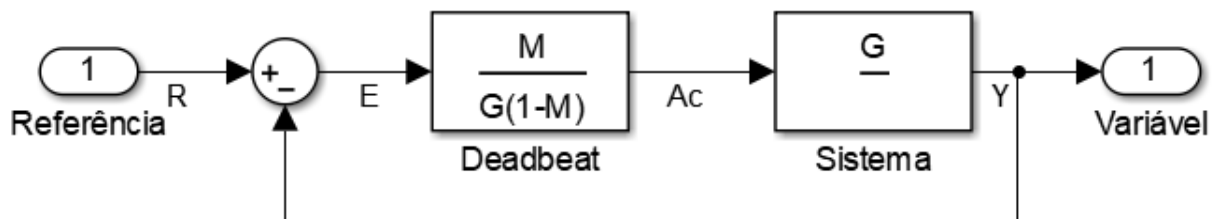


Figura 17: Exemplo de um controlador com resposta DeadBeat

## 2.8 Comunicação celular-acionamento

O próximo passo é encontrar uma forma de fazer a comunicação do celular com a plataforma que vai acionar os motores. Primeiramente, deve-se escolher entre uma comunicação com fio ou sem fio. Devido à variação de possíveis encaixes com o celular, limitações de alcance e até mesmo possível mal contato, é mais eficaz optar por fazer a comunicação sem fio.

Na escolha da comunicação sem fio, pode-se optar tanto pela tecnologia wi-fi como pela tecnologia bluetooth. Visto que a tecnologia wifi convencional requer um roteador e uma série de protocolos enquanto o bluetooth requer apenas um emparelhamento entre os dispositivos, será utilizado o bluetooth.

Outros trabalhos também optaram pelo Bluetooth, como os trabalhos do VANT mencionados

anteriormente [26] e [7] e o de 2014 que transmitia comandos de voz de um Android para um Arduino [24]. Este segundo trabalho ainda apresenta a existência de 3 classes de bluetooth:

- Classe 1 Com até 100 metros de alcance.
- Classe 2 Com até 10 metros de alcance.
- Classe 3 Com até 1 metro de alcance.

Visto que é esperado que uma pessoa esteja sentada na cadeira pra operá-la, não há necessidade de utilizar um módulo bluetooth classe 1, e para operar confortavelmente dentro do alcance do dispositivo, será escolhida a classe 2, se possível.

O protocolo também permite um sistema mestre-escravo, em que um dispositivo mestre gerencia qual outro dispositivo escravo estará ativo. Nessa arquitetura, uma rede possui 1 único mestre mas pode conectar vários escravos.

## 2.9 Acionamento

A plataforma escolhida para receber os comandos do celular e traduzi-los em um comando aos motores será o Arduino, como nos trabalhos anteriores que também trabalharam na cadeira [1] e [4], devido ao fácil acesso, simples uso e os vários módulos existentes para diversas funcionalidades.

A interface de desenvolvimento é open-source e bem simples, similar à linguagem de programação C. Os programas resultantes consistem de uma etapa de 'Setup' que é executada uma única vez e uma etapa de 'Loop' que se repete enquanto o programa não for sobrescrito ou apagado.

Quanto ao hardware escolhido, foi utilizado o Arduino Uno R3, que de acordo com o site filipeflop, é uma versão abundante e compatível com grande parte dos módulos para Arduino, os quais serão necessários para que o R3 realize quaisquer ações. Para a realização do projeto, deverá-se obter um módulo para a comunicação bluetooth e outro para o acionamento dos motores.

O primeiro módulo relevante é o módulo SPP-C JDY-31, um módulo bluetooth classe 2 que irá operar como escravo enquanto o programa mestre estará no celular. Este módulo será responsável por obter os comandos enviados do celular e entregues à placa Arduino.

O segundo módulo relevante é a ponte H, que irá permitir um acionamento bidirecional dos motores, sendo capaz de chavear até 35 Volts. A escolha das baterias foi de

O sensoriamento para detecção de objetos próximos deve ter um alcance longo o suficiente para frear a cadeira em velocidade máxima antes que ela percorra o alcance e toque o objeto detectado. De acordo com o trabalho apresentado no CBA2016 [5], o tempo de resposta esperado do Appinventor somado ao do Arduino é inferior a 2 segundos e de acordo com o trabalho [4], a velocidade esperada da cadeira é inferior a 2 metros por segundo.

Sendo assim, assumindo uma frenagem instantânea, o usuário pode interromper o movimento ao observar um obstáculo a pelo menos 4 metros de distância. Caso o objeto esteja mais próximo, o sensoriamento deve intervir então um alcance de 4 metros para os sensores de proximidade é razoável.

Por último, os sensores escolhidos para a medição de velocidade/posição foram ópticos, para a montagem de encoders para as rodas, similares em funcionalidade aos instalados na cadeira do GRACO.

## **2.10 Medição de carga da bateria**

Como a cadeira irá se movimentar por médias a longas distâncias, ela necessita de uma bateria e uma forma de indicar ao usuário a autonomia restante. Trabalhos como Felipe A. A. B. em 2014 [39] e Márcio B. M. em 2006 [40] indicam que a relação entre tensão e corrente de uma bateria varia com a carga restante, e assumindo uma massa e eficiência para o sistema de acionamento, pode-se estimar a distância que a cadeira pode percorrer sem recarregar.

Para estimar a carga sem medição de corrente, pode-se medir a tensão fornecida. Em Orrico, M.V.M., 2013 [8], é indicado que a tensão cai rapidamente quando a carga está abaixo de 10% conforme a figura 18.

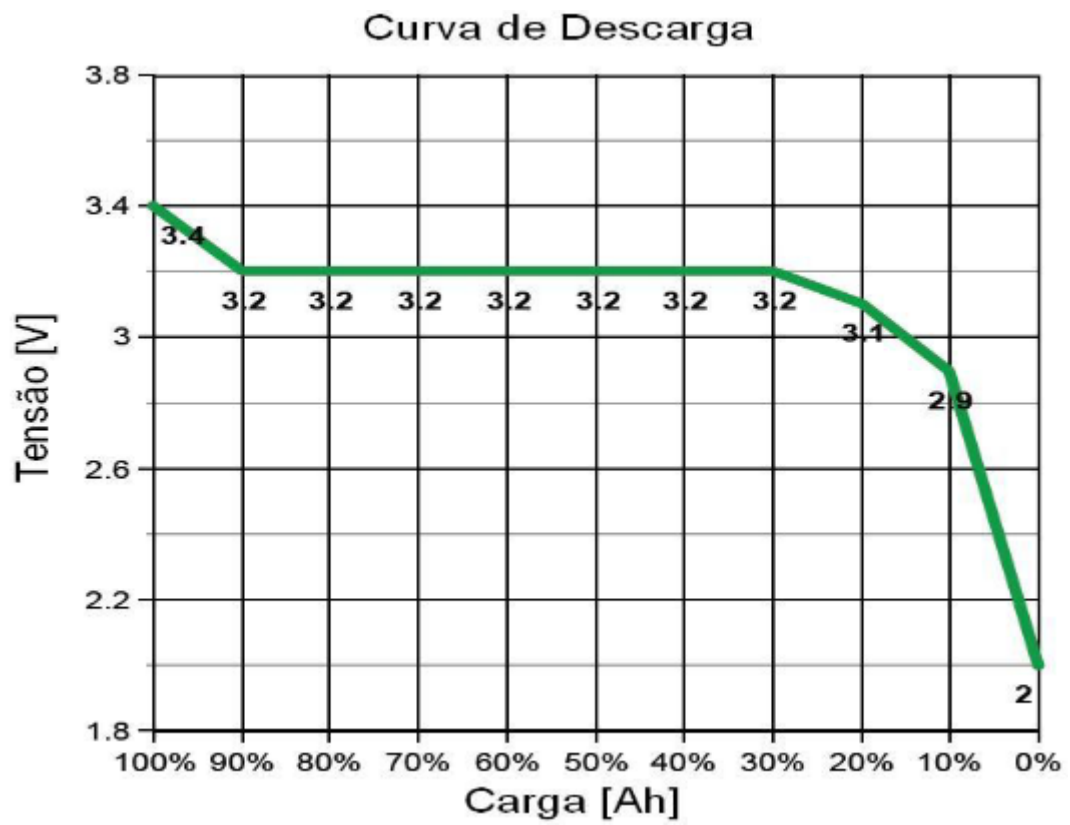


Figura 18: Exemplo de curva de descarga para uma bateria de 3.2V, disponível em [8]

### **3 Desenvolvimento**

Devido ao regime remoto, não foi possível utilizar a cadeira de rodas do laboratório para validação do software, sendo assim, foi montado um robô móvel para simular o comportamento do sistema pronto na cadeira e assim poder estimar o desempenho da interface por comando de voz.

A lista de materiais utilizados para a montagem do robô modelo é apresentada a seguir.

#### **3.1 Montagem do robô**

##### **3.1.1 Lista de Materiais**

- 2 placas de acrílico 260mmx150mmx3mm
- 1 placa de acrílico 190mmx150mmx3mm
- 1 Arduino Uno R3
- Módulo bluetooth JDY-31-SPP
- Conectores Wago 221 (20A 300V)
- Jumpers macho-macho e macho-fêmea para protoboard
- 4 baterias 9V 250 mAh
- 2 motores JGA25370 6V 130RPM 3.6kgf
- 2 Rodas de 65mm de diâmetro
- Ponte H L298N
- Fita isolante
- 2 sensores de proximidade por ultrassom HC-SR04
- 2 sensores ópticos para os encoder
- 1 roda livre

### 3.1.2 Montagem

A estrutura consiste da combinação de 2 kits (figura 19), o que resultou em 3 andares separados por placas de acrílico. A montagem geral pode ser vista na figura 20.



Figura 19: Kits da Estrutura do robô, imagem e kits da Huinfinito[9]

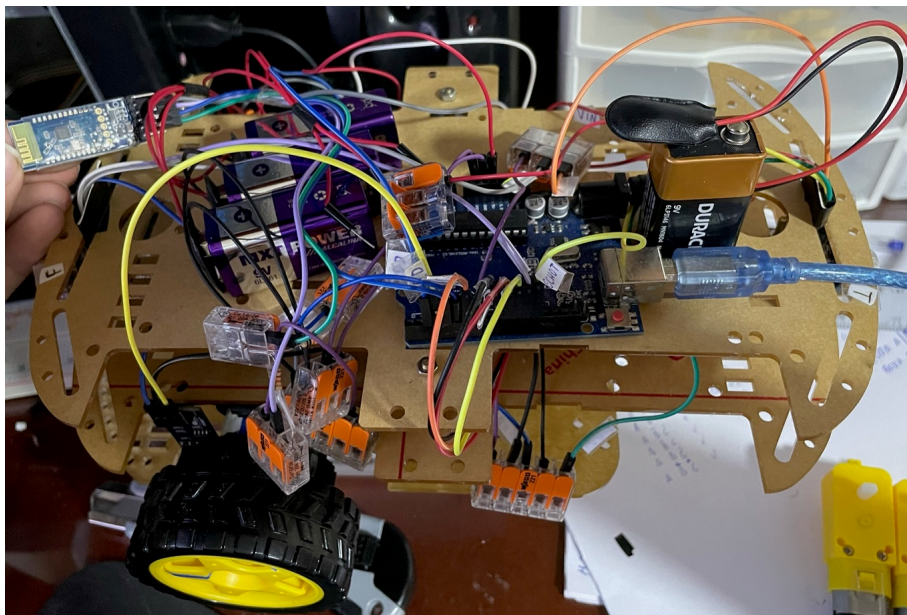


Figura 20: Montagem geral vista de cima

As baterias utilizadas na montagem da figura 20 não são as mesmas da lista de materiais e foram trocadas após descarregarem. As baterias recarregáveis utilizadas só foram obtidas após vários meses devido à disponibilidade de um carregador.

O primeiro andar da montagem (figura 21) contém apenas os motores, fixados com uma combinação de peças sobressalentes das estruturas, fita isolante. Conectados aos motores estão os sensores ópticos fixados por fita isolante e elásticos de costura. As rodas, que são de uma

montagem anterior, têm um eixo de tamanho diferente dos motores utilizados e foram encaixadas com o auxílio de fita isolante para preencher a diferença entre os eixos e assim reduzir oscilações.

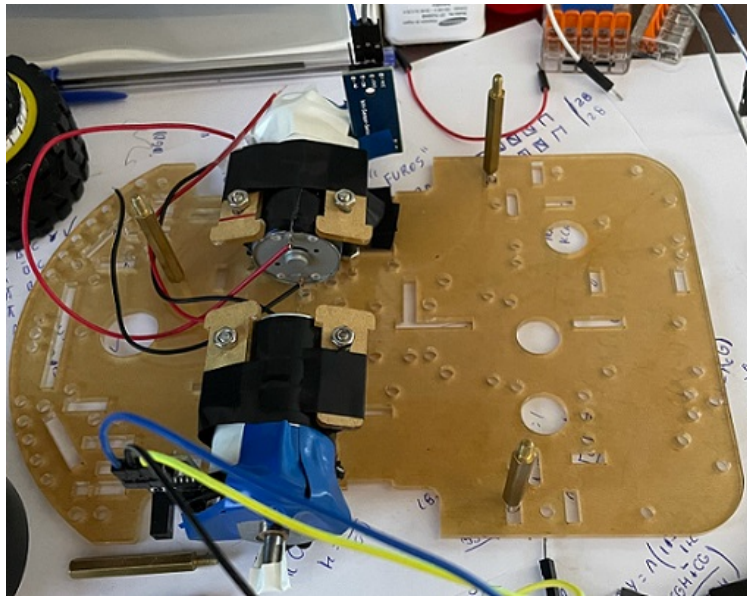


Figura 21: Primeiro andar do robô montado (Foto de: Autor)

Essa solução se provou eficaz apenas para curtos períodos de tempo pois o desgaste causado pelo uso desgasta a fita e a roda fica bamba, saindo do eixo após longos períodos de uso. Devido à falta de acesso a meios melhores, como impressão 3d, não foi possível resolver esse problema de maneira satisfatória.

O segundo andar (figura 22) contém a ponte H e os sensores de proximidade. A roda livre (figura 23) para apoio traseiro também se encontra fixada no segundo nível do robô.

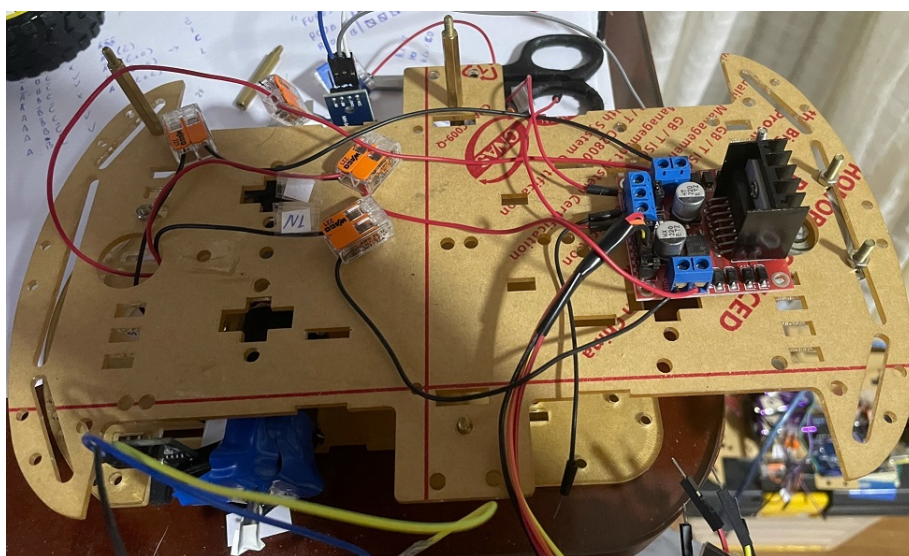


Figura 22: Segundo andar do robô montado (Foto de: Autor)



Figura 23: Imagem da roda livre (Foto de: Autor)

O terceiro andar (figura 20) leva as baterias, o arduino, e o módulo bluetooth. Das 4 baterias, delas 3 operam em paralelo para fornecer aos motores a corrente necessária e a quarta é exclusiva para alimentação do Arduino durante a operação. Todas fornecem 9 volts de tensão nominal, são recarregáveis e apresentam uma carga de 250mAh.

Na montagem, apenas os acrílicos, a ponte H e a roda livre são fixas por parafusos, o resto dos materiais é mantido no lugar por atrito ou está solto no robô. As conexões dos fios são feitas com conectores Wago (figura 24), que embora sejam fabricados para uso em instalações elétricas, permitiram que o robô fosse montado sem PCBs nem protoboards, além de serem removíveis.

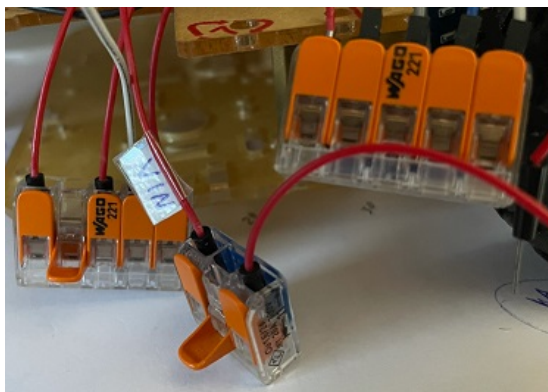


Figura 24: Imagem dos conectores Wago utilizados (Foto de: Autor)

Os sensores de proximidade foram posicionados um na frente e um atrás do robô, encaixados em furos presentes nas peças de acrílico e fixados com auxílio de fita isolante. A figura 25 apresenta uma visão geral enquanto as figuras 26 e 27 mostram os sensores dianteiro e traseiro, respectivamente.

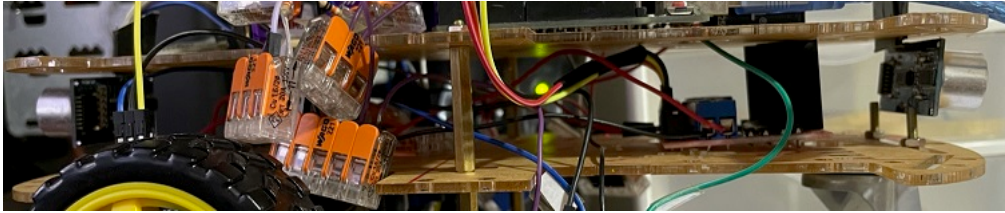


Figura 25: Fixação dos sensores no robô montado (Foto de: Autor)



Figura 26: Sensor Dianteiro (Foto de: Autor)



Figura 27: Sensor Traseiro (Foto de: Autor)

Os discos dos encoders foram feitos à mão com fita isolante preta, papéis e partes de garrafas pet, cobertos de fita adesiva transparente e posicionados nas rodas. Os sensores óticos presos aos motores podem medir a distância percorrida pelo robô contando o número de vezes que o feixe é interrompido pelas fitas presas à roda. A razão da fita transparente é dar uma vida útil maior ao encoder, que em versões anteriores, perdia trechos da fita isolante conforme a roda girava.



Figura 28: Encoder improvisado

### **3.1.3 Outros problemas da montagem**

Um dos problemas encontrados durante o trabalho foi das não-linearidades dos motores a baixas velocidades. O primeiro par de motores utilizado, com um torque de 1,92 kgf.cm, não foi capaz de executar apropriadamente os comandos da ação de controle na velocidade desejada. A troca para um segundo par com 3,6 kgf.cm reduziu o problema a níveis aceitáveis.

Em trabalhos futuros, recomenda-se o uso de uma maior redução de velocidade, o que não foi feito no presente trabalho devido à limitações do modelo.

Outro problema visto foi sobre a escolha da fonte de energia. A primeira versão do modelo contava com 4 pilhas em série para gerar os 6v de tensão dos motores. Com a necessidade de maiores torques, foram utilizados 2 conjuntos em paralelo, o que ocupou muito espaço e era de difícil manutenção, além de apresentar uma curva de tensão em relação à carga bastante desfavorável ao seu uso.

O conjunto de pilhas foi substituído por baterias de 9v, dos quais são enviados no máximo 6v aos motores via modulação por largura de pulso (PWM). Mais tarde o conjunto foi modificado para utilizar baterias recarregáveis de 9v para reduzir gastos.

As baterias do modelo também deve permanecer fisicamente desconectadas do restante do circuito enquanto não estiver sendo utilizado, pois elas descarregam mesmo que o restante do modelo esteja desligado.

## **3.2 Geração do programa do Arduino**

Nesses códigos foi utilizada a versão 1.8.16 da IDE do Arduino e a versão do MatLab utilizada foi a 2015a, em um Windows 10 PRO versão 21H1.

Para facilitar a implementação do sistema, o programa feito no matlab gera todo o código utilizado pelo Arduino, criando vários arquivos com a extensão .h e um com a extensão .ino mesmo eles sendo escritos como arquivos de texto. Dessa forma, todo o código é mantido e atualizado e com o mínimo de chance de falhas na passagem do projeto para o Arduino. Por organização, todo arquivo também inicia com o nome do script que o escreveu.

Pode-se ver um resumo do processo que escreve e depois move os arquivos a seguir e um trecho do arquivo escrito pelo resumo na figura 29.

O destino, nome e índice do arquivo são salvos em uma variável 'FileCell', em seguida o programa abre o arquivo no modo escrita.

```
1 FileCell = {'data', 'Motores_Bluetooth_ML.h', NFiles+1};
2 NFiles = NFiles + 1;
3 fid = fopen(FileCell{NFiles,2}, 'w');
```

Utiliza-se uma variável auxiliar 'Tmp1' para guardar todo o texto do arquivo.

```
1 Tmp1 = [Tmp1 '#include "Mainprog.h" \n'];
```

Em seguida o arquivo escrito na memória.

```
1 fprintf(fid, Tmp1);
2 fclose(fid);
```

E ao final do código principal, todos os arquivos na variável 'FileCell' são movidos às respectivas pastas.

```
1 A = size(FileCell);
2 for n = 1:A(1)
3     switch MyStringComparator(FileCell{n,1}, ...
4         {'subrotinas'; 'modules'; 'data'})
5         case 1
6             TgtFolder = [Folders{1}, '/', Folders{2}, ...
7                 '/', Folders{3}, '/', Folders{4}];
8         case 2
9             TgtFolder = [Folders{1}, '/', Folders{2}, ...
10                '/', Folders{3}];
11        case 3
12            TgtFolder = [Folders{1}, '/', Folders{2}];
13        case 0
14            TgtFolder = Folders{1};
15    end
16    movefile(FileCell{n,2}, TgtFolder);
17 end
```

Os arquivos são escritos como se fossem texto (.txt) mas recebem uma extensão (.ino ou .h) dependendo da função que eles têm dentro do programa. Como o único arquivo aberto no computador é o principal e ele contém apenas um comando de incluir outros arquivos, não é necessário reiniciar o programa do Arduino para que os arquivos sejam atualizados.

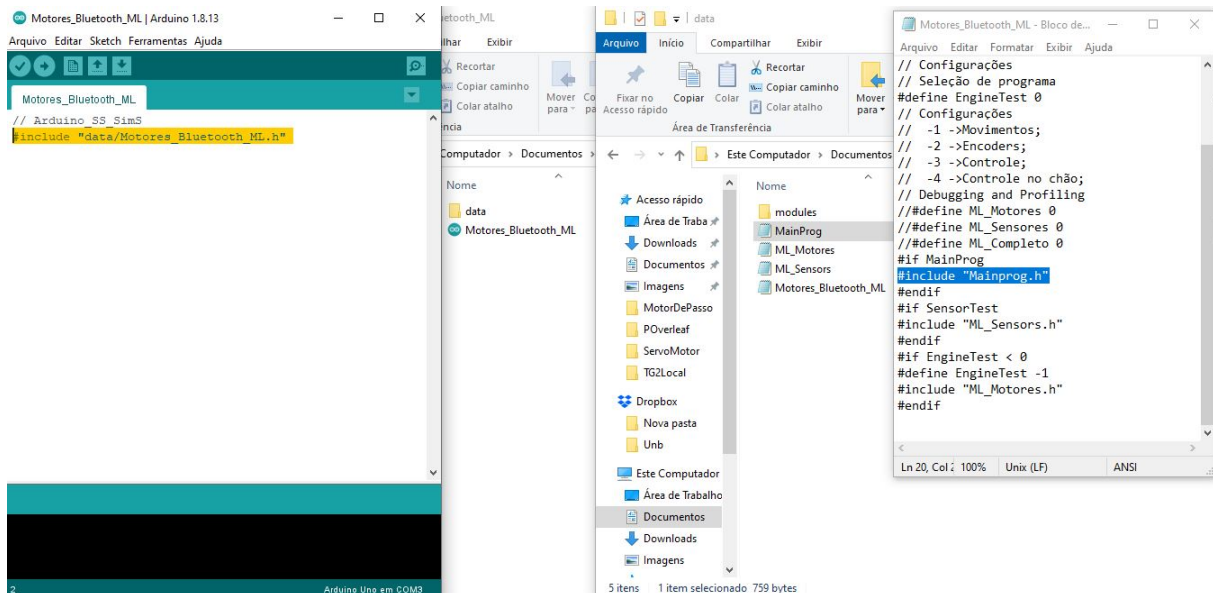


Figura 29: Exemplo dos arquivos do Arduino

### 3.3 Implementação dos Encoders

O código para uso dos encoders necessitou de maior atenção. Implementado com interrupções nos pinos 2 e 3 do Arduino e conectadas aos pinos digitais dos sensores, eles disparam uma interrupção sempre que detectam uma borda de subida. Os sensores ópticos utilizados apresentavam um ruído durante a troca de nível fazendo com que disparasse a interrupção associada não apenas na subida, mas quanto na descida e potencialmente, múltiplas vezes para cada troca. Foi feito um curto vídeo mostrando o problema no apêndice (aqui).

Sendo assim, mostrou-se necessário implementar um tempo mínimo entre incrementos para reduzir o efeito do problema. Esse tempo utilizado foi de 2ms determinado experimentalmente. É apresentado abaixo o código para implementação de uma dessas interrupções. Ele deve ser escrito em um arquivo de forma similar ao resumo apresentado na seção 3.2.

```

1     Tmp1 = ...
2     [ ...
3     'void inter_DDCounter_FWD() { \n' ...
4     '   if (( millis () - Timer_AuxD ) > ' ...
5     ', num2str ( EncoderDelay ), ' ) { \n' ...
6     '     Timer_AuxD = millis (); \n' ...
7     '     Counter_DDP = Counter_DDP + 1; \n' ...
8     '   } ' ...
9     ];

```

Os encoders utilizados não diferenciam a movimentação para frente da movimentação para trás, sendo necessário o uso de 4 interrupções, uma para cada sentido de rotação de cada motor. Quando é enviada uma tensão ao motor, o programa ativa a respectiva interrupção para o respectivo motor e quaisquer rotação será medida como sendo na direção desejada, independente do sentido de rotação real.

### 3.4 A interface de comando

O programa do celular, que servirá de interface com o usuário, foi desenvolvida no site appinventor, versão '2.62 nb187c'. Nele, a programação é feita por blocos e utiliza sensores e serviços prontos no aparelho. Dentre eles, destaca-se o serviço de reconhecimento de voz e o serviço de comunicação por bluetooth.

A tela inicial do aplicativo (figura 30) permite ao usuário escolher um contato para emergências, que deverá receber uma mensagem de texto caso a bateria do celular ou da cadeira esteja baixa. Embora a navegação e funcionamento dos botões, manipulação de texto, medição de bateria do celular (feita pela extensão [41]) e persistência de memória tenham sido implementadas, a funcionalidade do envio de mensagens não pode ser realizada.

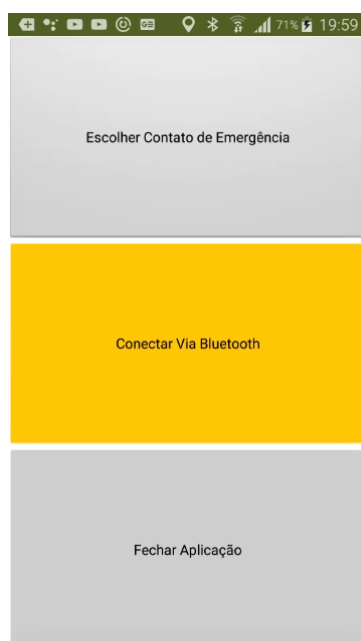


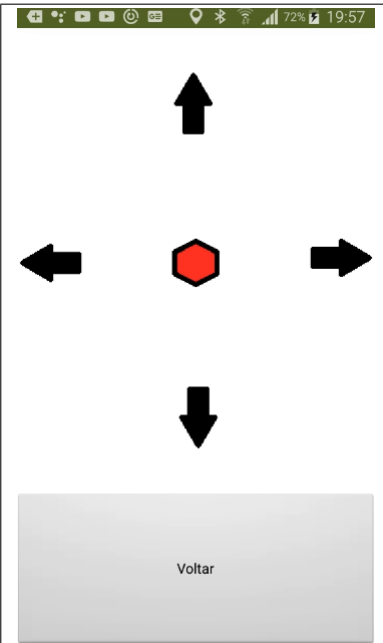
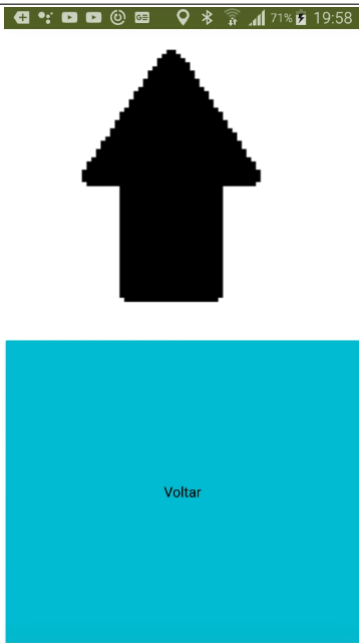
Figura 30: Tela inicial do aplicativo

Ainda na tela inicial, o usuário pode se conectar com um dispositivo bluetooth, que irá conectá-lo ao módulo do Arduino. Pela forma que a conexão está implementada, o dispositivo se conecta ao primeiro bluetooth encontrado, algo que deve ser resolvido em implementações

futuras mas é adequado para testes em ambientes controlados. Ao se conectar com um dispositivo, a tela irá mudar para a de 'Seleção de Comando', apresentada na tabela 5. Ao selecionar um modo, a tela se altera para a respectiva imagem à direita ou à esquerda da tabela 5. Esse processo está descrito na figura 31.

A tela 'Comando por Voz' altera sua imagem para apresentar o comando enviado ao Arduino, conforme apresentado na figura 32 e que no exemplo, o faz ir para frente enquanto a tela de 'Comando Manual', cujo comportamento está apresentado na figura 33, envia um comando correspondente ao ícone tocado na tela e ao remover a mão do ícone, ele comanda o Arduino a parar. O botão de parada no centro da tela não tem funcionalidade relevante e deve ser removido em implementações futuras. Uma demonstração da interface pode ser vista no anexo (aqui)

Tabela 5: Telas de escolha e de modos de uso

Comando Manual	Seleção de Comando	Comando por Voz
		

A interface apresentada na figura 9 com algumas modificações, é uma boa candidata a substituir a tela da interface por comando de voz implementada neste trabalho, por apresentar o comando sendo executado bem como os comandos possíveis, mas não houve tempo hábil para implementá-la.

As funções descritas estão representadas nos diagramas a seguir, onde o comportamento de navegação está apresentado na figura 31, o comportamento no modo de operação por voz é visto na figura 32 e o comportamento no modo de operação manual é visto na figura 33.

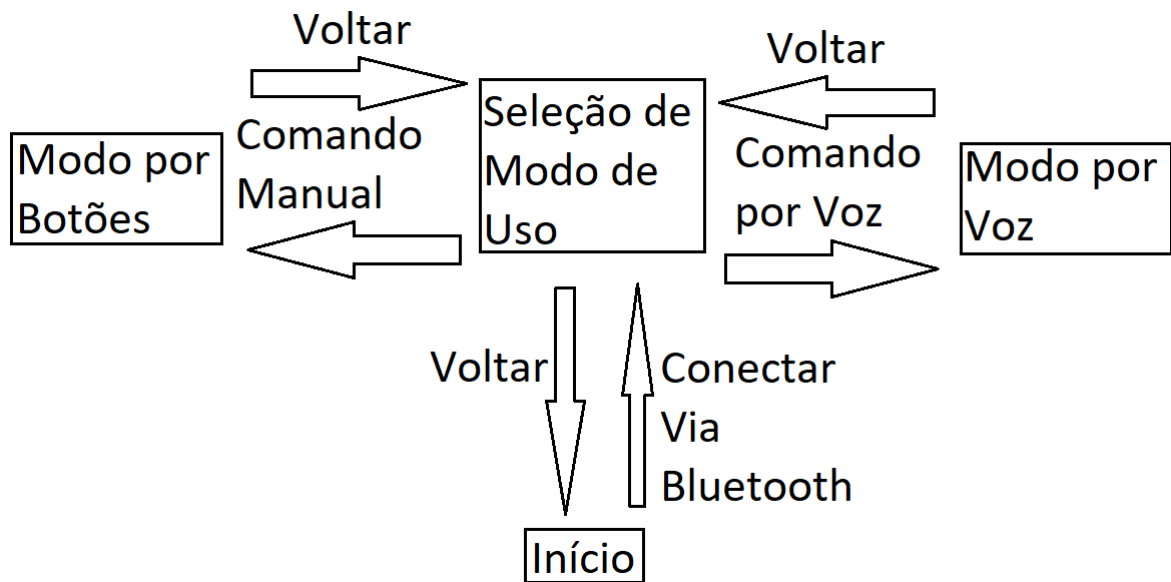


Figura 31: Diagrama da Navegação

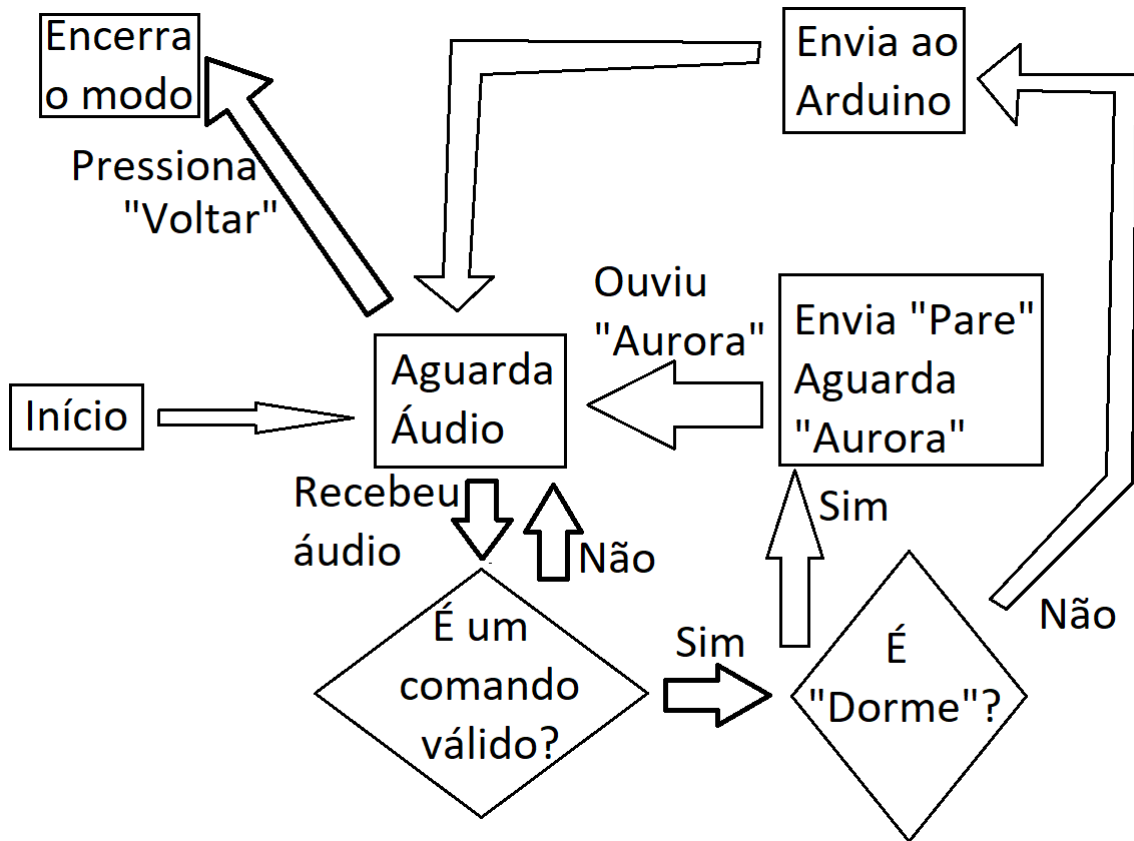


Figura 32: Diagrama da operação por voz

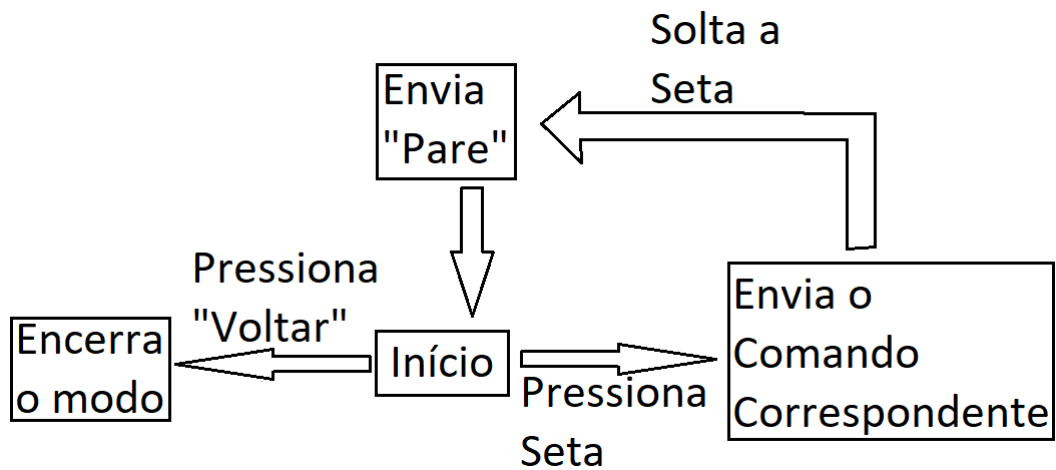


Figura 33: Diagrama da operação manual

### 3.5 Identificação

Esta seção descreve a metodologia utilizada para encontrar a função de transferência dos motores com carga, ou seja, durante a movimentação no chão.

#### 3.5.1 Obtenção de Dados

O Arduino foi carregado com um arquivo de teste que o movia para frente e em seguida para trás enquanto enviava ao MatLab os dados obtidos nos encoders via bluetooth. Nesta configuração de teste, a tensão aplicada nos motores era igual a 6 volts.

O Arduino enviava dados de Tempo e Posição de cada roda, permitindo montar a resposta dos motores a um degrau de tensão em ambas as direções, ou seja, 4 funções de transferência.

#### 3.5.2 Estimando as Funções de Transferência

A partir dos dados e um chute inicial, foi utilizada uma função de 'fit' do matlab que determina os coeficientes de uma determinada função que melhor se adequam aos dados lidos. Tal função é montada a partir da resposta ao degrau de um sistema de primeira ordem sem zeros e sem atrasos.

O trecho de código que realiza essa estimativa de dados é apresentado a seguir.

```

1 funct      = ['(b)*(1 - exp(-a*x))'];
2 funct_Vel  = fit(X,Data,funct,'Start',[10 100 0])
  
```

```

3 A = funct_Vel.a;
4 B = funct_Vel.b;
5 G2 = zpk([], [0 -A], B*A); \ %Tensão para Posição
6 G1 = zpk([], [-A], B*A); \ %Tensão para velocidade

```

As funções de transferência obtidas são apresentadas na tabela 15, disponível no anexo (aqui).

Para cada figura nas seções 3.4, 3.5 e 3.6 são apresentadas 4 siglas, sendo um para cada sentido de movimento de cada roda, de acordo com a tabela 6.

Tabela 6: Legenda das figuras das seções 3.4, 3.5 e 3.6

EF	Motor Esquerdo em rotação horária
ET	Motor Esquerdo em rotação anti-horária
DF	Motor Direito em rotação anti-horária
DT	Motor Direito em rotação horária

### 3.5.3 Comparação das Estimativas com os Dados

A comparação (figura 34) mostra, em um mesmo gráfico, a resposta ao degrau das funções de transferência estimadas e as devidas distâncias e velocidades medidas, a fim de determinar sua acurácia. Para um segundo parâmetro de comparação, é utilizada a função estimada para simular a resposta de posição para este mesmo degrau. A curva laranja representa os dados lidos, a curva azul a aproximação contínua obtida e a curva em vermelha a aproximação discreta obtida.

Devido à taxa de amostragem de 0.073, experimentalmente determinada como a menor possível para o programa no Arduino, as funções contínua e discreta estão praticamente sobrepostas.

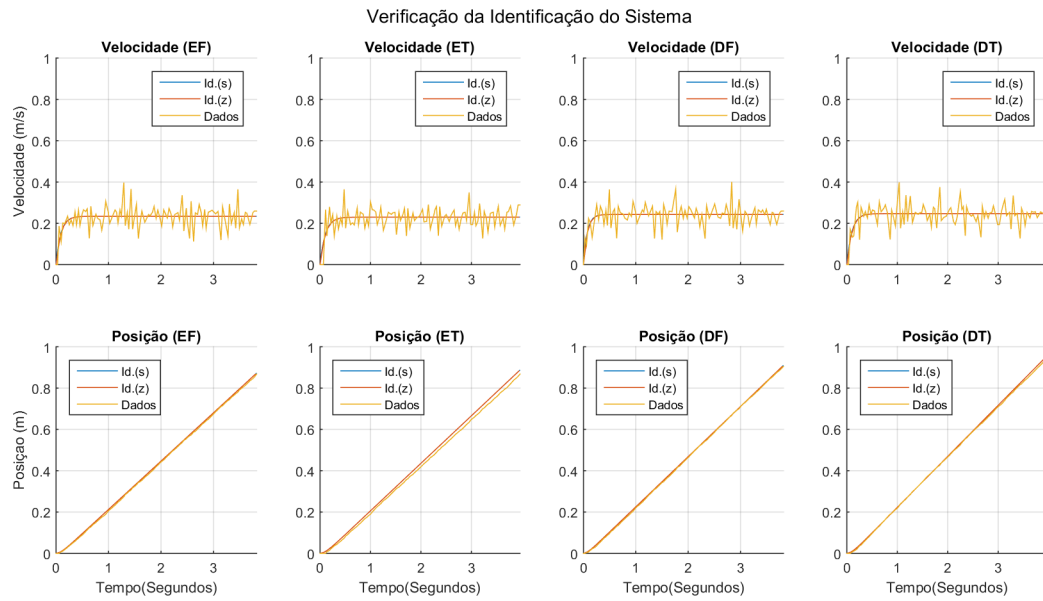


Figura 34: Identificação do sistema

A curva de velocidade não pôde ser adequadamente comparada com sua estimativa devido a oscilações bruscas de valores nos dados, o que pode ser reduzido ao agrupar conjuntos de velocidades. A curva de posição estimada se adéqua bem aos dados. Utilizando um filtro de média móvel ponderada, pode-se reduzir o ruído do sinal de velocidade e obter uma comparação (figura 35) melhor.

Foi utilizada uma razão de 0.75 no filtro apresentado pois valores menores não apresentaram mudanças significativas no sinal de velocidade.

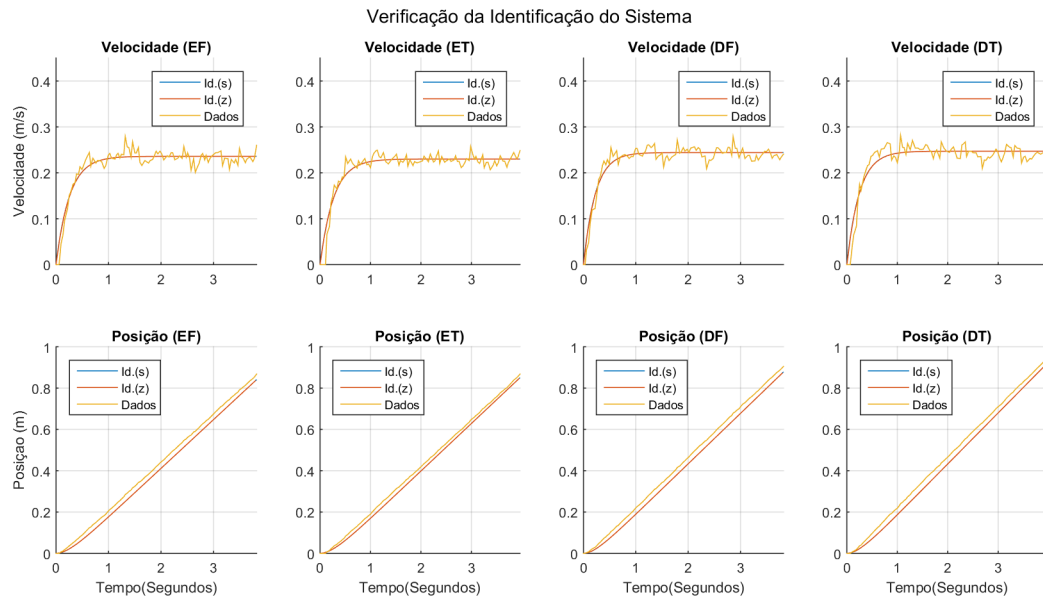


Figura 35: Identificação com filtro de média móvel de razão 0.75

Esse filtro não pôde ser implementado corretamente no Arduino e embora tenha reduzido as oscilações de velocidade observadas também introduziu um erro na estimativa de posição, conforme visto na figura 35.

### 3.6 Projeto dos Controladores

A partir das funções de transferência obtidas, projetou-se um controlador para cada com 10 técnicas. Cada uma será apresentada em seções seguintes acompanhada de um teste feito com o robô suspenso. Para simular cada caso foi utilizado um diagrama de blocos no Simulink apresentado abaixo (figura 36).

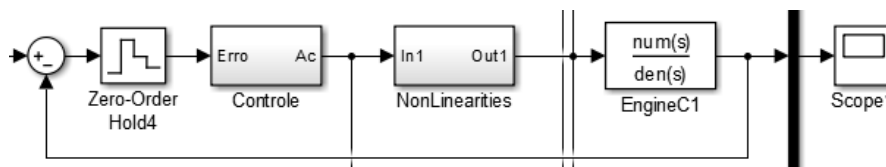


Figura 36: Sistema de teste no Simulink

Para cada caso, são feitas duas simulações, uma ideal e uma estimando as não-linearidades de atrito estático e saturação dos motores. Essa segunda utiliza um bloco 'NonLinearities' (figura 37) apresentado abaixo para simular as não-linearidades.

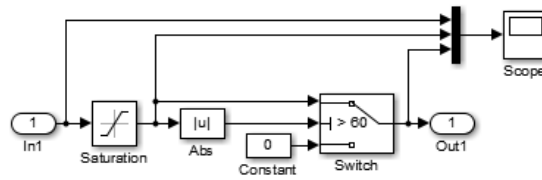


Figura 37: Bloco para simular as atrito e zona morta

Além disso, para que o controlador fosse realizável pelo microcontrolador ele foi traduzido em somas, multiplicações e atrasos por meio de uma realização na forma canônica controlável [42]. Para verificar que essa tradução não interfere no funcionamento do controle, ela foi feita em um bloco de controle (figura 38) e comparada à função de transferência original. Apenas a simulação ideal utiliza um bloco com função de transferência no formato convencional.

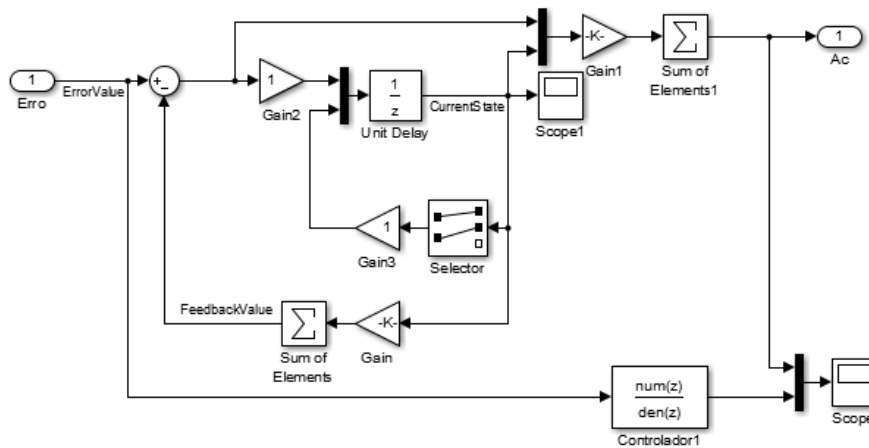


Figura 38: Comparador da tradução

Os valores apresentados aqui serão os utilizados pelo Arduino considerando funções de transferência de  $\frac{Furos}{Volts} \frac{9}{255}$  enquanto os gráficos obtidos mostram metros, volts e segundos. As conversões para SI não são feitas no microcontrolador para acelerar o processamento.

Os nomes de cada controlador são relacionados à roda e sentido de movimentação na qual ele age, de acordo com a tabela 7.

Tabela 7: Legenda dos controladores na seção 3.6

CEF	Controle do Motor Esquerdo em rotação horária
CET	Controle do Motor Esquerdo em rotação anti-horária
CDF	Controle do Motor Direito em rotação anti-horária
CDT	Controle do Motor Direito em rotação horária

Para resumir os resultados das simulações de cada controlador feito, é apresentada a tabela 9 e uma legenda para a interpretação dessa tabela se encontra na tabela 8. Cada simulação, fórmula e código será apresentada na seção 5.

Tabela 8: Legenda das Abreviações da tabela 9

Controlador	Abreviação
Deadbeat (Tipo 1 Normal, Velocidade, Amostragem de 0.073s)	DB1N_Vel_T73
Proporcional Integral (Com Cancelamento, Velocidade, Amostragem de 0.073s)	PIC_Vel_T73
Proporcional Integral (Sem Cancelamento, Velocidade, Amostragem de 0.073s)	PIN_Vel_T73
Deadbeat (Tipo 1 Normal, Posição, Amostragem de 0.073s)	DB1N_Pos_T73
Deadbeat (Tipo 2 Normal, Posição, Amostragem de 0.073s)	DB2N_Pos_T73
Deadbeat (Tipo 1 Amortecido, Posição, Amostragem de 0.073s)	DB1A_Pos_T73
Deadbeat (Tipo 2 Amortecido, Posição, Amostragem de 0.073s)	DB2A_Pos_T73
Proporcional (Subamortecido, Posição, Amostragem de 0.073s)	P_Pos_T73
Lag (2.5x , Posição, Amostragem de 0.073s)	Lag_Pos_T73
Avanço (Com Cancelamento, Posição, Amostragem de 0.073s)	Lead_Pos_T73

Tabela 9: Tempos de assentamento e sobrepasso percentual observados no sinal de controle da simulação com estimador de não-linearidades

Nomes		Tempo de Assentamento			
Indice	Abreviação	EF	ET	DF	DT
1	DB1N_Vel_T73	0.29191	0.29195	0.21898	0.29183
2	PIC_Vel_T73	0.29191	0.29195	0.21898	0.29183
3	PIN_Vel_T73	Inf	0.58389	Inf	Inf
4	DB1N_Pos_T73	2.2621	2.4815	1.8242	2.262
5	DB2N_Pos_T73	Inf	Inf	Inf	Inf
6	DB1A_Pos_T73	1.4592	1.605	1.0211	1.387
7	DB2A_Pos_T73	Inf	1.0219	Inf	Inf
8	P_Pos_T73	1.5322	1.6053	1.2408	1.5323
9	Lag_Pos_T73	1.4596	1.5326	1.313	1.4596
10	Lead_Pos_T73	0.51069	0.51041	0.65622	0.51068

Nomes		Sobrepasso Percentual			
Indice	Abreviação	EF	ET	DF	DT
1	DB1N_Vel_T73	115.3403	110.0397	105.3109	125.8471
2	PIC_Vel_T73	115.3403	110.0397	105.3109	125.8471
3	PIN_Vel_T73	Inf	110.0397	Inf	Inf
4	DB1N_Pos_T73	115.3349	110.0273	122.2928	125.8413
5	DB2N_Pos_T73	Inf	9.439	Inf	Inf
6	DB1A_Pos_T73	115.3396	110.0381	121.8677	125.8463
7	DB2A_Pos_T73	Inf	110.0392	Inf	Inf
8	P_Pos_T73	47.0962	44.1166	36.6176	47.007
9	Lag_Pos_T73	40.6701	37.8254	32.9308	40.5837
10	Lead_Pos_T73	20.049	26.525	2.6555	20.2586

A escolha dos controladores a serem testados foi feita baseada nos dados de tempo de assentamento e sobrepasso do sinal de controle, apresentados na tabela 9, para os controladores 1 a 8. Os casos 9 e 10 foram feitos após a escolha do proporcional e não se mostraram melhores em seus respectivos testes, apresentados no anexo (aqui).

### 3.7 Testes de Movimento

Para esta etapa de testes, foram enviados comandos de movimento ao robô e observado como ele respondia, observando se ele era capaz de manter as velocidades/posições nos valores desejados. Deseja-se que ele apresente o mesmo deslocamento a todo momento para ambas as rodas, dessa forma ele executa giros sem deslocamento nos comandos de rotação e movimentações retilíneas quando comandado a ir para frente ou para trás.

Isso pode ser feito tanto com um controle de velocidade quanto de posição, onde a versão por posição é gerada conforme ordens são recebidas. O robô também não deve fazer ajustes enquanto parado, logo não serão utilizadas soluções que acompanhem a posição que contenham um canal integral.

Para o caso das figuras que representem testes, a linha azul é a referência e a linha laranja é a variável medida enquanto para as simulações, a azul é o comportamento esperado do sistema ideal e a vermelha do sistema com não-linearidades estimadas.

#### Deadbeat Tipo 1

O controle desse tipo busca acompanhar a referências do tipo degrau no menor tempo possível, sendo sujeito a problemas de saturação e variações na função de transferência. Ele também não garante que o sistema não oscila entre os instantes de amostragem.

O primeiro controlador projetado, visto que ele satisfaz os requisitos de erro e é o mais simples de se projetar. Nesta implementação, ele se comporta de maneira similar a um Proporcional-Integral com cancelamento do pólo e ganho para posicionar o pólo restante em 0.

A simulação do projeto pode ser vista na figura 39 e acompanha a referência sem erro após aproximadamente 0.5 segundo, um bom resultado. Em seguida esse mesmo controlador foi implementado no Arduino e foram testados os 4 comandos principais. O resultado do teste pode ser visto na figura 40.

$$C = \frac{1}{G} \frac{1}{(z - 1)} \quad (1)$$

$$CEF = \frac{6.3182z - 3.6867}{z - 1} \quad (2)$$

$$CET = \frac{6.827z - 4.1291}{z - 1} \quad (3)$$

$$CDF = \frac{5.2338z - 2.6846}{z - 1} \quad (4)$$

$$CDT = \frac{6.0348z - 3.5257}{z - 1} \quad (5)$$

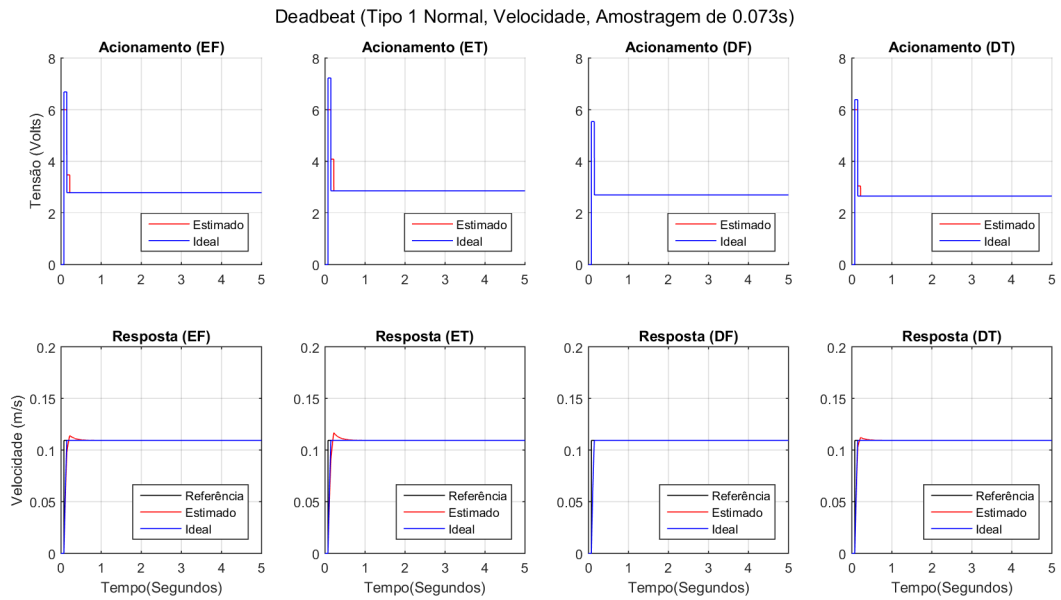


Figura 39: Simulação do DeadBeat Tipo 1

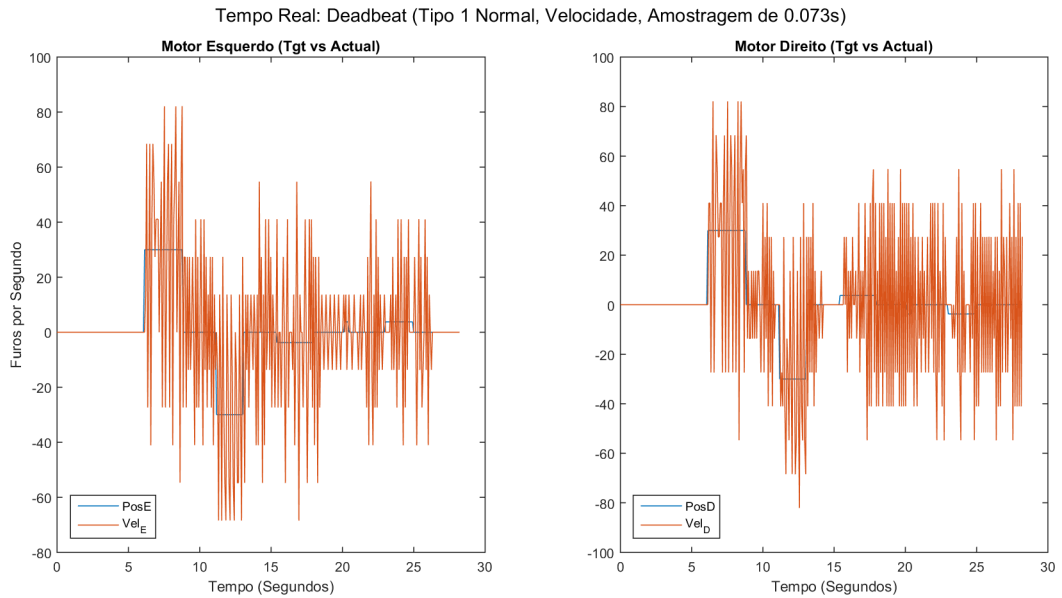


Figura 40: Teste Suspensão do DeadBeat Tipo 1

Observou-se na figura 40 que a medição de velocidade apresenta grandes quantidades de

ruído. Será então feita uma variação deste mesmo controle mas que segue a posição em vez da velocidade. A simulação é apresentada na figura 41 e o teste na figura 42.

$$C = \frac{1}{G} \frac{1}{(z - 1)} \quad (6)$$

$$CEF = \frac{158.902z - 92.71986}{z + 0.83595} \quad (7)$$

$$CET = \frac{172.6354z - 104.4135}{z + 0.84595} \quad (8)$$

$$CDF = \frac{129.1284z - 66.23432}{z + 0.80107} \quad (9)$$

$$CDT = \frac{151.8027z - 88.68756}{z + 0.8363} \quad (10)$$

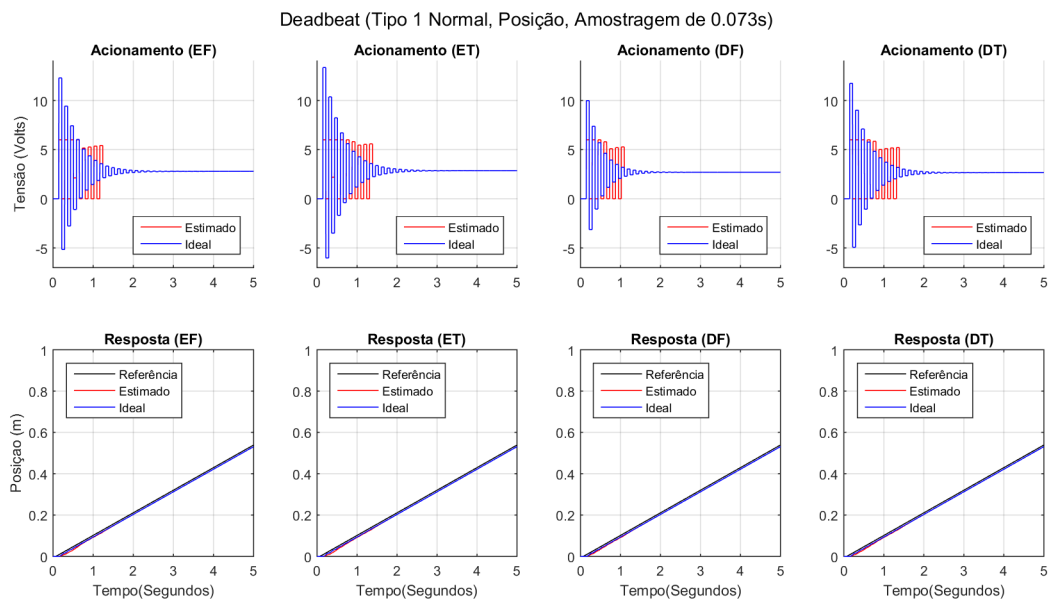


Figura 41: Simulação do DeadBeat Tipo 1

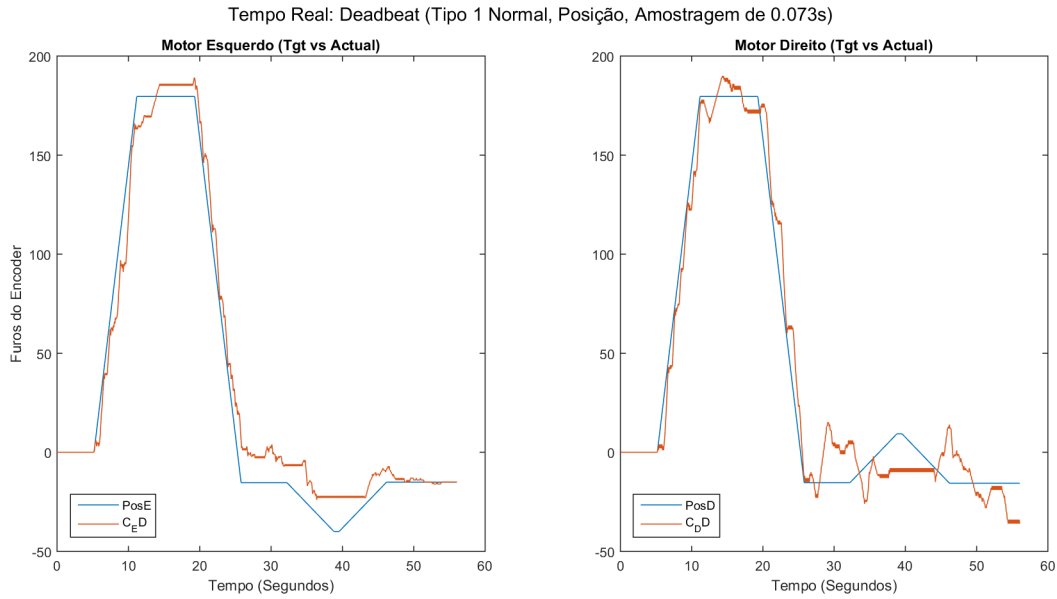


Figura 42: Teste Suspensão do DeadBeat Tipo 1

Mesmo que a simulação (figura 41) apresente uma resposta que segue ao comando de posição, no teste (figura 42) ele não se comportou da mesma maneira. Foi introduzido então um pólo e um zero, arranjados de forma similar a um compensador em atraso, de forma a reduzir a excursão do sinal de controle.

O controlador seguinte será chamado de DeadBeat Amortecido, visto que é de se esperar um maior amortecimento na aproximação de segunda ordem devido ao compensador em atraso. Como nos casos anteriores, é apresentada a simulação em 43 e o teste em 44.

$$C = \frac{1}{G} \frac{0.6z + 0.4}{(z - 1)(z + 0.4)} \quad (11)$$

$$CEF = \frac{95.3412z^2 + 7.92889z - 37.0879}{z^2 + 1.236z + 0.33438} \quad (12)$$

$$CET = \frac{103.5812z^2 + 6.406029z - 41.76542}{z^2 + 1.246z + 0.33838} \quad (13)$$

$$CDF = \frac{77.477z^2 + 11.9108z - 26.4937}{z^2 + 1.2011z + 0.32043} \quad (14)$$

$$CDT = \frac{91.0816z^2 + 7.50852z - 35.475}{z^2 + 1.2363z + 0.33452} \quad (15)$$

Deadbeat (Tipo 1 Amortecido, Posição, Amostragem de 0.073s)

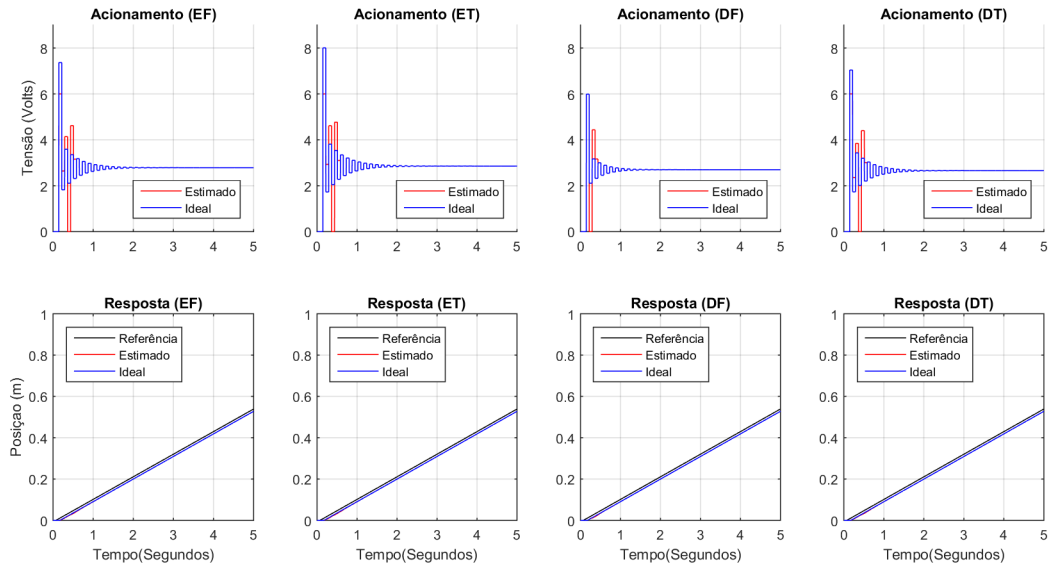


Figura 43: Simulação do DeadBeat Amortecido Tipo 1

Tempo Real: Deadbeat (Tipo 1 Amortecido, Posição, Amostragem de 0.073s)

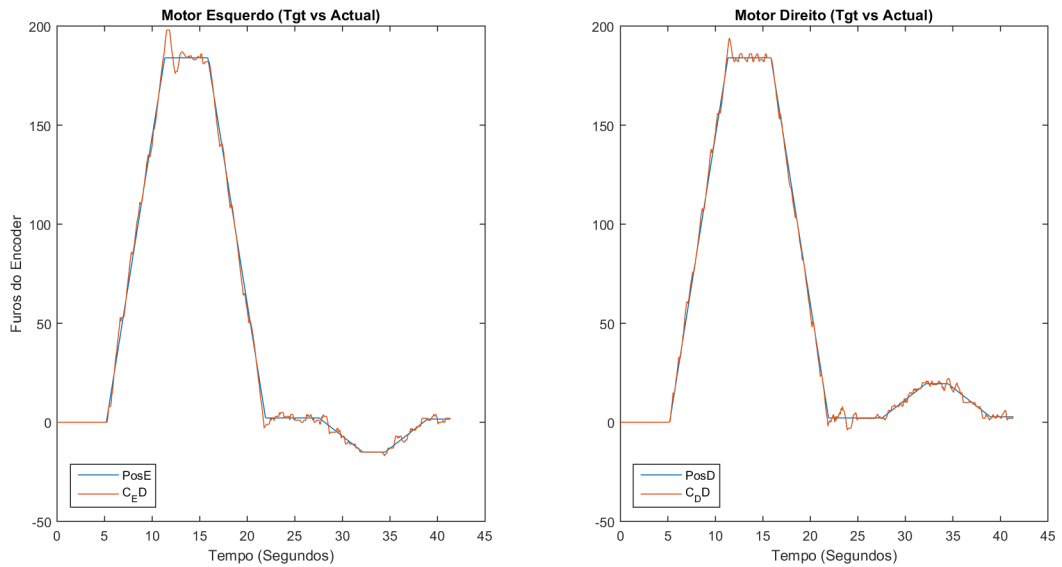


Figura 44: Teste Suspensão do DeadBeat Amortecido Tipo 1

Observou-se que nesta solução, a excursão do sinal de acionamento (figura 43) é drasticamente reduzida, mesmo que se mantenha alta. O comportamento no teste (figura 44) também foi muito melhor, seguindo o sinal de referência com um pequeno mas devido às movimentações enquanto parado, essa solução também será descartada.

## Proporcional

Visto que as outras soluções não foram satisfatórias, foi projetado um controlador mais simples. Ele apresentou uma resposta mais lenta na simulação em 45 mas operou bem no teste em 46 ao atender os critérios desejados de acompanhar a referência e não se movimentar após parado, portanto, foi usado no restante do trabalho.

$$C = K \quad (16)$$

$$CEF = 12.7534 \quad (17)$$

$$CET = 12.311 \quad (18)$$

$$CDF = 14.8422 \quad (19)$$

$$CDT = 12.1357 \quad (20)$$

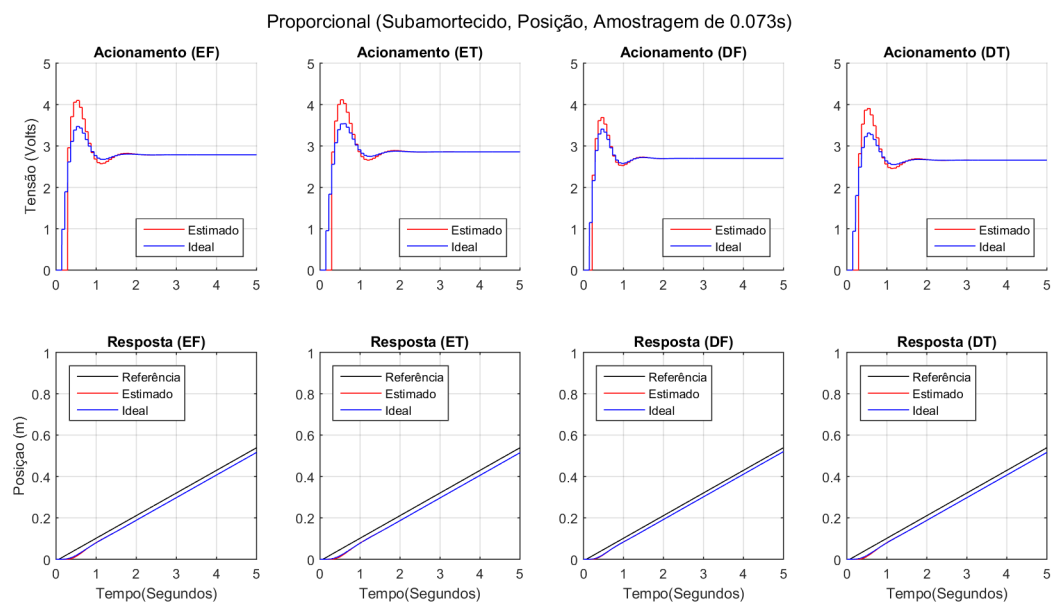


Figura 45: Simulação do Proporcional

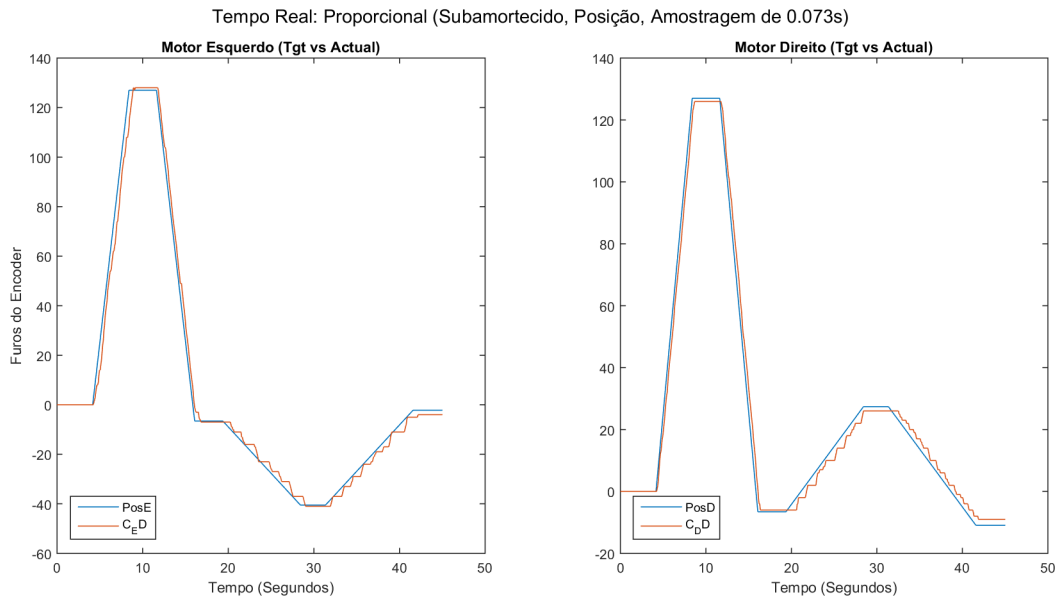


Figura 46: Teste Suspenso do Proporcional

### 3.7.1 Testes do controle em campo

Utilizando estes controladores, foi feito um teste de movimentação retilínea, onde o robô era posicionado sobre uma fita de 2 metros de extensão e ao final da movimentação deveria estar posicionado o mais próximo possível do centro dessa fita. Os deslocamentos laterais do centro do robô em relação ao centro da fita, em metros, estão apresentados na tabela 10. Erros para a esquerda foram considerados negativos e erros para a direita como positivos.

Entre as movimentações o móvel era reposicionado e realinhado mas não eram feitas alterações como reiniciar a medição de posição ou ajustar as rodas. A fita a servir de referência pode ser vista na figura 47 e um exemplo da movimentação pode ser acompanhado no apêndice (aqui).



Figura 47: Fita de referência para o teste de movimento (Frente: Autor)

Tabela 10: Deslocamento lateral durante a movimentação retilínea (metros em relação à fita)

Erro Para Frente	0.05	-0.1	0.08	0.23	0.11	0	0.1	-0.11	0.06	0
Erro Para Trás	0	0.06	0.06	-0.1	-0.06	-0.06	-0.03	-0.26	-0.14	-0.05

Da tabela 10, pode-se notar que o erro em graus oscila entre 8 graus para a esquerda e 7 graus para a direita, utilizando os maiores erros observados na movimentação.

### 3.8 Testes do comando de voz

Para os testes dessa seção foi utilizado um celular do modelo Galaxy S5, onde foram enviados 20 comandos de voz ao programa no celular e verificadas as taxas de sucesso e falha do mesmo. No caso de sucessos, foi verificado o intervalo de tempo entre o envio do comando e a resposta do programa. Os comandos válidos são apresentados na tabela 11.

Tabela 11: Tabela dos comandos válidos

Avançar	Direita	Esquerda	Recuar	Pare	Dorme	Aurora
---------	---------	----------	--------	------	-------	--------

Quaisquer palavras que contenham essas mesmas sequências de letras irão ser falsos-positivos visto que nessa implementação, a implementação não é capaz de diferenciá-los. A palavra 'Dormente' por exemplo, contém a string 'Dorme' então sempre será reconhecida como um comando válido.

Devido a esses problemas estão feitos os comandos de 'Aurora' e 'Dorme', para que o usuário possa dialogar enquanto na cadeira sem desligá-la, desde que esteja parada.

Estes testes foram divididos em etapas, nas quais eram observados subconjuntos de fatores. Problemas de início e falha da ativação do reconhecimento por exemplo, foram ignorados fora de sua respectiva seção.

#### 3.8.1 Medição do Atraso

Foi medido o tempo entre o envio e o reconhecimento dos comandos. As figuras 49 e 50 mostram os resultados dos testes agrupados em intervalos. Valores na transição entre 2 faixas foram tratados como se fossem menores.

A medição foi feita gravando um vídeo e enviando-o a um editor de vídeos onde, para cada comando identificado, era feito um corte ao fim da fala e outro após a resposta do celular. O tamanho do clipe entre os cortes era medido pelo software e é o tempo de atraso buscado.

O editor utilizado foi o 'VideoPad' e o procedimento está resumido na figura 48

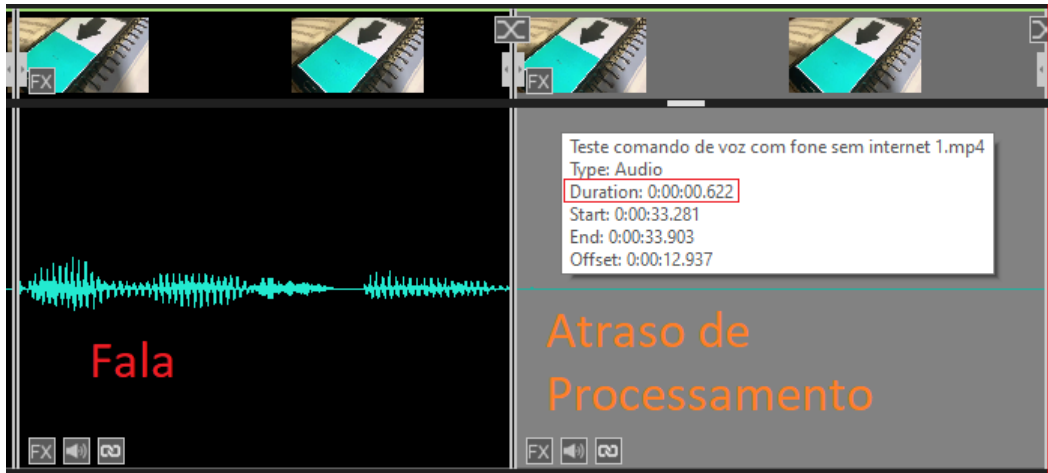


Figura 48: Processo de medição de atraso

Vale ressaltar que embora o atraso de processamento e comunicação seja grande, o tempo necessário para a verbalização da palavra também é. Isso torna a interface ainda menos responsiva.

Também foi observado que a disponibilidade de internet afeta significativamente o atraso do processo, então foi feito um conjunto de testes com internet (figura 49) e outro conjunto sem internet (figura 50). O processo de medição do atraso apresentado na figura 49 pode ser visto em um vídeo no anexo (aqui).

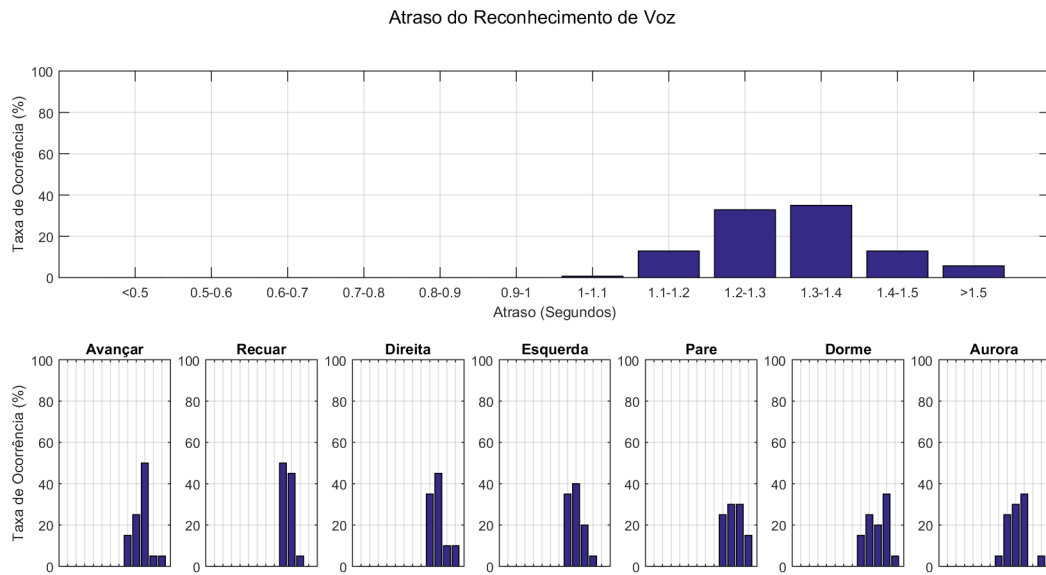


Figura 49: Medição do Atraso Com Internet

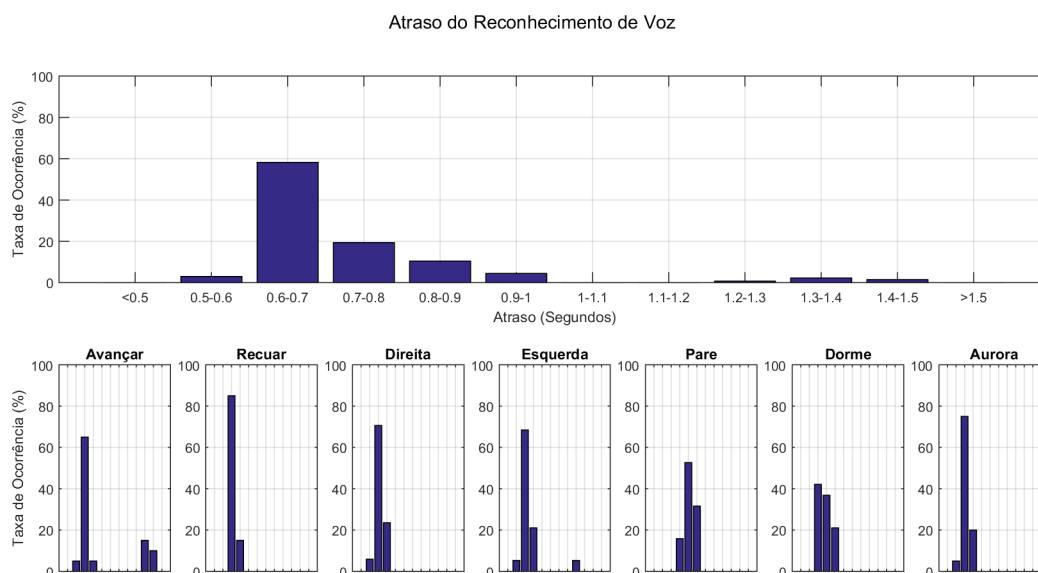


Figura 50: Medição do Atraso Internet

Observa-se que conforme informado em [24], no teste com internet (figura 49) os atrasos são significativamente maiores, com média próxima de 1.3 segundos. Nos resultados de reconhecimento sem internet (figura 50), embora ainda existam atrasos de até 1.5 segundos e a média esteja em 0.75 segundos, a maioria dos atrasos observados caiu para menos de 0.7 segundos, uma redução de 47% no tempo de resposta em relação da média anterior.

Embora esse reconhecimento seja mais rápido por não aguardar uma resposta do servidor da Google, ele apresenta uma acurácia reduzida, conforme visto na figura 50. Neste trabalho, optou-se pela solução com tempo de resposta menor.

### 3.8.2 Teste do microfone

A fim de determinar se o uso de um microfone melhora significativamente a acurácia do programa, foi feito mais um conjunto de testes em que eram enviados 20 comandos à interface. A figura 51 mostra o microfone utilizado e a figura 52 Compara as taxas de erro com e sem microfone, considerando apenas casos em que foi obtido o áudio.



Figura 51: Celular e Microfone Utilizados

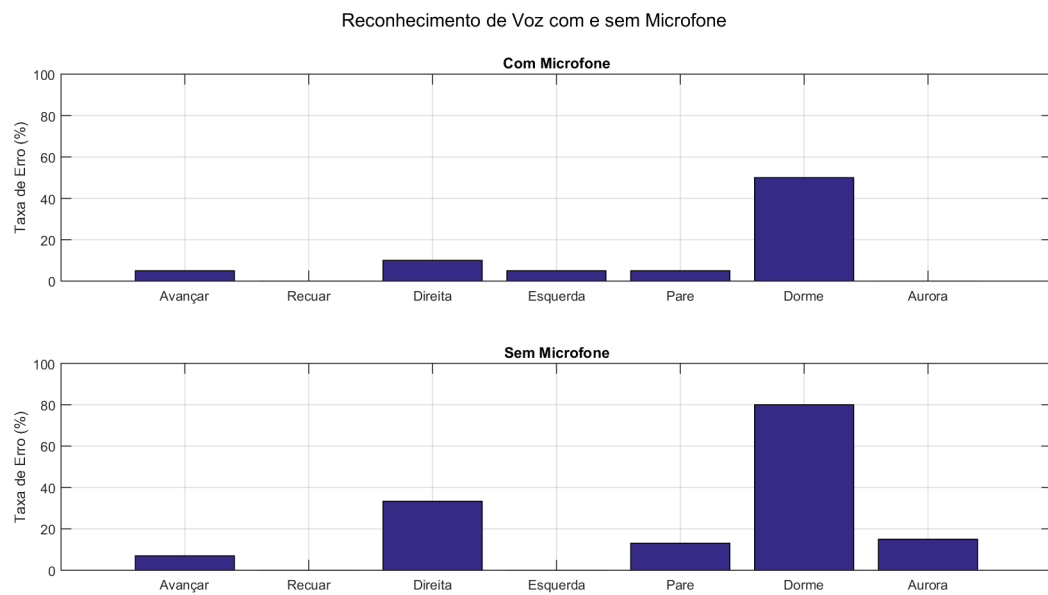


Figura 52: Teste do Microfone

Pode-se ver que de acordo com a figura 52, o uso de um microfone reduz levemente a taxa de erro em quase todos os casos, sendo assim, os testes operacionais utilizarão um.

### 3.8.3 Taxa de falso-positivos

Série de testes para averiguar a taxa falha devido a palavras similares, onde eram enviadas palavras bem próximas das que o software esperava enquanto era observado se o aparelho executou tal comando. Os resultados podem ser vistos na figura 53 Foram utilizadas as seguintes palavras na tabela 12:

Tabela 12: Indicação dos falso-positivos testados

Comando	Avançar	Direita	Esquerda	Pare	Recuar	Dorme	Aurora
Falso-Positivo	Avançado	Direito	Esquerdo	Para	Recuado	Dormir	Agora

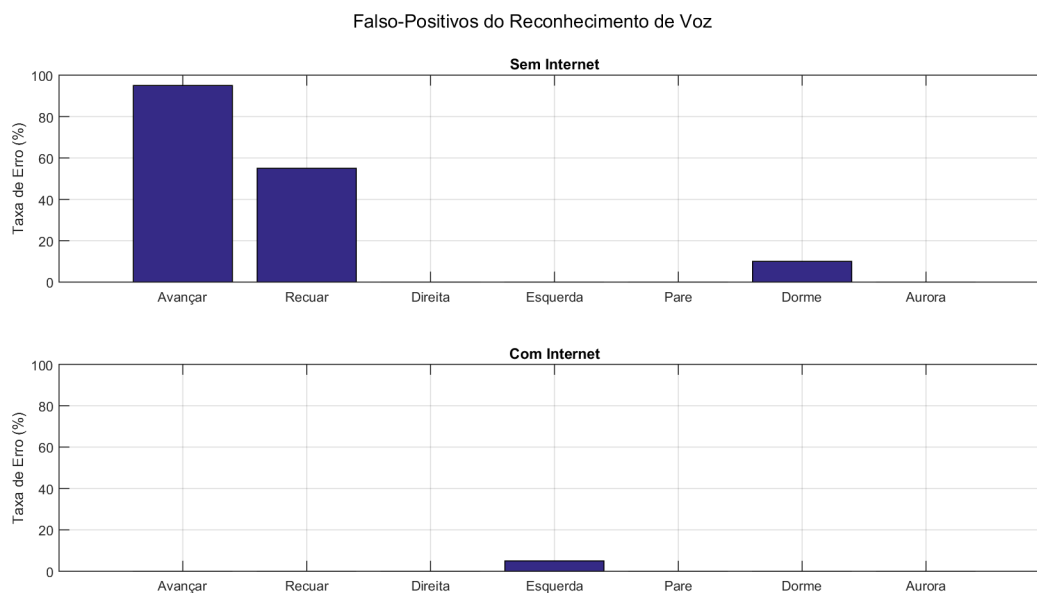


Figura 53: Taxa de falso-positivos

Nota-se na figura 53 a taxa de falso-positivos é desprezível com internet porém significativamente alta sem internet para os 2 primeiros comandos, chegando a quase 100% para a palavra 'Avançado' e 60% para a palavra 'Recuado'.

### 3.8.4 Taxa de falso-negativos

Nesta etapa foram enviados 20 comandos válidos e verificadas as taxas de sucesso no reconhecimento e subsequente execução do dito comando. Para cada comando executado, foi medido o tempo entre o envio e a execução. Os resultados podem ser vistos na figura 54.

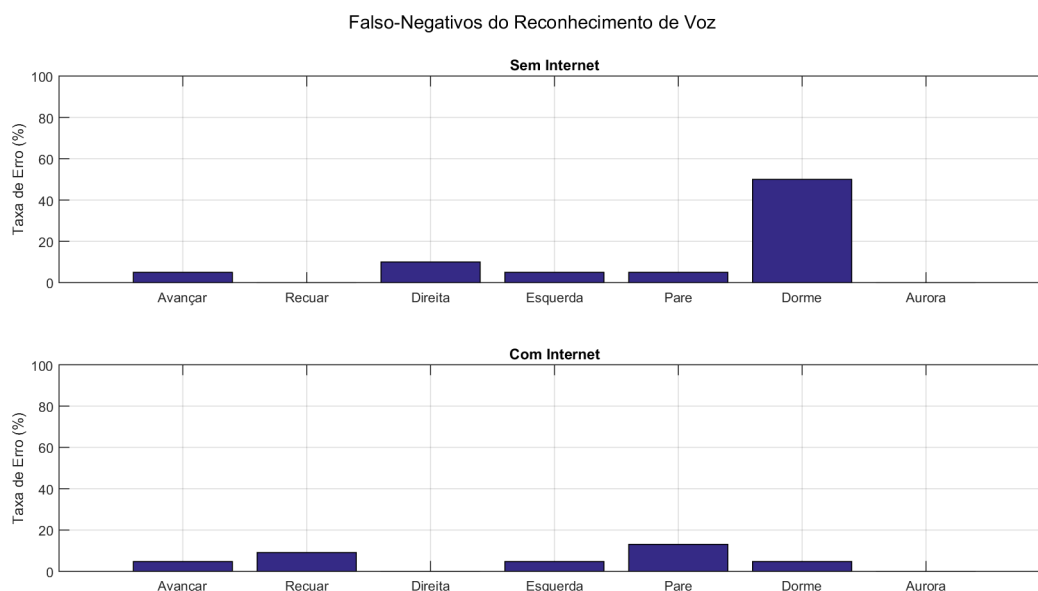


Figura 54: Teste Sem Internet

A taxa de falha observada na figura 54 apresenta um aumento na taxa de erro no reconhecimento sem internet para a maioria dos comandos, em especial, o 'Dorme'. Embora espera-se que ele não seja muito utilizado, pode ser uma experiência frustrante ao usuário.

### 3.8.5 Taxa de falha geral

Taxa na qual o reconhecimento falha por quaisquer razão, desde a obtenção do áudio até a identificação da fala. Algumas de suas causas, como o início e fim da obtenção de áudio, ocorrem de forma randômica e não foi possível resolvê-las em tempo hábil.

Para obter essa taxa foi proposto que usuários movessem o robô por um trajeto enquanto era avaliada apenas a taxa de sucesso do reconhecimento de voz. Visto que deseja-se o menor tempo de atraso possível, a versão utilizada nestes testes não utilizava internet e contava com um microfone. Resultados apresentados na figura abaixo.

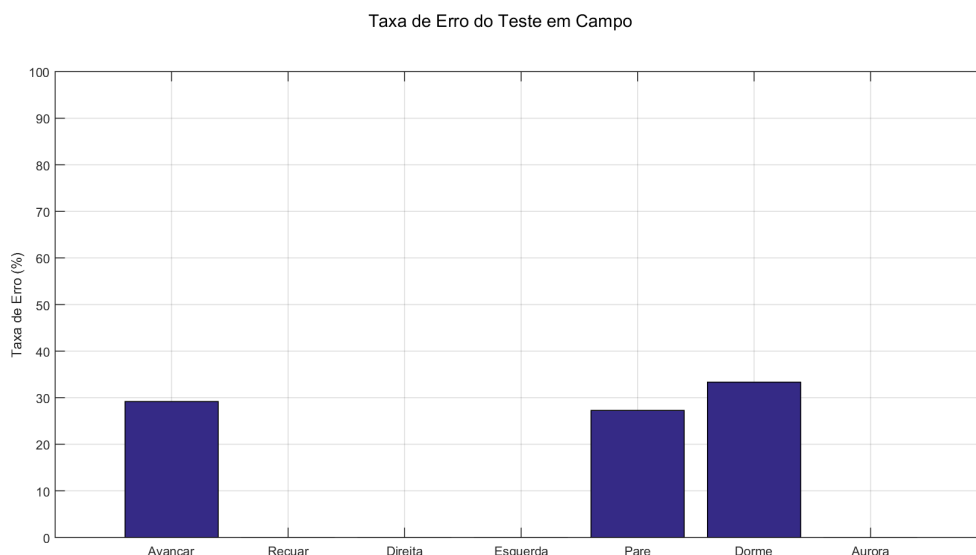


Figura 55: Teste de Uso

De acordo com a figura 55, a taxa de falha oscila entre 30% e 40%, valores mais altos para a maioria dos comandos enquanto mais baixo para o comando 'Dorme'. Isso pode ser devido ao pequeno conjunto de dados quando comparado ao teste feito nas figuras 52 e 54.

### 3.8.6 Custo de falha

O atraso médio sem internet foi de 0,75 segundo, assumindo que o usuário leva 1 segundo para proferir um comando e que o processamento será igual ao tempo médio, a latência típica seria de 1,75 segundos. Em caso de falha, seria necessário um segundo comando, sendo assim a cadeira iria percorrer a distância correspondente ao dobro do que ela percorreria em apenas 1 comando.

Sabendo que a velocidade média da cadeira motorizada do GRACO é de 0,6 m/s e adotando uma margem de segurança de 0,4 m/s, será utilizado o valor de 1m/s para representar a velocidade típica durante a operação. Com 3,5 segundos entre o comando e a parada, a cadeira percorreria 3,5 metros. Sendo assim, o sistema de detecção de objetos deveria detectar objetos a esta distância ou o sistema e controle deveria movimentar a cadeira a uma velocidade alvo reduzida. Recomenda-se utilizar a segunda abordagem por segurança.

Vale pontuar que diante de uma situação de estresse ou perigo, como a cadeira andar em direção a uma escada, será observada uma taxa ainda mais elevada de erros mas dessa vez devido a erros usuário, por exemplo, enviando 'Para' em vez de 'Pare' à cadeira. Uma solução

proposta seria de utilizar partes da string (como 'Par' em vez de 'Pare') que aumenta as taxas tanto de acerto quanto de falso-positivos.

### 3.9 Detecção de Obstáculos

#### 3.9.1 Implementação

Os sensores de proximidade, posicionados conforme a figura 25 devem ser capazes de medir a distância de objetos próximos e interromper a movimentação caso tal objeto esteja dentro de um limiar. O seguinte código programa a medição de distância:

```
1 Tmp1 = [ ...
2 'if ( millis () - SensorTimer > 50){\n' ...
3 '  SensorTimer = millis ();\n' ...
4 '  digitalWrite (TrigT,LOW);\n' ...
5 '  digitalWrite (TrigT,HIGH);\n' ...
6 '  delayMicroseconds (15);\n' ...
7 '  digitalWrite (TrigT,LOW);\n' ...
8 '  if (SensorSwitch){\n' ...
9 '    SensorSwitch = 0;\n' ...
10 '    DistF = pulseInLong (EchoF,HIGH,40000)*Enc_SegToCm;\n' ...
11 '  }else{\n' ...
12 '    SensorSwitch = 1;\n' ...
13 '    DistT = pulseInLong (EchoT,HIGH,40000)*Enc_SegToCm;\n' ...
14 '  }\n' ...
15 '}\n' ...
16 ];
```

E o trecho que faz a detecção está apresentado abaixo:

```
1 Tmp1 = [ ...
2 '\n#include "Sensors_Medicao.h"\n' ...
3 '// Gera a detecção\n' ...
4 'if (DistT == 0){\n' ...
5 '  DistT = 4000;\n' ...
6 '}\n' ...
7 'if (DistF == 0){\n' ...
8 '  DistF = 4000;\n' ...
9 '}\n' ...
10 'Sensor = (Dist > DistT) | ((Dist > DistF) << 1);\n' ...
```

```
11 'FT_TPFDE = ((Sensor << 5) | FT_TPFDE);\n' ...  
12 ];
```

Ele leva cerca de 100 milissegundos para fazer ambas as medições mas não acrescenta atrasos significativos ao programa. Em seguida deve-se comparar a distância medida a um limite seguro determinado pela velocidade de movimento esperada do móvel. O código deve ser enviado ao Arudino conforme descrito na seção 3.2.

A referência de velocidade está ajustada para pouco mais de 0.1 m por segundo, sendo assim, espera-se que ele seja capaz de parar ao detectar um objeto a até 10 cm de distância. Com uma margem de erro de 2x, será utilizado a distância de 20 cm como alvo para interromper a movimentação.

### 3.9.2 Testes da Detecção

O teste isolado, no qual o robô se encontrava suspenso foi bem sucedido. A movimentação alvo era interrompida quando o respectivo sensor fosse obstruído. O alcance de detecção obtido também era significativamente inferior ao informado pelo datasheet, detectando objetos a até 1 metro de distância em vez dos 4 metros indicados.

O teste em uso dos sensores funcionou para impedir o início da movimentação e pode ser acompanhado em no anexo. Ocasionalmente, ele também interrompia a movimentação para frente, provavelmente devido a uma inclinação indesejada do sensor dianteiro de proximidade, que às vezes detectava o chão.

Observou-se também que objetos detectados podiam ser perdidos caso estivessem no limite de alcance, o que pode ser resolvido implementando um efeito de histerese na detecção, em que uma vez detectado um objeto a 20 cm, o sensor só se move novamente ao não detectar nada dentro de 30 cm, por exemplo. Esse processo não foi feito neste trabalho.

## 4 Resultados do sistema completo

Para testar o sistema completo, foi feito um trajeto, apresentado na figura 56, em que foram medidos os tempos necessários para que o robô executasse uma volta completa no mesmo.



Figura 56: Local de testes do sistema completo

Para referência, foi obtido o tempo necessário utilizando a interface no modo manual, que foi de aproximadamente 2 minutos. Segue na tabela 13, em minutos:segundos, o tempo necessário para percorrer o trajeto.

Tabela 13: Tempo gasto em uma volta

Tentativa	1	2	3	4	5	6	7
Tempo	2:14	2:15	2:27	2:02	2:20	2:25	2:24

Pode-se verificar pela tabela 13 que a interface por comandos de voz implementada apresenta um desempenho geral um pouco mais lento, de até 25%, em relação à interface por botões. Ela também apresenta uma variação grande de desempenho devido à ocorrência de falhas. Com um tempo médio de 2:18, a perda de desempenho não é grande o suficiente para inviabilizar a solução.

Para propósitos de apresentação de dados, está representado na tabela 14 o subconjunto dos parâmetros indicados na introdução com seus respectivos valores. Ela se refere aos testes sem

internet com fone.

Tabela 14: Parâmetros de [11] preenchidos de acordo com os resultados

Eficácia (Taxa de Acerto)	89%
Eficiência (Tempo para percorrer o trajeto)	2min 27s
Tolerância a erro (Diferença do maior pro menor tempo)	25s
Facilidade de aprender (Porcentagem de comandos válidos entregues)	65%
Satisfação (Nota média do usuário ao sistema)	- Não Medido -

Para propósitos de apresentação, links para vídeos de um teste com internet e um teste sem internet no percurso final estão disponíveis no anexo (aqui).

## 5 Conclusões

A implementação da interface com o usuário apresentou atrasos maiores do que o esperado, mostrando ter menor acurácia e/ou maior tempo de resposta. Embora isso não inviabilize a solução, as desvantagens observadas neste trabalho frente a outras soluções, principalmente quanto ao tempo de resposta, resulta em uma experiência pouco agradável para o usuário.

O reconhecimento de voz utilizado também não é contínuo e isso contribuiu para uma piora significativa da taxa de acerto. Sendo assim, em trabalhos futuros, sugere-se buscar uma alternativa contínua e com processamento de reconhecimento de voz local, visto que o uso da internet adiciona um atraso relevante nesta aplicação.

O robô montado não apresentou problemas de mal contato ou fios que se desconectam, mesmo sem o uso de uma placa impressa. O restante da estrutura apresentou vários problemas, como desalinhamento dos sensores e rodas além de ocasionalmente perder uma das rodas laterais durante a movimentação. Tais problemas interferem no desempenho e não foi possível corrigi-los no tempo disponível.

A comunicação da interface desenvolvida com o robô mostrou uma certa instabilidade, onde a conexão podia demorar para se estabelecer e ocasionalmente encerrava, mesmo dentro do alcance do bluetooth. O atraso de comunicação por outro lado, é imperceptível a "olho nu".

Os vários controladores implementados funcionaram bem em simulação, mas nem tanto no robô. Mesmo assim, foi obtido experimentalmente um erro inferior a 10 graus de erro, satisfatório para movimentações simples e que pode ser reduzido com um sistema físico mais robusto.

O sistema completo foi capaz de executar os comandos dados a maior parte do tempo mas mostrou-se necessário um esforço extra do usuário de compensar o atraso de resposta. Com o controlador proporcional, o robô móvel era capaz de seguir em linha reta enquanto a roda não desmontasse nem a comunicação desconectasse.

Vale mencionar que nenhum desses dois problemas ocorreu durante os testes de movimento com outras pessoas e as maiores reclamações vinham do atraso e da interface não indicar quais os comandos válidos para o robô.

Também foi observado que devido às não-linearidades dos motores, após rotações, a direção do chassi apresentava um erro em relação à alvo do software, tornando muitas vezes necessárias correções após curvas. Em raras ocasiões, a medição de posição apresentava saltos, mesmo sem nenhum acionamento. Não foi possível determinar a causa nem a frequência em que essa falha

ocorre.

De forma geral, a implementação da interface por comandos de voz, a montagem e programação do robô móvel para verificação da interface foram um sucesso. O programa de apoio do MatLab também foi feito e agilizou os testes desde a obtenção até a e apresentação de resultados.

## Referências

- [1] OLIVEIRA, Francisco Matheus Pereira de. Estudo e desenvolvimento de uma interface de comando de cadeira de rodas motorizada para pessoas tetraplégicas. 2019. 80 f. Trabalho de conclusão de curso (Bacharelado em Engenharia Mecatrônica)—Universidade de Brasília, Brasília. Disponível em: <<https://bdm.unb.br/handle/10483/24741>> Acesso em : 05/11/21.
- [2] Smart, Infinity Pop (PF). Disponível em: <<http://smarter.com.br/produto/infinity-pop-pf>> Acesso em : 05/11/21.
- [3] Smart, Unawheel. Disponível em: <<http://smarter.com.br/produto/unawheel>> Acesso em : 05/11/21.
- [4] PINTO, Frederico Fernandes. Interfaces de controle de cadeiras de rodas motorizadas para pessoas com tetraplegia. 2016. x, 53 f., il. Trabalho de conclusão de curso (Bacharelado em Engenharia Mecatrônica)—Universidade de Brasília, Brasília. Disponível em: <<https://bdm.unb.br/handle/10483/17086>> Acesso em : 05/11/21.
- [5] Azevedo, Abílio Marcos Coelho de., Denadai, Walcimar Z., Lima, Luis E. M. INTERFACE HOMEM-MÁQUINA COM USO DE COMANDOS DE VOZ EMBARCADA EM PLATAFORMA ANDROID PARA CONTROLE DE DIRIGIBILIDADE DE UMA CADEIRA DE RODAS MOTORIZADA. Congresso Brasileiro de Automática, XXI, 2016, Av. Vitória, 1729 - Jucutuquara, Vitória - ES. Disponível em: <<https://abilioazevedo.files.wordpress.com/2017/05/cba2016-0978.pdf>> Acesso em : 05/11/21.
- [6] Borges, A.K., Buriola, J.F.L., Eloi, J., Teles, R.F., SmartChair: Cadeira de rodas controlada por voz. 2015. Disponível em: <[http://paginapessoal.utfpr.edu.br/gustavobborba/if66j-s71-projetos/files/IF66J-15a\\_RT\\_SmartChair.pdf](http://paginapessoal.utfpr.edu.br/gustavobborba/if66j-s71-projetos/files/IF66J-15a_RT_SmartChair.pdf)> Acesso em : 05/11/21.
- [7] SILVA, Bruno Castro da; LIBARDI, Priscila Ortolan. Sistema de controle de um VANT. 2016. xi, 67 f., il. Trabalho de conclusão de curso (Bacharelado em Engenharia Elétrica)—Universidade de Brasília, Brasília. Disponível em: <<https://bdm.unb.br/handle/10483/15956>> Acesso em : 05/11/21.
- [8] ORRICO, Marcos Vinícius de Melo. Procedimento para seleção de motor e bateria para veículo elétrico. 2013. xi, 102 f., il. Trabalho de conclusão de curso (Bachare-

- lado em Engenharia Mecatrônica)—Universidade de Brasília, Brasília. Disponível em: <<https://bdm.unb.br/handle/10483/8232>> Acesso em : 05/11/21.
- [9] Huinfinito, Arduino & Acessórios: Chassis (Plataformas) . Disponível em: <<https://www.huinfinito.com.br/61-chassis-plataformas>> Acesso em : 05/11/21.
- [10] LIMA, F.G.,SANTOS,R.N.,COSTA,S.O.,SILVA,.V.H.B.S.S,. PROJETO DE CADEIRA DE RODAS MOTORIZADA EQUIPADA COM COBERTURA AUTOMÁTICA. 2016. 97 f. Trabalho de conclusão do curso (Técnico em Eletromecânica)—Instituto Federal de Educação, Ciência e Tecnologia da Bahia, Santo Amaro. Disponível em: <<http://www.ifba.edu.br/professores/elvio/tcc/TCC-Cadeira-de-Rodas-Motorizada.pdf>> Acesso em : 05/11/21.
- [11] Stone, et.al. User Interface Design and Evaluation, p445. Disponível em: <<https://books.google.com.br/books?id=VvSoyqPBPbMC&lpg=PR21&ots=d8LM0oMM6&dq=interface+design&lr&hl=pt-BR&pg=PA445#v=onepage&q&f=false>>. Acesso em 15/11/2021.
- [12] IBGE, Pesquisa Nacional de Saúde, 2013. Disponível em: <<https://biblioteca.ibge.gov.br/visualizacao/livros/liv94522.pdf>> Acesso em : 05/11/21.
- [13] IBGE, Censo Demográfico, 2010. Disponível em: <[biblioteca.ibge.gov.br/visualizacao/periodicos/94/cd\\_2010\\_religiao\\_deficiencia.pdf](https://biblioteca.ibge.gov.br/visualizacao/periodicos/94/cd_2010_religiao_deficiencia.pdf)> Acesso em : 05/11/21.
- [14] IBGE, Acesso à Internet e à televisão e posse de telefone móvel celular para uso pessoal, 2017. Disponível em: <[https://biblioteca.ibge.gov.br/visualizacao/livros/liv101631\\_informativo.pdf](https://biblioteca.ibge.gov.br/visualizacao/livros/liv101631_informativo.pdf)> Acesso em : 05/11/21.
- [15] IVO, Regina Marcela. Sistema de controle de cadeira de rodas motorizada para usuários portadores de tetraplegia. 2017. 90 f., il. Trabalho de Conclusão de Curso (Bacharelado em Engenharia Eletrônica)—Universidade de Brasília, Brasília. Disponível em: <<https://bdm.unb.br/handle/10483/20103>> Acesso em : 05/11/21.
- [16] ABNT NBR 9050: Acessibilidade a edificações, mobiliário, espaços e equipamentos urbanos. Disponível em : <http://www.sedhast.ms.gov.br/wp-content/uploads/2015/01/ABNT-NBR9050-2004-Acessibilidade.pdf>.

- [17] Poole, A., Ball, L.J., Eye Tracking in Human-Computer Interaction and Usability Research: Current Status and Future Prospects. 2010. Disponível em: <<http://www.alexpoole.info/blog/wp-content/uploads/2010/02/PooleBall-EyeTracking.pdf>> Acesso em : 05/11/21.
- [18] Birchfield, S., Elliptical Head Tracking Using Intensity Gradients and Color Histograms. In: IEEE Conference on Computer Vision and Pattern Recognition, Santa Barbara, California. 1998. Disponível em: <[citeseerx.ist.psu.edu/viewdoc/download?doi=10.1.1.64.2696&rep=rep1&type=pdf](http://citeseerx.ist.psu.edu/viewdoc/download?doi=10.1.1.64.2696&rep=rep1&type=pdf)> Acesso em : 05/11/21.
- [19] SOUZA, Estefânia; GUTEMBERG, Luciano Mendes de. Breck App. 2018. 105 f., il. Trabalho de Conclusão de Curso (Bacharelado em Comunicação Social)—Universidade de Brasília, Brasília, 2018. Disponível em: <[https://repositorio.ufpe.br/bitstream/123456789/31884/1/LIMA\\_Marina\\_Fernandes\\_de\\_Souza.pdf](https://repositorio.ufpe.br/bitstream/123456789/31884/1/LIMA_Marina_Fernandes_de_Souza.pdf)> Acesso em : 18/11/21.
- [20] SOUZA, Estefânia; GUTEMBERG, Luciano Mendes de. Breck App. 2018. 105 f., il. Trabalho de Conclusão de Curso (Bacharelado em Comunicação Social)—Universidade de Brasília, Brasília, 2018. Disponível em: <<https://bdm.unb.br/handle/10483/22512>> Acesso em : 05/11/21.
- [21] Tom Scott, It's pronounced GIF. Disponível em: <<https://youtu.be/N1AL2EMvVy0>> Acesso em : 05/11/21.
- [22] TechTerms, GIF Definition. Disponível em: <<https://techterms.com/definition/gif>> Acesso em : 05/11/21.
- [23] MORAES, André Luis Krueger de. Projeto de um equipamento de reconhecimento de comandos de voz. 2007. 40 f. Monografia (Bacharelado em Engenharia Elétrica)—Universidade de Brasília, Brasília, 2007. Disponível em: <<https://bdm.unb.br/handle/10483/19258>> Acesso em : 15/11/21.
- [24] ALVES, Rafael José; GOULART, Vítor Schwingel. Desenvolvimento de aplicativos para dispositivos móveis com reconhecimento de voz em português. 2014. vi, 46 f., il. Monografia (Bacharelado em Engenharia de Redes de Comunicação)—Universidade de Brasília, Brasília. Disponível em: <<https://bdm.unb.br/handle/10483/13525>> Acesso em : 05/11/21.

- [25] Flávio Renato, A história dos telefones celulares, 2012. Disponível em: <<https://www.techtudo.com.br/artigos/noticia/2012/06/historia-dos-telefones-celulares.html>> Acesso em : 05/11/21.
- [26] PANTOJA, Cássio Rodrigues; GARCIA, Paulo Vitor de Araújo. Sistema de controle de VANT com emprego de plataforma inercial. 2017. xii, 124 f., il. Trabalho de conclusão de curso (Bacharelado em Engenharia Mecatrônica)—Universidade de Brasília, Brasília, 2017. Disponível em: <<https://bdm.unb.br/handle/10483/19258>> Acesso em : 05/11/21.
- [27] Appinventor. Plataforma para programação de aplicativos. Disponível em: <<https://appinventor.mit.edu/>> Acesso em : 05/11/21.
- [28] Google, Princípios básicos da Speech-to-Text. Disponível em: <<https://cloud.google.com/speech-to-text/docs/basics?hl=pt-br>>.
- [29] Grupo de Teleinformática e Automação, O que é RFID. Disponível em: <[https://www.gta.ufrj.br/grad/07\\_1/rfid/RFID\\_arquivos/o\\_que\\_e.htm](https://www.gta.ufrj.br/grad/07_1/rfid/RFID_arquivos/o_que_e.htm)> Acesso em : 05/11/21.
- [30] Cisco, O que é Wi-Fi?. Disponível em: <[https://www.cisco.com/c/pt\\_br/products/wireless/what-is-wifi.html](https://www.cisco.com/c/pt_br/products/wireless/what-is-wifi.html)> Acesso em : 05/11/21.
- [31] Marlon Câmara, Bluetooth: O que é e como funciona. Disponível em: <<https://www.techtudo.com.br/artigos/noticia/2012/01/bluetooth-o-que-e-e-como-funciona.html>> Acesso em : 05/11/21.
- [32] Pedro César Tebaldi Gomes, Conheça os principais protocolos de rede e seus usos. Disponível em: <<https://www.opservices.com.br/protocolos-de-rede/>> Acesso em : 05/11/21.
- [33] Cristiano Bertulucci Silveira, Sensor Capacitivo : O que é e como funciona?. Disponível em: <<https://www.citisystems.com.br/sensor-capacitivo/>> Acesso em : 05/11/21.
- [34] Cristiano Bertulucci Silveira, Sensor Indutivo: O que é e como funciona?. Disponível em: <<https://www.citisystems.com.br/sensor-indutivo>> Acesso em : 05/11/21.
- [35] Cristiano Bertulucci Silveira, Sensor Óptico: Como Funciona?. Disponível em: <<https://www.citisystems.com.br/sensor-optico/>> Acesso em : 05/11/21.
- [36] Cristiano Bertulucci Silveira, Sensor Ultrassônico: 10 Aplicações Para a Indústria. Disponível em: <<https://www.citisystems.com.br/sensor-ultrassonico/>> Acesso em : 05/11/21.

- [37] Elijah J. Morgan, HCSR04 Ultrasonic Sensor. Disponível em : <https://pdf1.alldatasheetpt.com/datasheet-pdf/view/1132203/ETC2/HC-SR04.html>.
- [38] Ogata, Katsutuko. Modern Control Engineering. 4th ed. Prentice Hall (New Jersey): Ae-eizh, 2002.
- [39] MACHADO, MÁRCIO BENDER. UM MONITOR DO ESTADO DE CARGA DA BATERIA DE DISPOSITIVOS ELETRÔNICOS IMPLANTÁVEIS. 2006. 68p. Dissertação (Mestrado em Engenharia Elétrica). Universidade Federal de Santa Catarina, Florianópolis. Disponível em: <<https://repositorio.ufsc.br/bitstream/handle/123456789/88685/237658.pdf>> Acesso em : 05/11/21.
- [40] Borges, Felipe Andrade Allemand. Implementação de sistema de acionamento para plataformas robóticas móveis com ênfase em estimador de estado de carga de bateria. 2014. 120p. Dissertação (Mestrado em Engenharia Elétrica). Universidade Estadual de Londrina, Londrina. Disponível em: <[http://www.uel.br/pos/meel/disserta/2014\\_FELIPE\\_A\\_ALLEMAND.pdf](http://www.uel.br/pos/meel/disserta/2014_FELIPE_A_ALLEMAND.pdf)> Acesso em : 05/11/21.
- [41] Pura Vida Apps. App Inventor Extensions : Battery Manager Extension. Disponível em: <<https://puravidaapps.com/battery.php>>.
- [42] Paulo Sérgio Pereira da Silva, Formas Canônicas e Teoria da Realização. Disponível em: <[http://www.lac.usp.br/paulo/cap4\\_8.pdf](http://www.lac.usp.br/paulo/cap4_8.pdf)>.
- [43] Youtube. Plataforma de compartilhamento de vídeos. Disponível em: <<https://www.youtube.com/>> Acesso em : 19/11/21.

## Anexo I

### Variação da Interface

Após os testes de desempenho, foi feita uma variação da interface originalmente desenvolvida. Ela pode ser visualizada nas figuras 57 e 58.

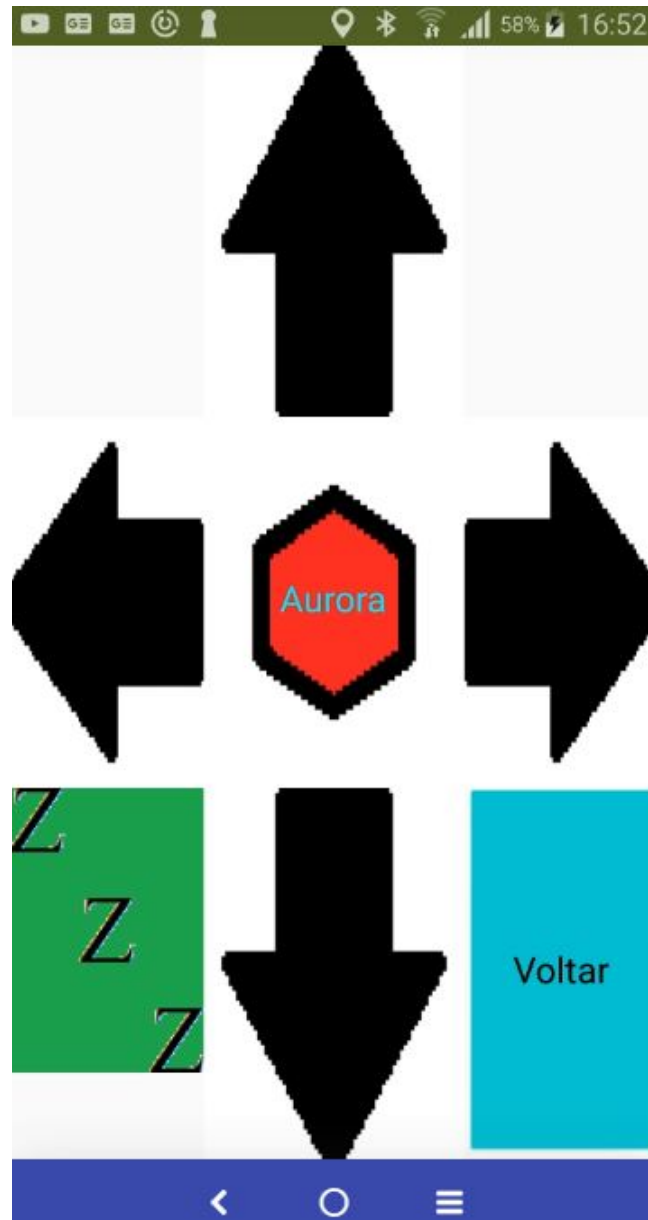


Figura 57: Segunda Interface no modo 'Dorme'

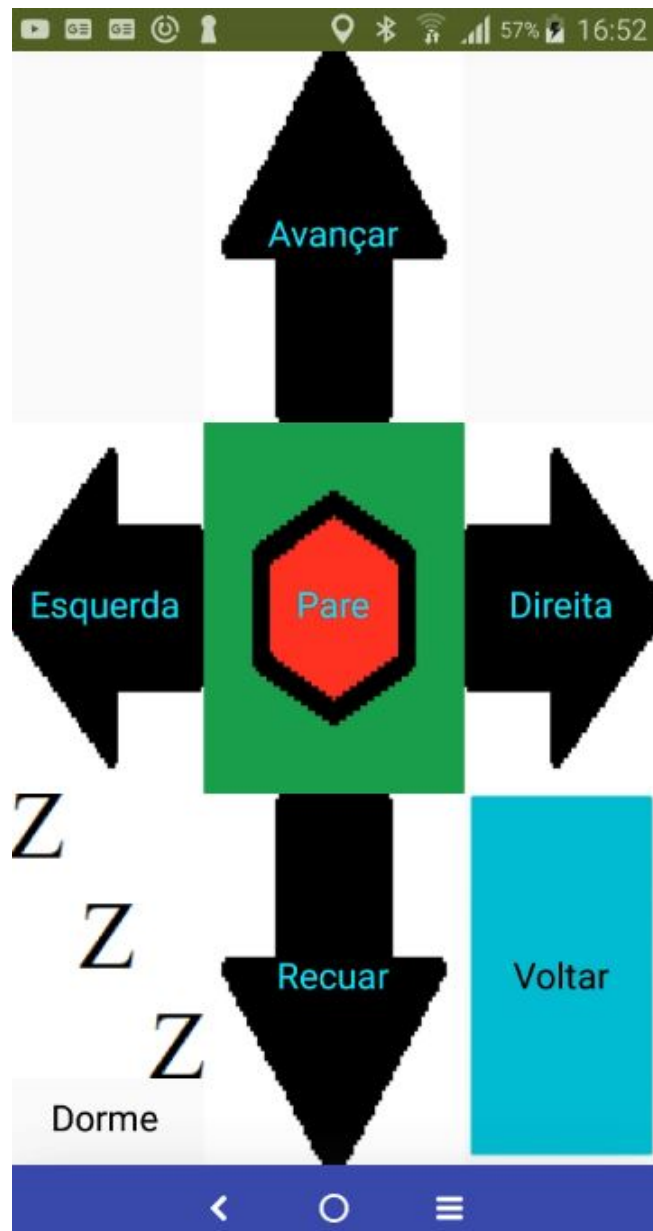


Figura 58: Segunda Interface no modo 'Dorme'

Ela conta com uma fonte maior para facilitar a leitura e, inspirada em 9, apresenta os comandos válidos na tela para facilitar a aprendizagem. Em contrapartida, o aumento no número de elementos pode assustar a um novo usuário, anulando o principal propósito da mudança.

## Funções de transferência dos motores

Tabela 15: Funções de transferência estimadas

Velocidade(EF)	Velocidade(ET)	Velocidade(DF)	Velocidade(DT)
$\frac{0.15827}{z-0.5835}$	$\frac{0.14648}{z-0.6048}$	$\frac{0.19107}{z-0.5129}$	$\frac{0.16571}{z-0.5842}$
Posição(EF)	Posição(ET)	Posição(DF)	Posição(DT)
$\frac{0.0062932(z+0.836)}{(z-1)(z-0.5835)}$	$\frac{0.0057926(z+0.846)}{(z-1)(z-0.6048)}$	$\frac{0.0077442(z+0.8011)}{(z-1)(z-0.5129)}$	$\frac{0.0065875(z+0.8363)}{(z-1)(z-0.5842)}$

Clique em 'Retorno' para retornar à menção desta tabela no documento.

## Gráficos dos outros Controladores Testados

Aqui estão apresentados os gráficos de testes na tabela 9 que não serviram para o desenvolver do raciocínio do projeto. Clique em 'Retorno' para retornar ao documento.

## Proporcional-Integral Por Velocidade Sem Cancelamentos

Projetado com diretamente via polinômio característico em malha fechada para obter um atraso de 2 tempos de amostragem até estabilizar, esperava-se que essa versão acompanhasse à referência com menores valores na ação de controle visto que há uma folga maior de tempo, mas foi observado o contrário.

$$C = \frac{1}{N(z-1)} + \frac{1+P}{N} \quad (21)$$

$$CEF = \frac{10.0048z - 3.68667}{z-1} \quad (22)$$

$$CET = \frac{10.9562z - 4.12914}{z-1} \quad (23)$$

$$CDF = \frac{7.9183z - 2.6846}{z-1} \quad (24)$$

$$CDT = \frac{9.5604z - 3.5257}{z-1} \quad (25)$$

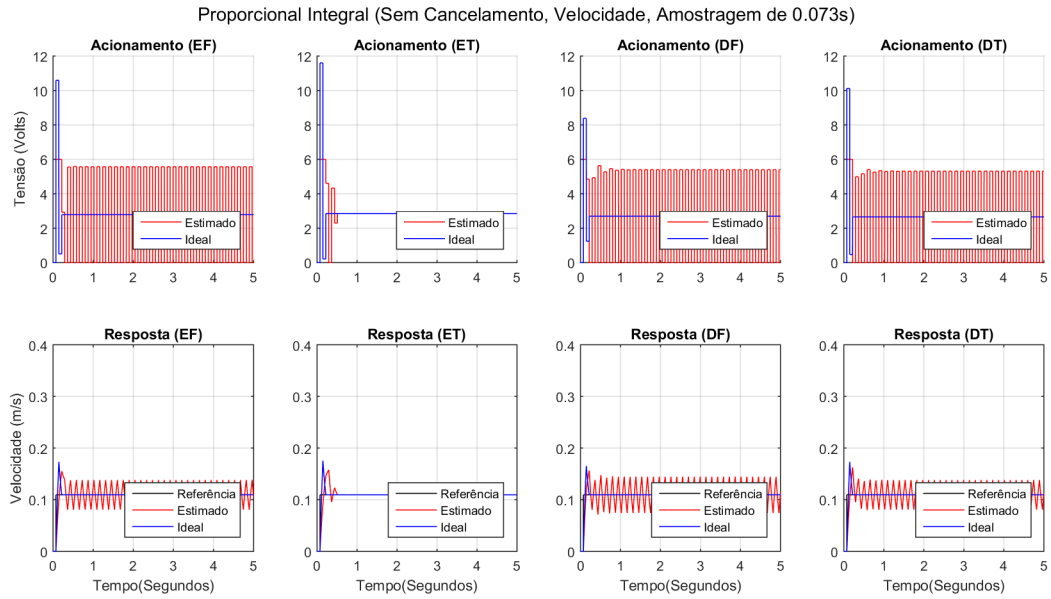


Figura 59: Simulação do PI sem cancelamentos

Visto que o resultado (59) não acompanhou à referência quando as não-linearidades era estimadas, esse controlador não foi testado.

### Proporcional-Integral Por Velocidade Com Cancelamentos

Projetado também diretamente no polinômio característico, esse projeto realiza o cancelamento de um dos pólos do sistema com um zero. Esperava-se um controlador com o mesmo resultado porém mais simples que o Deadbeat tipo 1 normal, mas foi obtido exatamente o mesmo controlador.

$$C = \frac{1 - P}{N(z - 1)} + \frac{1}{N} \quad (26)$$

$$CEF = \frac{6.3182z - 3.6867}{z - 1} \quad (27)$$

$$CET = \frac{6.827z - 4.1291}{z - 1} \quad (28)$$

$$CDF = \frac{5.2338z - 2.6846}{z - 1} \quad (29)$$

$$CDT = \frac{6.0348z - 3.5257}{z - 1} \quad (30)$$

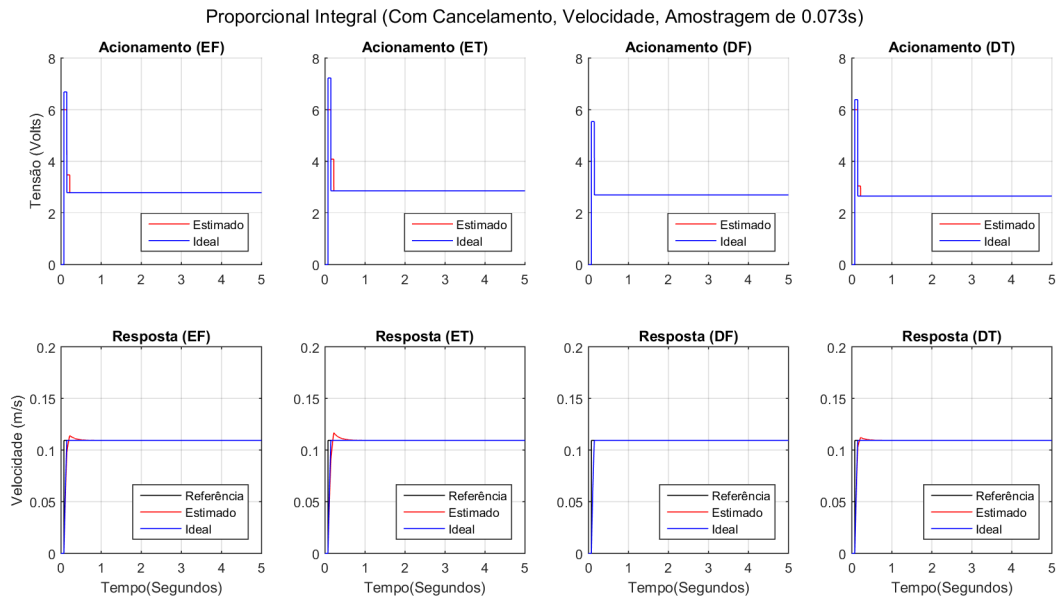


Figura 60: Simulação do PI com cancelamentos

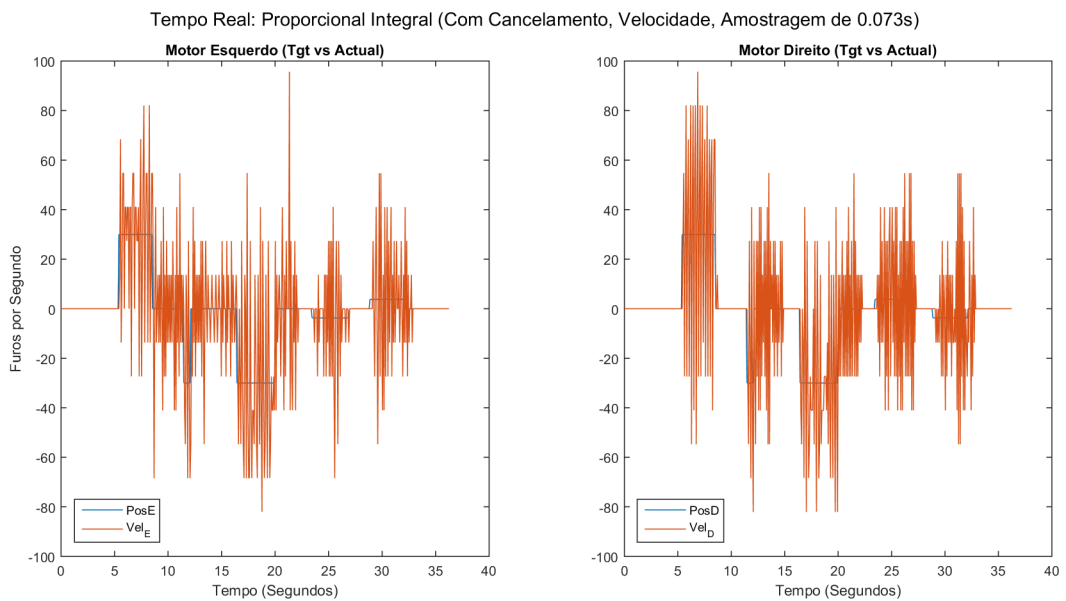


Figura 61: Teste Suspensão do PI com cancelamentos

Por ser idêntico, ao deadbeat tipo 1 normal(60), optou-se por não apresentar esse controlador.

### Deadbeat Tipo 2 Normal por posição

Antes de determinar a especificação de parada, foi testado um deadbeat tipo 2.

$$C = \frac{1}{G} \frac{2z - 1}{(z - 1)^2} \quad (31)$$

$$CEF = \frac{317.804z^2 - 344.3417z + 92.71986}{z^2 - 0.16405z - 0.83595} \quad (32)$$

$$CET = \frac{345.2708z^2 - 381.4625z + 104.4135}{z^2 - 0.15405z - 0.84595} \quad (33)$$

$$CDF = \frac{258.2568z^2 - 261.597z + 66.23432}{z^2 - 0.19893z - 0.80107} \quad (34)$$

$$CDT = \frac{303.6053z^2 - 329.1778z + 88.68756}{z^2 - 0.1637z - 0.8363} \quad (35)$$

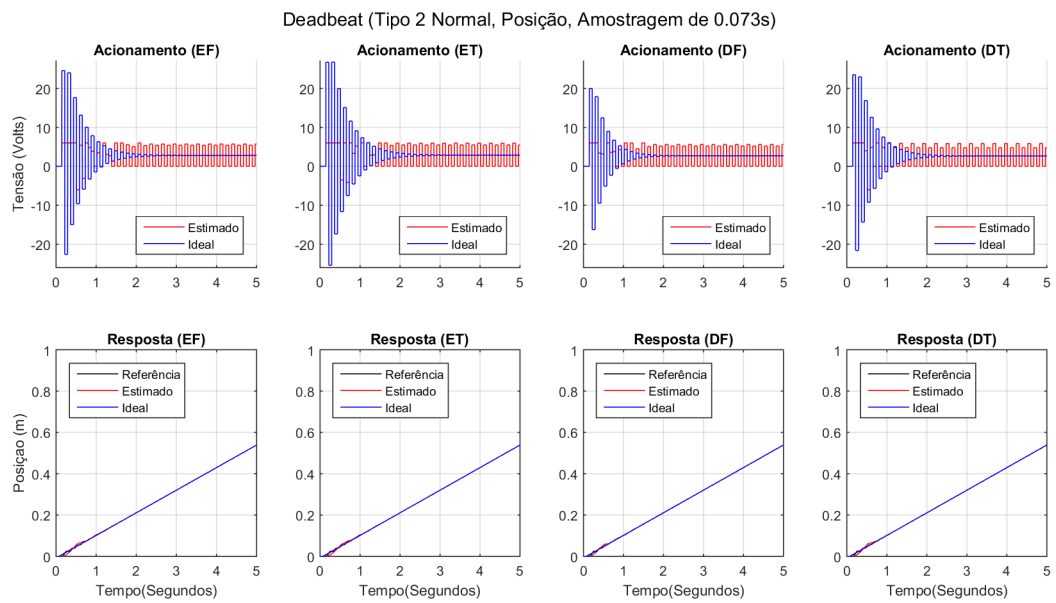


Figura 62: Simulação do DeadBeat Tipo 2

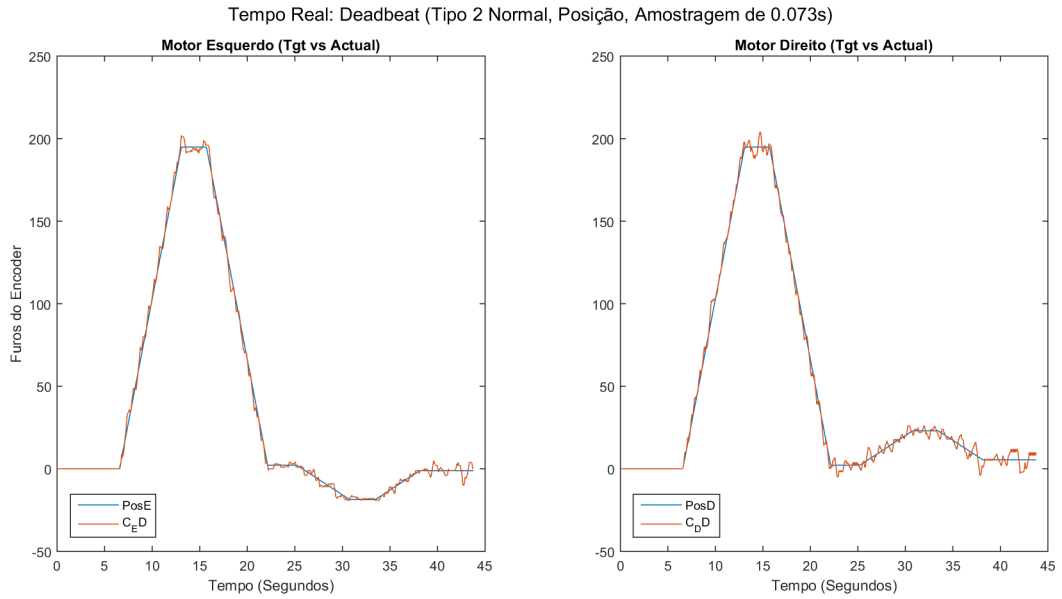


Figura 63: Teste Suspensão do DeadBeat Tipo 2

Visto que ele não é capaz de permanecer parado (63), ele não foi utilizado.

### Deadbeat Tipo 2 Amortecido por posição

Similar ao apresentado no Deadbeat tipo 1, foi feita uma versão mais lenta do tipo 2, com pólos extras. Embora ele tenha uma excursão de sinal menor, ele também apresenta (65) os mesmos problemas do anterior.

$$C = \frac{1}{G} \frac{1.1z^3 + 0.5975z^2 - 0.495z - 0.2025}{(z - 1)^2(z + 0.45)^2} \quad (36)$$

$$CEF = \frac{174.7922z^4 - 7.047889z^3 - 134.0566z^2 + 13.71867z + 18.77577}{z^4 + 0.73595z^3 - 0.7811z^2 - 0.78558z - 0.16928} \quad (37)$$

$$CET = \frac{189.8989z^4 - 11.70525z^3 - 147.8416z^2 + 16.72604z + 21.14374}{z^4 + 0.74595z^3 - 0.7821z^2 - 0.79255z - 0.1713} \quad (38)$$

$$CDF = \frac{142.0412z^4 + 4.296462z^3 - 103.4936z^2 + 6.637489z + 13.41245}{z^4 + 0.70107z^3 - 0.77761z^2 - 0.76125z - 0.16222} \quad (39)$$

$$CDT = \frac{166.9829z^4 - 6.854233z^3 - 128.1331z^2 + 13.16031z + 17.95923}{z^4 + 0.7363z^3 - 0.78113z^2 - 0.78582z - 0.16935} \quad (40)$$

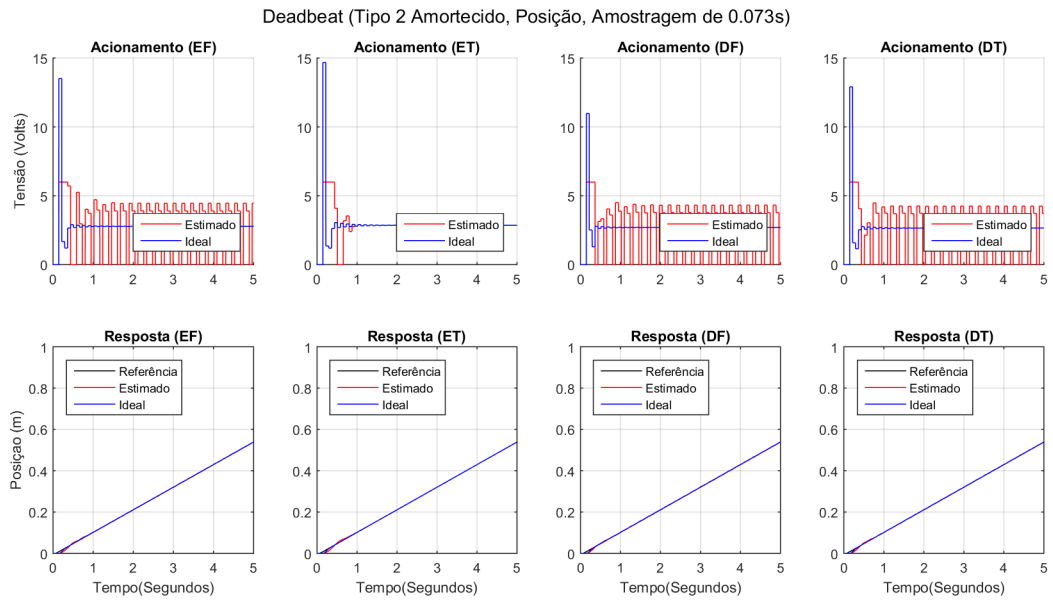


Figura 64: Simulação do DeadBeat Amortecido Tipo 2

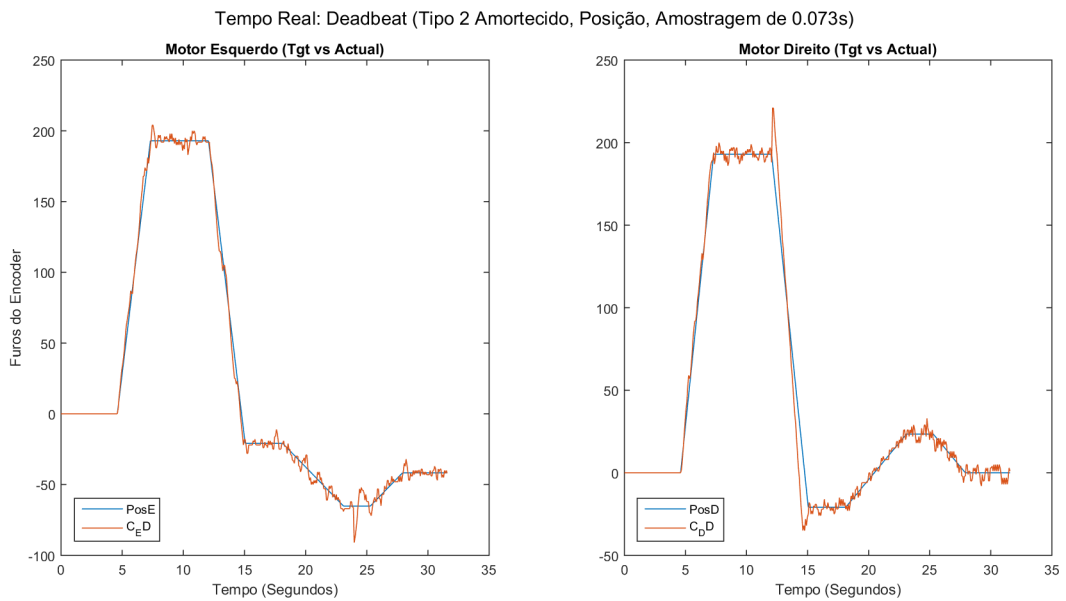


Figura 65: Teste Suspensão do DeadBeat Amortecido Tipo 2

### Compensador em atraso

Feito após a escolha do controlador proporcional, o compensador em atraso buscou reduzir o erro em regime permanente.

$$C = \frac{K(z - A)}{(z - P)} \quad (41)$$

$$CEF = \frac{8.5023z - 7.652}{z - 0.93333} \quad (42)$$

$$CET = \frac{8.2074z - 7.3866}{z - 0.93333} \quad (43)$$

$$CDF = \frac{9.8948z - 8.9053}{z - 0.93333} \quad (44)$$

$$CDT = \frac{8.0905z - 7.2814}{z - 0.93333} \quad (45)$$

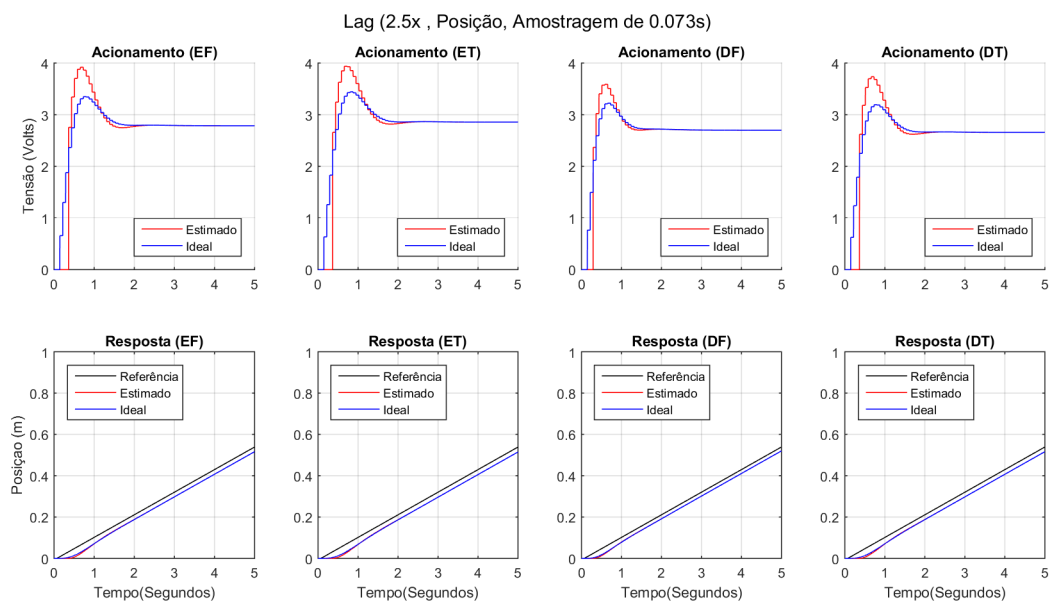


Figura 66: Simulação do Atraso

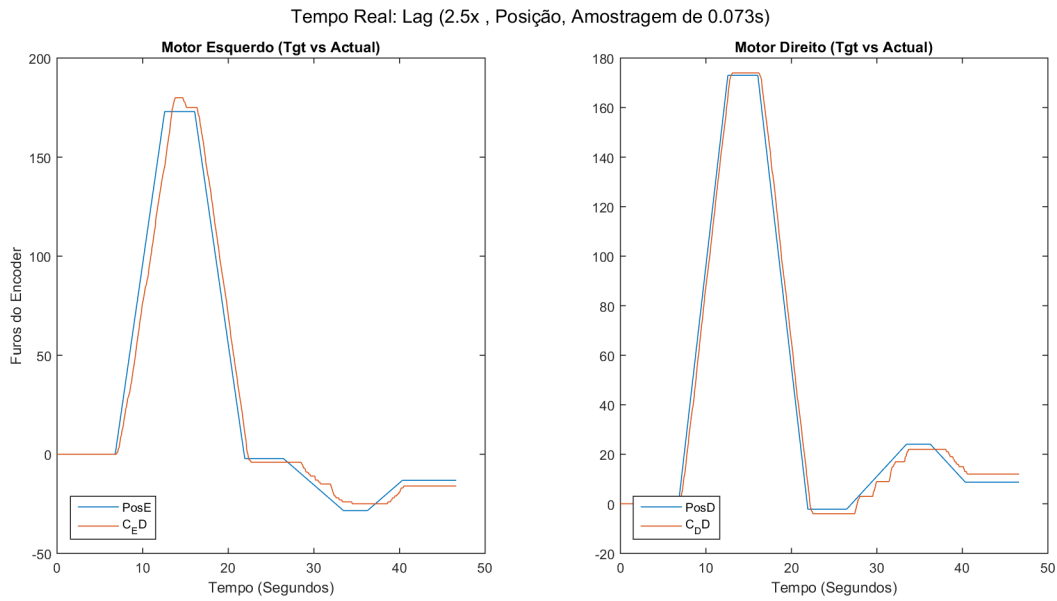


Figura 67: Teste Suspenso do Atraso

Mesmo apresentando um resultado razoável (67), ocasionalmente, ele partia o carrinho do repouso e portanto não foi utilizado.

### Compensador em avanço

Também feito após a escolha do proporcional, ele foi projetado para tempo mínimo para a referência de posição, similar aos PIs apresentados anteriormente, mas sem um canal integral.

Por ter sido feito após os outros controles, o ganho foi reduzido pela metade para reduzir a excursão do sinal e controle.

$$C = \frac{0.5}{GK(1 - GN_1)} * \frac{z - GD_2}{z - \frac{GN_1}{1 - GN_1}} \quad (46)$$

$$CEF = \frac{43.2751z - 25.2512}{z + 0.45532} \quad (47)$$

$$CET = \frac{46.7606z - 28.2818}{z + 0.45827} \quad (48)$$

$$CDF = \frac{35.8477z - 18.3875}{z + 0.44477} \quad (49)$$

$$CDT = \frac{41.3339z - 24.1485}{z + 0.45543} \quad (50)$$

Avanço (Com Cancelamento, Posição, Amostragem de 0.073s)

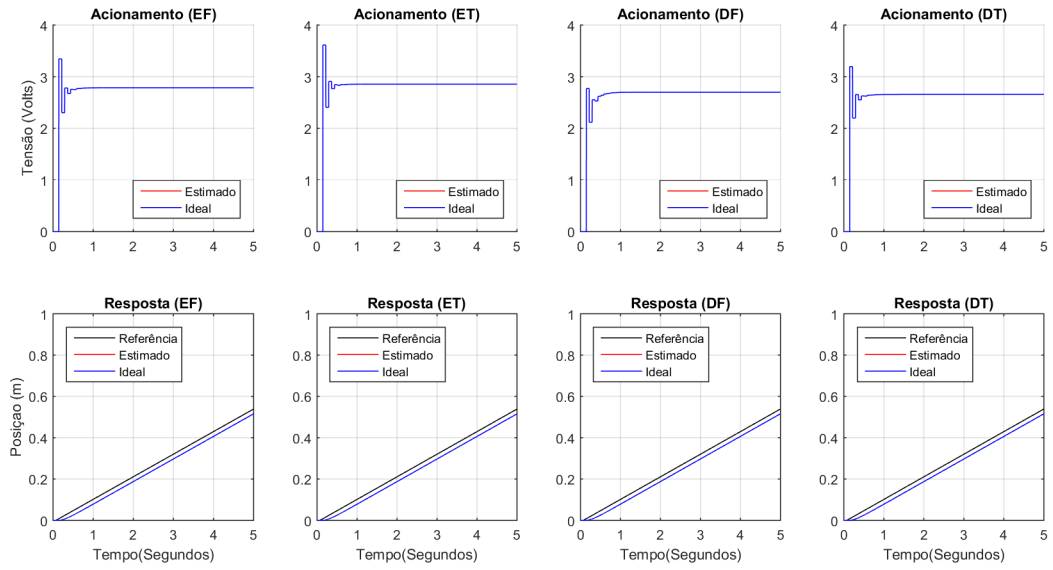


Figura 68: Simulação do Avanço

Tempo Real: Avanço (Com Cancelamento, Posição, Amostragem de 0.073s)

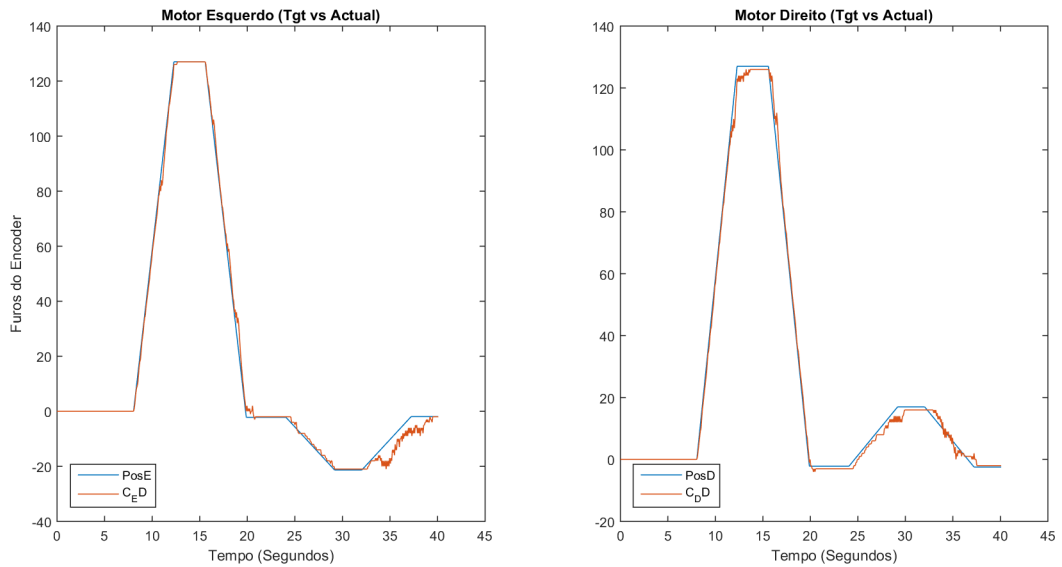


Figura 69: Teste Suspenso do Avanço

Embora tenha iniciado bem, ele não acompanhou apropriadamente o sinal de controle (69) e por isso não foi utilizado.

### Formas de Simulação

O diagrama do Simulink utilizado para verificar a realização é apresentado na figura 70:

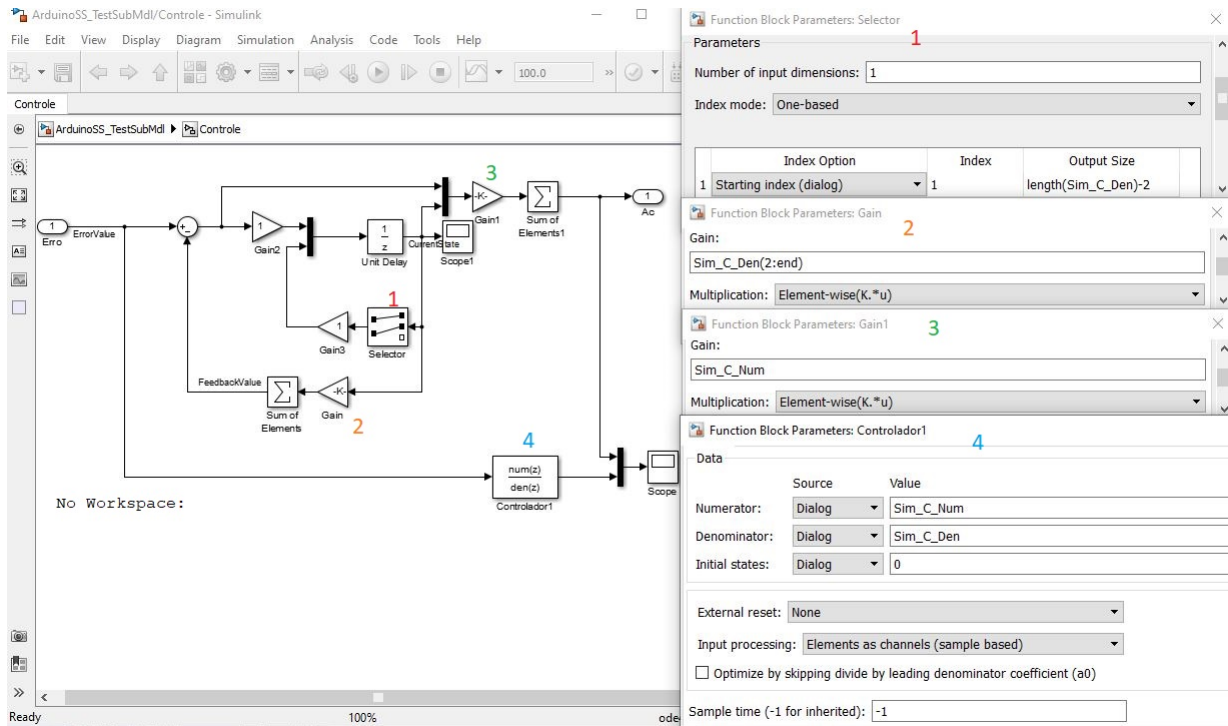


Figura 70: Realização da Simulação dos controladores no Simulink

Configurado e testado no workspace da forma a seguir:

```

1 [Sim_C_Num,Sim_C_Den] = tfdata(CDF, 'v');
2 [Sim_C_Num,Sim_C_Den] = Custom_MatchVecs(4,0,Sim_C_Num,Sim_C_Den);
3 sim('ArduinoSS_TestSubMdl.slx',Duracao)

```

A função na linha 5 estende o tamanho dos vetores para um mínimo de 4 termos, inserindo zeros ao fim dos polinômios que não afetam a tradução mas evitam erros de execução no simulink para controladores menores.

# Apêndice I

## Códigos do MatLab

### Instruções Gerais de Uso

O código desenvolvido no MatLab deve servir de apoio para desenvolvimentos futuros de sistemas de controle no Arduino e pode ser adaptado para outras funções com a escrita de textos. Nesta seção, será explicado o básico de como utilizar o código no processo de identificação do sistema do Arduino.

No script `Arduino_SS_SimS`, configure a variável `RunMain` para -2 (Próximo à linha 25). Em seguida execute o script. Assim que o mesmo encerrar, utilize o arquivo criado `Motores_Bluetooth_ML.ino` e envie o programa ao Arduino. Prepare o robô para movimentação, emparelhando os dispositivos bluetooth e execute o script `ArduinoSS_DT1b`. O móvel deve se mover para frente até obter 100 leituras e em seguida para trás, até outras 100 leituras. Será criado um arquivo com o nome em `Tmp1` (linha 118) com vetores de tempo e posição observados.

Uma vez obtidos esses dados, as variáveis `PosData_Identify_F` e `PosData_Identify_T` estarão preenchidas e o processo de obter as funções de transferência pode ser realizado executando mais uma vez o script `Arduino_SS_SimS`.

Para a escolha do controlador, tem-se 2 variáveis: `PosCon` e `CVer` (linhas 42 e 43). A primeira escolhe se o sistema deve acompanhar a posição ou a velocidade do móvel, a segunda escolhe qual controlador será utilizado. Para propósitos de comparação e teste, a opção de  $CVer = 0$  irá desativar o controle do sistema e ele sempre aplicará a máxima tensão permitida aos motores, de 6v nesta implementação (modificável em `Arduino_SS_ConfigGeral` na variável `MaxVel` onde  $V = MaxVel * \frac{9}{255}$ ).

Os nomes nos gráficos dos controladores são configurados de acordo com o controlador escolhido e são preparados no script `Arduino_SS_GeraControle` nas linhas 61 a 139. Para adicionar um novo nome, basta adicionar um novo `Case` ao `Switch` ali presente. Para adicionar um novo controle, deve-se editar a função `Temp_Identifier`, na qual o `Switch` que inicia na linha 80 faz o controlador anteriormente determinado, e adicionar um novo `Case` correspondente ao adicionado ao nome e programar a lógica de projeto dentro desse mesmo `Case`. Os scripts esperam um controlador discreto e não contínuo.

O programa permite adicionar e deletar variáveis globais declaradas no Arduino no script `Arduino_SS_GeraSetup`, basta adicionar uma linha no formato:

```
1 VarsProg = [VarsProg ; ...
2 {'<Tipo da Variável>', '<Nome da Variável>', ...
3 <Valor(es) Inicial(is)>, VarsProg{end,4}+1}];
```

Embora não hajam restrições de onde adicionar/remover variáveis, é preferencial que linhas adicionadas/removidas estejam próximas do final do código, visto que alterações nos índices de variáveis monitoradas (presentes no vetor ArduinoSS\_DT1RTVecSetup) afetarão as funções de apresentação de dados.

Falando nisso, as linhas 62 a 71 do Arduino\_SS\_SimS configuram no vetor mencionado anteriormente os índices das variáveis em VarsProg que serão mostradas nos Serial.print() do Arduino, podendo ser modificadas à vontade para apresentar quaisquer variável de interesse para observação ou debugging.

Outras configurações importantes de Arduino\_SS\_SimS são:

GenerateFiles <= Decide se vai ou não gerar arquivos ao executar.

Simulate <= Decide se vai ou não simular os controladores no simulink ao executar.

S\_BaudRate <= Guarda o BaudRate do canal Serial do Arduino.

B\_BaudRate <= Guarda o BaudRate do canal Bluetooth do Arduino.

O programa do Arduino consiste de vários arquivos .h e diretivas de #include. Esses arquivos são gerenciador por uma variável 'FileCell'. Para adicionar um novo arquivo, basta adicionar em qualquer local do programa, uma nova entrada na variável no seguinte formato:

```
1 FileCell = {'<Pasta Alvo>', '<Nome Do Arquivo>.h', NFiles+1};
```

E incrementar o contador de arquivos NFiles. Em uma implementação futura, deve-se substituir NFiles+1 por FileCellend,3+1 por facilidade de uso. O restante do processo já foi descrito na seção 3.2.

## Tabela De Navegação

Para facilitar a leitura online do código, as funções serão apresentadas em seções distintas, as quais podem ser acessadas pela tabela 16.

Tabela 16: Tabela de navegação dos códigos

Função ou Script	Breve Descrição de funcionalidade
Arduino_SS_SimS	Script principal de configuração. Chama a maioria das outras funções apresentadas no relatório.
Temp_Identifier	Faz a identificação dos motores e o cálculo dos controladores.
Arduino_SS_DT1b	Se conecta ao Arduino por bluetooth para coleta de dados da identificação.
Arduino_SS_GeraControle	Gera os arquivos para realizar o controle no Arduino
Arduino_SS_GeraSetup	Escreve a maioria das operações que serão realizadas pelo Arduino antes do Loop.
Arduino_SS_GeraAcionamento	Escreve as funções que se acionam os motores.
Arduino_SS_GeraPosicao	Escreve o arquivo que gera a referência do sistema de controle robô.
Arduino_SS_MLPrintFiles	Faz o código que envia no canal serial as variáveis indicadas pelo script principal.
Arduino_SS_GenerateData	Escreve os arquivos de modo de funcionamento
Arduino_SS_GeraBluetooth	Faz as funções do Arduino que usam o Bluetooth.
Arduino_SS_GeraSensores	Gera a função que utiliza os sensores de proximidade.
Arduino_SS_ConfigGeral	Escreve arquivos e faz configurações que não encaixam nos outros scripts.
Arduino_SS_GeraTestes	Faz códigos de teste do Arduino.
Arduino_SS_MoveFiles	Move os arquivos do Arduino para as respectivas pastas.
Arduino_SS_DT1	Faz a comunicação do Arduino com o Matlab.

## Funções Auxiliares

Conjunto de funções desenvolvido durante o trabalho para uso geral.

### 1. Custom\_Files\_SeqAssist

Esta função foi feita para simplificar operações com vetores. Por conveniência, ela adiciona uma quebra de linha ao final da string que receber de argumento.

```

1 function [Str] = Custom_Files_SeqAssist( varargin)
2 %   [Str] = Custom_Files_SeqAssist( Str,NumVec)
3 %   [Str] = Custom_Files_SeqAssist( Str,NumVec,... )
4 %
5 %   By Alexandre Aragão
6 %
7 %   Takes a group of strings and numeric arrays and joins them into strings
8 %   It returns a line for each value in the largest numeric input array
9 %   Returns a single line in case there are no numeric arrays
10 %
11 %   If there are many numeric arrays, the smaller ones will have their last
12 %   value repeated. For automation purposes, if one of the input arrays is
13 %   empty then the function also returns an empty array.
14 %
15 %   The function also adds a ' \n' (space and a line break) at the end of
16 %   every line
17 %
18 %   Examples:
19 %   Custom_Files_SeqAssist('A','A')           Returns 'AA \n'
20 %   Custom_Files_SeqAssist('A',2,'A',1)       Returns 'A2A1 \n'
21 %   Custom_Files_SeqAssist('A',1,[2 1], 'A')   Returns 'A12A \nA11A \n'
22 %   Custom_Files_SeqAssist('A',[2 1],[3 2 1]) Returns 'A23 \nA12 \nA11 \n'
23 %   Custom_Files_SeqAssist('A',[],[3 2 1])    Returns [] (Empty Array)
24
25 Str = [];
26 M = 1;
27 Empty = 0;
28 Nums = zeros(1,nargin);
29 if ~isempty(varargin)
30     %Vamos pegar o valor do tamanho do maior vetor numérico
31     for N = 1:nargin
32         if ~isempty(varargin{N})
33             Nums(N) = isnumeric(varargin{N});
34             if Nums(N)
35                 if M < length(varargin{N})
36                     M = length(varargin{N});
37                 end
38             end
39         else
40             Empty = 1;
41         end
42     end
43     %Gera as strings por concatenação

```

```

44     for N = 1:M
45         for P = 1:length(Nums)
46             if Nums(P)
47                 V = varargin{P};
48                 Str = [Str num2str(V(min(N,end)))];
49             else
50                 Str = [Str varargin{P}];
51             end
52         end
53         Str = [Str '\n'];
54     end
55 else
56     Empty = 1;
57 end
58
59 if Empty %Se alguma string estiver vazia, normalmente numéricas, cancela
60     Str = [];
61 end
62 end

```

## 2. MyParseFloat

Esta função foi feita para traduzir qualquer número representado como uma string para seu valor numérico. Não compreende notações complexas, como potências e caracteres diferentes de números, sinais, vírgulas e pontos.

```

1  function [Num] = MyParseFloat(S)
2  %Parses a string S into a float Num
3  % Stops on the first NaN character
4  % [Num] = MyParseFloat(S)
5  % Alexandre Aragão
6
7  Num = 0;
8  Pos = 1;
9  L = length(S);
10 A = 1;
11 if L == 0
12     Num = 0;
13 else
14     if S(1) == '+'
15         A = 2;
16     else

```

```

17         if S(1) == '-'
18             A = 2;
19             Pos = 0;
20         end
21     end
22     for n = A:L
23         if ((S(n) < 48) || (S(n) > 57)) && Num == 0)
24             if (S(n) == 44 || S(n) == 46)
25                 ;
26             else
27                 Num = n-1;
28             end
29         end
30     end
31     if Num > 0
32         L = Num;
33     end
34     Num = 0;
35     Comma = 0;
36     B = 0;
37     for n = A:L
38         if (S(n) == ',' || S(n) == '.')
39             if Comma == 0
40                 Comma = n;
41             else
42                 B = B + 1;
43             end
44         else
45             Num = Num*10 + (S(n)-48);
46         end
47     end
48     if Comma > 0
49         Num = Num/(10^(L - Comma - B));
50     end
51
52     Num = Num*(Pos) - Num*(~Pos);
53 end
54 end

```

### 3. MyStringComparator

Função feita para comparar strings que foi estendida para buscar elementos em listas de strings.

```

1 function [varargout] = MyStringComparator(varargin)
2 %String Comparator
3 % [C] = MyStringComparator(A,B)
4 % Returns false if the strings have different sizes.
5 % Returns in C wether or not A and B are the same string.
6 % Returns -1 in case of error.
7 % Case-Sensitive
8 % By Alexandre Aragão
9 %
10 % Examples:
11 % [C] = MyStringComparator('A','a') returns 0
12 % [C] = MyStringComparator('A ','A') returns 0
13 % [C] = MyStringComparator(' A','A') returns 0
14 % [C] = MyStringComparator('A','A') returns 1
15 %
16 % If A is a cell array with strings and B is a string then C will be a
17 % column array with the resulting comparison between each element of A
18 % and the string B.
19 % Example:
20 % [C] = MyStringComparator({'A';'a'},'a') returns [0;1]
21 %
22 % If A is a string and B is a cell array then C will return the index of
23 % the string in B that is equal to the string A. Also returns 0 if none
24 % is found.
25 % Example:
26 % [C] = MyStringComparator('A',{'a';'A';'b'}) returns 2
27 % [C] = MyStringComparator('B',{'a';'A';'b'}) returns 0
28 %
29 % If both A and B are string cells then C will return a column vector
30 % with the indexes of B's strings that are the same as in A's lines.
31 % Example:
32 % [C] = MyStringComparator({'A';'b';'B'},{'a';'A';'b'}) returns [2;3;0]
33
34 if nargin == 2 % Ou 2 Strings , ou 1/2 arrays de strings
35     if ischar(varargin{1})
36         LA = 0;%Entrada 1 "Driver" é uma string
37     else
38         if iscell(varargin{1})%Entrada 1 "Driver" é um conjunto de strings
39             LA = size(varargin{1},1);
40         else
41             LA = -1;
42         end
43     end

```

```

44     if ischar(varargin{2})
45         LB = 0;%Entrada 2 "Target" é uma string
46     else
47         if iscell(varargin{2})%Entrada 2 "Target" é um conjunto de strings
48             LB = size(varargin{2},1);
49         else
50             LB = -1;
51         end
52     end
53
54     if LA < 0 || LB < 0
55         varargout{1} = -1;% Erro de tipo de entradas invalidas
56     else
57         if LA == 0
58             varargout{1} = 0;
59             if LB == 0
60                 varargout{1} = MyStrCmp(varargin{1},varargin{2});
61             else
62                 for n = 1:LB
63                     if MyStrCmp(varargin{1},char(varargin{2}(n)))
64                         varargout{1} = n;
65                     end
66                 end
67             end
68         else
69             varargout{1} = zeros(LA,1);
70             if LB == 0
71                 for n = 1:LA
72                     varargout{1}(n) = MyStrCmp(char(varargin{1}(n)), ...
73                                             varargin{2});
74                 end
75             else
76                 for na = 1:LA
77                     for nb = 1:LB;
78                         if ...
79                             MyStrCmp(char(varargin{1}(na)),char(varargin{2}(nb)))
80                             varargout{1}(na) = nb;
81                         end
82                     end
83                 end
84             end
85         end
86     end
87 end

```

```

85 else
86     varargout{1} = -1;
87 end
88
89 end

```

## Arduino\_SS\_SimS

Retorne à tabela clicando nesta frase

```

1 %Scripts de gerenciamento do Arduino Surveillance System
2 % Por Alexandre Aragão
3 %% Início
4
5 close all;
6
7 GenerateFiles = 1;%Controla de vai gerar os arquivos do Arduino
8 Simulate = 1;%Realiza as simulações dos controladores
9 S_BaudRate = 115200;%Baudrate do Serial
10 B_BaudRate = 57600;%Baudrate do Bluetooth
11 MaxVel = floor(6*(255/9));%Calcula a tensão máxima segura
12
13 %Temporização
14 T = 0.073;%Tempo de amostragem. 0.073 Esse foi o mais rápido realizável.
15 EncoderDelay = 2;%Tempo de espera para eliminar ruído no encoder
16 Duracao = max([20*T, 5]);%Escolhe uma duração para as simulações
17
18 %Configurações gerais
19 Sim_M = 30;%Velocidade alvo em furos por segundo (máxima de 60)
20 Sim_U = [1 0 0 0 0];%Coeficientes do vetor de suavização para a simulação
21 Sim_TurnAdj = 0.125;%Ajusta a velocidade durante curvas (para 12.5%)
22 DeadZone = 60;%Valores de tensão que não vencem o atrito (p/ simulação)
23 Saturation = MaxVel;%Valor de tensão máxima aplicável
24 SkipControl = 0;%Desliga a modificação do controlador (mas deve existir um)
25 RunMain = 1;%Escolhe qual versão do código será gerado:
26 % 1 -> Comportamento Normal
27 % 0 -> Teste dos sensores
28 % -1 -> Teste dos motores
29 % -2 -> Script de identificação dos motores
30 % -3 -> Script de teste preliminar do controlador
31 UseSensors = 1;%Liga os sensores (Para debug)

```

```

32 DumpVars    =    0;%Dá print em todas as variáveis do Arduino, TODAS
33 TestMode    =    1;%Indica que o robô está suspenso
34 Run_Chao    =    0;%Tira os prints todos do arduino
35 VelGrouping = 0.00;%Coeficiente da Media Movel Ponderada. 0 desliga
36 load('TesteNormal_M2_10_07');
37
38 if ~exist('Auto','var')
39     Auto = 0;
40 end
41 if Auto == 0
42     PosCon = 1;%Controla por posição (0 para ir por velocidade)
43     CVer   = 09;%Escolhe o controlador (Lista abaixo)
44 end
45 % 0 - None (For Tests)
46 % 1 - Type 1 Deadbeat
47 % 2 - Type 2 Deadbeat
48 % 3 - Type 1 Dampened Deadbeat
49 % 4 - Type 2 Dampened Deadbeat
50 % 5 - Proportional-Integral (DB speed)
51 % 6 - Proportional-Integral (Normal)
52 % 7 - Proportional
53 % 8 - Lag
54 % 9 - Lead
55 if CVer == 0
56     SkipControl = 1;
57 end
58
59 %Setup dos prints
60 %O Arduino irá enviar os valores das variáveis em 'VarsProg'
61 %Com esses índices. O script Arduino_SS_GeraSetup gera o VarsProg
62 A = [24];%Índice de: Tempo
63 if 1
64     if PosCon
65         A = [A 8 7 16 17];%Índice de: PosD/E, C_DD/ED
66     else
67         A = [A 8 7 31 30];%Índice de: PosD/E, Vel_D/E
68     end
69 end
70 %A = [A 51 52];%DistT/F
71 %A = [A 32 33];%Controle_ACD/E
72 ArduinoSS_DT1RTVecSetup = A;%VarsProg
73 %Para uma lista , digite VarsProg no terminal após executar este script
74 %Para adicionar variáveis

```

```

75 %is novas, adicione linhas modificando o script
76 %Digitando 'open Arduino_SS_GeraSetup' e modificando a variável
77
78
79 %Specs esperados:
80 %140 RPM a 6v, então em torno de 130 furos por segundo
81 %Diâmetro exteno com pneu: 65 mm;
82 %r = 0.0325
83 %2*pi*r = 0.2042m
84 %2*pi*r/56 = 0.003646m (distância por furo)
85 %1.9N de força
86
87 %Tradução de furos pra metros
88 NFuros = 56;%28 tiras, mas ele conta subida e descida
89 r = 0.0325;
90 aux1 = 2*pi*r/NFuros;
91 Sim_M = Sim_M*aux1;
92
93 %Gerenciador de arquivos
94 Folders = {'Motores_Bluetooth_ML', 'data', 'modules', 'subrotinas'};
95
96 %% Cria as pastas onde vão ficar os arquivos do Arduino
97
98 if GenerateFiles
99     %Variável de organização de scripts
100     ScriptName = '// Arduino_SS_SimS \n';
101     NFiles = 0;
102     %Gera as pastas
103     [¬,¬] = mkdir(Folders{1});
104     [¬,¬] = mkdir(Folders{1}, Folders{2});
105     [¬,¬] = mkdir([Folders{1}, '/', Folders{2}], Folders{3});
106     [¬,¬] = mkdir([Folders{1}, '/', Folders{2}, '/', Folders{3}], Folders{4});
107     %Começa o vetor de arquivos
108     FileCell = {'data', 'Motores_Bluetooth_ML.h', NFiles+1};
109     NFiles = NFiles + 1;
110     fid = fopen(FileCell{NFiles, 2}, 'w');
111     Tmpl = [ScriptName, ...
112         '// Seleção de programa@' ...
113         '#define MainProg ', num2str(int32(RunMain==1)), '@' ...
114         '// Configurações@' ...
115         '// Seleção de programa@' ...
116         '#define SensorTest ', num2str(int32(RunMain==0)), '@' ...
117         '// Configurações@' ...

```

```

118     '// Seleção de programa@' ...
119     '#define EngineTest ', num2str(RunMain*(RunMain < 0)), '@' ...
120     '// Configurações@' ...
121     '// -1 ->Movimentos;@' ...
122     '// -2 ->Encoders;@' ...
123     '// -3 ->Controle;@' ...
124     '// -4 ->Controle no chão;@' ...
125     '// Debugging and Profiling@' ...
126     '//#define ML_Motores 0 '@' ...
127     '//#define ML_Sensores 0@' ...
128     '//#define ML_Completo 0@' ...
129     '#if MainProg@' ...
130     '#include "Mainprog.h"@' ...
131     '#endif@' ...
132     '#if SensorTest@' ...
133     '#include "ML_Sensors.h"@' ...
134     '#endif@' ...
135     '#if EngineTest < 0@' ...
136     '#define EngineTest ', num2str(-RunMain), '@' ...
137     '#include "ML_Motores.h"@' ...
138     '#endif@' ...
139 ];
140 Tmp1 = Custom_ReplaceStr(Tmp1, '@', '\n');
141 fprintf(fid, Tmp1);
142 fclose(fid);
143
144 FileCell = [ FileCell ; {'main', 'Motores_Bluetooth_ML.ino', NFiles + 1}];
145 NFiles = NFiles + 1;
146 fid = fopen(FileCell{NFiles, 2}, 'w');
147 Tmp1 = ScriptName;
148 Tmp1 = [Tmp1 Custom_Files_SeqAssist('#include ...
           "data/Motores_Bluetooth_ML.h"')];
149 fprintf(fid, Tmp1);
150 fclose(fid);
151 end
152
153 %% Calcula e gera o controlador
154
155 run Arduino_SS_GeraControle
156
157 %% Gera as subrotinas de acionamento
158
159 run Arduino_SS_GeraAcionamento

```

```

160
161 %% Gera a subrotina de geração de posição
162
163 run Arduino_SS_GeraPosicao
164
165 %% Generate remaining files via auxiliary scripts
166
167 run Arduino_SS_GeraSetup %Faz arquivos com funções anteriores ao loop()
168
169 run Arduino_SS_MLPrintFiles %Faz arquivos de envio de dados
170
171 run Arduino_SS_GenerateData %Faz os 3 arquivos gerais na pasta /data
172
173 run Arduino_SS_GeraBluetooth %Faz arquivos que gerenciam o bluetooth
174
175 run Arduino_SS_GeraSensores %Faz o arquivo que controla os sensores
176
177 run Arduino_SS_ConfigGeral %Arquivos que não encaixam nos outros scripts
178
179 run Arduino_SS_GeraTestes %Gera as subrotinas de teste
180
181 %% Fecha os arquivos abertos
182 if GenerateFiles
183     fclose('all');
184 end
185
186 %% Move os arquivos para as pastas deles
187
188 if GenerateFiles
189     run Arduino_SS_MoveFiles
190 end
191
192 %% Salva um arquivo com as variáveis do workspace
193 %Ele sobrescreve e acaba mantendo uma pra cada dia
194
195 run Arduino_SS_Savefiles
196
197 %pause();
198 %close all;
199 display ScriptEnded

```

## Temp\_Identifier

Função que identifica a função de transferência dos motores e projeta os controladores do sistema.

Retorne à tabela clicando nesta frase

```
1 function [GDisc1 ,GCont1 ,GDisc2 ,GCont2 ,C] = ...
    Temp_Identifier (Data ,X, Type, Freq ,T, CVer ,Mag)
2
3 % [GDisc1 ,GCont1 ,GDisc2 ,GCont2 ,C] = Temp_Identifier (Data ,X, Type, Freq ,T, CVer)
4 % Data would be the Y axis
5 % X is the time/sample axis
6 % Freq is a data grouping variable
7 % Type asks for the expected order of the data (1->speed , 2-> Position)
8 % CVer is the controller version to be in the output.
9
10 %Mag = MaxVel; % Tensão que o Arduino pôs no motor
11 %T = T*10^6 % Passa pra segundo
12
13 %% Contas Preliminares
14 %{
15 A função de transferência tem ordem 2, um pólo da parte elétrica e 1 da
16 parte mecânica. O da parte elétrica é desprezível em relação ao mecânico
17
18 O da parte mecânica é (s + B/J) onde B representa forças contrárias ao
19 movimento vindas da velocidade (como atrito) e J o momento de inércia
20
21 Para o caso da roda , J = (m/2)*(R1^2+R2^2) então o teste no chão é mais
22 lento que o suspenso. O motor tem massa de 50g e o carrinho de 470g. Por
23 margem de erro , vamos usar 1 kg.
24
25 Daí, o momento de inércia é 20x maior que
26 o suspenso então supondo que não haja atrito extra , o sistema é 20 vezes
27 mais lento.
28 %}
29
30
31 %% Correções em caso de indefinição
32
33
34 if (exist('PosCon') ≠ 1)
```

```

35     PosCon = Type - 1;
36 end
37
38 %% Achar a aproximação
39
40 funct      = ['(b)*(1 - exp(-a*(x)))'];
41 %funct      = ['      b*1 - b*exp(-a*x)'];
42 %B = abs(mean(Data(ceil(end/2):end)))
43 %A = (B - Data)/B;
44 %A = diff(A)./diff(X);
45 %A = max(A);
46 %funct_Vel = fit(X,Data,funct,'Start',[A B])
47 funct_Vel  = fit(X,Data,funct,'Start',[10 100])
48 A = funct_Vel.a;
49 B = funct_Vel.b;
50 G2 = zpk([], [0 -A], B*A);
51 %G2.InputDelay = funct_Vel.c;
52 G1 = zpk([], [-A], B*A);
53 %G1.InputDelay = funct_Vel.c;
54
55
56 GCont1 = (1/Mag)*G1;
57 GCont2 = (1/Mag)*G2;
58 %% Discretizar
59
60 GDisc1 = c2d(GCont1,T);
61 GDisc1 = GDisc1;%*zpk([], [0], 1, T);
62 GDisc1.IODelay = 0;
63 GDisc2 = c2d(GCont2,T);
64 GDisc2 = GDisc2;%*zpk([], [0], 1, T);
65 GDisc2.IODelay = 0;
66
67 %GDisc1 = c2d(GCont1,T);
68 %GDisc2 = c2d(GCont2,T);
69
70 %% Controles
71
72 if Type == 1
73     GDisc = GDisc1;
74     GCont = GCont1;
75 else
76     GDisc = GDisc2;
77     GCont = GCont2;

```

```

78 end
79
80 DV = CVer;
81 switch DV
82     case {1 , 2 , 3 , 4} % Deadbeats
83         if DV == 1 || DV == 3
84             Den = 1;
85             if DV == 3
86                 [Z,P,~] = zpndata(GDisc, 'v');
87                 if ~isempty(Z)
88                     P = 1/prod(abs(Z - [P ; 1]));
89                     P = max([Z-P Z+P]);
90                     Den = [-0.4 Den];
91                 else
92                     Den = [-0.56 Den];
93                 end
94                 %Den = conv([1 0.75 0.35],Den);
95             end
96         else
97             Den = [1 1];
98             [Z,~,~] = zpndata(GDisc, 'v');
99             if DV == 4
100                 %P = abs(1/(Z-1))*abs(1/());
101                 %if abs(Z) > P
102                 %A = -(Z + P);
103                 %Den = conv([1 1 0.28095],Den);
104                 Den = [-0.45 -0.45 Den];
105                 %Den = [A A Den];
106             end
107         end
108         Den = poly(Den);
109         C = tf(-Den(2:end),Den,T);
110         C = zp(C);
111         C = (1/GDisc)*C;
112     case 5 %Proporcional Integral DB
113         display PI
114         [Z,P,N] = zpndata(GDisc, 'v')
115         if Type == 2
116             C = zp([1-T],[1],1.5/sqrt(T),T);
117             C = 1*C;
118         else
119             Kp = (1 - P)/(N);
120             Ki = (1 - P)/(N);

```

```

121         C = zpk([], [1], Ki, T) + zpk([], [], Kp, T);
122     end
123     %K = 1;
124     case 6 %Proporcional Integral Normal
125         [Z, P, N] = zpndata(GDisc, 'v');
126         if PosCon
127             C = zpk([1-T], [1], 1.5/sqrt(T), T);
128             C = 1*C;
129         else
130             Kp = (1 + P)/(N);
131             Ki = (1 - P)/(N);
132             C = zpk([], [1], Ki, T) + zpk([], [], Kp, T);
133         end
134     case 7 %Proporcional
135         if PosCon
136             [CN, CD] = tfdata(GDisc, 'v');
137             CN = CN(2:end);
138             CD = CD(2:end);
139             A = CN(1)^2;
140             B = (2*CD(1)*CN(1) - 4*CN(2));
141             C = (CD(1)^2 - 4*CD(2));
142             KB = (-B + sqrt(B^2 - 4*A*C))/(2*A);
143             KA = (-B - sqrt(B^2 - 4*A*C))/(2*A);
144             K = 3*min([KA, KB]);
145         else
146             [CN, CD] = tfdata(GDisc, 'v');
147             K = (-CD(2))/CN(2);
148         end
149         C = zpk([], [], K, T);
150
151     case 8 % Atraso
152         if PosCon
153             [CN, CD] = tfdata(GDisc, 'v');
154             CN = CN(2:end);
155             CD = CD(2:end);
156             A = CN(1)^2;
157             B = (2*CD(1)*CN(1) - 4*CN(2));
158             C = (CD(1)^2 - 4*CD(2));
159             KB = (-B + sqrt(B^2 - 4*A*C))/(2*A);
160             KA = (-B - sqrt(B^2 - 4*A*C))/(2*A);
161             K = 2*min([KA, KB]);
162         else
163             [CN, CD] = tfdata(GDisc, 'v');

```

```

164         K = (-CD(2))/CN(2);
165     end
166     %Kp = 10/(K*CSD_Ess(GDisc));
167     Kp = 1.5;
168     Z = 0.9;
169     C = zpk([Z],[Z+Kp-1]/Kp),K,T);
170 case 9 %Avanço
171     if PosCon
172         [Z,P,K] = zpkdata(GDisc,'v');
173         Z = sort(Z);
174         %[N,D] = ...
            tfdata(minreal(series(zpk(P(2),Z/(1-Z),(K)*(1/(1-Z))),T),GDisc)) ...
            ,'v');
175         %[N,D] = tfdata(minreal(series(zpk([],-0.437,1,T),tf(N,D,T))), ...
            ,'v');
176         C = zpk(P(2),Z(1)/(1-Z(1)),(0.5/K)*(1/(1-Z(1)))/1.0,T);%1.6
177         %pause();
178     end
179 case 10 %Zieger-Nichols, Como descrito na página 40 do TCC a Regina
180     [A,B] = step(GCont);
181     [R,Tr] = max(diff(A)./diff(B))%Variação máxima / Tempo de subida
182     Yr = A(Tr)%Saída no instante de pico
183     Vrp = mean(A(ceil(end/2):end))%Regime permanente
184
185     ZN_T = B(Tr) - (Yr/R);%Variáveis intermediárias
186     ZN_L = Vrp/R;
187
188     C_Kp = 1.2*(ZN_T/ZN_L)%Fórmula
189     C_Ki = 2*ZN_L
190     C_Kd = 0.5*ZN_L
191
192     %Essa aqui é em acordo com o bloco do matlab 'PID discreto '
193     %Página 56 tem o resultado dela, parecido com o meu. Leeeento.
194     PID_N = 0.01;
195     C = tf(1*C_Kp,1,T) + tf(C_Ki*T,[1 -1],T) + tf(C_Kd*PID_N*[1 -1],[1 ...
            -1+PID_N*T],T);
196 case 11
197     C = Digital_Deadbeat(GDisc,[],[],2);
198 case 12 %Control-Based
199     [N,D] = tfdata(GDisc,'v');
200     CN(1) = 1/D(1); CD(1) = 1;
201     B = max(abs(D(2:end)./N(2:end)));
202     A = poly([(1/B)*ones(1,size(D,2)-1)]);

```

```

203     for n = 2:size(D,2)
204         CN(n) = A(n);
205         CD(n) = -(CN(n)*D(n))/N(n);
206     end
207     C = tf(CN,CD,T);
208
209 end
210 [Z,P,K] = zpkdata(C, 'v');
211 if max([size(Z,1) size(P,1)]) > 0
212     C = minreal(C);
213 else
214     C = minreal(C);
215 end
216
217 end

```

## ArduinoSS\_DT1b

Função de aquisição de dados via comunicação bluetooth, utilizada na identificação dos motores.

Retorne à tabela clicando nesta frase

```

1 %% Script para identificação dos motores e teste dos controles
2
3 %% Configuração de variáveis
4
5 ParseVars = {};%Guarda as variáveis que o matlab espera ver na saída
6 Tmp1 = zeros(10^5,1);%Prealocação para acelerar o código(removível)
7 %Variáveis do VarsProg que o parser vai atrás
8 A = ArduinoSS_DT1RTVecSetup;
9
10 for n = 1:size(A,2)
11     ParseVars = [ParseVars ; {VarsProg{A(n),2} ,Tmp1,n,0,VarsProg{A(n),2}(1) , ...
12         A(n) }];
13 end
14 %% Reinicia a comunicação
15
16 delete(instrfind);%Desfaz conexões ativas
17 BL = Bluetooth('Aurora',1);%Conecta por bluetooth

```

```

18
19 %% Aguarda a comunicação iniciar
20 fopen(BL);
21 while MyStringComparator(BL.Status, 'open') == 0
22     %;
23 end
24 pause(5.0);
25 %Esvazia o buffer de leitura
26 while BL.BytesAvailable > 0
27     fscanf(BL);
28 end
29 %% Envia comandos e mede a resposta.
30 %Espera-se que um código de teste esteja carregado
31 %Com RunMain = -2 ou RunMain = -3
32 Tmp2 = 100;
33 z = 0;
34 while z < 2
35     y = 0;
36     while y < Tmp2
37         fprintf(BL, num2str(z+1));
38         Tmp1 = strsplit(fscanf(BL));
39         y = y + 1;
40         for n = 1:size(ParseVars,1)
41             ParseVars{n,2}(y + Tmp2*z) = MyParseFloat(Tmp1{n});
42         end
43     end
44     fprintf(BL, num2str(3));
45     fscanf(BL);
46     pause(3.0);
47     z = z + 1;
48 end
49
50 %% Manda os dados pro PosData_Identify
51
52
53 % Pra Frente
54 PosData_Identify_F {1,2}(1:100) = ParseVars {1,2}(1:100)/(10^6);%Tempo
55 PosData_Identify_F {2,2}(1:100) = ParseVars {4,2}(1:100);%Direita
56 PosData_Identify_F {6,2}(1:100) = ParseVars {5,2}(1:100);%Esquerda
57 for n = 1:9 %Corta os tamanhos
58     PosData_Identify_F {n,2} = PosData_Identify_F {n,2}(1:100);
59 end
60

```

```

61 % Pra Trás
62 PosData_Identify_T{1,2}(1:100) = ParseVars{1,2}(101:200)/(10^6);%Tempo
63 PosData_Identify_T{2,2}(1:100) = ParseVars{4,2}(101:200);%Direita
64 PosData_Identify_T{6,2}(1:100) = ParseVars{5,2}(101:200);%Esquerda
65 for n = 1:9 %Corta os tamanhos
66     PosData_Identify_T{n,2} = PosData_Identify_T{n,2}(1:100);
67 end
68
69 % Ajeita as posições iniciais e sinais
70 PosData_Identify_F{2,2} = PosData_Identify_F{2,2} - PosData_Identify_F{2,2}(1);
71 PosData_Identify_F{6,2} = PosData_Identify_F{6,2} - PosData_Identify_F{6,2}(1);
72 PosData_Identify_T{2,2} = PosData_Identify_T{2,2}(1) - PosData_Identify_T{2,2};
73 PosData_Identify_T{6,2} = PosData_Identify_T{6,2}(1) - PosData_Identify_T{6,2};
74
75 % Faz as velocidades a partir das posições
76 PosData_Identify_F{8,2} = [0 ; ...
    diff(PosData_Identify_F{6,2}) ./ diff(PosData_Identify_F{1,2})];
77 PosData_Identify_F{4,2} = [0 ; ...
    diff(PosData_Identify_F{2,2}) ./ diff(PosData_Identify_F{1,2})];
78 PosData_Identify_T{8,2} = [0 ; ...
    diff(PosData_Identify_T{6,2}) ./ diff(PosData_Identify_T{1,2})];
79 PosData_Identify_T{4,2} = [0 ; ...
    diff(PosData_Identify_T{2,2}) ./ diff(PosData_Identify_T{1,2})];
80
81 % Leva os tempos pra zero
82 PosData_Identify_F{1,2} = PosData_Identify_F{1,2} - PosData_Identify_F{1,2}(1);
83 PosData_Identify_T{1,2} = PosData_Identify_T{1,2} - PosData_Identify_T{1,2}(1);
84
85 fit(PosData_Identify_T{1,2}(1:25), PosData_Identify_T{8,2}(1:25), ...
    '(b)*(1-exp(-a*x))', 'Start', [10 62]);
86
87 %Fazer uns gráficos
88 close all;
89 figure('units','normalized','outerposition',[0.01 0.01 0.95 0.95]);
90 subplot(2,4,2)
91 hold on;
92 plot(ParseVars{1,2}( 1:100) ./ (10^6), ParseVars{5,2}( 1:100), 'b');
93 plot(ParseVars{1,2}(101:200) ./ (10^6), ParseVars{5,2}(101:200), 'r');
94 hold off;
95 subplot(2,4,3)
96 hold on;
97 plot(ParseVars{1,2}( 1:100) ./ (10^6), ParseVars{4,2}( 1:100), 'b');
98 plot(ParseVars{1,2}(101:200) ./ (10^6), ParseVars{4,2}(101:200), 'r');

```

```

99 hold off;
100 subplot(2,4,5)
101 hold on;
102 plot(PosData_Identify_F{1,2},PosData_Identify_F{6,2}, 'r');
103 hold off;
104 subplot(2,4,6)
105 hold on;
106 plot(PosData_Identify_T{1,2},PosData_Identify_T{6,2}, 'r');
107 hold off;
108 subplot(2,4,7)
109 hold on;
110 plot(PosData_Identify_F{1,2},PosData_Identify_F{2,2}, 'b');
111 hold off;
112 subplot(2,4,8)
113 hold on;
114 plot(PosData_Identify_T{1,2},PosData_Identify_T{2,2}, 'b');
115 hold off;
116
117 % Salva
118 Tmp1 = 'TesteNormal_M2_10_08';
119 save(Tmp1, 'PosData_Identify_F', 'PosData_Identify_T');
120 save(['Workspace_' Tmp1]);
121
122 %% Fecha a comunicação
123 fclose(S);
124 while MyStringComparator(S.Status, 'closed') == 0
125     %;
126 end
127 clear S;

```

## Arduino\_SS\_GeraControle

Função que gera os arquivos de controle para o Arduino.

Retorne à tabela clicando nesta frase

```

1 %% Prepara o nome
2
3 ScriptName = '// Arduino_SS_GeraControle \n';
4
5 %% Achar as velocidades aqui mesmo, por segundo

```

```

6
7 if (exist('PosData_Identify_F','var') == 1 &&...
8     exist('PosData_Identify_T','var') == 1)
9     TimerF = PosData_Identify_F{1,2}/10^6;
10    TimerT = PosData_Identify_T{1,2}/10^6;
11    Data_EncDD_F = PosData_Identify_F{4,2};
12    Data_EncED_F_V = PosData_Identify_F{8,2};
13    Data_EncDD_T = PosData_Identify_T{4,2};
14    Data_EncED_T_V = PosData_Identify_T{8,2};
15
16    if VelGrouping > 0
17        for n = 2:size(PosData_Identify_F{8,2},1)
18            PosData_Identify_F{4,2}(n) = ...
19                PosData_Identify_F{4,2}(n-1)*VelGrouping + ...
20                (1-VelGrouping)*PosData_Identify_F{4,2}(n);
21            PosData_Identify_F{8,2}(n) = ...
22                PosData_Identify_F{8,2}(n-1)*VelGrouping + ...
23                (1-VelGrouping)*PosData_Identify_F{8,2}(n);
24            PosData_Identify_T{4,2}(n) = ...
25                PosData_Identify_T{4,2}(n-1)*VelGrouping + ...
26                (1-VelGrouping)*PosData_Identify_T{4,2}(n);
27            PosData_Identify_T{8,2}(n) = ...
28                PosData_Identify_T{8,2}(n-1)*VelGrouping + ...
29                (1-VelGrouping)*PosData_Identify_T{8,2}(n);
30        end
31    end
32 else
33    Timer = (0:0.01:3-0.01)';
34    A = (100)*Timer;
35    F = str2func('@(x)(150/13)*(13*x - 1 + exp(-13*x))');
36    PosData_Identify_F = {'Timer',Timer,1};
37    PosData_Identify_F = [ PosData_Identify_F ;{'EncDD',F(Timer),2}];
38    PosData_Identify_F = [ PosData_Identify_F ;{'PosD',A,3}];
39    PosData_Identify_F = [ PosData_Identify_F ;{'VelD',[0 ;...
40        diff(PosData_Identify_F{2,2})./diff(PosData_Identify_F{1,2})],4}];
41    PosData_Identify_F = [ PosData_Identify_F ;{'EPosD',zeros(10000,1),5}];
42    PosData_Identify_F = [ PosData_Identify_F ;{'EncED',F(Timer),6}];
43    PosData_Identify_F = [ PosData_Identify_F ;{'PosE',A,7}];
44    PosData_Identify_F = [ PosData_Identify_F ;{'VelE',[0 ;...
45        diff(PosData_Identify_F{6,2})./diff(PosData_Identify_F{1,2})],8}];
46    PosData_Identify_F = [ PosData_Identify_F ;{'EPosE',zeros(10000,1),9}];
47
48

```

```

49 PosData_Identify_T = { 'Timer' , Timer , 1 };
50 PosData_Identify_T = [ PosData_Identify_T ; { 'EncDD' , F(Timer) , 2 } ];
51 PosData_Identify_T = [ PosData_Identify_T ; { 'PosD' , A , 3 } ];
52 PosData_Identify_T = [ PosData_Identify_T ; { 'VelD' , [ 0 ; ...
53     diff( PosData_Identify_T { 2 , 2 } ) ./ diff( PosData_Identify_T { 1 , 2 } ) ] , 4 } ];
54 PosData_Identify_T = [ PosData_Identify_T ; { 'EPosD' , zeros( 10000 , 1 ) , 5 } ];
55 PosData_Identify_T = [ PosData_Identify_T ; { 'EncED' , F(Timer) , 6 } ];
56 PosData_Identify_T = [ PosData_Identify_T ; { 'PosE' , A , 7 } ];
57 PosData_Identify_T = [ PosData_Identify_T ; { 'VelE' , [ 0 ; ...
58     diff( PosData_Identify_T { 6 , 2 } ) ./ diff( PosData_Identify_T { 1 , 2 } ) ] , 8 } ];
59 PosData_Identify_T = [ PosData_Identify_T ; { 'EPosE' , zeros( 10000 , 1 ) , 9 } ];
60 end
61
62 %% Configurações gerais dos gráficos , figuras e dados
63
64
65
66
67 FScale      = 2*pi*r/NFuros;%Passa de furos pra metros
68 YSize_Vel_I = [ 0 5];%Pro Ylabel das velocidades na identificação
69 YSize_Pos_I = [ 0 2];%Pro Ylabel das posições na identificação
70 YSize_Aci_S = [ 0 8];%Pro Ylabel dos acionamentos na simulação
71 YSize_Pos_S = [ 0 8];%Pro Ylabel das posições na simulação
72 YSize_Vel_S = [ 0 5];%Pro Ylabel das velocidades na simulação
73 This_SimData = { '[PosCon,CVer]' , 'ts (EF ET DF DT)' , 'mp (EF ET DF DT)' ; ...
74     [PosCon,CVer] , [inf inf inf inf] , [0 0 0 0] ...
75     };
76 switch CVer
77     case 0
78         CName = 'Desligado' ;
79         FName = 'Desligado' ;
80     case 1
81         CName = 'Deadbeat (Tipo 1 Normal' ;
82         FName = 'Fig_DB1N' ;
83         YSize_Aci_S = [ 0 30];%Deadbeat tem uma excursão maior
84     case 2
85         CName = 'Deadbeat (Tipo 2 Normal' ;
86         FName = 'Fig_DB2N' ;
87         YSize_Aci_S = [ 0 30];%Deadbeat tem uma excursão maior
88     case 3
89         CName = 'Deadbeat (Tipo 1 Amortecido' ;
90         FName = 'Fig_DB1A' ;
91         YSize_Aci_S = [ 0 15];%Deadbeat tem uma excursão maior

```

```

92     case 4
93         CName = 'Deadbeat (Tipo 2 Amortecido)';
94         FName = 'Fig_DB2A';
95         YSize_Aci_S = [0 15];%Deadbeat tem uma excursão maior
96     case 5
97         CName = 'Proporcional Integral (Com Cancelamento)';
98         FName = 'Fig_PIC';
99     case 6
100        CName = 'Proporcional Integral (Sem Cancelamento)';
101        FName = 'Fig_PIN';
102     case 7
103        CName = 'Proporcional (Subamortecido)';
104        FName = 'Fig_P';
105     case 8
106        CName = 'Lag (2.5x)';
107        FName = 'Fig_Lag';
108     case 9
109        CName = 'Avanço (Com Cancelamento)';
110        FName = 'Fig_Lead';
111     case 10
112        CName = 'Proporcional-Integral-Derivativo (Zieger-Nichols)';
113        FName = 'Fig_PIDZH';
114        %Tmp1 = [ '$$C = \frac{1-P}{N(z-1)} + \frac{1}{N}$ $ $ '];
115        %Ctrl_Formulas = [ Ctrl_Formulas; {[CName, ') '], Tmp1, 5}];
116 end
117 YName_Vel = 'Velocidade (m/s)';
118 YName_Pos = 'Posição (m)';
119 MaxY1 = 0;
120 MaxY2 = 0;
121 if CVer ≠ 0
122     XName = 'Tempo(Segundos)';
123     CL1Name = 'Estimado';
124     CE1Name = 'Dados';
125     CL2Name = 'Ideal';
126     CE2Name = 'Id.';
127     YAName = 'Tensão (Volts)';
128     if PosCon
129         %YRName = 'Resposta (Furos do Encoder)';
130         YRName = 'Posição (m)';
131         CName = [CName ' , Posição'];
132         FName = [FName '_Pos'];
133     else
134         %YRName = 'Resposta (Furos por Segundo)';

```

```

135     YRName = 'Velocidade (m/s)';
136     CName = [CName ', Velocidade'];
137     FName = [FName '_Vel'];
138     end
139     CName = [CName ', Amostragem de ', num2str(T), 's'];
140     FName = [FName '_T', int2str(1000*T)];
141     end
142     FName = [FName '.png'];
143
144     %% Vetor de fórmulas pra pôr no LaTeX depois
145
146
147     Ctrl_Formulas = {}; %Nome, fórmula em .tex, identificador
148     Tmpl = [ '$$C = \frac{1}{G}\frac{1}{(z-1)} $$'];
149     Ctrl_Formulas = [Ctrl_Formulas; {'DeadBeat Tipo 1', Tmpl, 1, 1}];
150     Tmpl = [ '$$C = \frac{1}{G}\frac{2z - 1}{(z-1)^2} $$'];
151     Ctrl_Formulas = [Ctrl_Formulas; {'DeadBeat Tipo 2', Tmpl, 2, 2}];
152     Tmpl = [ '$$C = \frac{1}{G}\frac{0.6z+0.4}{(z-1)(z+0.4)} $$'];
153     Ctrl_Formulas = [Ctrl_Formulas; {'DeadBeat Amortecido Tipo 1', Tmpl, 3, 3}];
154     Tmpl = [ '$$C = \frac{1}{G}\frac{1.1z^3+0.5975z^2-0.495z-0.2025}{(z-1)^2(z+0.45)^2} ...
155         '$(z-1)^2(z+0.45)^2} $$'];
156     Ctrl_Formulas = [Ctrl_Formulas; {'DeadBeat Amortecido Tipo 2', Tmpl, 4, 4}];
157     Tmpl = [ '$$C = \frac{1-P}{N(z-1)} + \frac{1}{N} $$'];
158     Ctrl_Formulas = [Ctrl_Formulas; {'PI com cancelamentos', Tmpl, 5, 5}];
159     Tmpl = [ '$$C = \frac{1}{N(z-1)} + \frac{1+P}{N} $$'];
160     Ctrl_Formulas = [Ctrl_Formulas; {'PI sem cancelamentos', Tmpl, 6, 6}];
161     Tmpl = [ '$$C = K $$'];
162     Ctrl_Formulas = [Ctrl_Formulas; {'Proporcional', Tmpl, 7, 7}];
163     Tmpl = [ '$$C = \frac{K(z-A)}{(z-P)} $$'];
164     Ctrl_Formulas = [Ctrl_Formulas; {'Atraso', Tmpl, 8, 8}];
165     Tmpl = [ '$$C = \frac{0.5}{GK(1-GN_1)} * ...
166         '\frac{z - GD_2}{z - \frac{GN_1}{1-GN_1}} $$'];
167     Ctrl_Formulas = [Ctrl_Formulas; {'Avanço', Tmpl, 9, 9}];
168     %C = zpke(P(2), Z(1)/(1-Z(1)), (1.0/K)*(1/(1-Z(1)))/1.0, T); %1.6
169
170     %% Outros pontos de setup
171
172     if (exist('Freq', 'var') ≠ 1)
173         Freq = 1;
174     end
175
176     if ¬SkipControl
177         %% Testes para frente Direito

```

```

178     aux1 = PosData_Identify_F;
179     [GDDF1,GCDF1,GDDF2,GCDF2,CDF] = ...
180         Temp_Identifier ( aux1 {4,2} , aux1 {1,2} , PosCon+1, Freq , T, CVer , MaxVel );
181
182     if PosCon
183         GDDF = GDDF2;
184         GCDF = GCDF2;
185     else
186         GDDF = GDDF1;
187         GCDF = GCDF1;
188     end
189
190     [Sim_GC_Num,Sim_GC_Den] = tfdata (GCDF, 'v' );
191     [Sim_GD_Num,Sim_GD_Den] = tfdata (GDDF, 'v' );
192     if ( isa (CDF, 'tf' ) || isa (CDF, 'zpk' ) )
193         [Sim_C_Num,Sim_C_Den] = tfdata (CDF, 'v' );
194         %display TransferFunction
195         while length (Sim_C_Num) < 6
196             Sim_C_Num = [Sim_C_Num 0];
197         end
198         while length (Sim_C_Den) < 6
199             Sim_C_Den = [Sim_C_Den 0];
200         end
201     else
202         Sim_C_Num = [C 0 0 0 0 0 0];
203         Sim_C_Den = [0 0 0 0 0 0 1];
204     end
205
206     [Sim_C_Num,Sim_C_Den] = tfdata (CDF, 'v' );
207     CDF_Fim = length (Sim_C_Num);
208     CDF_NumVec_Val = Sim_C_Num;
209     CDF_DenVec_Val = Sim_C_Den(2:end);
210
211
212
213
214     %% Testes para frente Esquerdo
215
216
217     [GDEF1,GCEF1,GDEF2,GCEF2,CEF] = ...
218         Temp_Identifier ( aux1 {8,2} , aux1 {1,2} , PosCon+1, Freq , T, CVer , MaxVel );
219
220     if PosCon

```

```

221     GDEF = GDEF2;
222     GCEF = GCEF2;
223 else
224     GDEF = GDEF1;
225     GCEF = GCEF1;
226 end
227
228
229 [Sim_GC_Num,Sim_GC_Den] = tfdata(GCEF, 'v');
230 [Sim_GD_Num,Sim_GD_Den] = tfdata(GDEF, 'v');
231
232 if (isa(CEF, 'tf') || isa(CEF, 'zpk'))
233     [Sim_C_Num,Sim_C_Den] = tfdata(CEF, 'v');
234     %%display TransferFunction
235     while length(Sim_C_Num) < 6
236         Sim_C_Num = [Sim_C_Num 0];
237     end
238     while length(Sim_C_Den) < 6
239         Sim_C_Den = [Sim_C_Den 0];
240     end
241 else
242     Sim_C_Num = C;
243     Sim_C_Den = 1;
244 end
245
246 [Sim_C_Num,Sim_C_Den] = tfdata(CEF, 'v');
247 CEF_Fim = length(Sim_C_Num);
248 CEF_NumVec_Val = Sim_C_Num;
249 CEF_DenVec_Val = Sim_C_Den(2:end);
250
251
252
253 %% Testes para trás Direito
254 aux1 = PosData_Identify_T;
255 [GDDT1,GCDT1,GDDT2,GCDT2,CDT] = ...
256     Temp_Identifier(aux1{4,2},aux1{1,2},PosCon+1,Freq,T,CVer,MaxVel);
257
258 if PosCon
259     GDDT = GDDT2;
260     GCDT = GCDT2;
261 else
262     GDDT = GDDT1;
263     GCDT = GCDT1;

```

```

264     end
265
266     [Sim_GC_Num,Sim_GC_Den] = tfdata(GCDT, 'v');
267     [Sim_GD_Num,Sim_GD_Den] = tfdata(GDDT, 'v');
268     if (isa(CDT, 'tf') || isa(CDT, 'zpk'))
269         [Sim_C_Num,Sim_C_Den] = tfdata(CDT, 'v');
270         %display TransferFunction
271         while length(Sim_C_Num) < 6
272             Sim_C_Num = [Sim_C_Num 0];
273         end
274         while length(Sim_C_Den) < 6
275             Sim_C_Den = [Sim_C_Den 0];
276         end
277     else
278         Sim_C_Num = C;
279         Sim_C_Den = 1;
280     end
281
282     [Sim_C_Num,Sim_C_Den] = tfdata(CDT, 'v');
283     CDT_Fim = length(Sim_C_Num);
284     CDT_NumVec_Val = Sim_C_Num;
285     CDT_DenVec_Val = Sim_C_Den(2:end);
286
287
288
289
290
291     %% Testes para trás Esquerdo
292
293     [GDET1,GCET1,GDET2,GCET2,CET] = ...
294         Temp_Identifier(aux1{8,2},aux1{1,2},PosCon+1,Freq,T,CVer,MaxVel);
295
296     if PosCon
297         GDET = GDET2;
298         GCET = GCET2;
299     else
300         GDET = GDET1;
301         GCET = GCET1;
302     end
303     %T = 1;
304
305     [Sim_GC_Num,Sim_GC_Den] = tfdata(GCET, 'v');
306     [Sim_GD_Num,Sim_GD_Den] = tfdata(GDET, 'v');

```

```

307
308     if (isa(CET, 'tf') || isa(CET, 'zpk'))
309         [Sim_C_Num, Sim_C_Den] = tfdata(CET, 'v');
310         %display TransferFunction
311         while length(Sim_C_Num) < 6
312             Sim_C_Num = [Sim_C_Num 0];
313         end
314         while length(Sim_C_Den) < 6
315             Sim_C_Den = [Sim_C_Den 0];
316         end
317     else
318         Sim_C_Num = C;
319         Sim_C_Den = 1;
320     end
321
322     [Sim_C_Num, Sim_C_Den] = tfdata(CET, 'v');
323     CET_Fim = length(Sim_C_Num);
324     CET_NumVec_Val = Sim_C_Num;
325     CET_DenVec_Val = Sim_C_Den(2:end);
326
327     %% Simulação pra ver se a identificação ficou boa
328     figure('units', 'normalized', 'outerposition', [0.01 0.01 0.95 0.95])
329
330     subplot(2,4,1); %Velocidades , EF
331     hold on;
332     [Tmp1, Tmp2] = step(MaxVel*GCEF1, PosData_Identify_F {1,2}(end));
333     plot(Tmp2, FScale*Tmp1);
334     MaxY1 = max([MaxY1 max(FScale*Tmp1)]);
335     [Tmp1, Tmp2] = step(MaxVel*GDEF1, PosData_Identify_F {1,2}(end));
336     plot(Tmp2, FScale*Tmp1);
337     MaxY1 = max([MaxY1 max(FScale*Tmp1)]);
338     plot(PosData_Identify_F {1,2}, FScale*PosData_Identify_F {8,2});
339     MaxY1 = max([MaxY1 max(FScale*PosData_Identify_F {8,2})]);
340     grid;
341     title('Velocidade (EF)');
342     legend([CE2Name '(s)'], [CE2Name '(z)'], CE1Name, 'LOCATION', 'NorthEast');
343     ylabel(YName_Vel);
344     hold off;
345     xlim([PosData_Identify_F {1,2}(1) PosData_Identify_F {1,2}(end)]);
346     %ylim(YSize_Vel_I);
347
348
349     subplot(2,4,2); %Velocidades , ET

```

```

350 hold on;
351 [Tmp1,Tmp2] = step(MaxVel*GCET1, PosData_Identify_T {1,2} (end));
352 plot(Tmp2, FScale*Tmp1);
353 MaxY1 = max([MaxY1 max(FScale*Tmp1)]);
354 [Tmp1,Tmp2] = step(MaxVel*GDET1, PosData_Identify_T {1,2} (end));
355 plot(Tmp2, FScale*Tmp1);
356 MaxY1 = max([MaxY1 max(FScale*Tmp1)]);
357 plot(PosData_Identify_T {1,2}, FScale*PosData_Identify_T {8,2});
358 MaxY1 = max([MaxY1 max(FScale*PosData_Identify_T {8,2})]);
359 grid;
360 title('Velocidade (ET)');
361 legend([CE2Name '(s)'], [CE2Name '(z)'], CE1Name, 'LOCATION', 'NorthEast');
362 hold off;
363 xlim([PosData_Identify_T {1,2}(1) PosData_Identify_T {1,2}(end)]);
364 %ylim(YSize_Vel_I);
365
366
367 subplot(2,4,3); %Velocidades , DF
368 hold on;
369 [Tmp1,Tmp2] = step(MaxVel*GCDF1, PosData_Identify_F {1,2} (end));
370 plot(Tmp2, FScale*Tmp1);
371 MaxY1 = max([MaxY1 max(FScale*Tmp1)]);
372 [Tmp1,Tmp2] = step(MaxVel*GDDF1, PosData_Identify_F {1,2} (end));
373 plot(Tmp2, FScale*Tmp1);
374 MaxY1 = max([MaxY1 max(FScale*Tmp1)]);
375 plot(PosData_Identify_F {1,2}, FScale*PosData_Identify_F {4,2});
376 MaxY1 = max([MaxY1 max(FScale*PosData_Identify_F {4,2})]);
377 grid;
378 title('Velocidade (DF)');
379 legend([CE2Name '(s)'], [CE2Name '(z)'], CE1Name, 'LOCATION', 'NorthEast');
380 hold off;
381 xlim([PosData_Identify_F {1,2}(1) PosData_Identify_F {1,2}(end)]);
382 %ylim(YSize_Vel_I);
383
384
385
386 subplot(2,4,4); %Velocidades , DT
387 hold on;
388 [Tmp1,Tmp2] = step(MaxVel*GCDT1, PosData_Identify_T {1,2} (end));
389 plot(Tmp2, FScale*Tmp1);
390 MaxY1 = max([MaxY1 max(FScale*Tmp1)]);
391 [Tmp1,Tmp2] = step(MaxVel*GDDT1, PosData_Identify_T {1,2} (end));
392 plot(Tmp2, FScale*Tmp1);

```

```

393 MaxY1 = max([MaxY1 max(FScale*Tmp1)]);
394 plot(PosData_Identify_T{1,2}, FScale*PosData_Identify_T{4,2});
395 MaxY1 = max([MaxY1 max(FScale*PosData_Identify_T{4,2})]);
396 grid;
397 title('Velocidade (DT)');
398 legend([CE2Name '(s)'], [CE2Name '(z)'], CE1Name, 'LOCATION', 'NorthEast');
399 hold off;
400 xlim([PosData_Identify_T{1,2}(1) PosData_Identify_T{1,2}(end)]);
401 ylim(YSize_Vel_I);
402
403
404 %Ajeitar os tamanhos dos plots de velocidade
405 %MaxY1 = max([MaxY1 3]);
406 MaxY1 = 1.5*round(MaxY1,1);
407 subplot(2,4,1)
408 ylim([0 MaxY1]);
409 subplot(2,4,2)
410 ylim([0 MaxY1]);
411 subplot(2,4,3)
412 ylim([0 MaxY1]);
413 subplot(2,4,4)
414 ylim([0 MaxY1]);
415 MaxY1 = 0;
416
417
418
419
420
421 subplot(2,4,5); %Posição, EF
422 hold on;
423 [Tmp1,Tmp2] = step(MaxVel*GCEF2, PosData_Identify_F{1,2}(end));
424 plot(Tmp2, FScale*Tmp1);
425 MaxY1 = max([MaxY1 max(FScale*Tmp1)]);
426 [Tmp1,Tmp2] = step(MaxVel*GDEF2, PosData_Identify_F{1,2}(end));
427 plot(Tmp2, FScale*Tmp1);
428 MaxY1 = max([MaxY1 max(FScale*Tmp1)]);
429 plot(PosData_Identify_F{1,2}, FScale*PosData_Identify_F{6,2});
430 MaxY1 = max([MaxY1 max(FScale*PosData_Identify_F{6,2})]);
431 grid;
432 title('Posição (EF)');
433 legend([CE2Name '(s)'], [CE2Name '(z)'], CE1Name, 'LOCATION', 'NorthWest');
434 ylabel(YName_Pos);
435 xlabel(XName);

```

```

436 hold off;
437 xlim([PosData_Identify_F {1,2}(1) PosData_Identify_F {1,2}(end)]);
438 %ylim(YSize_Pos_I);
439
440
441 subplot(2,4,6); %Posição, ET
442 hold on;
443 [Tmp1,Tmp2] = step(MaxVel*GCET2,PosData_Identify_T {1,2}(end));
444 plot(Tmp2, FScale*Tmp1);
445 MaxY1 = max([MaxY1 max(FScale*Tmp1)]);
446 [Tmp1,Tmp2] = step(MaxVel*GDET2,PosData_Identify_T {1,2}(end));
447 plot(Tmp2, FScale*Tmp1);
448 MaxY1 = max([MaxY1 max(FScale*Tmp1)]);
449 plot(PosData_Identify_T {1,2}, FScale*PosData_Identify_T {6,2});
450 MaxY1 = max([MaxY1 max(FScale*PosData_Identify_T {6,2})]);
451 grid;
452 title('Posição (ET)');
453 legend([CE2Name '(s)'],[CE2Name '(z)'],CE1Name,'LOCATION','NorthWest');
454 xlabel(XName);
455 hold off;
456 xlim([PosData_Identify_T {1,2}(1) PosData_Identify_T {1,2}(end)]);
457 %ylim(YSize_Pos_I);
458
459
460 subplot(2,4,7); %Posição, DF
461 hold on;
462 [Tmp1,Tmp2] = step(MaxVel*GCDF2,PosData_Identify_F {1,2}(end));
463 plot(Tmp2, FScale*Tmp1);
464 MaxY1 = max([MaxY1 max(FScale*Tmp1)]);
465 [Tmp1,Tmp2] = step(MaxVel*GDDF2,PosData_Identify_F {1,2}(end));
466 plot(Tmp2, FScale*Tmp1);
467 MaxY1 = max([MaxY1 max(FScale*Tmp1)]);
468 plot(PosData_Identify_F {1,2}, FScale*PosData_Identify_F {2,2});
469 MaxY1 = max([MaxY1 max(FScale*PosData_Identify_F {2,2})]);
470 grid;
471 title('Posição (DF)');
472 legend([CE2Name '(s)'],[CE2Name '(z)'],CE1Name,'LOCATION','NorthWest');
473 xlabel(XName);
474 hold off;
475 xlim([PosData_Identify_F {1,2}(1) PosData_Identify_F {1,2}(end)]);
476 %ylim(YSize_Pos_I);
477
478

```

```

479 subplot(2,4,8); %Posição , DT
480 hold on;
481 [Tmp1,Tmp2] = step(MaxVel*GCDT2, PosData_Identify_T{1,2}(end));
482 plot(Tmp2, FScale*Tmp1);
483 MaxY1 = max([MaxY1 max(FScale*Tmp1)]);
484 [Tmp1,Tmp2] = step(MaxVel*GDDT2, PosData_Identify_T{1,2}(end));
485 plot(Tmp2, FScale*Tmp1);
486 MaxY1 = max([MaxY1 max(FScale*Tmp1)]);
487 plot(PosData_Identify_T{1,2}, FScale*PosData_Identify_T{2,2});
488 MaxY1 = max([MaxY1 max(FScale*PosData_Identify_T{2,2})]);
489 grid;
490 title('Posição (DT)');
491 legend([CE2Name '(s)'], [CE2Name '(z)'], CE1Name, 'LOCATION', 'NorthWest');
492 xlabel(XName);
493 hold off;
494 xlim([PosData_Identify_T{1,2}(1) PosData_Identify_T{1,2}(end)]);
495 %ylim(YSize_Pos_I);
496
497 %Ajeitar os tamanhos dos plots de posição
498 MaxY1 = ceil(MaxY1);
499 subplot(2,4,5)
500 ylim([0 MaxY1]);
501 subplot(2,4,6)
502 ylim([0 MaxY1]);
503 subplot(2,4,7)
504 ylim([0 MaxY1]);
505 subplot(2,4,8)
506 ylim([0 MaxY1]);
507 MaxY1 = 0;
508
509
510
511 subtitle('Verificação da Identificação do Sistema');
512 set(gcf, 'PaperPositionMode', 'auto');
513 if VelGrouping > 0
514     saveas(gcf, ['Identificacao_VG', int2str(VelGrouping), '.png']);
515 else
516     saveas(gcf, ['Identificacao_Nrm.png']);
517 end
518
519
520 %% Gera os defines aqui no final para ajeitar os tamanhos
521

```

```

522
523 MaxLength = max([CDF_Fim, CEF_Fim, CDT_Fim, CET_Fim]);
524 LengthVec = -1:1:(MaxLength - 2);
525
526 %% Faz as simulações aqui
527 %Toda vez, antes da simulação, uma função ajusta os tamanhos
528 %dos vetores
529 %Menor que 3 no denominador e buga. Aí tem que mudar o numerador pra
530 %combinar.
531
532 figure('units','normalized','outerposition',[0.01 0.01 0.95 0.95])
533 if Simulate
534     MinY1 = 0;
535     %FScale = 1;
536     FScale = FScale;
537     Sim_M = Sim_M/(FScale);
538     CScale = 9/255;
539     % Motor Direito Frontal
540     [Sim_C_Num,Sim_C_Den] = Custom_MatchVecs(...
541         4,0,CDF_NumVec_Val,[1 CDF_DenVec_Val]);
542     [Sim_GC_Num,Sim_GC_Den] = tfdata(GCDF,'v');
543     Sim_G_Delay = GCDF.InputDelay;
544     sim('ArduinoSS_TestSubMdl.slx',Duracao)
545
546
547     X = AcScopeData(:,1);%Tempo
548     subplot(2,4,3);
549     Y = AcScopeData(:,2);%Referencia
550     %plot(X,Y,'k');
551     hold on;
552     Y = AcScopeData(:,3);%Estimado
553     plot(X,CScale*Y,'r');
554     MaxY1 = max([MaxY1 max(CScale*Y)]);
555     MinY1 = min([MinY1 min(CScale*Y)]);
556     Tmp1 = stepinfo(CScale*Y,X);
557     if Tmp1.SettlingTime < 4
558         This_SimData{2,2}(3) = Tmp1.SettlingTime + T;
559         This_SimData{2,3}(3) = Tmp1.Overshoot;
560     else
561         This_SimData{2,2}(3) = inf;
562         This_SimData{2,3}(3) = inf;
563     end
564     Y = AcScopeData(:,4);%Ideal

```

```

565     plot(X, CScale*Y, 'b');
566     MaxY1 = max([MaxY1 max(CScale*Y)]);
567     MinY1 = min([MinY1 min(CScale*Y)]);
568     %pause();
569     hold off;
570     grid;
571     title('Acionamento (DF)');
572     %xlabel(XName);
573     %ylabel(YAName);
574     legend(CL1Name, CL2Name, 'LOCATION', 'SouthEast');
575     xlim([X(1) X(end)]);
576     %ylim(YSize_Aci_S);
577
578     X = PosScopeData(:,1); %Tempo
579     subplot(2,4,7);
580     Y = PosScopeData(:,2); %Referencia
581     plot(X, FScale*Y, 'k');
582     MaxY2 = max([MaxY2 max(FScale*Y)]);
583     hold on;
584     Y = PosScopeData(:,3); %Arduino
585     plot(X, FScale*Y, 'r');
586     MaxY2 = max([MaxY2 max(FScale*Y)]);
587     Y = PosScopeData(:,4); %Contínuo
588     plot(X, FScale*Y, 'b');
589     MaxY2 = max([MaxY2 max(FScale*Y)]);
590     hold off;
591     grid;
592     title('Resposta (DF)');
593     xlabel(XName);
594     %ylabel(YRName);
595     if PosCon
596         legend('Referência', CL1Name, CL2Name, 'LOCATION', 'NorthWest');
597         %ylim(YSize_Pos_S);
598     else
599         legend('Referência', CL1Name, CL2Name, 'LOCATION', 'SouthEast');
600         %ylim(YSize_Vel_S);
601     end
602     xlim([X(1) X(end)]);
603
604
605
606     % Motor Esquerdo Frontal
607     [Sim_C_Num ,Sim_C_Den ] = Custom_MatchVecs(...

```

```

608         4,0,CEF_NumVec_Val,[1 CEF_DenVec_Val]);
609     [Sim_GC_Num,Sim_GC_Den] = tfdata(GCEF,'v');
610     Sim_G_Delay = GCEF.InputDelay;
611     sim('ArduinoSS_TestSubMdl.slx',Duracao)
612
613     X = AcScopeData(:,1);%Tempo
614     subplot(2,4,1);
615     Y = AcScopeData(:,2);%Referencia
616     %plot(X,Y,'k');
617     hold on;
618     Y = AcScopeData(:,3);%Estimado
619     plot(X,CScale*Y,'r');
620     MaxY1 = max([MaxY1 max(CScale*Y)]);
621     MinY1 = min([MinY1 min(CScale*Y)]);
622     Tmp1 = stepinfo(CScale*Y,X);
623     if Tmp1.SettlingTime < 4
624         This_SimData{2,2}(1) = Tmp1.SettlingTime + T;
625         This_SimData{2,3}(1) = Tmp1.Overshoot;
626     else
627         This_SimData{2,2}(1) = inf;
628         This_SimData{2,3}(1) = inf;
629     end
630     Y = AcScopeData(:,4);%Ideal
631     plot(X,CScale*Y,'b');
632     MaxY1 = max([MaxY1 max(CScale*Y)]);
633     MinY1 = min([MinY1 min(CScale*Y)]);
634     hold off;
635     grid;
636     title('Acionamento (EF)')
637     %xlabel(XName);
638     ylabel(YAName);
639     legend(CL1Name,CL2Name,'LOCATION','SouthEast');
640     xlim([X(1) X(end)]);
641     ylim(YSize_Aci_S);
642
643     X = PosScopeData(:,1);%Tempo
644     subplot(2,4,5);
645     Y = PosScopeData(:,2);%Referencia
646     plot(X,FScale*Y,'k');
647     MaxY2 = max([MaxY2 max(FScale*Y)]);
648     hold on;
649     Y = PosScopeData(:,3);%Discreto
650     plot(X,FScale*Y,'r');

```

```

651     MaxY2 = max([MaxY2 max(FScale*Y)]);
652     Y = PosScopeData(:,4);%Contínuo
653     plot(X,FScale*Y, 'b');
654     MaxY2 = max([MaxY2 max(FScale*Y)]);
655     hold off;
656     grid;
657     title('Resposta (EF)');
658     xlabel(XName);
659     ylabel(YRName);
660     if PosCon
661         legend('Referência',CL1Name,CL2Name,'LOCATION','NorthWest');
662         %ylim(YSIZE_Pos_S);
663     else
664         legend('Referência',CL1Name,CL2Name,'LOCATION','SouthEast');
665         %ylim(YSIZE_Vel_S);
666     end
667     xlim([X(1) X(end)]);
668
669
670     % Motor Direito Traseiro
671     [Sim_C_Num ,Sim_C_Den ] = Custom_MatchVecs(...
672         4,0,CDT_NumVec_Val,[1 CDT_DenVec_Val]);
673     [Sim_GC_Num,Sim_GC_Den] = tfdata(GCDT,'v');
674     Sim_G_Delay = GCDT.InputDelay;
675     sim('ArduinoSS_TestSubMdl.slx',Duracao)
676
677     X = AcScopeData(:,1);%Tempo
678     subplot(2,4,4);
679     Y = AcScopeData(:,2);%Referencia
680     %plot(X,Y, 'k');
681     hold on;
682     Y = AcScopeData(:,3);%Estimado
683     plot(X,CScale*Y, 'r');
684     MaxY1 = max([MaxY1 max(CScale*Y)]);
685     MinY1 = min([MinY1 min(CScale*Y)]);
686     Tmp1 = stepinfo(CScale*Y,X);
687     if Tmp1.SettlingTime < 4
688         This_SimData{2,2}(4) = Tmp1.SettlingTime + T;
689         This_SimData{2,3}(4) = Tmp1.Overshoot;
690     else
691         This_SimData{2,2}(4) = inf;
692         This_SimData{2,3}(4) = inf;
693     end

```

```

694     Y = AcScopeData(:,4);%Ideal
695     plot(X,CScale*Y,'b');
696     MaxY1 = max([MaxY1 max(CScale*Y)]);
697     MinY1 = min([MinY1 min(CScale*Y)]);
698     hold off;
699     grid;
700     title('Acionamento (DT)');
701     %xlabel(XName);
702     %ylabel(YAName);
703     legend(CL1Name,CL2Name,'LOCATION','SouthEast');
704     xlim([X(1) X(end)]);
705     %ylim(YSize_Aci_S);
706
707     X = PosScopeData(:,1);%Tempo
708     subplot(2,4,8);
709     Y = PosScopeData(:,2);%Referencia
710     plot(X,FScale*Y,'k');
711     MaxY2 = max([MaxY2 max(FScale*Y)]);
712     hold on;
713     Y = PosScopeData(:,3);%Arduino
714     plot(X,FScale*Y,'r');
715     MaxY2 = max([MaxY2 max(FScale*Y)]);
716     Y = PosScopeData(:,4);%Contínuo
717     plot(X,FScale*Y,'b');
718     MaxY2 = max([MaxY2 max(FScale*Y)]);
719     hold off;
720     grid;
721     title('Resposta (DT)');
722     xlabel(XName);
723     %ylabel(YRName);
724     if PosCon
725         legend('Referência',CL1Name,CL2Name,'LOCATION','NorthWest');
726         %ylim(YSize_Pos_S);
727     else
728         legend('Referência',CL1Name,CL2Name,'LOCATION','SouthEast');
729         %ylim(YSize_Vel_S);
730     end
731     xlim([X(1) X(end)]);
732
733
734     % Motor Esquerdo Traseiro
735     [Sim_C_Num ,Sim_C_Den ] = Custom_MatchVecs(...
736         4,0,CET_NumVec_Val,[1 CET_DenVec_Val]);

```

```

737     [Sim_GC_Num,Sim_GC_Den] = tfdata(GCET, 'v');
738     Sim_G_Delay = GCET.InputDelay;
739     sim('ArduinoSS_TestSubMdl.slx',Duracao)
740
741     X = AcScopeData(:,1);%Tempo
742
743     subplot(2,4,2);
744     Y = AcScopeData(:,2);%Referencia
745     %plot(X,Y, 'k');
746     hold on;
747     Y = AcScopeData(:,3);%Estimado
748     plot(X, CScale*Y, 'r');
749     MaxY1 = max([MaxY1 max(CScale*Y)]);
750     MinY1 = min([MinY1 min(CScale*Y)]);
751     Tmp1 = stepinfo(CScale*Y,X);
752     if Tmp1.SettlingTime < 4
753         This_SimData{2,2}(2) = Tmp1.SettlingTime + T;
754         This_SimData{2,3}(2) = Tmp1.Overshoot;
755     else
756         This_SimData{2,2}(2) = inf;
757         This_SimData{2,3}(2) = Tmp1.Overshoot;
758     end
759     Y = AcScopeData(:,4);%Ideal
760     plot(X, CScale*Y, 'b');
761     MaxY1 = max([MaxY1 max(CScale*Y)]);
762     MinY1 = min([MinY1 min(CScale*Y)]);
763     hold off;
764     grid;
765     title('Acionamento (ET)');
766     %xlabel(XName);
767     %ylabel(YAName);
768     legend(CL1Name,CL2Name, 'LOCATION', 'SouthEast');
769     xlim([X(1) X(end)]);
770     %ylim(YSize_Aci_S);
771
772     X = PosScopeData(:,1);%Tempo
773     subplot(2,4,6);
774     Y = PosScopeData(:,2);%Referencia
775     plot(X, FScale*Y, 'k');
776     MaxY2 = max([MaxY2 max(FScale*Y)]);
777     hold on;
778     Y = PosScopeData(:,3);%Discreto
779     plot(X, FScale*Y, 'r');

```

```

780     MaxY2 = max([MaxY2 max(FScale*Y)]);
781     Y = PosScopeData(:,4);%Contínuo
782     plot(X,FScale*Y, 'b');
783     MaxY2 = max([MaxY2 max(FScale*Y)]);
784     hold off;
785     grid;
786     title('Resposta (ET)');
787     xlabel(XName);
788     if PosCon
789         legend('Referência',CL1Name,CL2Name,'LOCATION','NorthWest');
790         ylim(YSize_Pos_S);
791     else
792         legend('Referência',CL1Name,CL2Name,'LOCATION','SouthEast');
793         ylim(YSize_Vel_S);
794     end
795     xlim([X(1) X(end)]);
796
797     %Ajeitar os tamanhos dos plots de acionamento
798     MaxY1 = ceil(MaxY1);
799     MinY1 = floor(MinY1);
800     subplot(2,4,1)
801     ylim([MinY1 MaxY1]);
802     subplot(2,4,2)
803     ylim([MinY1 MaxY1]);
804     subplot(2,4,3)
805     ylim([MinY1 MaxY1]);
806     subplot(2,4,4)
807     ylim([MinY1 MaxY1]);
808     MaxY1 = 0;
809     MinY1 = 0;
810     %Ajeitar os tamanhos dos plots de resposta
811     MaxY2 = 2*round(MaxY2,1);
812     subplot(2,4,5)
813     ylim([0 MaxY2]);
814     subplot(2,4,6)
815     ylim([0 MaxY2]);
816     subplot(2,4,7)
817     ylim([0 MaxY2]);
818     subplot(2,4,8)
819     ylim([0 MaxY2]);
820     MaxY2 = 0;
821
822

```

```

823     xlabel(XName);
824     xlim([X(1) X(end)]);
825     %ylabel(YRName);
826     suptitle(CName);
827
828     set(gcf, 'PaperPositionMode', 'auto');
829     saveas(gcf, FName);
830
831     Sim_M = Sim_M*(FScale);
832     end
833 else
834     %load(LastData);
835 end
836
837 %% Gera os arquivos do controlador
838
839 if GenerateFiles
840     FileCell = [FileCell ; ...
841         {'modules', 'Setup_Control_e_Defines_Coeficientes.h', NFiles+1}];
842     NFiles = NFiles + 1;
843     fid = fopen(FileCell{NFiles,2}, 'w');
844     Tmp1 = [ScriptName, ...
845         Custom_Files_SeqAssist('#define Controle_Amostragem ', T*10^6, ' \n') ...
846         Custom_Files_SeqAssist('#define C_DD_Frente_K_Num ', ...
847         CDF_NumVec_Val(1)) ...
848         Custom_Files_SeqAssist('#define C_DD_Frente_', LengthVec(2:end), ...
849         '_Num ', CDF_NumVec_Val(2:end)) ...
850         Custom_Files_SeqAssist('#define C_DD_Frente_', LengthVec(2:end), ...
851         '_Den ', CDF_DenVec_Val) ...
852         Custom_Files_SeqAssist('#define C_ED_Frente_K_Num ', ...
853         CEF_NumVec_Val(1)) ...
854         Custom_Files_SeqAssist('#define C_ED_Frente_', LengthVec(2:end), ...
855         '_Num ', CEF_NumVec_Val(2:end)) ...
856         Custom_Files_SeqAssist('#define C_ED_Frente_', LengthVec(2:end), ...
857         '_Den ', CEF_DenVec_Val) ...
858         Custom_Files_SeqAssist('#define C_DD_Tras_K_Num ', ...
859         CDT_NumVec_Val(1)), ...
860         Custom_Files_SeqAssist('#define C_DD_Tras_', LengthVec(2:end), ...
861         '_Num ', CDT_NumVec_Val(2:end)), ...
862         Custom_Files_SeqAssist('#define C_DD_Tras_', LengthVec(2:end), ...
863         '_Den ', CDT_DenVec_Val), ...
864         Custom_Files_SeqAssist('#define C_ED_Tras_K_Num ', ...
865         CET_NumVec_Val(1)), ...

```

```

866 Custom_Files_SeqAssist( '#define C_ED_Tras_ ', LengthVec(2:end), ...
867 '_Num ', CET_NumVec_Val(2:end)), ...
868 Custom_Files_SeqAssist( '#define C_ED_Tras_ ', LengthVec(2:end), ...
869 '_Den ', CET_DenVec_Val) ...
870 ];
871 %Tmp1 = Custom_ReplaceStr(Tmp1, '@', '\n');
872 fprintf(fid, Tmp1);
873 fclose(fid);
874 end
875
876 %% Gerar o arquivo de setup do controlador normal
877
878
879
880 if GenerateFiles
881     FileCell = [ FileCell ; {'modules', 'Setup_Controlo_Reset.h', NFiles+1}];
882     NFiles = NFiles + 1;
883     fid = fopen( FileCell{NFiles,2}, 'w');
884     Tmp1 = ScriptName;
885     Tmp1 = [Tmp1 '#include "subrotinas/Subrotinas_Controlo_Reset.h" \n'];
886     fprintf(fid, Tmp1);
887
888     fclose(fid);
889 end
890
891 if GenerateFiles
892     FileCell = [ FileCell ...
893 ; {'subrotinas', 'Subrotinas_Controlo_Reset.h', NFiles+1}];
894     NFiles = NFiles + 1;
895     fid = fopen( FileCell{NFiles,2}, 'w');
896     Tmp1 = [ScriptName ...
897 'VarControle_KpE      = 0;@' ...
898 'VarControle_KpD      = 0;@' ...
899 ];
900     if MaxLength < 3
901         if MaxLength == 2
902             Tmp1 = [Tmp1 ...
903 'VarControle_DDA      = 0;@' ...
904 'VarControle_EDA      = 0;@' ...
905 'VarControle_DDS      = 0;@' ...
906 'VarControle_EDS      = 0;@' ...
907 'VarControle_CDNum    = 0;@' ...
908 'VarControle_CDDen    = 0;@' ...

```

```

909         'VarControle_CENum = 0;@' ...
910         'VarControle_CEDen = 0;@' ...
911     ];
912     end
913 else
914     Tmp1 = [Tmp1...
915     Custom_Files_SeqAssist(...
916     'VarControle_DDA[ ',LengthVec(2:end), ' ] = 0;') ...
917     Custom_Files_SeqAssist(...
918     'VarControle_EDA[ ',LengthVec(2:end), ' ] = 0;') ...
919     Custom_Files_SeqAssist(...
920     'VarControle_DDS[ ',LengthVec(2:end), ' ] = 0;') ...
921     Custom_Files_SeqAssist(...
922     'VarControle_EDS[ ',LengthVec(2:end), ' ] = 0;') ...
923     Custom_Files_SeqAssist(...
924     'VarControle_CDNum[ ',LengthVec(2:end), ' ] = 0;') ...
925     Custom_Files_SeqAssist(...
926     'VarControle_CDDen[ ',LengthVec(2:end), ' ] = 0;') ...
927     Custom_Files_SeqAssist(...
928     'VarControle_CENum[ ',LengthVec(2:end), ' ] = 0;') ...
929     Custom_Files_SeqAssist(...
930     'VarControle_CEDen[ ',LengthVec(2:end), ' ] = 0;') ...
931     ];
932     end
933
934     Tmp1 = Custom_ReplaceStr(Tmp1, '@', '\n');
935     fprintf(fid, Tmp1);
936     fclose(fid);
937 end
938
939
940
941 %% Gera a subrotina de decisão de controle
942
943 if GenerateFiles
944     FileCell = [FileCell ;{'subrotinas', 'Subrotinas_Controle.h', NFiles+1}];
945     NFiles = NFiles + 1;
946     fid = fopen(FileCell{NFiles,2}, 'w');
947
948     Tmp1 = [ScriptName...
949     ' if (Tempo - amostra ≥ Controle_Amostragem){@' ...
950     ' //Serial.print("IniciaControle");@' ...
951     ' #include "Subrotinas_ML_PrintAll.h"@' ...

```

```

952     '    #include "Subrotinas_Controle_TF.h"@' ...
953     '    amostra = Tempo;@' ...
954     '}else{@' ...
955     '    if (amostra > Tempo || amostra ≤ 0){@' ...
956     '        amostra = Tempo;@' ...
957     '    }@' ...
958     '}\n@' ...
959 ];
960
961 Tmp1 = Custom_ReplaceStr(Tmp1, '@', '\n');
962 fprintf(fid, Tmp1);
963 fclose(fid);
964 end
965
966 %% Gera a subrotina do controlador
967
968 if GenerateFiles
969     FileCell = [ FileCell ; {'subrotinas', 'Subrotinas_Controle_TF.h', NFiles+1}];
970     NFiles = NFiles + 1;
971     fid = fopen(FileCell{NFiles, 2}, 'w');
972
973     Tmp1 = ScriptName;
974     if CVer ≠ 0
975         Tmp1 = [Tmp1 Custom_Files_SeqAssist( '// Atualiza a posição')];
976         Tmp1 = [Tmp1 Custom_Files_SeqAssist( '    #include ...
977             "Subrotinas_Controle_GenerateTargetPosition.h"' )];
978         %Sepranando as partes:
979         %Atualização da posição/velocidade
980         Tmp1 = [Tmp1 Custom_Files_SeqAssist( '// Faz a leitura dos contadores ...
981             via desativador de interrupção (Testanto sem)')];
982         Tmp1 = [Tmp1 Custom_Files_SeqAssist( '// Agora segue a vida')];
983         %Tmp1 = [Tmp1 Custom_Files_SeqAssist('    Counter_DA    = ...
984             analogRead(Enc_DA);')];
985         %Tmp1 = [Tmp1 Custom_Files_SeqAssist('    Counter_EA    = ...
986             analogRead(Enc_EA);')];
987         Tmp1 = [Tmp1 Custom_Files_SeqAssist('    Vel_D    = float(C_DD);')];
988         Tmp1 = [Tmp1 Custom_Files_SeqAssist('    Vel_E    = float(C_ED);')];
989
990         Tmp1 = [Tmp1 Custom_Files_SeqAssist('    StartV_D = Vel_D;')];
991         Tmp1 = [Tmp1 Custom_Files_SeqAssist('    StartV_E = Vel_E;')];
992
993         if ~PosCon
994             Tmp1 = [Tmp1 Custom_Files_SeqAssist('    aux1 = float(Tempo - ...
995                 amostra)/', 10^6, '.0;')];

```

```

990         Tmp1 = [Tmp1 Custom_Files_SeqAssist('    Vel_D = (Vel_D - ...
          VENC_D)/aux1; ');];
991         Tmp1 = [Tmp1 Custom_Files_SeqAssist('    Vel_E = (Vel_E - ...
          VENC_E)/aux1; ');];
992     end
993     Tmp1 = [Tmp1 Custom_Files_SeqAssist('    VENC_D = StartV_D; ');];
994     Tmp1 = [Tmp1 Custom_Files_SeqAssist('    VENC_E = StartV_E; ');];
995     %O resto
996     if MaxLength < 3
997         Tmp1 = [Tmp1 Custom_Files_SeqAssist('// Motor Direito ');];
998         Tmp1 = [Tmp1 Custom_Files_SeqAssist('// Realimentação de Estados ');];
999         Tmp1 = [Tmp1 Custom_Files_SeqAssist('VarControle_DDS = PosD - ...
          Vel_D; ');];
1000        Tmp1 = [Tmp1 Custom_Files_SeqAssist('Erro_D = VarControle_DDS; ');];
1001        if MaxLength > 1
1002            Tmp1 = [Tmp1 Custom_Files_SeqAssist('VarControle_DDS = ...
          VarControle_DDS - VarControle_DDA*VarControle_CDDen; ');];
1003        end
1004        Tmp1 = [Tmp1 Custom_Files_SeqAssist('// Caminho Direto Principal ');];
1005        Tmp1 = [Tmp1 Custom_Files_SeqAssist('// Dear God, its empty! ');];
1006
1007        Tmp1 = [Tmp1 Custom_Files_SeqAssist('// Cálculo da Ação de ...
          Controle ');];
1008        Tmp1 = [Tmp1 Custom_Files_SeqAssist('Controle_ACD = ...
          VarControle_DDS*VarControle_KpD; ');];
1009        if MaxLength > 1
1010            Tmp1 = [Tmp1 Custom_Files_SeqAssist('Controle_ACD = ...
          Controle_ACD + VarControle_DDA*VarControle_CDNum; ');];
1011            Tmp1 = [Tmp1 Custom_Files_SeqAssist('// Atualização das ...
          Variáveis de Estado ');];
1012            Tmp1 = [Tmp1 Custom_Files_SeqAssist('VarControle_DDA = ...
          VarControle_DDS; ');];
1013        end
1014        %fprintf(fid ,Tmp1);
1015
1016
1017        Tmp1 = [Tmp1 Custom_Files_SeqAssist('// Motor Esquerdo ');];
1018        Tmp1 = [Tmp1 Custom_Files_SeqAssist('// Realimentação de Estados ');];
1019        Tmp1 = [Tmp1 Custom_Files_SeqAssist('VarControle_EDS = PosE - ...
          Vel_E; ');];
1020        Tmp1 = [Tmp1 Custom_Files_SeqAssist('Erro_E = VarControle_EDS; ');];
1021        if MaxLength > 1
1022            Tmp1 = [Tmp1 Custom_Files_SeqAssist('VarControle_EDS = ...

```

```

1023         VarControle_EDS - VarControle_EDA*VarControle_CEDen; ')]];
1024     end
1025     Tmp1 = [Tmp1 Custom_Files_SeqAssist('// Caminho Direto Principal')];
1026     Tmp1 = [Tmp1 Custom_Files_SeqAssist('// Dear God, its empty!')];
1027     Tmp1 = [Tmp1 Custom_Files_SeqAssist('// Cálculo da Ação de ...
1028         Controle')];
1029     Tmp1 = [Tmp1 Custom_Files_SeqAssist('Controle_ACE = ...
1030         VarControle_EDS*VarControle_KpE;')];
1031     if MaxLength > 1
1032         Tmp1 = [Tmp1 Custom_Files_SeqAssist('Controle_ACE = ...
1033             Controle_ACE + VarControle_EDA*VarControle_CENum;')];
1034         Tmp1 = [Tmp1 Custom_Files_SeqAssist('// Atualização das ...
1035             Variáveis de Estado')];
1036         Tmp1 = [Tmp1 Custom_Files_SeqAssist('VarControle_EDA = ...
1037             VarControle_EDS;')];
1038     end
1039 else
1040     Tmp1 = [Tmp1 Custom_Files_SeqAssist('// Motor Direito')];
1041     Tmp1 = [Tmp1 Custom_Files_SeqAssist('// Realimentação de Estados')];
1042     Tmp1 = [Tmp1 Custom_Files_SeqAssist('VarControle_DDS[0] = PosD - ...
1043         Vel_D;')];
1044     Tmp1 = [Tmp1 Custom_Files_SeqAssist('Erro_D = VarControle_DDS[0];')];
1045     Tmp1 = [Tmp1 Custom_Files_SeqAssist('VarControle_DDS[0] = ...
1046         VarControle_DDS[0] - VarControle_DDA[', LengthVec(2:end) ...
1047         ,']*VarControle_CDDen[', LengthVec(2:end), '];')];
1048     Tmp1 = [Tmp1 Custom_Files_SeqAssist('// Caminho Direto Principal')];
1049     Tmp1 = [Tmp1 Custom_Files_SeqAssist('VarControle_DDS[', ...
1050         LengthVec(3:end), ']' = VarControle_DDA[', LengthVec(2:end-1) ...
1051         , '];')];
1052     Tmp1 = [Tmp1 Custom_Files_SeqAssist('// Cálculo da Ação de ...
1053         Controle')];
1054     Tmp1 = [Tmp1 Custom_Files_SeqAssist('Controle_ACD = ...
1055         VarControle_DDS[0]*VarControle_KpD;')];
1056     Tmp1 = [Tmp1 Custom_Files_SeqAssist('Controle_ACD = Controle_ACD + ...
1057         VarControle_DDA[', LengthVec(2:end) ...
1058         ,']*VarControle_CDNum[', LengthVec(2:end), '];')];
1059     Tmp1 = [Tmp1 Custom_Files_SeqAssist('// Atualização das Variáveis ...
1060         de Estado')];
1061     Tmp1 = [Tmp1 Custom_Files_SeqAssist('VarControle_DDA[', ...
1062         LengthVec(2:end), ']' = VarControle_DDS[', ...

```

```

        LengthVec(2:end), '];');
1049 %fprintf(fid, Tmp1);
1050
1051
1052 Tmp1 = [Tmp1 Custom_Files_SeqAssist('// Motor Esquerdo')];
1053 Tmp1 = [Tmp1 Custom_Files_SeqAssist('// Realimentação de Estados')];
1054 Tmp1 = [Tmp1 Custom_Files_SeqAssist('VarControle_EDS[0] = PosE - ...
        Vel_E;')];
1055 Tmp1 = [Tmp1 Custom_Files_SeqAssist('Erro_E = VarControle_EDS[0];')];
1056
1057 Tmp1 = [Tmp1 Custom_Files_SeqAssist('VarControle_EDS[0] = ...
        VarControle_EDS[0] - VarControle_EDA[', LengthVec(2:end) ...
        ,']*VarControle_CEDen[', LengthVec(2:end) ,'];')];
1058
1059 Tmp1 = [Tmp1 Custom_Files_SeqAssist('// Caminho Direto Principal')];
1060 Tmp1 = [Tmp1 Custom_Files_SeqAssist('VarControle_EDS[', ...
        LengthVec(3:end),'] = VarControle_EDA[', LengthVec(2:end-1) ...
        ,'];')];
1061
1062 Tmp1 = [Tmp1 Custom_Files_SeqAssist('// Cálculo da Ação de ...
        Controle')];
1063 Tmp1 = [Tmp1 Custom_Files_SeqAssist('Controle_ACE = ...
        VarControle_EDS[0]*VarControle_KpE;')];
1064 Tmp1 = [Tmp1 Custom_Files_SeqAssist('Controle_ACE = Controle_ACE + ...
        VarControle_EDA[', LengthVec(2:end) ,']*VarControle_CENum[', ...
        LengthVec(2:end) ,'];')];
1065 Tmp1 = [Tmp1 Custom_Files_SeqAssist('// Atualização das Variáveis ...
        de Estado')];
1066 Tmp1 = [Tmp1 Custom_Files_SeqAssist('VarControle_EDA[', ...
        LengthVec(2:end) ,'] = VarControle_EDS[', LengthVec(2:end) ...
        ,'];')];
1067 Tmp1 = [Tmp1 Custom_Files_SeqAssist('\n// Prints')];
1068 end
1069 else
1070 Tmp1 = [Tmp1 Custom_Files_SeqAssist('// Controle Desligado')];
1071 Tmp1 = [Tmp1 Custom_Files_SeqAssist('')];
1072 Tmp1 = [Tmp1 Custom_Files_SeqAssist('if (MEP > 0){')]; % Acionou
1073 Tmp1 = [Tmp1 Custom_Files_SeqAssist('    if (MEN > 0){')]; %Esquerdo p trás
1074 Tmp1 = [Tmp1 Custom_Files_SeqAssist('        if (MDN > 0){')]; %Direito p ...
        trás
1075 Tmp1 = [Tmp1 Custom_Files_SeqAssist('            Controle_ACD = ...
        ', -MaxVel, ');');
1076 Tmp1 = [Tmp1 Custom_Files_SeqAssist('            Controle_ACE = ...

```

```

        ',-MaxVel, ';'');];
1077 Tmp1 = [Tmp1 Custom_Files_SeqAssist(' }else{'});%Direito p frente
1078 Tmp1 = [Tmp1 Custom_Files_SeqAssist(' Controle_ACD = ...
        ',MaxVel*Sim_TurnAdj, ';'');];
1079 Tmp1 = [Tmp1 Custom_Files_SeqAssist(' Controle_ACE = ...
        ',-MaxVel*Sim_TurnAdj, ';'');];
1080 Tmp1 = [Tmp1 Custom_Files_SeqAssist(' }')];
1081 Tmp1 = [Tmp1 Custom_Files_SeqAssist(' }else{'});%Esquerdo p frente
1082 Tmp1 = [Tmp1 Custom_Files_SeqAssist(' if (MDN > 0){'}); %Direito p ...
        trás
1083 Tmp1 = [Tmp1 Custom_Files_SeqAssist(' Controle_ACD = ...
        ',-MaxVel*Sim_TurnAdj, ';'');];
1084 Tmp1 = [Tmp1 Custom_Files_SeqAssist(' Controle_ACE = ...
        ',MaxVel*Sim_TurnAdj, ';'');];
1085 Tmp1 = [Tmp1 Custom_Files_SeqAssist(' }else{'});%Direito p frente
1086 Tmp1 = [Tmp1 Custom_Files_SeqAssist(' Controle_ACD = ...
        ',MaxVel, ';'');];
1087 Tmp1 = [Tmp1 Custom_Files_SeqAssist(' Controle_ACE = ...
        ',MaxVel, ';'');];
1088 Tmp1 = [Tmp1 Custom_Files_SeqAssist(' }')];
1089 Tmp1 = [Tmp1 Custom_Files_SeqAssist(' }')];
1090 Tmp1 = [Tmp1 Custom_Files_SeqAssist(' }else{'});%Aqui ele para os 2
1091 Tmp1 = [Tmp1 Custom_Files_SeqAssist(' Controle_ACD = ',0, ';'');];
1092 Tmp1 = [Tmp1 Custom_Files_SeqAssist(' Controle_ACE = ',0, ';'');];
1093 Tmp1 = [Tmp1 Custom_Files_SeqAssist(' }')];
1094 end
1095
1096 fprintf(fid ,Tmp1);
1097
1098 fclose(fid);
1099 end

```

## Arduino\_SS\_GeraSetup

Função que gera a maioria dos arquivos que precedem à função loop() do Arduino, de declaração de variáveis até inicialização dos pinos e canais de comunicação.

Retorne à tabela clicando nesta frase

```

1 %% Prepara o nome
2 ScriptName = '// Arduino_SS_GeraSetup \n';

```

```

3
4
5 %% Declara as variáveis
6 %formato {'Tipo','Nome',Valor(es) Inicial(is), Índice}
7
8 VarsProg = [];
9 %VarsProg = {'', '', 0, n};
10 VarsProg = [VarsProg ; {'char', 'C', 0, 1}];
11 VarsProg = [VarsProg ; {'int', 'AnalogAux', 0, VarsProg{end, 4}+1}];
12 VarsProg = [VarsProg ; {'int', 'Sensor', 0, VarsProg{end, 4}+1}];
13 VarsProg = [VarsProg ; {'int', 'Operation', 0, VarsProg{end, 4}+1}];
14 VarsProg = [VarsProg ; {'int', 'cont', 0, VarsProg{end, 4}+1}];
15 VarsProg = [VarsProg ; {'int', 'Case', 0, VarsProg{end, 4}+1}];
16 VarsProg = [VarsProg ; {'float', 'PosE', 0, VarsProg{end, 4}+1}];
17 VarsProg = [VarsProg ; {'float', 'PosD', 0, VarsProg{end, 4}+1}];
18 VarsProg = [VarsProg ; {'unsigned long', 'Read', 0, VarsProg{end, 4}+1}];
19 VarsProg = [VarsProg ; {'volatile byte', 'Counter_DDP', 0, VarsProg{end, 4}+1}];
20 VarsProg = [VarsProg ; {'volatile byte', 'Counter_EDP', 0, VarsProg{end, 4}+1}];
21 VarsProg = [VarsProg ; {'volatile byte', 'Counter_DDN', 0, VarsProg{end, 4}+1}];
22 VarsProg = [VarsProg ; {'volatile byte', 'Counter_EDN', 0, VarsProg{end, 4}+1}];
23 VarsProg = [VarsProg ; {'int', 'Counter_DA', 0, VarsProg{end, 4}+1}];
24 VarsProg = [VarsProg ; {'int', 'Counter_EA', 0, VarsProg{end, 4}+1}];
25 VarsProg = [VarsProg ; {'long', 'C_DD', 0, VarsProg{end, 4}+1}];
26 VarsProg = [VarsProg ; {'long', 'C_ED', 0, VarsProg{end, 4}+1}];
27 VarsProg = [VarsProg ; {'float', 'DistVec_F', 0, VarsProg{end, 4}+1}];
28 VarsProg = [VarsProg ; {'float', 'DistVec_T', 0, VarsProg{end, 4}+1}];
29 VarsProg = [VarsProg ; {'unsigned long', 'amostra', 0, VarsProg{end, 4}+1}];
30 VarsProg = [VarsProg ; {'unsigned long', 'Timer', 0, VarsProg{end, 4}+1}];
31 VarsProg = [VarsProg ; {'volatile unsigned ...
    long', 'Timer_AuxD', 0, VarsProg{end, 4}+1}];
32 VarsProg = [VarsProg ; {'volatile unsigned ...
    long', 'Timer_AuxE', 0, VarsProg{end, 4}+1}];
33 VarsProg = [VarsProg ; {'unsigned long', 'Tempo', 0, VarsProg{end, 4}+1}];
34 VarsProg = [VarsProg ; {'float', 'aux1', 0, VarsProg{end, 4}+1}];
35 VarsProg = [VarsProg ; {'float', 'StartV_E', 0, VarsProg{end, 4}+1}];
36 VarsProg = [VarsProg ; {'float', 'StartV_D', 0, VarsProg{end, 4}+1}];
37 VarsProg = [VarsProg ; {'float', 'VENC_E', 0, VarsProg{end, 4}+1}];
38 VarsProg = [VarsProg ; {'float', 'VENC_D', 0, VarsProg{end, 4}+1}];
39 VarsProg = [VarsProg ; {'float', 'Vel_E', 0, VarsProg{end, 4}+1}];
40 VarsProg = [VarsProg ; {'float', 'Vel_D', 0, VarsProg{end, 4}+1}];
41 VarsProg = [VarsProg ; {'float', 'Controle_ACD', 0, VarsProg{end, 4}+1}];
42 VarsProg = [VarsProg ; {'float', 'Controle_ACE', 0, VarsProg{end, 4}+1}];
43 VarsProg = [VarsProg ; {'float', 'MEP', 0, VarsProg{end, 4}+1}];

```

```

44 VarsProg = [VarsProg ; { 'float', 'VMEP', 0, VarsProg{end,4}+1}];
45 VarsProg = [VarsProg ; { 'float', 'MEN', 0, VarsProg{end,4}+1}];
46 VarsProg = [VarsProg ; { 'float', 'VMEN', 0, VarsProg{end,4}+1}];
47 VarsProg = [VarsProg ; { 'float', 'MDN', 0, VarsProg{end,4}+1}];
48 VarsProg = [VarsProg ; { 'float', 'VMDN', 0, VarsProg{end,4}+1}];
49 VarsProg = [VarsProg ; { 'float', 'MDP', 0, VarsProg{end,4}+1}];
50 VarsProg = [VarsProg ; { 'float', 'VMDP', 0, VarsProg{end,4}+1}];
51 VarsProg = [VarsProg ; { 'float', 'V_Start_EF', 0, VarsProg{end,4}+1}];
52 VarsProg = [VarsProg ; { 'float', 'V_Start_DF', 0, VarsProg{end,4}+1}];
53 VarsProg = [VarsProg ; { 'float', 'ErrorVector', [0 0 0 0], VarsProg{end,4}+1}];
54 VarsProg = [VarsProg ; { 'char', 'aux_i', 0, VarsProg{end,4}+1}];
55 VarsProg = [VarsProg ; { 'int', 'Section', 0, VarsProg{end,4}+1}];
56 VarsProg = [VarsProg ; { 'int', 'FT_TPFDE', 0, VarsProg{end,4}+1}];
57 VarsProg = [VarsProg ; { 'int', 'PrevFT_TPFDE', 0, VarsProg{end,4}+1}];
58 VarsProg = [VarsProg ; { 'unsigned long', 'SensorTimer', 0, VarsProg{end,4}+1}];
59 VarsProg = [VarsProg ; { 'int', 'SensorSwitch', 0, VarsProg{end,4}+1}];
60 VarsProg = [VarsProg ; { 'float', 'DistT', 0, VarsProg{end,4}+1}];
61 VarsProg = [VarsProg ; { 'float', 'DistF', 0, VarsProg{end,4}+1}];
62 VarsProg = [VarsProg ; { 'float', 'Erro_E', 0, VarsProg{end,4}+1}];
63 VarsProg = [VarsProg ; { 'float', 'Erro_D', 0, VarsProg{end,4}+1}];
64 VarsProg = [VarsProg ; { 'float', 'VarControle_KpE', 0, VarsProg{end,4}+1}];
65 VarsProg = [VarsProg ; { 'float', 'VarControle_KpD', 0, VarsProg{end,4}+1}];
66 if MaxLength > 2 %Denominador de mais de 1 termo (... + z^2 + 3z + 4)
67     VarsProg = [VarsProg ; ...
68         { 'float', 'VarControle_DDA', zeros(1, MaxLength-1), VarsProg{end,4}+1}];
69     VarsProg = [VarsProg ; ...
70         { 'float', 'VarControle_EDA', zeros(1, MaxLength-1), VarsProg{end,4}+1}];
71     VarsProg = [VarsProg ; ...
72         { 'float', 'VarControle_DDS', zeros(1, MaxLength-1), VarsProg{end,4}+1}];
73     VarsProg = [VarsProg ; ...
74         { 'float', 'VarControle_EDS', zeros(1, MaxLength-1), VarsProg{end,4}+1}];
75     VarsProg = [VarsProg ; ...
76         { 'float', 'VarControle_CDNum', zeros(1, MaxLength-1), VarsProg{end,4}+1}];
77     VarsProg = [VarsProg ; ...
78         { 'float', 'VarControle_CDDen', zeros(1, MaxLength-1), VarsProg{end,4}+1}];
79     VarsProg = [VarsProg ; ...
80         { 'float', 'VarControle_CENum', zeros(1, MaxLength-1), VarsProg{end,4}+1}];
81     VarsProg = [VarsProg ; ...
82         { 'float', 'VarControle_CEDen', zeros(1, MaxLength-1), VarsProg{end,4}+1}];
83 else
84     if MaxLength == 2 %Denominador de 1 termo (z + 1)
85         VarsProg = [VarsProg ; { 'float', 'VarControle_DDA', 0, VarsProg{end,4}+1}];
86         VarsProg = [VarsProg ; { 'float', 'VarControle_EDA', 0, VarsProg{end,4}+1}];

```

```

79     VarsProg = [VarsProg ; {'float', 'VarControle_DDS', 0, VarsProg{end,4}+1}];
80     VarsProg = [VarsProg ; {'float', 'VarControle_EDS', 0, VarsProg{end,4}+1}];
81     VarsProg = [VarsProg ; ...
                {'float', 'VarControle_CDNum', 0, VarsProg{end,4}+1}];
82     VarsProg = [VarsProg ; ...
                {'float', 'VarControle_CDDen', 0, VarsProg{end,4}+1}];
83     VarsProg = [VarsProg ; ...
                {'float', 'VarControle_CENum', 0, VarsProg{end,4}+1}];
84     VarsProg = [VarsProg ; ...
                {'float', 'VarControle_CEDen', 0, VarsProg{end,4}+1}];
85     else %Controlador é proporcional apenas
86         VarsProg = [VarsProg ; {'float', 'VarControle_DDS', 0, VarsProg{end,4}+1}];
87         VarsProg = [VarsProg ; {'float', 'VarControle_EDS', 0, VarsProg{end,4}+1}];
88     end
89 end
90
91 %% Gera o arquivo que declara elas tudo
92
93 if GenerateFiles
94     FileCell = [FileCell ; ...
                {'modules', 'Setup_Declaracao_Variaveis.h', NFiles+1}];
95     NFiles = NFiles + 1;
96     fid = fopen(FileCell{NFiles,2}, 'w');
97
98
99     Tmpl = ScriptName;
100    for n = 1:length(VarsProg)
101        if length(VarsProg{n,3}) == 1
102            Tmpl = [Tmpl Custom_Files_SeqAssist(VarsProg{n,1}, ' ', ...
103                VarsProg{n,2}, '// Variavel Numero ', n)];
104        else
105            Tmpl = [Tmpl Custom_Files_SeqAssist(VarsProg{n,1}, ' ', ...
106                VarsProg{n,2}, '[' , length(VarsProg{n,3}), ...
107                '];// Variavel Numero ', n)];
108        end
109    end
110    Tmpl;
111    fprintf(fid, Tmpl);
112
113    fclose(fid);
114 end
115
116 %% Gera o arquivo que inicializa tudo
117

```

```

118 if GenerateFiles
119     FileCell = [ FileCell ; {'modules', 'Setup_Inicializacao.h', NFiles+1}];
120     NFiles = NFiles + 1;
121     fid = fopen( FileCell{NFiles,2}, 'w');
122
123     Tmpl = ScriptName;
124     for n = 1:length( VarsProg)
125         if length( VarsProg{n,3}) == 1
126             Tmpl = [Tmpl Custom_Files_SeqAssist( VarsProg{n,2}, ...
127                 ' = ', VarsProg{n,3}, ';' );];
128         else
129             A = 0:length( VarsProg{n,3})-1;
130             Tmpl = [Tmpl Custom_Files_SeqAssist( VarsProg{n,2}, ...
131                 '[' ,A, ' ] = ', VarsProg{n,3}, ';' );];
132         end
133     end
134     Tmpl;
135     fprintf(fid, Tmpl);
136     fclose( fid );
137 end
138
139
140 %% Gera os arquivos que juntam os setups
141
142 if GenerateFiles
143     FileCell = [ FileCell ; {'modules', 'SetupGeral_Global.h', NFiles+1}];
144     NFiles = NFiles + 1;
145     fid = fopen( FileCell{NFiles,2}, 'w');
146
147     Tmpl = ScriptName;
148     Tmpl = [Tmpl Custom_Files_SeqAssist( '#include <SoftwareSerial.h>' )];
149     Tmpl = [Tmpl Custom_Files_SeqAssist( '//Pra função que desliga ...
150         interrupções, deve resolver os saltos' )];
151     Tmpl = [Tmpl Custom_Files_SeqAssist( '//#include <util/atomic.h>' )];
152     Tmpl = [Tmpl Custom_Files_SeqAssist( '#include "Pinagens.h"' )];
153     Tmpl = [Tmpl Custom_Files_SeqAssist( '#include "Configuracoes.h"' )];
154     Tmpl = [Tmpl Custom_Files_SeqAssist( '#include "Defines.h"' )];
155     Tmpl = [Tmpl Custom_Files_SeqAssist( '#include ...
156         "Setup_Control_Defines_Coeficientes.h"' )];
157     Tmpl = [Tmpl Custom_Files_SeqAssist( '#include ...
158         "Setup_Declaracao_Variaveis.h"' )];
159     Tmpl = [Tmpl Custom_Files_SeqAssist( 'SoftwareSerial bluetooth(P_rx, P_tx); ...
160         ' )];

```

```

157 Tmp1 = [Tmp1 Custom_Files_SeqAssist( '#define Sim_Mag 1 ')];
158 if Run_Chao == 1
159     Tmp1 = [Tmp1 Custom_Files_SeqAssist( '#define Serial.print ...
        //Serial.print ')];
160 end
161 Tmp1 = [Tmp1 Custom_Files_SeqAssist( 'void inter_DDCounter_FWD(){ ')];
162 Tmp1 = [Tmp1 Custom_Files_SeqAssist( ' if(( millis () - Timer_AuxD) > ...
        ',EncoderDelay, '){')];
163 Tmp1 = [Tmp1 Custom_Files_SeqAssist( ' Timer_AuxD = millis ();')];
164 Tmp1 = [Tmp1 Custom_Files_SeqAssist( ' Counter_DDP = Counter_DDP + 1;')];
165 Tmp1 = [Tmp1 Custom_Files_SeqAssist( ' }')];
166 Tmp1 = [Tmp1 Custom_Files_SeqAssist( '}')];
167 Tmp1 = [Tmp1 Custom_Files_SeqAssist( 'void inter_EDCounter_FWD(){ ')];
168 Tmp1 = [Tmp1 Custom_Files_SeqAssist( ' if(( millis () - Timer_AuxE) > ...
        ',EncoderDelay, '){')];
169 Tmp1 = [Tmp1 Custom_Files_SeqAssist( ' Timer_AuxE = millis ();')];
170 Tmp1 = [Tmp1 Custom_Files_SeqAssist( ' Counter_EDP = Counter_EDP + 1;')];
171 Tmp1 = [Tmp1 Custom_Files_SeqAssist( ' }')];
172 Tmp1 = [Tmp1 Custom_Files_SeqAssist( '}')];
173 Tmp1 = [Tmp1 Custom_Files_SeqAssist( 'void inter_DDCounter_BCK(){ ')];
174 Tmp1 = [Tmp1 Custom_Files_SeqAssist( ' if(( millis () - Timer_AuxD) > ...
        ',EncoderDelay, '){')];
175 Tmp1 = [Tmp1 Custom_Files_SeqAssist( ' Timer_AuxD = millis ();')];
176 Tmp1 = [Tmp1 Custom_Files_SeqAssist( ' Counter_DDN = Counter_DDN + 1;')];
177 Tmp1 = [Tmp1 Custom_Files_SeqAssist( ' }')];
178 Tmp1 = [Tmp1 Custom_Files_SeqAssist( '}')];
179 Tmp1 = [Tmp1 Custom_Files_SeqAssist( 'void inter_EDCounter_BCK(){ ')];
180 Tmp1 = [Tmp1 Custom_Files_SeqAssist( ' if(( millis () - Timer_AuxE) > ...
        ',EncoderDelay, '){')];
181 Tmp1 = [Tmp1 Custom_Files_SeqAssist( ' Timer_AuxE = millis ();')];
182 Tmp1 = [Tmp1 Custom_Files_SeqAssist( ' Counter_EDN = Counter_EDN + 1;')];
183 Tmp1 = [Tmp1 Custom_Files_SeqAssist( ' }')];
184 Tmp1 = [Tmp1 Custom_Files_SeqAssist( '}')];
185 fprintf(fid,Tmp1);
186 fclose(fid);
187 end
188
189 if GenerateFiles
190     FileCell = [FileCell ; {'modules','SetupGeral_Setup.h',NFiles+1}];
191     NFiles = NFiles + 1;
192     fid = fopen(FileCell{NFiles,2}, 'w');
193
194     Tmp1 = ScriptName;

```

```

195     Tmp1 = [Tmp1 Custom_Files_SeqAssist('#include "Setup_Inicializacao.h"')];
196     Tmp1 = [Tmp1 Custom_Files_SeqAssist('\n')];
197     Tmp1 = [Tmp1 Custom_Files_SeqAssist('Serial.begin(',S_BaudRate,');')];
198     Tmp1 = [Tmp1 Custom_Files_SeqAssist('bluetooth.begin(',B_BaudRate,');')];
199     Tmp1 = [Tmp1 Custom_Files_SeqAssist('\n')];
200     Tmp1 = [Tmp1 Custom_Files_SeqAssist('//Motores')];
201     Tmp1 = [Tmp1 Custom_Files_SeqAssist('pinMode(EP, OUTPUT);')];
202     Tmp1 = [Tmp1 Custom_Files_SeqAssist('pinMode(EN, OUTPUT);')];
203     Tmp1 = [Tmp1 Custom_Files_SeqAssist('pinMode(DN, OUTPUT);')];
204     Tmp1 = [Tmp1 Custom_Files_SeqAssist('pinMode(DP, OUTPUT);')];
205     Tmp1 = [Tmp1 Custom_Files_SeqAssist('//Ultrassom')];
206     Tmp1 = [Tmp1 Custom_Files_SeqAssist('pinMode(TrigF, OUTPUT);')];
207     Tmp1 = [Tmp1 Custom_Files_SeqAssist('pinMode(EchoF, INPUT);')];
208     Tmp1 = [Tmp1 Custom_Files_SeqAssist('//pinMode(TrigT, OUTPUT);')];
209     Tmp1 = [Tmp1 Custom_Files_SeqAssist('pinMode(EchoT, INPUT);')];
210     Tmp1 = [Tmp1 Custom_Files_SeqAssist('//Encoders')];
211     Tmp1 = [Tmp1 Custom_Files_SeqAssist('pinMode(Enc_DD, INPUT);')];
212     %%Tmp1 = [Tmp1 Custom_Files_SeqAssist('pinMode(Enc_DA, INPUT);')];
213     Tmp1 = [Tmp1 Custom_Files_SeqAssist('pinMode(Enc_ED, INPUT);')];
214     %%Tmp1 = [Tmp1 Custom_Files_SeqAssist('pinMode(Enc_EA, INPUT);')];
215     if Run_Chao == 0
216         Tmp1 = [Tmp1 Custom_Files_SeqAssist('Serial.print("\n Waiting \n");')];
217     end
218     fprintf(fid ,Tmp1);
219     fclose(fid);
220 end

```

## Arduino\_SS\_GeraAcionamento

Função que gera os arquivos para acionar os motores

Retorne à tabela clicando nesta frase

```

1 %% Prepara o nome
2
3 ScriptName = '// Arduino_SS_GeraAcionamento \n';
4
5
6 %% Gerar as subrotinas de acionamento do controlador
7
8 if GenerateFiles

```

```

9   FileCell = [ FileCell ; ...
        { 'subrotinas', 'Subrotinas_Contróle_SetupTf_DF.h', NFiles+1}];
10  NFiles = NFiles + 1;
11  fid = fopen( FileCell{NFiles,2}, 'w');
12  Tmp1 = ScriptName;
13  Tmp1 = [Tmp1 Custom_Files_SeqAssist('VarContróle_KpD    = ...
        C_DD_Frente_K_Num; ')];
14  if MaxLength > 2
15      Tmp1 = [Tmp1 ...
        Custom_Files_SeqAssist('VarContróle_CDNum[ ', LengthVec(2:end), ' ] = ...
        C_DD_Frente_', LengthVec(2:end), '_Num; ')];
16      Tmp1 = [Tmp1 ...
        Custom_Files_SeqAssist('VarContróle_CDDen[ ', LengthVec(2:end), ' ] = ...
        C_DD_Frente_', LengthVec(2:end), '_Den; ')];
17  else
18      if MaxLength > 1
19          Tmp1 = [Tmp1 Custom_Files_SeqAssist('VarContróle_CDNum = ...
        C_DD_Frente_0_Num; ')];
20          Tmp1 = [Tmp1 Custom_Files_SeqAssist('VarContróle_CDDen = ...
        C_DD_Frente_0_Den; ')];
21      end
22  end
23  fprintf(fid, Tmp1);
24  fclose(fid);
25
26  FileCell = [ FileCell ; ...
        { 'subrotinas', 'Subrotinas_Contróle_SetupTf_DT.h', NFiles+1}];
27  NFiles = NFiles + 1;
28  fid = fopen( FileCell{NFiles,2}, 'w');
29  Tmp1 = ScriptName;
30  Tmp1 = [Tmp1 Custom_Files_SeqAssist('VarContróle_KpD    = ...
        C_DD_Tras_K_Num; ')];
31  if MaxLength > 2
32      Tmp1 = [Tmp1 ...
        Custom_Files_SeqAssist('VarContróle_CDNum[ ', LengthVec(2:end), ' ] = ...
        C_DD_Tras_', LengthVec(2:end), '_Num; ')];
33      Tmp1 = [Tmp1 ...
        Custom_Files_SeqAssist('VarContróle_CDDen[ ', LengthVec(2:end), ' ] = ...
        C_DD_Tras_', LengthVec(2:end), '_Den; ')];
34  else
35      if MaxLength > 1
36          Tmp1 = [Tmp1 Custom_Files_SeqAssist('VarContróle_CDNum = ...
        C_DD_Tras_0_Num; ')];

```

```

37         Tmpl = [Tmpl Custom_Files_SeqAssist('VarControle_CDDen = ...
           C_DD_Tras_0_Den;')];
38     end
39 end
40 fprintf(fid,Tmpl);
41 fclose(fid);
42
43 FileCell = [FileCell ; ...
           {'subrotinas','Subrotinas_Controlo_SetupTf_EF.h',NFiles+1}];
44 NFiles = NFiles + 1;
45 fid = fopen(FileCell{NFiles,2},'w');
46 Tmpl = ScriptName;
47 Tmpl = [Tmpl Custom_Files_SeqAssist('VarControle_KpE = ...
           C_ED_Frente_K_Num;')];
48 if MaxLength > 2
49     Tmpl = [Tmpl ...
           Custom_Files_SeqAssist('VarControle_CENum[',LengthVec(2:end),'] = ...
           C_ED_Frente_',LengthVec(2:end),'_Num;')];
50     Tmpl = [Tmpl ...
           Custom_Files_SeqAssist('VarControle_CEDen[',LengthVec(2:end),'] = ...
           C_ED_Frente_',LengthVec(2:end),'_Den;')];
51 else
52     if MaxLength > 1
53         Tmpl = [Tmpl Custom_Files_SeqAssist('VarControle_CENum = ...
           C_ED_Frente_0_Num;')];
54         Tmpl = [Tmpl Custom_Files_SeqAssist('VarControle_CEDen = ...
           C_ED_Frente_0_Den;')];
55     end
56 end
57 fprintf(fid,Tmpl);
58 fclose(fid);
59
60 FileCell = [FileCell ; ...
           {'subrotinas','Subrotinas_Controlo_SetupTf_ET.h',NFiles+1}];
61 NFiles = NFiles + 1;
62 fid = fopen(FileCell{NFiles,2},'w');
63 Tmpl = ScriptName;
64 Tmpl = [Tmpl Custom_Files_SeqAssist('VarControle_KpE = C_ED_Tras_K_Num;')];
65 if MaxLength > 2
66     Tmpl = [Tmpl ...
           Custom_Files_SeqAssist('VarControle_CENum[',LengthVec(2:end),'] = ...
           C_ED_Tras_',LengthVec(2:end),'_Num;')];
67     Tmpl = [Tmpl ...

```

```

        Custom_Files_SeqAssist( 'VarControle_CEDen[ ',LengthVec(2:end), ' ] = ...
        C_ED_Tras_ ',LengthVec(2:end), '_Den; ');
68     else
69         if MaxLength > 1
70             Tmpl = [Tmpl Custom_Files_SeqAssist( 'VarControle_CENum = ...
                C_ED_Tras_0_Num; ' )];
71             Tmpl = [Tmpl Custom_Files_SeqAssist( 'VarControle_CEDen = ...
                C_ED_Tras_0_Den; ' )];
72         end
73     end
74     fprintf(fid, Tmpl);
75     fclose(fid);
76
77     FileCell = [ FileCell ; ...
        { 'subrotinas', 'Subrotinas_ControlSetupTf_Mover_Frente.h', NFiles+1}];
78     NFiles = NFiles + 1;
79     fid = fopen( FileCell{NFiles,2}, 'w');
80     Tmpl = ScriptName;
81     Tmpl = [Tmpl Custom_Files_SeqAssist( '#include ...
        "Subrotinas_ControlSetupTf_EF.h" ' )];
82     Tmpl = [Tmpl Custom_Files_SeqAssist( '#include ...
        "Subrotinas_ControlSetupTf_DF.h" ' )];
83     fprintf(fid, Tmpl);
84     fclose(fid);
85
86     FileCell = [ FileCell ; ...
        { 'subrotinas', 'Subrotinas_ControlSetupTf_Mover_Tras.h', NFiles+1}];
87     NFiles = NFiles + 1;
88     fid = fopen( FileCell{NFiles,2}, 'w');
89     Tmpl = ScriptName;
90     Tmpl = [Tmpl Custom_Files_SeqAssist( '#include ...
        "Subrotinas_ControlSetupTf_ET.h" ' )];
91     Tmpl = [Tmpl Custom_Files_SeqAssist( '#include ...
        "Subrotinas_ControlSetupTf_DT.h" ' )];
92     fprintf(fid, Tmpl);
93     fclose(fid);
94
95     FileCell = [ FileCell ; ...
        { 'subrotinas', 'Subrotinas_ControlSetupTf_Mover_Direita.h', NFiles+1}];
96     NFiles = NFiles + 1;
97     fid = fopen( FileCell{NFiles,2}, 'w');
98     Tmpl = ScriptName;
99     Tmpl = [Tmpl Custom_Files_SeqAssist( '#include ...

```

```

    "Subrotinas_Controle_SetupTf_EF.h" ' ');
100 Tmp1 = [Tmp1 Custom_Files_SeqAssist( '#include ...
    "Subrotinas_Controle_SetupTf_DT.h" ' ');
101 fprintf(fid ,Tmp1);
102 fclose(fid);
103
104 FileCell = [ FileCell ; ...
    { 'subrotinas ', 'Subrotinas_Controle_SetupTf_Mover_Esquerda.h ', NFiles+1}];
105 NFiles = NFiles + 1;
106 fid = fopen( FileCell{NFiles,2}, 'w');
107 Tmp1 = ScriptName;
108 Tmp1 = [Tmp1 Custom_Files_SeqAssist( '#include ...
    "Subrotinas_Controle_SetupTf_ET.h" ' ');
109 Tmp1 = [Tmp1 Custom_Files_SeqAssist( '#include ...
    "Subrotinas_Controle_SetupTf_DF.h" ' ');
110 fprintf(fid ,Tmp1);
111 fclose(fid);
112
113 FileCell = [ FileCell ; { 'subrotinas ', ...
    'Subrotinas_Controle_SetupTf_Mover_Parar.h ', NFiles+1}];
114 NFiles = NFiles + 1;
115 fid = fopen( FileCell{NFiles,2}, 'w');
116 Tmp1 = ScriptName;
117 Tmp1 = [Tmp1 Custom_Files_SeqAssist( ...
    '//detachInterrupt(digitalPinToInterrupt(Enc_DD)); ')];
118 Tmp1 = [Tmp1 Custom_Files_SeqAssist( ...
    '//detachInterrupt(digitalPinToInterrupt(Enc_ED)); ')];
119 fprintf(fid ,Tmp1);
120 fclose(fid);
121
122 FileCell = [ FileCell ; { 'subrotinas ', ...
    'Subrotinas_Controle_AtivaInterrupts_DF.h ', NFiles+1}];
123 NFiles = NFiles + 1;
124 fid = fopen( FileCell{NFiles,2}, 'w');
125 Tmp1 = ScriptName;
126 Tmp1 = [Tmp1 Custom_Files_SeqAssist( ...
    'detachInterrupt(digitalPinToInterrupt(Enc_DD)); ')];
127 Tmp1 = [Tmp1 Custom_Files_SeqAssist( ...
    'attachInterrupt(digitalPinToInterrupt(Enc_DD), inter_DDCounter_FWD, ...
    InterruptType); ')];
128 fprintf(fid ,Tmp1);
129 fclose(fid);
130

```

```

131 FileCell = [FileCell ; {'subrotinas', ...
    'Subrotinas_Control_e_AtivaInterrupts_DT.h', NFiles+1}];
132 NFiles = NFiles + 1;
133 fid = fopen(FileCell{NFiles,2}, 'w');
134 Tmpl = ScriptName;
135 Tmpl = [Tmpl Custom_Files_SeqAssist( ...
    'detachInterrupt(digitalPinToInterrupt(Enc_DD));');];
136 Tmpl = [Tmpl Custom_Files_SeqAssist( ...
    'attachInterrupt(digitalPinToInterrupt(Enc_DD), inter_DDCounter_BCK, ...
    InterruptType);');];
137 fprintf(fid, Tmpl);
138 fclose(fid);
139
140 FileCell = [FileCell ; {'subrotinas', ...
    'Subrotinas_Control_e_AtivaInterrupts_EF.h', NFiles+1}];
141 NFiles = NFiles + 1;
142 fid = fopen(FileCell{NFiles,2}, 'w');
143 Tmpl = ScriptName;
144 Tmpl = [Tmpl Custom_Files_SeqAssist( ...
    'detachInterrupt(digitalPinToInterrupt(Enc_ED));');];
145 Tmpl = [Tmpl Custom_Files_SeqAssist( ...
    'attachInterrupt(digitalPinToInterrupt(Enc_ED), inter_EDCounter_FWD, ...
    InterruptType);');];
146 fprintf(fid, Tmpl);
147 fclose(fid);
148
149 FileCell = [FileCell ; {'subrotinas', ...
    'Subrotinas_Control_e_AtivaInterrupts_ET.h', NFiles+1}];
150 NFiles = NFiles + 1;
151 fid = fopen(FileCell{NFiles,2}, 'w');
152 Tmpl = ScriptName;
153 Tmpl = [Tmpl Custom_Files_SeqAssist( ...
    'detachInterrupt(digitalPinToInterrupt(Enc_ED));');];
154 Tmpl = [Tmpl Custom_Files_SeqAssist( ...
    'attachInterrupt(digitalPinToInterrupt(Enc_ED), inter_EDCounter_BCK, ...
    InterruptType);');];
155 fprintf(fid, Tmpl);
156 fclose(fid);
157
158 end
159
160 %% Gera a subrotina de configuração de acionamento
161

```

```

162 if GenerateFiles
163     FileCell = [ FileCell ; { 'subrotinas', 'Subrotinas_ConfigVel.h', NFiles+1}];
164     NFiles = NFiles + 1;
165     fid = fopen( FileCell{NFiles,2}, 'w');
166     Tmp1 = ScriptName;
167
168     Tmp1 = [Tmp1 Custom_Files_SeqAssist( 'MEP = min(MEP*(MEP > 0) + MEN*(MEN > ...
        0),MaxVel); ' )];
169     Tmp1 = [Tmp1 Custom_Files_SeqAssist( 'MEN = (MEN > 0); ' )];
170     Tmp1 = [Tmp1 Custom_Files_SeqAssist( 'MDP = min(MDP*(MDP > 0) + MDN*(MDN > ...
        0),MaxVel); ' )];
171     Tmp1 = [Tmp1 Custom_Files_SeqAssist( 'MDN = (MDN > 0);\n ' )];
172
173     Tmp1 = [Tmp1 Custom_Files_SeqAssist( '#if (EngineTest == 1 || EngineTest == ...
        2) ' )];
174     Tmp1 = [Tmp1 Custom_Files_SeqAssist( 'Controle_ACE = MaxVel; ' )];
175     Tmp1 = [Tmp1 Custom_Files_SeqAssist( 'Controle_ACD = MaxVel; ' )];
176     Tmp1 = [Tmp1 Custom_Files_SeqAssist( 'if (MEP == 0){ ' )];
177     Tmp1 = [Tmp1 Custom_Files_SeqAssist( 'Controle_ACE = 0; ' )];
178     Tmp1 = [Tmp1 Custom_Files_SeqAssist( '}' )];
179     Tmp1 = [Tmp1 Custom_Files_SeqAssist( 'if (MDP == 0){ ' )];
180     Tmp1 = [Tmp1 Custom_Files_SeqAssist( 'Controle_ACD = 0; ' )];
181     Tmp1 = [Tmp1 Custom_Files_SeqAssist( '}' )];
182     Tmp1 = [Tmp1 Custom_Files_SeqAssist( 'if (MEN > 0){ ' )];
183     Tmp1 = [Tmp1 Custom_Files_SeqAssist( 'Controle_ACE = -Controle_ACE; ' )];
184     Tmp1 = [Tmp1 Custom_Files_SeqAssist( '}' )];
185     Tmp1 = [Tmp1 Custom_Files_SeqAssist( 'if (MDN > 0){ ' )];
186     Tmp1 = [Tmp1 Custom_Files_SeqAssist( 'Controle_ACD = -Controle_ACD; ' )];
187     Tmp1 = [Tmp1 Custom_Files_SeqAssist( '}' )];
188     Tmp1 = [Tmp1 Custom_Files_SeqAssist( '#endif\n' )];
189
190     Tmp1 = [Tmp1 Custom_Files_SeqAssist( '//Atualizar os contadores aqui' )];
191     Tmp1 = [Tmp1 Custom_Files_SeqAssist( '    aux_i          = Counter_DDP - ...
        Counter_DDN; ' )];
192     Tmp1 = [Tmp1 Custom_Files_SeqAssist( '    Counter_DDP = 0; ' )];
193     Tmp1 = [Tmp1 Custom_Files_SeqAssist( '    Counter_DDN = 0; ' )];
194     Tmp1 = [Tmp1 Custom_Files_SeqAssist( '    C_DD          = C_DD + ...
        long(aux_i); ' )];
195     Tmp1 = [Tmp1 Custom_Files_SeqAssist( '    aux_i          = Counter_EDP - ...
        Counter_EDN; ' )];
196     Tmp1 = [Tmp1 Custom_Files_SeqAssist( '    Counter_EDP = 0; ' )];
197     Tmp1 = [Tmp1 Custom_Files_SeqAssist( '    Counter_EDN = 0; ' )];
198     Tmp1 = [Tmp1 Custom_Files_SeqAssist( '    C_ED          = C_ED + ...

```

```

    long(aux_i); ']);
199 Tmp1 = [Tmp1 Custom_Files_SeqAssist('Tempo = micros();')];
200 Tmp1 = [Tmp1 Custom_Files_SeqAssist('#if (EngineTest == 3 || EngineTest == ...
    4 || MainProg == 1)')];
201 Tmp1 = [Tmp1 Custom_Files_SeqAssist('#include "Subrotinas_Controle.h"')];
202 Tmp1 = [Tmp1 Custom_Files_SeqAssist('#endif\n ')];
203
204
205 Tmp1 = [Tmp1 Custom_Files_SeqAssist('if(Controle_ACE < 0){')];
206 Tmp1 = [Tmp1 Custom_Files_SeqAssist(' VMEP = 255 + ...
    max(Controle_ACE,-MaxVel);')];
207 Tmp1 = [Tmp1 Custom_Files_SeqAssist(' VMEN = 1;')];
208 Tmp1 = [Tmp1 Custom_Files_SeqAssist(' #include ...
    "Subrotinas_Controle_AtivaInterrupts_ET.h"')];
209 Tmp1 = [Tmp1 Custom_Files_SeqAssist('}else{')];
210 Tmp1 = [Tmp1 Custom_Files_SeqAssist(' VMEP = min(Controle_ACE,MaxVel);')];
211 Tmp1 = [Tmp1 Custom_Files_SeqAssist(' VMEN = 0;')];
212 Tmp1 = [Tmp1 Custom_Files_SeqAssist(' #include ...
    "Subrotinas_Controle_AtivaInterrupts_EF.h"')];
213 Tmp1 = [Tmp1 Custom_Files_SeqAssist('}')];
214 Tmp1 = [Tmp1 Custom_Files_SeqAssist('if(Controle_ACD < 0){')];
215 Tmp1 = [Tmp1 Custom_Files_SeqAssist(' VMDP = 255 + ...
    max(Controle_ACD,-MaxVel);')];
216 Tmp1 = [Tmp1 Custom_Files_SeqAssist(' VMDN = 1;')];
217 Tmp1 = [Tmp1 Custom_Files_SeqAssist(' #include ...
    "Subrotinas_Controle_AtivaInterrupts_DT.h"')];
218 Tmp1 = [Tmp1 Custom_Files_SeqAssist('}else{')];
219 Tmp1 = [Tmp1 Custom_Files_SeqAssist(' VMDP = min(Controle_ACD,MaxVel);')];
220 Tmp1 = [Tmp1 Custom_Files_SeqAssist(' VMDN = 0;')];
221 Tmp1 = [Tmp1 Custom_Files_SeqAssist(' #include ...
    "Subrotinas_Controle_AtivaInterrupts_DF.h"')];
222 Tmp1 = [Tmp1 Custom_Files_SeqAssist('} \n')];
223 fprintf(fid ,Tmp1);
224
225 fclose(fid);
226 end
227
228 %% Gera as subrotinas dos movimentos
229
230 if GenerateFiles
231     FileCell = [FileCell ; {'subrotinas','Subrotinas_Mover_Normal.h',NFiles+1}];
232     NFiles = NFiles + 1;
233     fid = fopen(FileCell{NFiles,2},'w');

```

```

234  Tmp1 = ScriptName;
235  Tmp1 = [Tmp1 Custom_Files_SeqAssist('#include "Subrotinas_ConfigVel.h"');
236  Tmp1 = [Tmp1 Custom_Files_SeqAssist('analogWrite( EP, VMEP);//EP)];
237  Tmp1 = [Tmp1 Custom_Files_SeqAssist('digitalWrite(EN, VMEN);//EN)];
238  Tmp1 = [Tmp1 Custom_Files_SeqAssist('digitalWrite(DN, VMDN);//DN)];
239  Tmp1 = [Tmp1 Custom_Files_SeqAssist('analogWrite( DP, VM DP);//DP)];
240  fprintf(fid,Tmp1);
241  fclose(fid);
242
243  FileCell = [FileCell ; ...
                {'subrotinas','Subrotinas_MoverR_Direita.h',NFiles+1}];
244  NFiles = NFiles + 1;
245  fid = fopen(FileCell{NFiles,2}, 'w');
246  Tmp1 = ScriptName;
247  Tmp1 = [Tmp1 Custom_Files_SeqAssist('analogWrite( EP,           MaxVel);//EP)];
248  Tmp1 = [Tmp1 Custom_Files_SeqAssist('digitalWrite(EN,           0);//EN)];
249  Tmp1 = [Tmp1 Custom_Files_SeqAssist('digitalWrite(DN,           1);//DN)];
250  Tmp1 = [Tmp1 Custom_Files_SeqAssist('analogWrite( DP, 255 - MaxVel);//DP)];
251  fprintf(fid,Tmp1);
252  fclose(fid);
253
254  FileCell = [FileCell ; ...
                {'subrotinas','Subrotinas_MoverR_Esquerda.h',NFiles+1}];
255  NFiles = NFiles + 1;
256  fid = fopen(FileCell{NFiles,2}, 'w');
257  Tmp1 = ScriptName;
258  Tmp1 = [Tmp1 Custom_Files_SeqAssist('analogWrite( EP, 255 - MaxVel);//EP)];
259  Tmp1 = [Tmp1 Custom_Files_SeqAssist('digitalWrite(EN,           1);//EN)];
260  Tmp1 = [Tmp1 Custom_Files_SeqAssist('digitalWrite(DN,           0);//DN)];
261  Tmp1 = [Tmp1 Custom_Files_SeqAssist('analogWrite( DP,           MaxVel);//DP)];
262  fprintf(fid,Tmp1);
263  fclose(fid);
264
265  FileCell = [FileCell ; {'subrotinas','Subrotinas_MoverR_Frente.h',NFiles+1}];
266  NFiles = NFiles + 1;
267  fid = fopen(FileCell{NFiles,2}, 'w');
268  Tmp1 = ScriptName;
269  Tmp1 = [Tmp1 Custom_Files_SeqAssist('analogWrite( EP,           MaxVel);//EP)];
270  Tmp1 = [Tmp1 Custom_Files_SeqAssist('digitalWrite(EN,           0);//EN)];
271  Tmp1 = [Tmp1 Custom_Files_SeqAssist('digitalWrite(DN,           0);//DN)];
272  Tmp1 = [Tmp1 Custom_Files_SeqAssist('analogWrite( DP,           MaxVel);//DP)];
273  fprintf(fid,Tmp1);
274  fclose(fid);

```

```

275
276 FileCell = [ FileCell ; { 'subrotinas', 'Subrotinas_MoverR_Tras.h', NFiles+1}];
277 NFiles = NFiles + 1;
278 fid = fopen( FileCell{NFiles,2}, 'w');
279 Tmpl = ScriptName;
280 Tmpl = [Tmpl Custom_Files_SeqAssist('analogWrite( EP, 255 - MaxVel); //EP')];
281 Tmpl = [Tmpl Custom_Files_SeqAssist('digitalWrite(EN, 1); //EN')];
282 Tmpl = [Tmpl Custom_Files_SeqAssist('digitalWrite(DN, 1); //DN')];
283 Tmpl = [Tmpl Custom_Files_SeqAssist('analogWrite( DP, 255 - MaxVel); //DP')];
284 fprintf(fid, Tmpl);
285 fclose(fid);
286
287 FileCell = [ FileCell ; { 'subrotinas', 'Subrotinas_Parar.h', NFiles+1}];
288 NFiles = NFiles + 1;
289 fid = fopen( FileCell{NFiles,2}, 'w');
290 Tmpl = ScriptName;
291 Tmpl = [Tmpl Custom_Files_SeqAssist('#include "Subrotinas_MoverS_Parar.h"')];
292 Tmpl = [Tmpl Custom_Files_SeqAssist('#include ...
    "Subrotinas_Controle_Reset.h"')];
293 Tmpl = [Tmpl Custom_Files_SeqAssist('analogWrite( EP, 0); //EP')];
294 Tmpl = [Tmpl Custom_Files_SeqAssist('digitalWrite(EN, 0); //EN')];
295 Tmpl = [Tmpl Custom_Files_SeqAssist('digitalWrite(DN, 0); //DN')];
296 Tmpl = [Tmpl Custom_Files_SeqAssist('analogWrite( DP, 0); //DP')];
297 fprintf(fid, Tmpl);
298 fclose(fid);
299
300 FileCell = [ FileCell ; ...
    { 'subrotinas', 'Subrotinas_MoverS_Direita.h', NFiles+1}];
301 NFiles = NFiles + 1;
302 fid = fopen( FileCell{NFiles,2}, 'w');
303 Tmpl = ScriptName;
304 Tmpl = [Tmpl Custom_Files_SeqAssist('MEP = 100;')];
305 Tmpl = [Tmpl Custom_Files_SeqAssist('MEN = 0;')];
306 Tmpl = [Tmpl Custom_Files_SeqAssist('MDN = 100;')];
307 Tmpl = [Tmpl Custom_Files_SeqAssist('MDP = 0;')];
308 Tmpl = [Tmpl Custom_Files_SeqAssist('#include ...
    "Subrotinas_Controle_SetupTf_Mover_Direita.h"')];
309 fprintf(fid, Tmpl);
310 fclose(fid);
311
312 FileCell = [ FileCell ; ...
    { 'subrotinas', 'Subrotinas_MoverS_Esquerda.h', NFiles+1}];
313 NFiles = NFiles + 1;

```

```

314     fid = fopen( FileCell{NFiles,2}, 'w');
315     Tmpl = ScriptName;
316     Tmpl = [Tmpl Custom_Files_SeqAssist( 'MEP = 0; ')];
317     Tmpl = [Tmpl Custom_Files_SeqAssist( 'MEN = 100; ')];
318     Tmpl = [Tmpl Custom_Files_SeqAssist( 'MDN = 0; ')];
319     Tmpl = [Tmpl Custom_Files_SeqAssist( 'MDP = 100; ')];
320     Tmpl = [Tmpl Custom_Files_SeqAssist( '#include ...
        "Subrotinas_Controle_SetupTf_Mover_Esquerda.h" ')];
321     fprintf(fid ,Tmpl);
322     fclose( fid );
323
324     FileCell = [ FileCell ; { 'subrotinas ', 'Subrotinas_MoverS_Frente.h ', NFiles+1}];
325     NFiles = NFiles + 1;
326     fid = fopen( FileCell{NFiles,2}, 'w');
327     Tmpl = ScriptName;
328     Tmpl = [Tmpl Custom_Files_SeqAssist( 'MEP = 100; ')];
329     Tmpl = [Tmpl Custom_Files_SeqAssist( 'MEN = 0; ')];
330     Tmpl = [Tmpl Custom_Files_SeqAssist( 'MDN = 0; ')];
331     Tmpl = [Tmpl Custom_Files_SeqAssist( 'MDP = 100; ')];
332     Tmpl = [Tmpl Custom_Files_SeqAssist( '#include ...
        "Subrotinas_Controle_SetupTf_Mover_Frente.h" ')];
333     fprintf(fid ,Tmpl);
334     fclose( fid );
335
336     FileCell = [ FileCell ; { 'subrotinas ', 'Subrotinas_MoverS_Tras.h ', NFiles+1}];
337     NFiles = NFiles + 1;
338     fid = fopen( FileCell{NFiles,2}, 'w');
339     Tmpl = ScriptName;
340     Tmpl = [Tmpl Custom_Files_SeqAssist( 'MEP = 0; ')];
341     Tmpl = [Tmpl Custom_Files_SeqAssist( 'MEN = 100; ')];
342     Tmpl = [Tmpl Custom_Files_SeqAssist( 'MDN = 100; ')];
343     Tmpl = [Tmpl Custom_Files_SeqAssist( 'MDP = 0; ')];
344     Tmpl = [Tmpl Custom_Files_SeqAssist( '#include ...
        "Subrotinas_Controle_SetupTf_Mover_Tras.h" ')];
345     fprintf(fid ,Tmpl);
346     fclose( fid );
347
348     FileCell = [ FileCell ; { 'subrotinas ', 'Subrotinas_MoverS_Parar.h ', NFiles+1}];
349     NFiles = NFiles + 1;
350     fid = fopen( FileCell{NFiles,2}, 'w');
351     Tmpl = ScriptName;
352     Tmpl = [Tmpl Custom_Files_SeqAssist( 'MEP = 0; ')];
353     Tmpl = [Tmpl Custom_Files_SeqAssist( 'MEN = 0; ')];

```

```

354     Tmp1 = [Tmp1 Custom_Files_SeqAssist( 'MDN = 0; ' )];
355     Tmp1 = [Tmp1 Custom_Files_SeqAssist( 'MDP = 0; ' )];
356     fprintf(fid, Tmp1);
357     fclose( fid );
358
359
360 end

```

## Arduino\_SS\_GeraPosicao

Função que gera os arquivos de posição/velocidade alvo, dependendo do controlador escolhido.

Retorne à tabela clicando nesta frase

```

1 %% Perpara o a string com o nome do script
2     ScriptName = '// Arduino_SS_GeraPosicao \n';
3
4 %% Gera a subrotina de geração de posição
5
6 if GenerateFiles
7     FileCell = [ FileCell ; ...
8         { 'subrotinas', 'Subrotinas_Controlo_GenerateTargetPosition.h', NFiles+1}];
9     NFiles = NFiles + 1;
10    fid = fopen( FileCell{NFiles,2}, 'w');
11    Tmp1 = ScriptName;
12
13    if PosCon
14        Tmp1 = [Tmp1 Custom_Files_SeqAssist( 'if(MEP > 0){'}];%Não preciso ...
15            testar o MDP porque os motores SEMPRE acionam juntos
16        Tmp1 = [Tmp1 Custom_Files_SeqAssist( ' if(MEN > 0){'}];%Esquerdo pra trás
17        Tmp1 = [Tmp1 Custom_Files_SeqAssist( ' if(MDN > 0){'}];%Direito pra ...
18            trás
19        Tmp1 = [Tmp1 Custom_Files_SeqAssist( ' PosE = PosE - ...
20            ',Sim_M*T/FScale, ';' )];
21        Tmp1 = [Tmp1 Custom_Files_SeqAssist( ' PosD = PosD - ...
22            ',Sim_M*T/FScale, ';' )];
23        Tmp1 = [Tmp1 Custom_Files_SeqAssist( ' }else{'')];%Direito pra frente ...
24            e Esquerdo pra trás, ele tá virando
25        Tmp1 = [Tmp1 Custom_Files_SeqAssist( ' PosE = PosE - ...

```

```

    ',Sim_M*T*Sim_TurnAdj/FScale , ';' ]];
21 Tmp1 = [Tmp1 Custom_Files_SeqAssist( '          PosD = PosD + ...
    ',Sim_M*T*Sim_TurnAdj/FScale , ';' ]];
22 Tmp1 = [Tmp1 Custom_Files_SeqAssist( '          }')];
23 Tmp1 = [Tmp1 Custom_Files_SeqAssist( ' }else{'')];%Esquerdo pra frente
24 Tmp1 = [Tmp1 Custom_Files_SeqAssist( '          if(MDN > 0){'')];%Direito pra ...
    trás , ele tá virando
25 Tmp1 = [Tmp1 Custom_Files_SeqAssist( '          PosE = PosE + ...
    ',Sim_M*T*Sim_TurnAdj/FScale , ';' ]];
26 Tmp1 = [Tmp1 Custom_Files_SeqAssist( '          PosD = PosD - ...
    ',Sim_M*T*Sim_TurnAdj/FScale , ';' ]];
27 Tmp1 = [Tmp1 Custom_Files_SeqAssist( '          }else{'')];%Direito pra frente ...
    e Esquerdo pra frente
28 Tmp1 = [Tmp1 Custom_Files_SeqAssist( '          PosE = PosE + ...
    ',Sim_M*T/FScale , ';' )];
29 Tmp1 = [Tmp1 Custom_Files_SeqAssist( '          PosD = PosD + ...
    ',Sim_M*T/FScale , ';' )];
30 Tmp1 = [Tmp1 Custom_Files_SeqAssist( '          }')];
31 Tmp1 = [Tmp1 Custom_Files_SeqAssist( '          }')];
32 Tmp1 = [Tmp1 Custom_Files_SeqAssist( ' }\n' )];
33 else
34 Tmp1 = [Tmp1 Custom_Files_SeqAssist( 'if(MEP > 0){'')];%Não preciso ...
    testar o MDP porque os motores SEMPRE acionam juntos
35 Tmp1 = [Tmp1 Custom_Files_SeqAssist( ' if(MEN > 0){'')];%Esquerdo pra trás
36 Tmp1 = [Tmp1 Custom_Files_SeqAssist( '          if(MDN > 0){'')];%Direito pra ...
    trás
37 Tmp1 = [Tmp1 Custom_Files_SeqAssist( '          PosE = ' , -Sim_M/FScale , ';' )];
38 Tmp1 = [Tmp1 Custom_Files_SeqAssist( '          PosD = ' , -Sim_M/FScale , ';' )];
39 Tmp1 = [Tmp1 Custom_Files_SeqAssist( '          }else{'')];%Direito pra frente ...
    e Esquerdo pra trás , ele tá virando
40 Tmp1 = [Tmp1 Custom_Files_SeqAssist( '          PosE = ' ...
    , -Sim_M*Sim_TurnAdj/FScale , ';' )];
41 Tmp1 = [Tmp1 Custom_Files_SeqAssist( '          PosD = ...
    ',Sim_M*Sim_TurnAdj/FScale , ';' )];
42 Tmp1 = [Tmp1 Custom_Files_SeqAssist( '          }')];
43 Tmp1 = [Tmp1 Custom_Files_SeqAssist( ' }else{'')];%Esquerdo pra frente
44 Tmp1 = [Tmp1 Custom_Files_SeqAssist( '          if(MDN > 0){'')];%Direito pra ...
    trás , ele tá virando
45 Tmp1 = [Tmp1 Custom_Files_SeqAssist( '          PosE = ...
    ',Sim_M*Sim_TurnAdj/FScale , ';' )];
46 Tmp1 = [Tmp1 Custom_Files_SeqAssist( '          PosD = ...
    ', -Sim_M*Sim_TurnAdj/FScale , ';' )];
47 Tmp1 = [Tmp1 Custom_Files_SeqAssist( '          }else{'')];%Direito pra frente ...

```

```

        e Esquerdo pra frente
48     Tmp1 = [Tmp1 Custom_Files_SeqAssist( '      PosE = ',Sim_M/FScale, ';' )];
49     Tmp1 = [Tmp1 Custom_Files_SeqAssist( '      PosD = ',Sim_M/FScale, ';' )];
50     Tmp1 = [Tmp1 Custom_Files_SeqAssist( '      }' )];
51     Tmp1 = [Tmp1 Custom_Files_SeqAssist( '    }' )];
52     Tmp1 = [Tmp1 Custom_Files_SeqAssist( '  }else{' )];
53     Tmp1 = [Tmp1 Custom_Files_SeqAssist( '    PosE = 0;' )];
54     Tmp1 = [Tmp1 Custom_Files_SeqAssist( '    PosD = 0;' )];
55     Tmp1 = [Tmp1 Custom_Files_SeqAssist( '  }\n' )];
56   end
57   fprintf(fid, Tmp1);
58
59   fclose(fid);
60 end

```

### Arduino\_SS\_MLPrintFiles

Função que gera os arquivos que enviam dados pelos canais de comunicação.

Retorne à tabela clicando nesta frase

```

1  %% Prepara o nome
2
3  ScriptName = '// Arduino_SS_MLPrintFiles \n';
4
5  %% Gera o vetor de tempo
6
7  if GenerateFiles
8     FileCell = [FileCell ; ...
9         {'subrotinas', 'Subrotinas_ML_Temporizacao.h', NFiles+1}];
10    NFiles = NFiles + 1;
11    fid = fopen(FileCell{NFiles,2}, 'w');
12    Tmp1 = [ScriptName ...
13        'Tempo = micros();\n' ...
14        'Serial.print("Tempo: ");\n' ...
15        'Serial.println(Tempo);\n' ...
16    ];
17    fprintf(fid, Tmp1);
18    fclose(fid);
19 end
20

```

```

21 %% Generates the prints Arduino Proximity Sensors and engines
22
23 if GenerateFiles
24     FileCell = [ FileCell ; {'subrotinas', 'Subrotinas_ML_PrintAll.h', NFiles+1}];
25     NFiles = NFiles + 1;
26     fid = fopen(FileCell{NFiles,2}, 'w');
27     A = ArduinoSS_DT1RTVecSetup;
28     Tmp1 = ScriptName;
29     if TestMode
30         for n = A
31             Tmp2 = size(VarsProg{n,3},2);
32             if Tmp2 > 1
33                 Tmp1 = [Tmp1 Custom_Files_SeqAssist(...
34                     'Serial.print(",VarsProg{n,2}, '[' ,0:Tmp2-1, ']: ");\n',...
35                     'Serial.println(',VarsProg{n,2}, '[' ,0:Tmp2-1, ']);');];
36                 %Tmp1 = [Tmp1 ...
37                     Custom_Files_SeqAssist('Serial.println(',VarsProg{n,2}, ...
38                         '[' ,0:Tmp2-1, ']: ');');];
39             else
40                 Tmp1 = [Tmp1 ...
41                     Custom_Files_SeqAssist('Serial.print(",VarsProg{n,2}, ': ...
42                         ");');)];
43             Tmp1 = [Tmp1 ...
44                 Custom_Files_SeqAssist('Serial.println(',VarsProg{n,2}, ');');)];
45         end
46     end
47     fprintf(fid, Tmp1);
48     fclose(fid);
49 end
50
51 %% Same, but sends it via bluetooth
52 if GenerateFiles
53     FileCell = [ FileCell ; {'subrotinas', 'Subrotinas_ML_PrintAllBL.h', NFiles+1}];
54     NFiles = NFiles + 1;
55     fid = fopen(FileCell{NFiles,2}, 'w');
56     A = ArduinoSS_DT1RTVecSetup;
57     Tmp1 = ScriptName;
58     if TestMode
59         Tmp1 = [Tmp1 Custom_Files_SeqAssist('String Str;')];
60         Tmp1 = [Tmp1 Custom_Files_SeqAssist('Str = ...
61             String(',VarsProg{A(1),2}, ') + " ";');];
62         for n = A(min([2 end]):end)

```

```

58     Tmp2 = size(VarsProg{n,3},2)-1;
59     if Tmp2 ≥ 1
60         Tmp1 = [Tmp1 Custom_Files_SeqAssist('Str = Str + ...
           String(',VarsProg{n,2}, '[' ,0:Tmp2, ']') + " ";');];
61     else
62         Tmp1 = [Tmp1 Custom_Files_SeqAssist('Str = Str + ...
           String(',VarsProg{n,2}, ') + " ";');];
63     end
64     end
65     Tmp1 = [Tmp1(1:end-10) '\n'];
66     Tmp1 = [Tmp1 Custom_Files_SeqAssist('if (Serial.availableForWrite()){')];
67     Tmp1 = [Tmp1 Custom_Files_SeqAssist(' Serial.println(Str);')];
68     Tmp1 = [Tmp1 Custom_Files_SeqAssist(')')];
69     Tmp1 = [Tmp1 Custom_Files_SeqAssist('bluetooth.println(Str);')];
70     end
71     fprintf(fid ,Tmp1);
72     fclose(fid);
73 end
74
75 %% Print every variable in the arduino for debugging the program flow
76
77 if GenerateFiles
78     FileCell = [FileCell ; {'subrotinas', 'Subrotinas_DumpVariables.h', NFiles+1}];
79     NFiles = NFiles + 1;
80     fid = fopen(FileCell{NFiles,2}, 'w');
81     if (DumpVars && TestMode)
82         Tmp1 = ScriptName;
83         Tmp1 = [Tmp1 Custom_Files_SeqAssist('String ML_Str;')];
84         for n = 1:length(VarsProg)
85             A = length(VarsProg{n,3});
86             if A > 1
87                 %Tmp1 = [Tmp1 ...
           Custom_Files_SeqAssist('Serial.print("'",VarsProg{n,2}, '[' ,0:(A-1), ']': ...
           '); \nSerial.println(',VarsProg{n,2}, '[' ,0:(A-1), ']')');];
88                 Tmp1 = [Tmp1 Custom_Files_SeqAssist('Str = Str + ...
           "',VarsProg{n,2}, '[' ,0:(A-1), ']': " + ...
           String(',VarsProg{n,2}, '[' ,0:(A-1), ']') + ";\n"');];
89             else
90                 %Tmp1 = [Tmp1 ...
           Custom_Files_SeqAssist('Serial.print("'",VarsProg{n,2}, ': ...
           '); \nSerial.println(',VarsProg{n,2}, ')');];
91                 Tmp1 = [Tmp1 Custom_Files_SeqAssist('Str = Str + ...
           "',VarsProg{n,2}, ': " + String(',VarsProg{n,2}, ') + ";\n"');];

```

```

92         end
93     end
94     Tmpl = [Tmpl Custom_Files_SeqAssist('Serial.print(Str)');
95     fprintf(fid ,Tmpl);
96     else
97         Tmpl = [Tmpl Custom_Files_SeqAssist('// No Dump Activated')];
98     end
99
100     fclose(fid);
101 end

```

## Arduino\_SS\_GenerateData

Geram arquivos intermediários de gerenciamento no Arduino.

Retorne à tabela clicando nesta frase

```

1 %% Prepara o nome
2
3 ScriptName = '// Arduino_SS_GenerateData \n';
4
5 %% Gera o MainProg
6 % Ele equivale ao 'main', em que funciona tudo junto
7
8 if GenerateFiles
9     FileCell = [FileCell ; {'data', 'MainProg.h', NFiles+1}];
10    NFiles = NFiles + 1;
11    fid = fopen(FileCell{NFiles,2}, 'w');
12    Tmpl = ScriptName;
13    Tmpl = [Tmpl Custom_Files_SeqAssist('#include ...
14            "modules/SetupGeral_Global.h" \n\n')];
15    Tmpl = [Tmpl Custom_Files_SeqAssist('void setup() {')];
16    Tmpl = [Tmpl Custom_Files_SeqAssist('#include ...
17            "modules/SetupGeral_Setup.h"')];
18    Tmpl = [Tmpl Custom_Files_SeqAssist('}')];
19    Tmpl = [Tmpl Custom_Files_SeqAssist('void loop() {')];
20    Tmpl = [Tmpl Custom_Files_SeqAssist('#include "modules/LoopVariables.h"')];
21    Tmpl = [Tmpl Custom_Files_SeqAssist('#include ...
22            "modules/Bluetooth_LimpaOverflow.h"')];
23    Tmpl = [Tmpl Custom_Files_SeqAssist('#if ShowMarks')];
24    Tmpl = [Tmpl Custom_Files_SeqAssist('Serial.print("Mark1");')];

```

```

22     Tmp1 = [Tmp1 Custom_Files_SeqAssist('Serial.println();')];
23     Tmp1 = [Tmp1 Custom_Files_SeqAssist('#endif')];
24     Tmp1 = [Tmp1 Custom_Files_SeqAssist('#include ...
        "modules/Bluetooth_Handler.h"')];
25     Tmp1 = [Tmp1 Custom_Files_SeqAssist('#if ShowMarks //nada no Bluetooth')];
26     Tmp1 = [Tmp1 Custom_Files_SeqAssist('Serial.print("Mark11");')];
27     Tmp1 = [Tmp1 Custom_Files_SeqAssist('Serial.println();')];
28     Tmp1 = [Tmp1 Custom_Files_SeqAssist('#endif')];
29     Tmp1 = [Tmp1 Custom_Files_SeqAssist('#include "modules/Sensors_Geral.h"')];
30     Tmp1 = [Tmp1 Custom_Files_SeqAssist('#if ShowMarks //nada no Bluetooth')];
31     Tmp1 = [Tmp1 Custom_Files_SeqAssist('Serial.print("Mark13");')];
32     Tmp1 = [Tmp1 Custom_Files_SeqAssist('Serial.println();')];
33     Tmp1 = [Tmp1 Custom_Files_SeqAssist('#endif')];
34     Tmp1 = [Tmp1 Custom_Files_SeqAssist('#include ...
        "modules/Bluetooth_Decisao.h"')];
35     Tmp1 = [Tmp1 Custom_Files_SeqAssist('#if ShowMarks')];
36     Tmp1 = [Tmp1 Custom_Files_SeqAssist('Serial.print("Mark2");')];
37     Tmp1 = [Tmp1 Custom_Files_SeqAssist('Serial.println();')];
38     Tmp1 = [Tmp1 Custom_Files_SeqAssist('#endif')];
39     Tmp1 = [Tmp1 Custom_Files_SeqAssist('#include ...
        "modules/Subrotinas/Subrotinas_Mover_Normal.h"')];
40     if DumpVars
41         Tmp1 = [Tmp1 Custom_Files_SeqAssist('#include ...
            "modules/Subrotinas/Subrotinas_ML_PrintAll.h"')];
42     end
43     Tmp1 = [Tmp1 Custom_Files_SeqAssist('}')];
44     fprintf(fid,Tmp1);
45     fclose(fid);
46 end
47
48 %% Gera o programa de teste dos motores
49
50 if GenerateFiles
51     FileCell = [FileCell ; {'data','ML_Motores.h',NFiles+1}];
52     NFiles = NFiles + 1;
53     fid = fopen(FileCell{NFiles,2},'w');
54     Tmp1 = ScriptName;
55     Tmp1 = [Tmp1 Custom_Files_SeqAssist('#include ...
        "modules/SetupGeral_Global.h" \n\n')];
56     Tmp1 = [Tmp1 Custom_Files_SeqAssist('void setup() {')];
57     Tmp1 = [Tmp1 Custom_Files_SeqAssist('#include ...
        "modules/SetupGeral_Setup.h"')];
58     Tmp1 = [Tmp1 Custom_Files_SeqAssist('Serial.println(EngineTest);')];

```

```

59     Tmp1 = [Tmp1 Custom_Files_SeqAssist('}')];
60     Tmp1 = [Tmp1 Custom_Files_SeqAssist('void loop() {')];
61     if DumpVars
62         Tmp1 = [Tmp1 Custom_Files_SeqAssist('Serial.println("Running");')];
63     end
64     Tmp1 = [Tmp1 Custom_Files_SeqAssist('#include "modules/LoopVariables.h"')];
65     Tmp1 = [Tmp1 Custom_Files_SeqAssist('#if (EngineTest == 1)')];
66     Tmp1 = [Tmp1 Custom_Files_SeqAssist('#include ...
        "modules/Subrotinas/SubrotinaTeste_Motores.h"')];
67     Tmp1 = [Tmp1 Custom_Files_SeqAssist('#endif')];
68     Tmp1 = [Tmp1 Custom_Files_SeqAssist('#if (EngineTest == 2 || EngineTest == ...
        3)')];
69     Tmp1 = [Tmp1 Custom_Files_SeqAssist('#include ...
        "modules/Subrotinas/SubrotinaTeste_Controler.h"')];
70     Tmp1 = [Tmp1 Custom_Files_SeqAssist('#endif')];
71     Tmp1 = [Tmp1 Custom_Files_SeqAssist('#if (EngineTest == 4)')];
72     Tmp1 = [Tmp1 Custom_Files_SeqAssist('#include ...
        "modules/Subrotinas/SubrotinaTeste_Chao.h"')];
73     Tmp1 = [Tmp1 Custom_Files_SeqAssist('#endif')];
74     Tmp1 = [Tmp1 Custom_Files_SeqAssist('}')];
75     fprintf(fid,Tmp1);
76     fclose(fid);
77 end
78
79
80 %% Gera o programa de teste dos sensores
81
82
83 if GenerateFiles
84     FileCell = [FileCell ; {'data','ML_Sensors.h',NFiles+1}];
85     NFiles = NFiles + 1;
86     fid = fopen(FileCell{NFiles,2},'w');
87     Tmp1 = ScriptName;
88     Tmp1 = [Tmp1 Custom_Files_SeqAssist('#include ...
        "modules/SetupGeral_Global.h"')];
89     Tmp1 = [Tmp1 Custom_Files_SeqAssist('void setup() {')];
90     Tmp1 = [Tmp1 Custom_Files_SeqAssist('#include ...
        "modules/SetupGeral_Setup.h"')];
91     Tmp1 = [Tmp1 Custom_Files_SeqAssist('}')];
92     Tmp1 = [Tmp1 Custom_Files_SeqAssist('void loop() {')];
93     Tmp1 = [Tmp1 Custom_Files_SeqAssist('#include "modules/LoopVariables.h"')];
94     Tmp1 = [Tmp1 Custom_Files_SeqAssist('#include "modules/Sensors_Geral.h"')];
95     Tmp1 = [Tmp1 Custom_Files_SeqAssist('}')];

```

```

96     fprintf(fid ,Tmp1);
97     fclose(fid);
98 end

```

## Arduino\_SS\_GeraBluetooth

Gera os arquivos para a interação do Arduino com o módulo bluetooth.

Retorne à tabela clicando nesta frase

```

1 %% Nome
2
3 ScriptName = '// Arduino_SS_GeraBluetooth \n';
4
5
6 %% Bluetooth
7 if GenerateFiles
8     FileCell = [FileCell ; {'modules','Bluetooth_LimpaOverflow.h',NFiles+1}];
9     NFiles = NFiles + 1;
10    fid = fopen(FileCell{NFiles,2}, 'w');
11    Tmp1 = ScriptName;
12    Tmp1 = [Tmp1 Custom_Files_SeqAssist('if(bluetooth.overflow()){')];
13    Tmp1 = [Tmp1 Custom_Files_SeqAssist(' while(bluetooth.available() > 0){')];
14    Tmp1 = [Tmp1 Custom_Files_SeqAssist(' C = bluetooth.read();')];
15    Tmp1 = [Tmp1 Custom_Files_SeqAssist(' }')];
16    Tmp1 = [Tmp1 Custom_Files_SeqAssist('}')];
17    fprintf(fid ,Tmp1);
18    fclose(fid);% Here
19 end
20
21 if GenerateFiles
22     FileCell = [FileCell ; {'modules','Bluetooth_Handler.h',NFiles+1}];
23     NFiles = NFiles + 1;
24     fid = fopen(FileCell{NFiles,2}, 'w');
25     Tmp1 = ScriptName;
26     Tmp1 = [Tmp1 Custom_Files_SeqAssist('if(!bluetooth.available()){')];
27     Tmp1 = [Tmp1 Custom_Files_SeqAssist('#if DebugMode //Nada no Bluetooth')];
28     Tmp1 = [Tmp1 Custom_Files_SeqAssist('Serial.print("Waiting");')];
29     Tmp1 = [Tmp1 Custom_Files_SeqAssist('Serial.println();')];
30     Tmp1 = [Tmp1 Custom_Files_SeqAssist('#endif')];
31     Tmp1 = [Tmp1 Custom_Files_SeqAssist('#if DebugMode //Nada no Bluetooth')];

```

```

32  Tmp1 = [Tmp1 Custom_Files_SeqAssist('Serial.print("Froze 01 (");');]);
33  Tmp1 = [Tmp1 Custom_Files_SeqAssist('Serial.print(bluetooth.overflow());');]);
34  Tmp1 = [Tmp1 Custom_Files_SeqAssist('Serial.print(")");');]);
35  Tmp1 = [Tmp1 Custom_Files_SeqAssist('Serial.println();');]);
36  Tmp1 = [Tmp1 Custom_Files_SeqAssist('#endif');]);
37  Tmp1 = [Tmp1 Custom_Files_SeqAssist(';');]);
38  Tmp1 = [Tmp1 Custom_Files_SeqAssist('}else{');]);
39  Tmp1 = [Tmp1 Custom_Files_SeqAssist('C = bluetooth.read();');]);
40  Tmp1 = [Tmp1 Custom_Files_SeqAssist('#if DebugMode //Alguma coisa no ...
      Bluetooth');]);
41  Tmp1 = [Tmp1 Custom_Files_SeqAssist('Serial.print("Froze 02");');]);
42  Tmp1 = [Tmp1 Custom_Files_SeqAssist('Serial.println();');]);
43  Tmp1 = [Tmp1 Custom_Files_SeqAssist('#endif');]);
44  Tmp1 = [Tmp1 Custom_Files_SeqAssist('#if DebugMode //Diz o caractere lido');]);
45  Tmp1 = [Tmp1 Custom_Files_SeqAssist('Serial.print("Read:");');]);
46  Tmp1 = [Tmp1 Custom_Files_SeqAssist('Serial.print(C);');]);
47  Tmp1 = [Tmp1 Custom_Files_SeqAssist('Serial.print("\t");');]);
48  Tmp1 = [Tmp1 Custom_Files_SeqAssist('#endif');]);
49  Tmp1 = [Tmp1 Custom_Files_SeqAssist('if(C == '+'){//195 = + em ASCII'}]);
50  Tmp1 = [Tmp1 Custom_Files_SeqAssist('delay(25);// Aguarda o resto da ...
      mensagem chegar');]);
51  Tmp1 = [Tmp1 Custom_Files_SeqAssist('C = bluetooth.read();');]);
52  Tmp1 = [Tmp1 Custom_Files_SeqAssist('cont = (C == 68)*14 + (C == ...
      67)*42;//68 = D e 67 = C em ASCII');]);
53  Tmp1 = [Tmp1 Custom_Files_SeqAssist('#if DebugMode //Diz o que foi ...
      ignorado no buffer');]);
54  Tmp1 = [Tmp1 Custom_Files_SeqAssist('//Usado pra pular as diretivas do ...
      módulo');]);
55  Tmp1 = [Tmp1 Custom_Files_SeqAssist('Serial.print("Skipping(");');]);
56  Tmp1 = [Tmp1 Custom_Files_SeqAssist('Serial.print(cont);');]);
57  Tmp1 = [Tmp1 Custom_Files_SeqAssist('Serial.print("): <");');]);
58  Tmp1 = [Tmp1 Custom_Files_SeqAssist('#endif');]);
59  Tmp1 = [Tmp1 Custom_Files_SeqAssist('while(cont > 0){');]);
60  Tmp1 = [Tmp1 Custom_Files_SeqAssist('#if DebugMode');]);
61  Tmp1 = [Tmp1 Custom_Files_SeqAssist('Serial.print(C);');]);
62  Tmp1 = [Tmp1 Custom_Files_SeqAssist('#endif');]);
63  Tmp1 = [Tmp1 Custom_Files_SeqAssist('C = bluetooth.read();');]);
64  Tmp1 = [Tmp1 Custom_Files_SeqAssist('cont = cont - 1;');]);
65  Tmp1 = [Tmp1 Custom_Files_SeqAssist('}');]);
66  Tmp1 = [Tmp1 Custom_Files_SeqAssist('C = 80;//80 = P em ASCII');]);
67  Tmp1 = [Tmp1 Custom_Files_SeqAssist('#if DebugMode');]);
68  Tmp1 = [Tmp1 Custom_Files_SeqAssist('Serial.print(">");');]);
69  Tmp1 = [Tmp1 Custom_Files_SeqAssist('Serial.println("\t \t");');]);

```

```

70  Tmp1 = [Tmp1 Custom_Files_SeqAssist('Serial.print("C ← P");')];
71  Tmp1 = [Tmp1 Custom_Files_SeqAssist('Serial.print("Setup (+)");')];
72  Tmp1 = [Tmp1 Custom_Files_SeqAssist('Serial.print(Operation);')];
73  Tmp1 = [Tmp1 Custom_Files_SeqAssist('Serial.print("\t \t");')];
74  Tmp1 = [Tmp1 Custom_Files_SeqAssist('#endif')];
75  Tmp1 = [Tmp1 Custom_Files_SeqAssist('}');];
76  Tmp1 = [Tmp1 Custom_Files_SeqAssist('Case = Operation + (C == 83)*2;// 83 ...
    = S em ASCII')];
77  Tmp1 = [Tmp1 Custom_Files_SeqAssist('#if DebugMode')];
78  Tmp1 = [Tmp1 Custom_Files_SeqAssist('Serial.println();')];
79  Tmp1 = [Tmp1 Custom_Files_SeqAssist('Serial.print("Case ");')];
80  Tmp1 = [Tmp1 Custom_Files_SeqAssist('Serial.print(Case);')];
81  Tmp1 = [Tmp1 Custom_Files_SeqAssist('Serial.print("): (");')];
82  Tmp1 = [Tmp1 Custom_Files_SeqAssist('Serial.print(C);')];
83  Tmp1 = [Tmp1 Custom_Files_SeqAssist('Serial.print(" ->");')];
84  Tmp1 = [Tmp1 Custom_Files_SeqAssist('#endif')];
85  Tmp1 = [Tmp1 Custom_Files_SeqAssist('switch(Case){')];
86  Tmp1 = [Tmp1 Custom_Files_SeqAssist('case 2:')];
87  Tmp1 = [Tmp1 Custom_Files_SeqAssist('Operation = 1;')];
88  Tmp1 = [Tmp1 Custom_Files_SeqAssist('case 0:')];
89  Tmp1 = [Tmp1 Custom_Files_SeqAssist('C = 80;//80 = P em ASCII')];
90  Tmp1 = [Tmp1 Custom_Files_SeqAssist('case 1:')];
91  Tmp1 = [Tmp1 Custom_Files_SeqAssist('default:')];
92  Tmp1 = [Tmp1 Custom_Files_SeqAssist('Prev = C;')];
93  Tmp1 = [Tmp1 Custom_Files_SeqAssist('break;')];
94  Tmp1 = [Tmp1 Custom_Files_SeqAssist('case 3:')];
95  Tmp1 = [Tmp1 Custom_Files_SeqAssist('Operation = 0;')];
96  Tmp1 = [Tmp1 Custom_Files_SeqAssist('break;')];
97  Tmp1 = [Tmp1 Custom_Files_SeqAssist('}')];
98  Tmp1 = [Tmp1 Custom_Files_SeqAssist('#if DebugMode')];
99  Tmp1 = [Tmp1 Custom_Files_SeqAssist('Serial.print("(");')];
100 Tmp1 = [Tmp1 Custom_Files_SeqAssist('Serial.print(C);')];
101 Tmp1 = [Tmp1 Custom_Files_SeqAssist('Serial.print(",");')];
102 Tmp1 = [Tmp1 Custom_Files_SeqAssist('Serial.print(Operation);')];
103 Tmp1 = [Tmp1 Custom_Files_SeqAssist('Serial.print(")");')];
104 Tmp1 = [Tmp1 Custom_Files_SeqAssist('Serial.println();')];
105 Tmp1 = [Tmp1 Custom_Files_SeqAssist('#endif')];
106 Tmp1 = [Tmp1 Custom_Files_SeqAssist('#if DebugMode')];
107 Tmp1 = [Tmp1 Custom_Files_SeqAssist('Serial.println();')];
108 Tmp1 = [Tmp1 Custom_Files_SeqAssist('Serial.print("Sensor = ");')];
109 Tmp1 = [Tmp1 Custom_Files_SeqAssist('Serial.print(Sensor);')];
110 Tmp1 = [Tmp1 Custom_Files_SeqAssist('//Serial.println();')];
111 Tmp1 = [Tmp1 Custom_Files_SeqAssist('#endif')];

```

```

112     Tmp1 = [Tmp1 Custom_Files_SeqAssist('switch (C){')];
113     Tmp1 = [Tmp1 Custom_Files_SeqAssist('default:')];
114     Tmp1 = [Tmp1 Custom_Files_SeqAssist('case 83://83 = S em ASCII')];
115     Tmp1 = [Tmp1 Custom_Files_SeqAssist('case 80://80 = P em ASCII')];
116     Tmp1 = [Tmp1 Custom_Files_SeqAssist('FT_TPFDE = 8;')];
117     Tmp1 = [Tmp1 Custom_Files_SeqAssist('//Counter_DD = 0;')];
118     Tmp1 = [Tmp1 Custom_Files_SeqAssist('//Counter_ED = 0;')];
119     Tmp1 = [Tmp1 Custom_Files_SeqAssist('//Pos_D = 0;')];
120     Tmp1 = [Tmp1 Custom_Files_SeqAssist('//Pos_E = 0;')];
121     Tmp1 = [Tmp1 Custom_Files_SeqAssist('break;')];
122     Tmp1 = [Tmp1 Custom_Files_SeqAssist('case 70://70 = F em ASCII')];
123     Tmp1 = [Tmp1 Custom_Files_SeqAssist('FT_TPFDE = 4;')];
124     Tmp1 = [Tmp1 Custom_Files_SeqAssist('Section = 0;')];
125     Tmp1 = [Tmp1 Custom_Files_SeqAssist('break;')];
126     Tmp1 = [Tmp1 Custom_Files_SeqAssist('case 68://68 = D em ASCII')];
127     Tmp1 = [Tmp1 Custom_Files_SeqAssist('FT_TPFDE = 2;')];
128     Tmp1 = [Tmp1 Custom_Files_SeqAssist('Section = 0;')];
129     Tmp1 = [Tmp1 Custom_Files_SeqAssist('break;')];
130     Tmp1 = [Tmp1 Custom_Files_SeqAssist('case 69://69 = E em ASCII')];
131     Tmp1 = [Tmp1 Custom_Files_SeqAssist('FT_TPFDE = 1;')];
132     Tmp1 = [Tmp1 Custom_Files_SeqAssist('Section = 0;')];
133     Tmp1 = [Tmp1 Custom_Files_SeqAssist('break;')];
134     Tmp1 = [Tmp1 Custom_Files_SeqAssist('case 84://84 = T em ASCII')];
135     Tmp1 = [Tmp1 Custom_Files_SeqAssist('FT_TPFDE = 16;')];
136     Tmp1 = [Tmp1 Custom_Files_SeqAssist('Section = 0;')];
137     Tmp1 = [Tmp1 Custom_Files_SeqAssist('break;')];
138     Tmp1 = [Tmp1 Custom_Files_SeqAssist('}')];
139     Tmp1 = [Tmp1 Custom_Files_SeqAssist('}')];
140     fprintf(fid,Tmp1);
141     fclose(fid);
142 end
143
144
145 if GenerateFiles
146     FileCell = [FileCell ; {'modules','Bluetooth_Decisao.h',NFiles+1}];
147     NFiles = NFiles + 1;
148     fid = fopen(FileCell{NFiles,2}, 'w');
149     Tmp1 = ScriptName;
150     Tmp1 = [Tmp1 Custom_Files_SeqAssist('switch (FT_TPFDE){')];
151     Tmp1 = [Tmp1 Custom_Files_SeqAssist('case 1://E')];
152     Tmp1 = [Tmp1 Custom_Files_SeqAssist('case 33://E + T')];
153     Tmp1 = [Tmp1 Custom_Files_SeqAssist('case 65://E + F')];
154     Tmp1 = [Tmp1 Custom_Files_SeqAssist('case 97://E + T/F')];

```

```

155     Tmp1 = [Tmp1 Custom_Files_SeqAssist('//Pra Esquerda')];
156     Tmp1 = [Tmp1 Custom_Files_SeqAssist('#include ...
        "subrotinas/Subrotinas_MoverS_Esquerda.h"')];
157     Tmp1 = [Tmp1 Custom_Files_SeqAssist('#if DebugMode')];
158     Tmp1 = [Tmp1 Custom_Files_SeqAssist('Serial.print("Turning Left");')];
159     Tmp1 = [Tmp1 Custom_Files_SeqAssist('Serial.println();')];
160     Tmp1 = [Tmp1 Custom_Files_SeqAssist('#endif')];
161     Tmp1 = [Tmp1 Custom_Files_SeqAssist('break;')];
162     Tmp1 = [Tmp1 Custom_Files_SeqAssist('case 2://D')];
163     Tmp1 = [Tmp1 Custom_Files_SeqAssist('case 34://D + T')];
164     Tmp1 = [Tmp1 Custom_Files_SeqAssist('case 66://D + F')];
165     Tmp1 = [Tmp1 Custom_Files_SeqAssist('case 98://D + T/F')];
166     Tmp1 = [Tmp1 Custom_Files_SeqAssist('//Pra Direita')];
167     Tmp1 = [Tmp1 Custom_Files_SeqAssist('#include ...
        "subrotinas/Subrotinas_MoverS_Direita.h"')];
168     Tmp1 = [Tmp1 Custom_Files_SeqAssist('#if DebugMode')];
169     Tmp1 = [Tmp1 Custom_Files_SeqAssist('Serial.print("Turning Right");')];
170     Tmp1 = [Tmp1 Custom_Files_SeqAssist('Serial.println();')];
171     Tmp1 = [Tmp1 Custom_Files_SeqAssist('#endif')];
172     Tmp1 = [Tmp1 Custom_Files_SeqAssist('break;')];
173     Tmp1 = [Tmp1 Custom_Files_SeqAssist('case 4://F')];
174     Tmp1 = [Tmp1 Custom_Files_SeqAssist('case 36://F + T')];
175     Tmp1 = [Tmp1 Custom_Files_SeqAssist('//Pra Frente')];
176     Tmp1 = [Tmp1 Custom_Files_SeqAssist('#if DebugMode_VelEncs')];
177     Tmp1 = [Tmp1 Custom_Files_SeqAssist('Serial.print("Vel (D)(E):");')];
178     Tmp1 = [Tmp1 Custom_Files_SeqAssist('Serial.print(Enc_DD);')];
179     Tmp1 = [Tmp1 Custom_Files_SeqAssist('Serial.print("/");')];
180     Tmp1 = [Tmp1 Custom_Files_SeqAssist('Serial.print(Enc_ED);')];
181     Tmp1 = [Tmp1 Custom_Files_SeqAssist('Serial.print("->");')];
182     Tmp1 = [Tmp1 Custom_Files_SeqAssist('Serial.print(Enc_DD - Enc_ED);')];
183     Tmp1 = [Tmp1 Custom_Files_SeqAssist('Serial.println();')];
184     Tmp1 = [Tmp1 Custom_Files_SeqAssist('#endif')];
185     Tmp1 = [Tmp1 Custom_Files_SeqAssist('#include ...
        "subrotinas/Subrotinas_MoverS_Frente.h"')];
186     Tmp1 = [Tmp1 Custom_Files_SeqAssist('#if DebugMode')];
187     Tmp1 = [Tmp1 Custom_Files_SeqAssist('Serial.print("Moving Foward");')];
188     Tmp1 = [Tmp1 Custom_Files_SeqAssist('Serial.println();')];
189     Tmp1 = [Tmp1 Custom_Files_SeqAssist('#endif')];
190     Tmp1 = [Tmp1 Custom_Files_SeqAssist('break;')];
191     Tmp1 = [Tmp1 Custom_Files_SeqAssist('case 48://T e T')];
192     Tmp1 = [Tmp1 Custom_Files_SeqAssist('case 112://T e T+F')];
193     Tmp1 = [Tmp1 Custom_Files_SeqAssist('case 68://F e F')];
194     Tmp1 = [Tmp1 Custom_Files_SeqAssist('case 100://F e T+F')];

```

```

195  Tmp1 = [Tmp1 Custom_Files_SeqAssist('case 0://S')];
196  Tmp1 = [Tmp1 Custom_Files_SeqAssist('case 8://P')];
197  Tmp1 = [Tmp1 Custom_Files_SeqAssist('case 40://P e T')];
198  Tmp1 = [Tmp1 Custom_Files_SeqAssist('case 72://P e F')];
199  Tmp1 = [Tmp1 Custom_Files_SeqAssist('case 104://P e T+F')];
200  Tmp1 = [Tmp1 Custom_Files_SeqAssist('//Fica Parado')];
201  Tmp1 = [Tmp1 Custom_Files_SeqAssist('//Counter_DD = 0;')];
202  Tmp1 = [Tmp1 Custom_Files_SeqAssist('//Counter_ED = 0;')];
203  Tmp1 = [Tmp1 Custom_Files_SeqAssist('#include ...
      "subrotinas/Subrotinas_MoverS_Parar.h"')];
204  Tmp1 = [Tmp1 Custom_Files_SeqAssist('#if DebugMode')];
205  Tmp1 = [Tmp1 Custom_Files_SeqAssist('Serial.print("Stopping");')];
206  Tmp1 = [Tmp1 Custom_Files_SeqAssist('Serial.println();')];
207  Tmp1 = [Tmp1 Custom_Files_SeqAssist('#endif')];
208  Tmp1 = [Tmp1 Custom_Files_SeqAssist('break;')];
209  Tmp1 = [Tmp1 Custom_Files_SeqAssist('case 16://T')];
210  Tmp1 = [Tmp1 Custom_Files_SeqAssist('case 80://T + F')];
211  Tmp1 = [Tmp1 Custom_Files_SeqAssist('//Pra Trás')];
212  Tmp1 = [Tmp1 Custom_Files_SeqAssist('#if DebugMode_VelEncs')];
213  Tmp1 = [Tmp1 Custom_Files_SeqAssist('Serial.print("Vel (D)(E):");')];
214  Tmp1 = [Tmp1 Custom_Files_SeqAssist('Serial.print(Enc_DD);')];
215  Tmp1 = [Tmp1 Custom_Files_SeqAssist('Serial.print("/");')];
216  Tmp1 = [Tmp1 Custom_Files_SeqAssist('Serial.print(Enc_ED);')];
217  Tmp1 = [Tmp1 Custom_Files_SeqAssist('Serial.print("->");')];
218  Tmp1 = [Tmp1 Custom_Files_SeqAssist('Serial.print(Enc_DD - Enc_ED);')];
219  Tmp1 = [Tmp1 Custom_Files_SeqAssist('Serial.println();')];
220  Tmp1 = [Tmp1 Custom_Files_SeqAssist('#endif')];
221  Tmp1 = [Tmp1 Custom_Files_SeqAssist('#include ...
      "subrotinas/Subrotinas_MoverS_Tras.h"')];
222  Tmp1 = [Tmp1 Custom_Files_SeqAssist('#if DebugMode')];
223  Tmp1 = [Tmp1 Custom_Files_SeqAssist('Serial.print("Moving Reverse");')];
224  Tmp1 = [Tmp1 Custom_Files_SeqAssist('Serial.println();')];
225  Tmp1 = [Tmp1 Custom_Files_SeqAssist('#endif')];
226  Tmp1 = [Tmp1 Custom_Files_SeqAssist('break;')];
227  Tmp1 = [Tmp1 Custom_Files_SeqAssist('default:');];
228  Tmp1 = [Tmp1 Custom_Files_SeqAssist('break;')];
229  Tmp1 = [Tmp1 Custom_Files_SeqAssist('}')];
230  Tmp1 = [Tmp1 Custom_Files_SeqAssist('FT_TPFDE = (FT_TPFDE & 31);')];
231  fprintf(fid ,Tmp1);
232  fclose(fid);
233
234  end

```

## Arduino\_SS\_GeraSensores

Gera os arquivos que lêem dados dos 2 sensores de posição.

Retorne à tabela clicando nesta frase

```
1 %% Prepara o nome
2
3 ScriptName = '// Arduino_SS_GeraSensores.h \n';
4
5 %% Gera os arquivos relacionados aos sensores
6
7 if GenerateFiles
8
9     FileCell = [FileCell ; {'modules','Sensors_Medicao.h',NFiles+1}];
10    NFiles = NFiles + 1;
11    fid = fopen(FileCell{NFiles,2}, 'w');
12    Tmp1 = ScriptName;
13    if UseSensors
14        Tmp1 = [Tmp1...
15            '@' ...
16            '// Minha medição de distância@'...
17            '// Manda um pulso no Trig Compartilhado@'...
18            'if (millis() - SensorTimer > 50){@' ...
19                'SensorTimer = millis();@' ...
20                'digitalWrite(TrigT,LOW);@' ...
21                'digitalWrite(TrigT,HIGH);@' ...
22                'delayMicroseconds(15);@' ...
23                'digitalWrite(TrigT,LOW);@' ...
24                'if (SensorSwitch){@' ...
25                    'SensorSwitch = 0;@' ...
26                    'DistF = pulseInLong(EchoF,HIGH,40000)*(Enc_SegToCm);@' ...
27                '}else{@' ...
28                    'SensorSwitch = 1;@' ...
29                    'DistT = pulseInLong(EchoT,HIGH,40000)*(Enc_SegToCm);@' ...
30                '}'@' ...
31            '}'@' ...
32        ];
33    end
34    Tmp1 = Custom_ReplaceStr(Tmp1, '@', '\n');
35    fprintf(fid, Tmp1);
36    fclose(fid);
37 end
```

```

38
39
40 if GenerateFiles
41     FileCell = [ FileCell ; {'modules', 'Sensors_Geral.h', NFiles+1}];
42     NFiles = NFiles + 1;
43     fid = fopen( FileCell{NFiles,2}, 'w');
44     Tmp1 = ScriptName;
45     if UseSensors
46         Tmp1 = [Tmp1...
47             '@#include "Sensors_Medicao.h"@'...
48             '// Gera a detecção@'...
49             'if(DistT == 0){@'...
50             '    DistT = 40;@'...
51             '@'...
52             'if(DistF == 0){@'...
53             '    DistF = 40;@'...
54             '@'...
55             'Sensor = (Dist > DistT) | ((Dist > DistF) << 1);@'...
56             'FT_TPFDE = ((Sensor << 5) | FT_TPFDE);@'...
57         ];
58     end
59     Tmp1 = Custom_ReplaceStr(Tmp1, '@', '\n');
60     fprintf(fid, Tmp1);
61     fclose(fid);
62 end
63
64 if GenerateFiles
65     FileCell = [ FileCell ; {'modules', 'ML_WaitInput_SensorTest.h', NFiles+1}];
66     %FileCell = [ FileCell ; {'modules', 'ML_SensorTest_Setup', NFiles+1}];
67     NFiles = NFiles + 1;
68     fid = fopen( FileCell{NFiles,2}, 'w');
69     Tmp1 = ScriptName;
70     if UseSensors
71         Tmp1 = [Tmp1 Custom_Files_SeqAssist('if (Read == 250){')];
72         Tmp1 = [Tmp1 Custom_Files_SeqAssist('    Read = 0;')];
73         Tmp1 = [Tmp1 Custom_Files_SeqAssist('    float Temp = -1;')];
74         Tmp1 = [Tmp1 Custom_Files_SeqAssist('    while(Temp < 0 || Temp > ...
75             1000){')];
76         Tmp1 = [Tmp1 Custom_Files_SeqAssist('        Serial.print("Waiting on ...
77             FMMNP_D Value; 250");')];
78         Tmp1 = [Tmp1 Custom_Files_SeqAssist('        Serial.println();')];
79         Tmp1 = [Tmp1 Custom_Files_SeqAssist('    while(Serial.available() == ...
80             0){')];

```

```

78     Tmp1 = [Tmp1 Custom_Files_SeqAssist('      ;')];
79     Tmp1 = [Tmp1 Custom_Files_SeqAssist('      }')];
80     Tmp1 = [Tmp1 Custom_Files_SeqAssist('      Temp = Serial.parseInt();')];
81     Tmp1 = [Tmp1 Custom_Files_SeqAssist('      if (Temp <= 1000 || Temp >= ...
      0){')];
82     Tmp1 = [Tmp1 Custom_Files_SeqAssist('      EMMNP_D = Temp/1000;')];
83     Tmp1 = [Tmp1 Custom_Files_SeqAssist('      }')];
84     Tmp1 = [Tmp1 Custom_Files_SeqAssist('  }')];
85     Tmp1 = [Tmp1 Custom_Files_SeqAssist('}')];
86   end
87   fprintf(fid, Tmp1);
88   fclose(fid);
89 end

```

## Arduino\_SS\_ConfigGeral

Gera arquivos de configurações gerais que não se encaixam bem em outras categorias.

Retorne à tabela clicando nesta frase

```

1 %% Nome
2
3 ScriptName = '// Arduino_SS_ConfigGeral \n';
4
5
6 %% Variáveis Gerais
7
8 StopDist = 20;%Centímetros de distância pra parar o carrinho
9 aux1 = PosData_Identify_F;
10 aux2 = PosData_Identify_T;
11 A = abs([aux1{2,2};aux1{6,2};aux2{2,2};aux2{6,2}]);
12 clear aux1
13 clear aux2
14 if PosCon
15     Aceleracao = T*Sim_M/FScale;
16     Frenagem = T*Sim_M/FScale;
17 else
18     %Aceleracao = (MaxVel*Sim_M)/max(A);
19     Aceleracao = Sim_M/FScale;
20     Frenagem = Aceleracao;
21 end

```

```

22
23 %% Arquivos
24
25 if GenerateFiles
26     FileCell = [ FileCell ; { 'modules', 'Pinagens.h', NFiles+1}];
27     NFiles = NFiles + 1;
28     fid = fopen( FileCell{NFiles,2}, 'w');
29     Tmpl = ScriptName;
30     Tmpl = [Tmpl Custom_Files_SeqAssist('//Pinos onde os fios estão ...
           conectados')];
31     Tmpl = [Tmpl Custom_Files_SeqAssist('//RefreshRate')];
32     Tmpl = [Tmpl Custom_Files_SeqAssist('#define Perodo 1')];
33     Tmpl = [Tmpl Custom_Files_SeqAssist('//Bluetooth')];
34     Tmpl = [Tmpl Custom_Files_SeqAssist('#define P_rx 4')];
35     Tmpl = [Tmpl Custom_Files_SeqAssist('#define P_tx 5')];
36     Tmpl = [Tmpl Custom_Files_SeqAssist('//MEF')];
37     Tmpl = [Tmpl Custom_Files_SeqAssist('#define EP 9')];
38     Tmpl = [Tmpl Custom_Files_SeqAssist('#define EN11')];
39     Tmpl = [Tmpl Custom_Files_SeqAssist('#define DN 10')];
40     Tmpl = [Tmpl Custom_Files_SeqAssist('#define DP 6')];
41     Tmpl = [Tmpl Custom_Files_SeqAssist('//Ultrassom')];
42     Tmpl = [Tmpl Custom_Files_SeqAssist('#define TrigF 7')];
43     Tmpl = [Tmpl Custom_Files_SeqAssist('#define EchoF A1')];
44     Tmpl = [Tmpl Custom_Files_SeqAssist('#define TrigT 7')];
45     Tmpl = [Tmpl Custom_Files_SeqAssist('#define EchoT A0')];
46     Tmpl = [Tmpl Custom_Files_SeqAssist('//Encoders')];
47     Tmpl = [Tmpl Custom_Files_SeqAssist('#define Enc_DD 2')];
48     %Tmpl = [Tmpl Custom_Files_SeqAssist('#define Enc_DA A0')];
49     Tmpl = [Tmpl Custom_Files_SeqAssist('#define Enc_ED 3')];
50     %Tmpl = [Tmpl Custom_Files_SeqAssist('#define Enc_EA A1')];
51     Tmpl = [Tmpl Custom_Files_SeqAssist('//Tipo de interrupção')];
52     Tmpl = [Tmpl Custom_Files_SeqAssist('//RISING, CHANGE ou FALLING')];
53     Tmpl = [Tmpl Custom_Files_SeqAssist('#define InterruptType RISING')];
54     fprintf(fid, Tmpl);
55     fclose(fid);
56 end
57
58 if GenerateFiles
59     FileCell = [ FileCell ; { 'modules', 'LoopVariables.h', NFiles+1}];
60     NFiles = NFiles + 1;
61     fid = fopen( FileCell{NFiles,2}, 'w');
62     Tmpl = ScriptName;
63     Tmpl = [Tmpl Custom_Files_SeqAssist('char Prev = 80;// 80 = P em ASCII')];

```

```

64     Tmp1 = [Tmp1 Custom_Files_SeqAssist('float temp;')];
65     fprintf(fid,Tmp1);
66     fclose(fid);
67 end
68
69 if GenerateFiles
70     FileCell = [FileCell ; {'modules','Defines.h',NFiles+1}];
71     NFiles = NFiles + 1;
72     fid = fopen(FileCell{NFiles,2},'w');
73     Tmp1 = ScriptName;
74     Tmp1 = [Tmp1 Custom_Files_SeqAssist('#define ShowMarks 0')];
75     Tmp1 = [Tmp1 Custom_Files_SeqAssist('#define TestMode 0')];
76     Tmp1 = [Tmp1 Custom_Files_SeqAssist('#define DebugMode 0')];
77     Tmp1 = [Tmp1 Custom_Files_SeqAssist('#define DebugMode_Dist 0')];
78     Tmp1 = [Tmp1 Custom_Files_SeqAssist('#define DebugMode_Vel 0')];
79     Tmp1 = [Tmp1 Custom_Files_SeqAssist('#define DebugMode_Encs 0')];
80     Tmp1 = [Tmp1 Custom_Files_SeqAssist('#define DebugMode_VelEncs 0')];
81     Tmp1 = [Tmp1 Custom_Files_SeqAssist('#define IgnoreCalibration 1')];
82     Tmp1 = [Tmp1 Custom_Files_SeqAssist('#define UseEngines 1')];
83     Tmp1 = [Tmp1 Custom_Files_SeqAssist('#define Responses 1')];
84     fprintf(fid,Tmp1);
85     fclose(fid);
86 end
87
88 if GenerateFiles
89     FileCell = [FileCell ; {'modules','Configuracoes.h',NFiles+1}];
90     NFiles = NFiles + 1;
91     fid = fopen(FileCell{NFiles,2},'w');
92     Tmp1 = ScriptName;
93     Tmp1 = [Tmp1 Custom_Files_SeqAssist('//Configurações dos valores')];
94     Tmp1 = [Tmp1 Custom_Files_SeqAssist('#define TrigSize 10')];
95     Tmp1 = [Tmp1 Custom_Files_SeqAssist('#define Dist ',StopDist,' //Distância ...
96         Pra parar o carro')];
97     Tmp1 = [Tmp1 Custom_Files_SeqAssist('//Motores')];
98     Tmp1 = [Tmp1 Custom_Files_SeqAssist('#define Aceleracao ',Aceleracao)];
99     Tmp1 = [Tmp1 Custom_Files_SeqAssist('#define Frenagem ',Aceleracao)];
100    Tmp1 = [Tmp1 Custom_Files_SeqAssist('#define MaxVel ',MaxVel)];
101    Tmp1 = [Tmp1 Custom_Files_SeqAssist('#define ModVelNormal 1')];
102    Tmp1 = [Tmp1 Custom_Files_SeqAssist('#define ModVelGiro 0.25')];
103    Tmp1 = [Tmp1 Custom_Files_SeqAssist('#define V_Start_E_Start 50')];
104    Tmp1 = [Tmp1 Custom_Files_SeqAssist('#define V_Start_D_Start 50')];
105    Tmp1 = [Tmp1 Custom_Files_SeqAssist('#define CalibrationMargin 10')];
106    Tmp1 = [Tmp1 Custom_Files_SeqAssist('//Encoders')];

```

```

106  Tmpl = [Tmpl Custom_Files_SeqAssist('#define NPulses_45 16 // Número de ...
      pulsos pra 45 graus');];
107  Tmpl = [Tmpl Custom_Files_SeqAssist('#define VelToFuros 20 // ');];
108  Tmpl = [Tmpl Custom_Files_SeqAssist('#define VelFurosLim 100 // Mede a ...
      velocidade após n furos contados');];
109  Tmpl = [Tmpl Custom_Files_SeqAssist('#define FMMN 10// Número de medições ...
      no filtro de média');];
110  Tmpl = [Tmpl Custom_Files_SeqAssist('#define FMMNP_V 0.5// Coeficiente de ...
      peso dos valores antigos pra velocidade');];
111  Tmpl = [Tmpl Custom_Files_SeqAssist('#define FMMNP_D 0.9// Coeficiente de ...
      peso dos valores antigos pra distância');];
112  Tmpl = [Tmpl Custom_Files_SeqAssist('#define Histerese 4 // Folga pro ...
      controle de velocidade');];
113  Tmpl = [Tmpl Custom_Files_SeqAssist('#define FimDeContagem 1000');];
114  Tmpl = [Tmpl Custom_Files_SeqAssist('//Sensores');];
115  Tmpl = [Tmpl Custom_Files_SeqAssist('#define WaitUSensor 12500');];
116  Tmpl = [Tmpl Custom_Files_SeqAssist('#define Enc_SegToCm 0.017');];
117  fprintf(fid,Tmpl);
118  fclose(fid);
119  end
120
121
122  if GenerateFiles
123      FileCell = [FileCell ; ...
          {'subrotinas','Subrotinas_ML_WaitSerialInput.h',NFiles+1}];
124      NFiles = NFiles + 1;
125      fid = fopen(FileCell{NFiles,2},'w');
126      Tmpl = ScriptName;
127      Tmpl = [Tmpl Custom_Files_SeqAssist('Serial.println();');];
128      Tmpl = [Tmpl Custom_Files_SeqAssist('Serial.print("Waiting: input");');];
129      Tmpl = [Tmpl Custom_Files_SeqAssist('Serial.println();');];
130      Tmpl = [Tmpl Custom_Files_SeqAssist('while (Serial.available() == 0){');];
131      Tmpl = [Tmpl Custom_Files_SeqAssist(' #include "Subrotinas_Parar.h";');];
132      Tmpl = [Tmpl Custom_Files_SeqAssist(' #include ...
          "Subrotinas_MoverS_Parar.h";');];
133      Tmpl = [Tmpl Custom_Files_SeqAssist('}');];
134      Tmpl = [Tmpl Custom_Files_SeqAssist('Serial.print("Received:");');];
135      Tmpl = [Tmpl Custom_Files_SeqAssist('Section = Serial.parseInt();');];
136      Tmpl = [Tmpl Custom_Files_SeqAssist('Section = Section - 48*(Section > 48 ...
          && Section < 57);');];
137      Tmpl = [Tmpl Custom_Files_SeqAssist('while (Serial.available() != 0){');];
138      Tmpl = [Tmpl Custom_Files_SeqAssist('char temp = Serial.read();');];
139      Tmpl = [Tmpl Custom_Files_SeqAssist('}');];

```

```

140     Tmp1 = [Tmp1 Custom_Files_SeqAssist('Serial.print(Section);')];
141     Tmp1 = [Tmp1 Custom_Files_SeqAssist('Serial.println();')];
142     Tmp1 = [Tmp1 Custom_Files_SeqAssist('//delay(2000);')];
143     fprintf(fid,Tmp1);
144     fclose(fid);
145 end

```

## Arduino\_SS\_GeraTestes

Retorne à tabela clicando nesta frase

```

1 %% Nome
2
3
4     ScriptName = '// Arduino_SS_GeraTestes \n';
5
6
7 %% Subrotinas Teste – Motores 1
8
9
10 if GenerateFiles
11     FileCell = [FileCell ; {'subrotinas','SubrotinaTeste_Motores.h',NFiles+1}];
12     NFiles = NFiles + 1;
13     fid = fopen(FileCell{NFiles,2}, 'w');
14     Tmp1 = ScriptName;
15     Tmp1 = [Tmp1 Custom_Files_SeqAssist('delay(10000);')];
16     Tmp1 = [Tmp1 Custom_Files_SeqAssist('#include ...
17         "Subrotinas_MoverR_Frente.h"')];
18     Tmp1 = [Tmp1 Custom_Files_SeqAssist('#include "Subrotinas_Parar.h"')];
19     Tmp1 = [Tmp1 Custom_Files_SeqAssist('delay(2000);')];
20     Tmp1 = [Tmp1 Custom_Files_SeqAssist('#include "Subrotinas_MoverR_Tras.h"')];
21     Tmp1 = [Tmp1 Custom_Files_SeqAssist('delay(2000);')];
22     Tmp1 = [Tmp1 Custom_Files_SeqAssist('#include "Subrotinas_Parar.h"')];
23     Tmp1 = [Tmp1 Custom_Files_SeqAssist('delay(2000);')];
24     Tmp1 = [Tmp1 Custom_Files_SeqAssist('#include ...
25         "Subrotinas_MoverR_Direita.h"')];
26     Tmp1 = [Tmp1 Custom_Files_SeqAssist('delay(1000);')];
27     Tmp1 = [Tmp1 Custom_Files_SeqAssist('#include "Subrotinas_Parar.h"')];
28     Tmp1 = [Tmp1 Custom_Files_SeqAssist('delay(2000);')];
29     Tmp1 = [Tmp1 Custom_Files_SeqAssist('#include ...

```

```

    "Subrotinas_MoverR_Esquerda.h"');];
29  Tmp1 = [Tmp1 Custom_Files_SeqAssist('delay(1000);');];
30  Tmp1 = [Tmp1 Custom_Files_SeqAssist('#include "Subrotinas_Parar.h"');];
31  Tmp1 = [Tmp1 Custom_Files_SeqAssist('delay(2000);');];
32  Tmp1 = [Tmp1 Custom_Files_SeqAssist('#include "Subrotinas_Parar.h"');];
33  Tmp1 = [Tmp1 Custom_Files_SeqAssist('delay(200000);');];
34  fprintf(fid,Tmp1);
35  fclose(fid);
36  end
37
38  %% Subrotinas Teste – Motores 2
39  %% Subrotinas Teste – Motores 3
40
41
42  if GenerateFiles
43      FileCell = [FileCell ; {'subrotinas','SubrotinaTeste_Controle.h',NFiles+1}];
44      NFiles = NFiles + 1;
45      fid = fopen(FileCell{NFiles,2},'w');
46      Tmp1 = ScriptName;
47      Tmp1 = [Tmp1 Custom_Files_SeqAssist('Tempo = micros();');];
48      Tmp1 = [Tmp1 Custom_Files_SeqAssist('if(bluetooth.available()){')];
49      Tmp1 = [Tmp1 Custom_Files_SeqAssist(' switch (bluetooth.parseInt()){')];
50      Tmp1 = [Tmp1 Custom_Files_SeqAssist(' case 1:')];
51      Tmp1 = [Tmp1 Custom_Files_SeqAssist(' #include ...
        "Subrotinas_MoverS_Frente.h"');];
52      Tmp1 = [Tmp1 Custom_Files_SeqAssist(' break;')];
53      Tmp1 = [Tmp1 Custom_Files_SeqAssist(' case 2:')];
54      Tmp1 = [Tmp1 Custom_Files_SeqAssist(' #include ...
        "Subrotinas_MoverS_Tras.h"');];
55      Tmp1 = [Tmp1 Custom_Files_SeqAssist(' break;')];
56      Tmp1 = [Tmp1 Custom_Files_SeqAssist(' case 3:')];
57      Tmp1 = [Tmp1 Custom_Files_SeqAssist(' #include ...
        "Subrotinas_MoverS_Parar.h"');];
58      Tmp1 = [Tmp1 Custom_Files_SeqAssist(' break;')];
59      Tmp1 = [Tmp1 Custom_Files_SeqAssist(' }')];
60      Tmp1 = [Tmp1 Custom_Files_SeqAssist(' bluetooth.read();')];
61      Tmp1 = [Tmp1 Custom_Files_SeqAssist(' bluetooth.read();')];
62      Tmp1 = [Tmp1 Custom_Files_SeqAssist(' #include ...
        "Subrotinas_ML_PrintAllBL.h"');];
63      Tmp1 = [Tmp1 Custom_Files_SeqAssist('}')];
64      Tmp1 = [Tmp1 Custom_Files_SeqAssist('#include "Subrotinas_Mover_Normal.h"');];
65      fprintf(fid,Tmp1);
66      fclose(fid);

```

```

67 end
68
69 %% Subrotinas Teste – Motores 4
70
71
72 if GenerateFiles
73     FileCell = [ FileCell ; {'subrotinas', 'SubrotinaTeste_Chao.h', NFiles+1}];
74     NFiles = NFiles + 1;
75     fid = fopen( FileCell{NFiles,2}, 'w');
76     Tmp1 = ScriptName;
77     Tmp1 = [Tmp1 Custom_Files_SeqAssist('if ((Tempo - Timer > ',6*10^6,' ) || ...
        Section == 0){'}]);
78     Tmp1 = [Tmp1 Custom_Files_SeqAssist('//if ((Read > ',500,' ) || Section == ...
        0){'}]);
79     Tmp1 = [Tmp1 Custom_Files_SeqAssist(' #include "Subrotinas_Parar.h"')];
80     Tmp1 = [Tmp1 Custom_Files_SeqAssist(' if (Section == 0){'}]);
81     Tmp1 = [Tmp1 Custom_Files_SeqAssist(' Read = 0;')];
82     Tmp1 = [Tmp1 Custom_Files_SeqAssist(' PosD = 0;')];
83     Tmp1 = [Tmp1 Custom_Files_SeqAssist(' PosE = 0;')];
84     Tmp1 = [Tmp1 Custom_Files_SeqAssist(' //V_Start_DF = MaxVel;')];
85     Tmp1 = [Tmp1 Custom_Files_SeqAssist(' //V_Start_EF = MaxVel;')];
86     if RunMain == -4
87         Tmp1 = [Tmp1 Custom_Files_SeqAssist(' Section = 1;')];
88     end
89     Tmp1 = [Tmp1 Custom_Files_SeqAssist(' }else{')];
90     Tmp1 = [Tmp1 Custom_Files_SeqAssist(' Section = Section + 1;')];
91     Tmp1 = [Tmp1 Custom_Files_SeqAssist(' delay(5000);')];
92     Tmp1 = [Tmp1 Custom_Files_SeqAssist(' }')];
93     if RunMain == -4
94         Tmp1 = [Tmp1 Custom_Files_SeqAssist(' delay(10000);')];
95     end
96     Tmp1 = [Tmp1 Custom_Files_SeqAssist(' Timer = micros();')];
97     Tmp1 = [Tmp1 Custom_Files_SeqAssist('}else{')];
98     Tmp1 = [Tmp1 Custom_Files_SeqAssist(' Read = Read + 1;')];
99     Tmp1 = [Tmp1 Custom_Files_SeqAssist(' }')];
100    Tmp1 = [Tmp1 Custom_Files_SeqAssist(' if (Section == 1){')];
101    Tmp1 = [Tmp1 Custom_Files_SeqAssist(' #include ...
        "Subrotinas_MoverS_Frente.h"')];
102    Tmp1 = [Tmp1 Custom_Files_SeqAssist(' }else{')];
103    Tmp1 = [Tmp1 Custom_Files_SeqAssist(' if (Section == 2){')];
104    Tmp1 = [Tmp1 Custom_Files_SeqAssist(' #include ...
        "Subrotinas_MoverS_Tras.h"')];
105    Tmp1 = [Tmp1 Custom_Files_SeqAssist(' }else{')];

```

```

106     Tmp1 = [Tmp1 Custom_Files_SeqAssist('    if (Section == 3){')];
107     Tmp1 = [Tmp1 Custom_Files_SeqAssist('        #include ...
        "Subrotinas_MoverS_Esquerda.h"')];
108     Tmp1 = [Tmp1 Custom_Files_SeqAssist('    }else{')];
109     Tmp1 = [Tmp1 Custom_Files_SeqAssist('        if (Section == 4){')];
110     Tmp1 = [Tmp1 Custom_Files_SeqAssist('            #include ...
            "Subrotinas_MoverS_Direita.h"')];
111     Tmp1 = [Tmp1 Custom_Files_SeqAssist('        }else{')];
112     Tmp1 = [Tmp1 Custom_Files_SeqAssist('            if (Section == 5){')];
113     Tmp1 = [Tmp1 Custom_Files_SeqAssist('                #include ...
                "Subrotinas_MoverS_Parar.h"')];
114     Tmp1 = [Tmp1 Custom_Files_SeqAssist('                    Section = 0;')];
115     Tmp1 = [Tmp1 Custom_Files_SeqAssist('                }else{')];
116     Tmp1 = [Tmp1 Custom_Files_SeqAssist('                    if (Read > 500){')];
117     Tmp1 = [Tmp1 Custom_Files_SeqAssist('                        Section = 0;')];
118     Tmp1 = [Tmp1 Custom_Files_SeqAssist('                            #include ...
                            "Subrotinas_MoverS_Parar.h"')];
119     Tmp1 = [Tmp1 Custom_Files_SeqAssist('                    }else{')];
120     Tmp1 = [Tmp1 Custom_Files_SeqAssist('                        if (Section == 6){')];
121     Tmp1 = [Tmp1 Custom_Files_SeqAssist('                            #include ...
                            "Subrotinas_MoverS_Frente.h"')];
122     Tmp1 = [Tmp1 Custom_Files_SeqAssist('                    }else{')];
123     Tmp1 = [Tmp1 Custom_Files_SeqAssist('                        if (Section == 7){')];
124     Tmp1 = [Tmp1 Custom_Files_SeqAssist('                            #include ...
                            "Subrotinas_MoverS_Tras.h"')];
125     Tmp1 = [Tmp1 Custom_Files_SeqAssist('                    }')];
126     Tmp1 = [Tmp1 Custom_Files_SeqAssist('                }')];
127     Tmp1 = [Tmp1 Custom_Files_SeqAssist('            }')];
128     Tmp1 = [Tmp1 Custom_Files_SeqAssist('        }')];
129     Tmp1 = [Tmp1 Custom_Files_SeqAssist('    }')];
130     Tmp1 = [Tmp1 Custom_Files_SeqAssist('}')];
131     Tmp1 = [Tmp1 Custom_Files_SeqAssist('}')];
132     Tmp1 = [Tmp1 Custom_Files_SeqAssist('}')];
133     Tmp1 = [Tmp1 Custom_Files_SeqAssist('#include "Subrotinas_Mover_Normal.h"')];
134     Tmp1 = [Tmp1 Custom_Files_SeqAssist('Tempo = micros();')];
135     Tmp1 = [Tmp1 Custom_Files_SeqAssist('//Serial.print("Time: ");')];
136     Tmp1 = [Tmp1 Custom_Files_SeqAssist('//Serial.println(Tempo);')];
137     fprintf(fid ,Tmp1);
138     fclose(fid);
139     end

```

## Arduino\_SS\_MoveFiles

Os arquivos estão separados em pastas para organização. Esta função move os arquivos para as respectivas pastas para permitir o funcionamento.

Retorne à tabela clicando nesta frase

```
1 %% Move os arquivos para as respectivas pastas
2 for n = 1:size(FileCell,1)
3     switch MyStringComparator(FileCell{n,1}, ...
4         {'subrotinas'; 'modules'; 'data'})
5         case 1
6             TgtFolder = [Folders{1}, '/', Folders{2}, ...
7                 '/', Folders{3}, '/', Folders{4}];
8         case 2
9             TgtFolder = [Folders{1}, '/', Folders{2}, ...
10                '/', Folders{3}];
11        case 3
12            TgtFolder = [Folders{1}, '/', Folders{2}];
13        case 0
14            TgtFolder = Folders{1};
15    end
16    movefile(FileCell{n,2}, TgtFolder);
17 end
```

## ArduinoSS\_DT1

Função utilizada para a leitura de dados pelo canal serial diante de comandos do celular.

Retorne à tabela clicando nesta frase

```
1 %% Script de coleta de dados
2
3 %% Configurações
4 ParseVars = {};
5 Tmp1 = zeros(10^5,1);
6 A = ArduinoSS_DT1RTVecSetup;%Variáveis do VarsProg que o parser vai atrás
7
8 for n = 1:size(A,2)
9     ParseVars = [ParseVars ; {VarsProg{A(n),2}, Tmp1, n, 0, VarsProg{A(n),2}(1), ...
10         A(n)}];
```

```

10 end
11 ParseVars = [ParseVars ; {'Waiting',Tmpl,ParseVars{end,3}+1,0,'W', -1}];
12
13 % Vetor dos plots em tempo real
14 RT_SizeTracker = {};
15 for n = 1:ParseVars{end,3}
16     RT_SizeTracker = [RT_SizeTracker ; {ParseVars{n,1},0,ParseVars{n,3}}];
17 end
18
19 AskInput = 'Type value 5 or 6 for the Arduino, 0 for exit \n';
20 %% Reinicia a Conexão
21
22 delete(instrfind);
23 S = serial('COM7','BaudRate',S_BaudRate);
24 fopen(S);
25 if Auto == 1
26     BL = bluetooth('Aurora',B_BaudRate);
27 end
28
29 %% Ler Dados
30 Case = 0;
31 Val = 0;
32 %Runs = 2;
33 Run = 0;
34 Step = 1;
35 Step_Vec = [4 8 16 8 1 2 -1];
36 OverflowDetector = 0;
37 if 1 %Runs == 0
38     while x ≥ 0
39         if S.BytesAvailable > 0
40             OverflowDetector = max([S.BytesAvailable OverflowDetector]);
41             Info = fscanf(S);
42             [Case , Val] = ArduinoSS_Parser_A(Info , ParseVars);
43             %{
44             if (Auto && (Case > Step*50))
45                 if Step* > 0
46                     if Step_Vec(Step) > 0
47                         s
48                     end
49                 end
50             end
51             %}
52             if (Case ≥ ParseVars{1,3} && Case ≤ ParseVars{end,3})

```

```

53     ParseVars{Case,4} = ParseVars{Case,4} + 1;
54     ParseVars{Case,2}(ParseVars{Case,4}) = Val;
55     if RealTime
56         RT_SizeTracker{Case,2} = RT_SizeTracker{Case,2} + 1;
57     end
58     if Case == ParseVars{end,3}
59         if RealTime
60             run Arduino_SS_DT1_RTSetup
61         end
62         if x == 0
63             x = -1;
64         else
65             fprintf(S,int2str([x , ' 0']));
66             x = 0;
67         end
68     end
69     if OverflowDetector == 512 && RunMain == 1
70         x = -1; %Encerra se der overflow no canal serial
71     end
72     if RealTime
73         RT_SizeTracker = ...
74             Arduino_SS_RTPlot(ParseVars,RT_SizeTracker,PlotsVec);
75     end
76 end
77 end
78 if RealTime
79     % Põe títulos e legendas nos plots
80     for n = 1:size(PlotsVec,1)
81         figure(n);
82         title(['Tempo Real: ' CName]);
83         legend({ParseVars{PlotsVec{n}(2:end),1}}, 'LOCATION', 'SouthEast');
84         grid;
85     end
86     % Refaz esses 2 gráficos no subplot
87     Tmp1 = size(PlotsVec,1);
88     figure('units','normalized','outerposition',[0.01 0.01 0.95 0.95])
89     for n = 1:size(PlotsVec,1)
90         subplot(1,size(PlotsVec,1),n);
91         Tmp2 = Conc(ones(1,size(PlotsVec{n}(2:end),2)),...
92             PlotsVec{n}(2:end));
93         Tmp3 = min([ParseVars{Tmp2,4}]);
94         Data = ParseVars;

```

```

95     Tmp4 = sort ([ PlotsVec { : } ] );
96     Tmp4 = Tmp4(Tmp1:end) ;
97     for k = Tmp4
98         Data{k,2} = Data{k,2}(1:Tmp3) ;
99     end
100    Data{1,2} = (Data{1,2} - min(Data{1,2}))./10^6;
101    plot(Data{Tmp2,2}) ;
102    legend(ParseVars{Tmp2(2:2:end)},1,'LOCATION','SouthWest') ;
103    title(Plotnames{n}) ;
104    xlabel('Tempo (Segundos)')
105 end
106 subplot(1,Tmp1,1) ;
107 if PosCon
108     ylabel('Furos do Encoder') ;
109 else
110     ylabel('Furos por Segundo') ;
111 end
112 suptitle(['Tempo Real: ' CName]) ;
113 set(gcf,'PaperPositionMode','auto') ;
114 saveas(gcf,['RT' FName]);%Salva a que vai pro Overleaf
115 movefile(['RT' FName(1:end-4) '.png'],'POverleaf') ;
116 saveas(gcf,['RT' FName]);%Salva outra de Backup
117 end
118 end
119
120
121
122 A = min([ParseVars{[1 2 3 4 5],4}]);
123
124 %VelD      = ParseVars{ 2,2}(1:A) ;
125 %VelE      = ParseVars{ 3,2}(1:A) ;
126 Timer      = ParseVars{ 1,2}(1:A) ;
127 PosD       = ParseVars{ 2,2}(1:A) ;
128 PosE       = ParseVars{ 3,2}(1:A) ;
129 EncDD      = ParseVars{ 4,2}(1:A) ;
130 EncED      = ParseVars{ 5,2}(1:A) ;
131 %Erro_D    = ParseVars{20,2}(1:A) ;
132 %Erro_E    = ParseVars{21,2}(1:A) ;
133 %Controle_ACD = ParseVars{22,2}(1:A) ;
134 %Controle_ACE = ParseVars{23,2}(1:A) ;
135 if RunMain == -2
136     Erro_D    = zeros(A,1) ;
137     Erro_E    = zeros(A,1) ;

```

```

138     Controle_ACD = zeros(A,1);
139     Controle_ACE = zeros(A,1);
140 end
141
142 Timer = Timer - min(Timer);
143
144 PosData = {'Timer',Timer(1:A)/10^6,1};
145 VelD = [0 ; diff(EncDD(1:A))./diff(PosData{1,2})];
146 VelE = [0 ; diff(EncED(1:A))./diff(PosData{1,2})];
147 PosData = [PosData ; {'EncDD',EncDD(1:A),PosData{end,3}+1}];
148 PosData = [PosData ; {'PosD',PosD(1:A),PosData{end,3}+1}];
149 PosData = [PosData ; {'VelD',VelD(1:A),PosData{end,3}+1}];
150 PosData = [PosData ; {'EPosD',PosD(1:A)-EncDD(1:A),PosData{end,3}+1}];
151 PosData = [PosData ; {'EncED',EncED(1:A),PosData{end,3}+1}];
152 PosData = [PosData ; {'PosE',PosE(1:A),PosData{end,3}+1}];
153 PosData = [PosData ; {'VelE',VelE(1:A),PosData{end,3}+1}];
154 PosData = [PosData ; {'EPosE',PosE(1:A)-EncED(1:A),PosData{end,3}+1}];
155
156 if RunMain == -3
157     A = min([ParseVars {[8 9 10 11],4}]);
158
159     ConData = {'Timer',Timer(1:A)/10^6,1};
160     ConData = [ConData ; {'ErroD',Erro_D(1:A),ConData{end,3}+1}];
161     ConData = [ConData ; {'ControleACD',Controle_ACD(1:A),ConData{end,3}+1}];
162     ConData = [ConData ; {'ErroE',Erro_E(1:A),ConData{end,3}+1}];
163     ConData = [ConData ; {'ControleACE',Controle_ACE(1:A),ConData{end,3}+1}];
164 end
165
166
167 %% Diz se teve overflow do canal
168
169 OverflowDetector = (OverflowDetector == 512)
170
171 %% Closes the connection
172 fclose(S);
173 while MyStringComparator(S.Status,'closed') == 0
174     %;
175 end
176 clear S;

```

## **Apêndice II**

Seção dedicada a vídeos de testes relevantes e coleta de dados. Todos os vídeos se encontram no Youtube [43].

### **Ruído do Encoder**

Clique em '[https://youtu.be/X8sZfX\\_B0\\_o](https://youtu.be/X8sZfX_B0_o)' para ver o vídeo no Youtube.

Clique em 'Retorno' para retornar à menção deste link no documento.

### **Mostra da Interface**

Clique em '<https://youtu.be/HUFRBEntgvc>' para ver o vídeo no Youtube.

Clique em 'Retorno' para retornar à menção deste link no documento.

### **Teste dos Sensores**

Clique em '<https://youtu.be/xbvhywuKFeI>' para ver o vídeo no Youtube.

Clique em 'Retorno' para retornar à menção deste link no documento.

### **Mostra da Movimentação**

Clique em '[https://youtu.be/\\_JkcaUEHzw0](https://youtu.be/_JkcaUEHzw0)' para ver o vídeo no Youtube.

Clique em 'Retorno' para retornar à menção deste link no documento.

### **Movimentação por voz com internet**

Clique em '<https://youtu.be/4HsgWWIGOoI>' para ver o vídeo no Youtube.

Clique em 'Retorno' para retornar à menção deste link no documento.

### **Movimentação por voz sem internet**

Clique em '<https://youtu.be/C7UTLbOTz7s>' para ver o vídeo no Youtube.

Clique em 'Retorno' para retornar à menção deste link no documento.

## **Processo De medição do Atraso**

Clique em '<https://youtu.be/E8SX5ShDi28>' para ver o vídeo no Youtube.

Clique em 'Retorno' para retornar à menção deste link no documento.